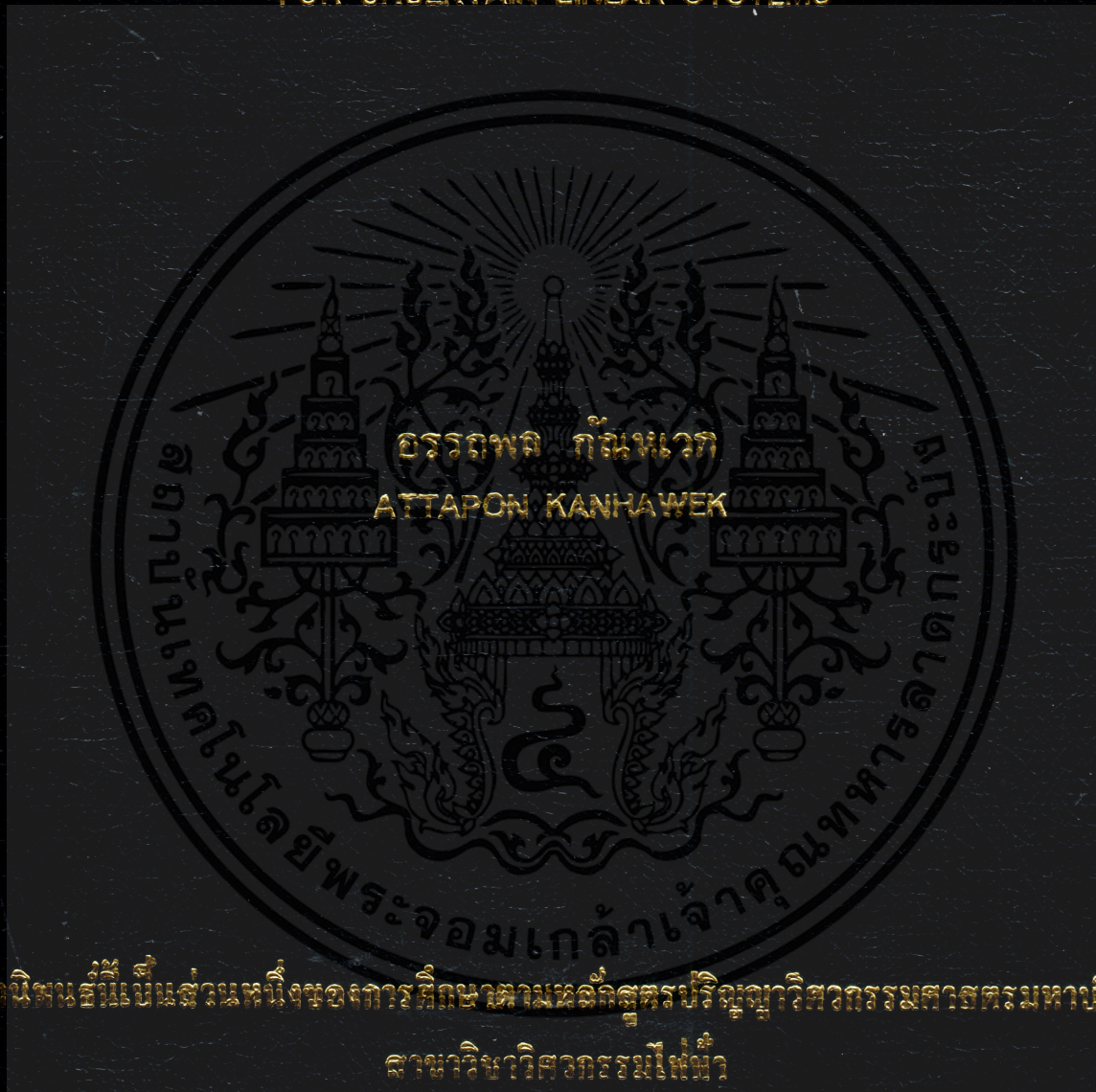


การออกแบบตัวควบคุมทากาจิ-ซุกะโนฟuzzy พีไอ+ดี และพีดี+ไอ
สำหรับระบบเชิงเส้นที่ไม่แน่นอน

DESIGN OF TAKAGI-SUGENO FUZZY PI+D AND PD+I CONTROLLER
FOR UNCERTAIN LINEAR SYSTEMS



วิทยานิพนธ์นี้เป็นส่วนหนึ่งของการศึกษาคณะวิศวกรรมศาสตรมหาบัณฑิต
สาขาวิชาวิศวกรรมไฟฟ้า

บัณฑิตวิทยาลัย

สถาบันเทคโนโลยีพระจอมเกล้าเจ้าคุณทหารลาดกระบัง

พ.ศ. 2545

ISBN 974-648-603-9

การออกแบบตัวควบคุมทากาจิ-ซุเกโนฟuzzyพีไอ+ดี และพีดี+ไอ
สำหรับระบบเชิงเส้นที่ไม่แน่นอน

DESIGN OF TAKAGI-SUGENO FUZZY PI+D AND PD+I CONTROLLER
FOR UNCERTAIN LINEAR SYSTEMS



อรรถพล กัณหาเวก
ATTAPON KANHAWEK

เลขหมู่.....
เลขทะเบียน..... 43277
วัน, เดือน, ปี 1 ส.ค. 2545

b.....
i.....

วิทยานิพนธ์นี้เป็นส่วนหนึ่งของการศึกษาตามหลักสูตรปริญญาวิศวกรรมศาสตรมหาบัณฑิต
สาขาวิชาวิศวกรรมไฟฟ้า
บัณฑิตวิทยาลัย
สถาบันเทคโนโลยีพระจอมเกล้าเจ้าคุณทหารลาดกระบัง
พ.ศ. 2545
ISBN 974-648-603-9

เอกสารนี้เป็นเอกสารที่สงวนไว้สำหรับการใช้งานเพื่อการศึกษาเท่านั้น ไม่อนุญาตให้นำไปใช้ประโยชน์ด้านการค้า
ไม่ว่ากรณีใดๆทั้งสิ้น อีกทั้งห้ามมิให้ตัดแปลงเนื้อหา และต้องอ้างอิงถึงเจ้าของเอกสารทุกครั้งที่มีการนำไปใช้

**DESIGN OF TAKAGI-SUGENO FUZZY PI+D AND PD+I CONTROLLER
FOR UNCERTAIN LINEAR SYSTEMS**



**A THESIS SUBMITTED IN PARTIAL FULFILLMENT
OF THE REQUIREMENT FOR THE DEGREE OF
MASTER OF ENGINEERING IN ELECTRICAL ENGINEERING
SCHOOL OF GRADUATE STUDIES
KING MONGKUT'S INSTITUTE OF TECHNOLOGY LADKRABANG**

2002

ISBN 974-648-603-9

เอกสารนี้เป็นเอกสารที่สงวนไว้สำหรับการใช้งานเพื่อการศึกษาเท่านั้น ไม่อนุญาตให้นำไปใช้ประโยชน์ด้านการค้า
ไม่ว่ากรณีใดๆทั้งสิ้น อีกทั้งห้ามมิให้ดัดแปลงเนื้อหา และต้องอ้างอิงถึงเจ้าของเอกสารทุกครั้งที่มีการนำไปใช้



COPYRIGHT 2002

SCHOOL OF GRADUATE STUDIES

KING MONGKUT'S INSTITUTE OF TECHNOLOGY LADKRABANG

เอกสารนี้เป็นเอกสารที่สงวนไว้สำหรับการใช้งานเพื่อการศึกษาเท่านั้น ไม่อนุญาตให้นำไปใช้ประโยชน์ด้านการค้า
ไม่ว่ากรณีใดๆทั้งสิ้น อีกทั้งห้ามมิให้ดัดแปลงเนื้อหา และต้องอ้างอิงถึงเจ้าของเอกสารทุกครั้งที่มีการนำไปใช้

บัณฑิตวิทยาลัย
สถาบันเทคโนโลยีพระจอมเกล้าเจ้าคุณทหารลาดกระบัง
ใบรับรองวิทยานิพนธ์

หัวข้อวิทยานิพนธ์ การออกแบบตัวควบคุมทากาจิ-ซุเกโนฟัซซีพีไอ+ดี และพีดี+ไอ สำหรับระบบ
เชิงเส้นที่ไม่แน่นอน
DESIGN OF TAKAGI-SUGENO FUZZY PI+D AND PD+I CONTROLLER
FOR UNCERTAIN LINEAR SYSTEMS

ชื่อนักศึกษา นายอรรถพล กัณหาเวก
รหัสประจำตัว 42061097
ปริญญา วิศวกรรมศาสตรมหาบัณฑิต
สาขาวิชา วิศวกรรมไฟฟ้า
อาจารย์ผู้ควบคุมวิทยานิพนธ์ รศ.ดร.จنگล งามวิวิทย์
อาจารย์ผู้ควบคุมวิทยานิพนธ์ร่วม ดร.สุธี ผู้เจริญชนะชัย

คณะกรรมการสอบวิทยานิพนธ์	ลายมือชื่อ
รศ.วิพันธ์ ปรินาพานิช	
รศ.สุเชียร เกียรติสุนทร	
รศ.เกษตร์ ศิริตันติสัมฤทธิ์	
ดร.สุธี ผู้เจริญชนะชัย	
รศ.ดร.จنگล งามวิวิทย์	

วัน/เดือน/ปี ที่สอบ 19 ธันวาคม 2544 เวลา 10.30-12.30 น.

สถานที่สอบ ณ อาคาร 12 ชั้น ชั้น 4 (ห้อง E12-404)



วันที่..... 7เดือน..... พฤษภาคม..... พ.ศ..... 2545

เอกสารนี้เป็นเอกสารที่สงวนไว้สำหรับการใช้งานเพื่อการศึกษาเท่านั้น ไม่อนุญาตให้นำไปใช้ประโยชน์ด้านการค้า
ไม่ว่ากรณีใดๆทั้งสิ้น อีกทั้งห้ามมิให้ดัดแปลงเนื้อหา และต้องอ้างอิงถึงเจ้าของเอกสารทุกครั้งที่มีการนำไปใช้

หัวข้อวิทยานิพนธ์	การออกแบบตัวควบคุมทากาจิ-ซุกะโนฟิซซีพีไอ+ดี และพีดี+ไอ สำหรับระบบเชิงเส้นที่ไม่แน่นอน
นักศึกษา	อรรณพล กัณหเวก
รหัสประจำตัว	42061097
ปริญญา	วิศวกรรมศาสตรมหาบัณฑิต
สาขาวิชา	วิศวกรรมไฟฟ้า
พ.ศ.	2545
อาจารย์ผู้ควบคุมวิทยานิพนธ์	รศ. ดร. จงกต จามวิวิทย์
อาจารย์ผู้ควบคุมวิทยานิพนธ์ร่วม	ดร. สุธี ผู้เจริญชนะชัย

บทคัดย่อ

เป็นที่ทราบกันดีว่าตัวควบคุมแบบดั้งเดิมไม่ว่าจะเป็นตัวควบคุมพีไอ พีดี หรือพีไอดี สามารถให้ผลตอบสนองที่ดีสำหรับระบบเชิงเส้นและระบบที่มีอันดับต่ำ แต่ไม่เหมาะกับระบบที่ไม่เป็นเชิงเส้นและระบบที่มีความไม่แน่นอน ด้วยเหตุนี้ ตัวควบคุมฟิซซีจึงถูกนำมาใช้กับระบบเหล่านี้เพื่อแก้ปัญหของตัวควบคุมแบบดั้งเดิม แต่ถึงแม้ว่าตัวควบคุมฟิซซีจะให้ผลตอบสนองที่น่าพอใจก็ตาม แต่ผลลัพธ์ของกฎจะอยู่ในรูปของตัวแปรเชิงภาษา ซึ่งมีความยุ่งยากในการพิสูจน์เสถียรภาพ ด้วยเหตุนี้ ทากาจิและซุกะโนจึงได้นำเสนอแนวความคิดในการแก้ปัญหานี้ โดยการกำหนดให้ผลลัพธ์ของกฎอยู่ในรูปของฟังก์ชันของตัวแปรอินพุต

ในวิทยานิพนธ์นี้ ได้นำเสนอการใช้ทฤษฎีบทเกณฑ์น้อยในการหาเสถียรภาพแบบบีโอบีโอของระบบควบคุมที่เอสฟิซซีพีไอ+ดีและทีเอสฟิซซีพีดี+ไอ ที่มี การพิจารณาความไม่แน่นอนในการหาแบบจำลอง โดยแบ่งอินพุตสเปซออกเป็น 12 บริเวณ และถ้าทุกบริเวณสามารถสอดคล้องกับเงื่อนไขเสถียรภาพที่ได้จากทฤษฎีบทเกณฑ์น้อยแล้ว จะสามารถรับประกันเสถียรภาพระบบควบคุมวงปิดได้

นอกจากนี้ยังได้แสดงการออกแบบตัวควบคุมที่เอสฟิซซีพีไอ+ดีและทีเอสฟิซซีพีดี+ไอ สำหรับควบคุมกระบวนการเชิงเส้นที่มีเวลาไร้ผลตอบสนอง โดยแต่ละตัวควบคุมจะประกอบด้วย 2 อินพุตฟิซซีเซต(บวกและลบ) กฎฟิซซีที่มีผลลัพธ์เป็นสมการเชิงเส้นจำนวน 4 กฎ ปฏิบัติการฟิซซีลอจิกแอนด์ของซาดเคย์และวิธีเซ็นทรอยด์ดีฟิซซีฟายเออร์ ผลลัพธ์ของแต่ละตัวควบคุมมีโครงสร้างเชิงเส้น แต่มีค่าเกณฑ์ของตัวควบคุมไม่คงที่ นั่นคือ เกณฑ์พหุคูณอินพุต อินทิกรัลและเดอริเวทีฟเป็นฟังก์ชันไม่เชิงเส้นของสัญญาณอินพุต และสุดท้ายได้ทำการหาผลการจำลองการควบคุมและผลการควบคุมจริงของระบบควบคุมที่เอสฟิซซีพีไอ+ดีและทีเอสฟิซซีพีดี+ไอ เมื่อป้อนสัญญาณอ้างอิงคงที่มีและไม่มีการรบกวน

Thesis Title	Design of Takagi-Sugeno Fuzzy PI+D and PD+I Controller for Uncertain Linear Systems
Student	Mr. Attapon Kanhawek
Student ID.	42061097
Degree	Master of Engineering
Programme	Electrical Engineering
Year	2002
Thesis Advisor	Assoc. Prof. Dr. Jongkol Ngamwiwit
Thesis Co-Advisor	Dr. Suthee Phoojaruenchanachai

ABSTRACT

It is known that the conventional PI(proportional-integral), PD(proportional-derivative) or PID(proportional-integral-derivative) controllers with well-tuned parameters give good system performance for low order and linear system. However, the conventional controllers are not proper for the nonlinear or uncertain system. On the other hand, the fuzzy controller has been introduced for nonlinear or uncertain system. Although the fuzzy controller will give satisfied performance, the rule consequent in linguistic variables will make the fuzzy controller be nonlinear. Hence, it is difficult to prove the stability of the closed-loop system. Takagi and Sugeno(TS) have proposed the idea to solve the stability problem by defining the rule consequent in function of input variables.

The bounded-input/bounded-output(BIBO) stability of the TS fuzzy PI+D and PD+I control systems can be analyzed by the small gain theorem considering the uncertainty. By dividing the input space into 12 different input combinations(ICs), the closed-loop system will be BIBO stable if all the 12 ICs are satisfied the defined stability condition of the small gain theorem.

The designing concept of TS fuzzy PI+D and PD+I controllers for the linear process with dead time and the stability analysis of the closed-loop system are also presented. Each controller consists of two linear input fuzzy sets(Positive and Negative), four TS fuzzy rules with linear consequent, the Zadeh fuzzy logic AND and the centroid defuzzifier. The resulting of each controller has linear structure but has nonconstant gains: the proportional, integral and derivative gains are nonlinear function of the input signals. Furthermore, simulation and experimental results of temperature control using the proposed controllers for reference step signal with and without disturbance are shown.

กิตติกรรมประกาศ

ขอขอบพระคุณ รองศาสตราจารย์ ดร.จกมล งามวิวิทย์ เป็นอย่างสูง ที่ได้ให้คำปรึกษาทาง ทฤษฎีต่าง ๆ ในการควบคุม ตลอดจนคำแนะนำในการเขียนบทความและการเขียนวิทยานิพนธ์ ทั้งยังคอยเอาใจใส่ ดูแล ข้าพเจ้าเสมอมา

ขอขอบพระคุณ ดร. สุธี ผู้เจริญชนะชัย ผู้ให้คำแนะนำทางด้านทฤษฎีต่าง ๆ ในการทำ วิทยานิพนธ์ อีกทั้งยังให้คำแนะนำทางด้านหัวข้อวิทยานิพนธ์ วัสดุและอุปกรณ์ ตลอดจนดูแลเอาใจ ใส่ข้าพเจ้าเสมอมา

ขอขอบพระคุณ อาจารย์ พรสุข รติโรจน์อนันต์ ที่ได้ให้ข้อมูลรายละเอียดและอุปกรณ์ใน การทำการทดลอง

ขอขอบพระคุณ อาจารย์ ฉาวร ที่ได้กรุณาให้คำปรึกษาในทฤษฎีการควบคุม และข้อสงสัย ต่าง ๆ เป็นอย่างดี

ขอขอบคุณเพื่อศิษย์ศักดิ์ แข็งสาริกิจ ที่ได้ให้คำแนะนำในทุก ๆ เรื่อง

ขอขอบคุณพี่ ๆ ที่สำนักวิจัยและบริการคอมพิวเตอร์ทุกคน ที่ร่วมสนุกสนาน คอยเป็นห่วง เป็นใยตลอดมาและ ขอขอบคุณสำนักวิจัยและบริการคอมพิวเตอร์ สถาบันเทคโนโลยีพระจอมเกล้า เจ้าคุณทหารลาดกระบังเป็นอย่างสูง ที่ได้ให้สถานที่ในการทำวิจัย

ขอขอบคุณเพื่อน ๆ ทุกคนที่คอยเป็นกำลังใจให้ตลอดมา โดยเฉพาะคุณตั้มที่ให้ยืมเครื่อง พิมพ์ในการพิมพ์วิทยานิพนธ์

ขอขอบคุณผู้อาวุโสที่สถานธรรมทุกท่าน ที่ให้ความกระจ่ายทางธรรม ให้ข้าพเจ้าได้รู้สึก ถึงความสงบ มีความสุข และอึดอเมทางใจในยามที่เหนื่อยล้าจากการเรียน

ขอขอบพระคุณสำนักงานพัฒนาวิทยาศาสตร์และเทคโนโลยีแห่งชาติ(สวทช.) ที่ได้ให้ทุน การศึกษาต่อระดับปริญญาโทภายในประเทศ และขอขอบคุณสำนักวิจัยการสื่อสารและเทคโนโลยี สารสนเทศ สถาบันเทคโนโลยีพระจอมเกล้าเจ้าคุณทหารลาดกระบัง ที่ได้มอบทุน อุปกรณ์และ สถานที่ในการทำวิจัย

และสุดท้ายนี้ขอขอบพระคุณ คุณพ่อ คุณแม่ของข้าพเจ้า ที่ได้ให้กำเนิด เลี้ยงดู อบรมสั่ง สอนและประสิทธิ์ประสาทวิชาให้กับข้าพเจ้า จนเติบโตมาจนมีวันนี้ ตลอดจนญาติพี่น้องทุกคนที่ ช่วยเป็นกำลังใจและสนับสนุนการศึกษาของข้าพเจ้า

อรรถพล กัณหเวก

สารบัญ

	หน้า
บทคัดย่อภาษาไทย.....	I
บทคัดย่อภาษาอังกฤษ.....	II
กิตติกรรมประกาศ.....	III
สารบัญ.....	IV
สารบัญรูป.....	VII
สารบัญตาราง.....	X
บทที่ 1 บทนำ.....	1
1.1 ปัญหาที่พบในตัวควบคุมดั้งเดิม.....	1
1.2 แนะนำตัวควบคุมฟัซซีและงานวิจัยที่ผ่านมา.....	2
1.3 ประโยชน์ของการใช้ตัวควบคุมฟัซซี.....	3
1.4 วัตถุประสงค์และขอบเขตของวิทยานิพนธ์.....	3
บทที่ 2 ทฤษฎีทางคณิตศาสตร์สำหรับการควบคุมฟัซซี.....	6
2.1 เซตดั้งเดิมและฟัซซีเซต.....	6
2.1.1 ทฤษฎีเซตดั้งเดิม.....	6
2.1.2 ข้อจำกัดของเซตดั้งเดิม.....	8
2.1.3 ฟัซซีเซต.....	9
2.2 การปฏิบัติการฟัซซีลอจิก.....	12
2.3 ฟัซซีพีเคชัน.....	13
2.4 กฎฟัซซี.....	13
2.4.1 กฎแมมดานีฟัซซี.....	14
2.4.2 กฎทีเอสฟัซซี.....	14
2.5 ฟัซซีอินเฟอร์เรนซ์.....	14
2.6 ดีฟัซซีพีเคชัน.....	16
2.6.1 เจนเนอรอลไลซ์ดีฟัซซีฟายเออร์.....	16
2.6.2 เซ็นทรอยคัลดีฟัซซีฟายเออร์ มินออฟแมกซิมัสดีฟัซซีฟายเออร์ และลิเนียร์ดีฟัซซีฟายเออร์.....	17

เอกสารนี้เป็นเอกสารที่สงวนไว้สำหรับการใช้งานเพื่อการศึกษาเท่านั้น ไม่อนุญาตให้นำไปใช้ประโยชน์ด้านการค้า
ไม่ว่ากรณีใดๆทั้งสิ้น อีกทั้งห้ามมิให้ดัดแปลงเนื้อหา และต่อ IV อ่างอิงถึงเจ้าของเอกสารทุกครั้งที่มีการนำไปใช้

สารบัญ (ต่อ)

	หน้า
2.7 ตัวควบคุมพีซี.....	17
2.7.1 ตัวควบคุมแมมคานีพีซี.....	18
2.7.2 ตัวควบคุมทีเอสพีซี.....	22
บทที่ 3 การออกแบบตัวควบคุม.....	24
3.1 การออกแบบตัวควบคุมทีเอสพีซีพีไอ+ดี.....	24
3.1.1 โครงสร้างของตัวควบคุมพีไอ+ดีดั้งเดิม.....	24
3.1.2 โครงสร้างของตัวควบคุมทีเอสพีซีพีไอ+ดี.....	27
3.2 การออกแบบตัวควบคุมทีเอสพีซีพีดี+ไอ.....	39
3.2.1 โครงสร้างของตัวควบคุมพีดี+ไอดั้งเดิม.....	39
3.2.2 โครงสร้างของตัวควบคุมทีเอสพีซีพีไอ+ดี.....	42
บทที่ 4 การวิเคราะห์เสถียรภาพ.....	48
4.1 เสถียรภาพแบบโกลบอล โลกอด และบีไอบีไอ.....	48
4.2 ทฤษฎีบทเกนน้อย.....	49
4.3 เสถียรภาพแบบบีไอบีไอของตัวควบคุมทีเอสพีซีพีไอ+ดี.....	50
4.3.1 เงื่อนไขค่านอร์มของตัวควบคุมทีเอสพีซีพีไอ.....	50
4.3.2 เงื่อนไขค่านอร์มของตัวควบคุมทีเอสพีซีดี.....	52
4.3.3 เงื่อนไขค่านอร์มของตัวควบคุมทีเอสพีซีพีไอ+ดี.....	54
4.4 เสถียรภาพแบบบีไอบีไอของตัวควบคุมทีเอสพีซีพีดี+ไอ.....	55
4.5 เงื่อนไขเสถียรภาพที่พิจารณาความไม่แน่นอน.....	57
4.5.1 ความไม่แน่นอนเชิงบวก.....	58
4.5.2 ความไม่แน่นอนเชิงคูณ.....	59
บทที่ 5 การจำลองการควบคุมและการทดลอง.....	61
5.1 การหาแบบจำลองทางคณิตศาสตร์ของถังค้ำน้ำ.....	61
5.2 ผลการควบคุมด้วยตัวควบคุมพีซี.....	63
5.2.1 การจำลองการควบคุม.....	63
5.2.2 การควบคุมจริง.....	73

เอกสารนี้เป็นเอกสารที่สงวนไว้สำหรับครูใช้งานเพื่อการศึกษาเท่านั้น ไม่อนุญาตให้นำไปใช้ประโยชน์ด้านการค้า
ไม่ว่ากรณีใดๆทั้งสิ้น อีกทั้งห้ามมิให้ตัดแปลงเนื้อหา และต้องอ้างอิงถึงเจ้าของเอกสารทุกครั้งที่มีการนำไปใช้

สารบัญ (ต่อ)

หน้า

5.3 ผลการควบคุมของระบบควบคุมพีซีซีเปรียบเทียบกับระบบควบคุมแบบดั้งเดิม.....	79
บทที่ 6 สรุปผลการวิจัยและข้อเสนอแนะ.....	87
6.1 สรุปผลการทดลอง.....	87
6.2 ข้อเสนอแนะในการวิจัย.....	88
6.3 ปัญหาที่พบในการวิจัยและแนวทางในการแก้ไขปัญหา.....	88
6.4 แนวทางในการพัฒนาต่อไป.....	89
เอกสารอ้างอิง.....	90
ภาคผนวก ก รายละเอียดของอุปกรณ์ที่ใช้ในการทดลอง.....	92
ก.1 ถังน้ำ.....	92
ก.2 ตัวรับรู้ RTD.....	93
ก.3 วงจรบริดจ์.....	93
ก.4 วงจรขยายผลต่าง.....	94
ก.5 วงจรกรองความถี่.....	96
ก.6 วงจรอินเวอร์ตคั้งแอมป์ไฟเออร์.....	96
ก.7 การดแปลงอนาลอกเป็นดิจิตอลและแปลงดิจิตอลเป็นอนาลอก.....	97
ก.8 วงจรแอกทูเอเตอร์.....	98
ภาคผนวก ข ผลงานวิจัยที่ได้รับการตีพิมพ์.....	100
ภาคผนวก ค เงื่อนไขเสถียรภาพของตัวควบคุมดั้งเดิม.....	113
ประวัติผู้เขียน.....	116

เอกสารนี้เป็นเอกสารที่สงวนไว้สำหรับการใช้งานเพื่อการศึกษาเท่านั้น ไม่อนุญาตให้นำไปใช้ประโยชน์ด้านการค้า
ไม่ว่ากรณีใดๆทั้งสิ้น อีกทั้งห้ามมิให้ตัดแปลงเนื้อหา และต้องอ้างอิงถึงเจ้าของเอกสารทุกครั้งที่มีการนำไปใช้

สารบัญรูป

รูปที่	หน้า
2.1 ฟังก์ชันคุณลักษณะของคริสป์เซต.....	7
2.2 คริสป์เซตของคำว่า “นุ่ม”.....	8
2.3 ฟัชซีเซตของคำว่า “นุ่ม”.....	9
2.4 ฟัชซีเซตของคำว่า “นุ่ม” ที่แตกต่างกันสองฟัชซีเซต.....	10
2.5 ตัวอย่างฟังก์ชันความเป็นสมาชิกของซิงเกิลตันฟัชซีเซต.....	10
2.6 กึ่งกลางของฟัชซีเซตของฟังก์ชันความเป็นสมาชิกจำนวน 4 ฟังก์ชัน.....	12
2.7 ผลลัพธ์ของฟัชซีอินเฟอเรนซ์ทั้ง 4 วิธี เมื่อแทนผลลัพธ์ของกฎด้วยฟัชซีเซต.....	15
2.8 ผลลัพธ์ของฟัชซีอินเฟอเรนซ์ทั้ง 4 วิธี เมื่อแทนผลลัพธ์ของกฎด้วยซิงเกิลตันฟัชซีเซต.....	16
2.9 โครงสร้างของระบบควบคุมเมมดานิฟัชซี.....	18
2.10 โครงสร้างของระบบควบคุมทีเอสฟัชซี.....	22
3.1 ระบบควบคุมพีไอ+ดีดั้งเดิม.....	24
3.2 ระบบควบคุมทีเอสฟัชซีพีไอ+ดี.....	27
3.3 ฟังก์ชันความเป็นสมาชิกอินพุตของตัวควบคุมทีเอสฟัชซีพีไอ.....	28
3.4 อินพุตเปชของตัวควบคุมทีเอสฟัชซีพีไอ.....	30
3.5 ฟังก์ชันความเป็นสมาชิกอินพุตของตัวควบคุมทีเอสฟัชซีดี.....	34
3.6 บริเวณที่แอกทีฟของแต่ละกฎการควบคุมแต่ละกฎ.....	35
3.7 อินพุตเปชของตัวควบคุมทีเอสฟัชซีดี.....	36
3.8 ระบบควบคุมพีดี+ไอดั้งเดิม.....	40
3.9 ระบบควบคุมทีเอสฟัชซีพีดี+ไอ.....	42
3.10 ฟังก์ชันความเป็นสมาชิกสัญญาณอินพุตของตัวควบคุมทีเอสฟัชซีพีดี.....	42
3.11 ฟังก์ชันความเป็นสมาชิกสัญญาณอินพุตของตัวควบคุมทีเอสฟัชซีไอ.....	43
3.12 อินพุตเปชของตัวควบคุมทีเอสฟัชซีพีดีและทีเอสฟัชซีไอ.....	44
4.1 ระบบควบคุมทั่ว ๆ ไป.....	49
4.2 ระบบที่มีความไม่แน่นอนเชิงบวก.....	58
4.3 ระบบที่มีความไม่แน่นอนเชิงคูณ.....	59
5.1 กราฟการหาแบบจำลองทางคณิตศาสตร์ของถังดัมน้ำ.....	61
5.2 บล็อกไดอะแกรมการหา $\Delta P(z)$	62
5.3 การจำลองการควบคุมด้วยตัวควบคุมทีเอสฟัชซีพีไอ+ดี.....	64

สารบัญญรูป (ต่อ)

รูปที่	หน้า
5.4 การจำลองการควบคุมด้วยตัวควบคุมที่เอสพีซีพีไอ+ไอ.....	64
5.5 การเปลี่ยนแปลงค่าเกณฑ์ของตัวควบคุม (ก). $K_p(e,r)$ (ข). $K_i(e,r)$ และ (ค). $K_d(y_d, \Delta y)$	66
5.6 ผลตอบสนองของผลการจำลองการควบคุมที่อุณหภูมิ 60 องศา.....	67
5.7 สัญญาณควบคุมของผลการจำลองการควบคุมที่อุณหภูมิ 60 องศา.....	68
5.8 ผลตอบสนองของผลการจำลองการควบคุมที่อุณหภูมิ 50 องศา.....	69
5.9 สัญญาณควบคุมของผลการจำลองการควบคุมที่อุณหภูมิ 50 องศา.....	69
5.10 ผลตอบสนองของผลการจำลองการควบคุมที่อุณหภูมิ 70 องศา.....	70
5.11 สัญญาณควบคุมของผลการจำลองการควบคุมที่อุณหภูมิ 70 องศา.....	71
5.12 ผลตอบสนองของผลการจำลองการควบคุมที่อุณหภูมิ 60 องศา เมื่อมีการรบกวน.....	72
5.13 สัญญาณควบคุมของผลการจำลองการควบคุมที่อุณหภูมิ 60 องศา เมื่อมีการรบกวน.....	72
5.14 ผลตอบสนองของผลการควบคุมจริงที่อุณหภูมิ 60 องศา.....	73
5.15 สัญญาณควบคุมของผลการควบคุมจริงที่อุณหภูมิ 60 องศา.....	74
5.16 ผลตอบสนองของผลการควบคุมจริงที่อุณหภูมิ 50 องศา.....	75
5.17 สัญญาณควบคุมของผลการควบคุมจริงที่อุณหภูมิ 50 องศา.....	75
5.18 ผลตอบสนองของผลการควบคุมจริงที่อุณหภูมิ 70 องศา.....	76
5.19 สัญญาณควบคุมของผลการควบคุมจริงที่อุณหภูมิ 70 องศา.....	77
5.20 ผลตอบสนองของผลการควบคุมจริงที่อุณหภูมิ 60 องศา เมื่อมีการรบกวน.....	78
5.21 สัญญาณควบคุมของผลการควบคุมจริงที่อุณหภูมิ 60 องศา เมื่อมีการรบกวน.....	78
5.22 ผลจำลองการควบคุมเปรียบเทียบระหว่างตัวควบคุมที่เอสพีซีพีไอ+ดี และตัวควบคุมพีไอ+ดีที่มีค่าเกณฑ์ $K_p = 3.0$ $K_i = 0.001$ และ $K_d = 0.004$	80
5.23 ผลการควบคุมจริงเปรียบเทียบระหว่างตัวควบคุมที่เอสพีซีพีไอ+ดี และตัวควบคุมพีไอ+ดีที่มีค่าเกณฑ์ $K_p = 3.0$ $K_i = 0.001$ และ $K_d = 0.004$	81
5.24 ผลจำลองการควบคุมเปรียบเทียบระหว่างตัวควบคุมที่เอสพีซีพีไอ+ดี และตัวควบคุมพีไอ+ดีที่มีค่าเกณฑ์ $K_p = 3.0$ $K_i = 0.002$ และ $K_d = 0.004$	82
5.25 ผลการควบคุมจริงเปรียบเทียบระหว่างตัวควบคุมที่เอสพีซีพีไอ+ดี และตัวควบคุมพีไอ+ดีที่มีค่าเกณฑ์ $K_p = 3.0$ $K_i = 0.002$ และ $K_d = 0.004$	82

สารบัญรูป (ต่อ)

รูปที่	หน้า
5.26 ผลจำลองการควบคุมเปรียบเทียบระหว่างตัวควบคุมที่เอสพีซีพีดี+ไอ และตัวควบคุมพีดี+ไอที่มีค่าเกน $K_p = 3.0$ $K_i = 0.001$ และ $K_d = 0.004$	83
5.27 ผลการควบคุมจริงเปรียบเทียบระหว่างตัวควบคุมที่เอสพีซีพีดี+ไอ และตัวควบคุมพีดี+ไอที่มีค่าเกน $K_p = 3.0$ $K_i = 0.001$ และ $K_d = 0.004$	84
5.28 ผลจำลองการควบคุมเปรียบเทียบระหว่างตัวควบคุมที่เอสพีซีพีดี+ไอ และตัวควบคุมพีดี+ไอที่มีค่าเกน $K_p = 3.0$ $K_i = 0.002$ และ $K_d = 0.004$	85
5.29 ผลการควบคุมจริงเปรียบเทียบระหว่างตัวควบคุมที่เอสพีซีพีดี+ไอ และตัวควบคุมพีดี+ไอที่มีค่าเกน $K_p = 3.0$ $K_i = 0.002$ และ $K_d = 0.004$	85
ก.1 ส่วนประกอบของถังต้มน้ำ.....	92
ก.2 ตัวรับรู้ RTD PT 100 ที่ใช้ในการทดลอง.....	93
ก.3 วงจรบริดจ์.....	93
ก.4 วงจรขยายผลต่าง.....	94
ก.5 วงจรกรองความถี่.....	96
ก.6 วงจรอินเวอร์ตดิ้งแอมพลิไฟเออร์.....	97
ก.7 วงจรพัลส์วิดท์มอดูเลชัน.....	98
ก.8 วงจรเสมือนของโซลิตสเตรรี่เลย์หมายเลข JPS - 2075	99

สารบัญตาราง

ตารางที่	หน้า
2.1 คำจำกัดความวิธีพีชชีอินเฟอเรนซ์ที่นิยมใช้ในกฎเมมคานีพีชชี.....	15
3.1 ค่าความเป็นสมาชิกผลลัพธ์ของกฎการควบคุมที่ 1 ถึง 4 ในบริเวณ IC1 ถึง IC12.....	31
3.2 ค่าเกณฑ์ของตัวควบคุมที่เอสพีชชีพีไอ บริเวณ IC1 ถึง IC12.....	33
3.3 ค่าความเป็นสมาชิกผลลัพธ์ของกฎการควบคุมที่ 5 ถึง 8 ในบริเวณ IC1 ถึง IC12.....	37
3.4 ค่าเกณฑ์ของตัวควบคุมที่เอสพีชชีดี บริเวณ IC1 ถึง IC12.....	39
3.5 ค่าเกณฑ์ของตัวควบคุมที่เอสพีชชีพีดี บริเวณ IC1 ถึง IC12.....	46
3.6 ค่าเกณฑ์ของตัวควบคุมที่เอสพีชชีไอ บริเวณ IC1 ถึง IC12.....	47
4.1 ค่านอร์มของตัวควบคุมที่เอสพีชชีพีไอในบริเวณ IC1 ถึง IC12.....	52
4.2 ค่านอร์มของตัวควบคุมที่เอสพีชชีดีในบริเวณ IC1 ถึง IC12.....	54
4.3 ค่านอร์มของตัวควบคุมที่เอสพีชชีพีดีและที่เอสพีชชีไอ.....	56
5.1 ค่าพารามิเตอร์ในการออกแบบ.....	64
5.2 ค่านอร์มของส่วนการควบคุมในแต่ละบริเวณ.....	64
5.3 ผลเปรียบเทียบการจำลองการควบคุมที่อุณหภูมิ 60 องศา.....	67
5.4 ผลเปรียบเทียบการจำลองการควบคุมที่อุณหภูมิ 50 องศา.....	70
5.5 ผลเปรียบเทียบการจำลองการควบคุมที่อุณหภูมิ 70 องศา.....	71
5.6 ผลเปรียบเทียบการควบคุมจริงที่อุณหภูมิ 60 องศา.....	74
5.7 ผลเปรียบเทียบการควบคุมจริงที่อุณหภูมิ 50 องศา.....	76
5.8 ผลเปรียบเทียบการควบคุมจริงที่อุณหภูมิ 70 องศา.....	76
5.9 ผลเปรียบเทียบการควบคุมจริงของระบบควบคุมที่เอสพีชชีพีไอ+ดีกับ ระบบควบคุมพีไอ+ดีที่มีค่าเกณฑ์ $K_p = 3.0$ $K_i = 0.001$ และ $K_d = 0.004$	81
5.10 ผลเปรียบเทียบการควบคุมจริงของระบบควบคุมที่เอสพีชชีพีไอ+ดีกับ ระบบควบคุมพีไอ+ดีที่มีค่าเกณฑ์ $K_p = 3.0$ $K_i = 0.002$ และ $K_d = 0.004$	83
5.11 ผลเปรียบเทียบการควบคุมจริงของระบบควบคุมที่เอสพีชชีพีดี+ไอกับ ระบบควบคุมพีดี+ไอที่มีค่าเกณฑ์ $K_p = 3.0$ $K_i = 0.001$ และ $K_d = 0.004$	84
5.12 ผลเปรียบเทียบการควบคุมจริงของระบบควบคุมที่เอสพีชชีพีดี+ไอกับ ระบบควบคุมพีดี+ไอที่มีค่าเกณฑ์ $K_p = 3.0$ $K_i = 0.002$ และ $K_d = 0.004$	86

เอกสารนี้เป็นเอกสารที่สงวนไว้สำหรับการใช้งานเพื่อการศึกษาเท่านั้น ไม่อนุญาตให้นำไปใช้ประโยชน์ด้านการค้า
ไม่ว่ากรณีใดๆทั้งสิ้น อีกทั้งห้ามมิให้ดัดแปลงเนื้อหา และตัดข่างอิงถึงเจ้าของเอกสารทุกครั้งที่มีการนำไปใช้

บทที่ 1

บทนำ

1.1 ปัญหาที่พบในตัวควบคุมดั้งเดิม

ในระบบเชิงเส้นที่สามารถหาแบบจำลองทางคณิตศาสตร์ได้นั้น ตัวควบคุมที่สามารถออกแบบระบบควบคุมให้มีผลตอบสนองเข้าสู่ค่าเป้าหมายได้อย่างรวดเร็วและไม่มีค่าความผิดพลาดได้แก่ ตัวควบคุมพีไอ(proportional-integral controller) ตัวควบคุมพีดี(proportional-derivative controller) และตัวควบคุมพีไอดี(proportional-integral-derivative controller) แต่ในกรณีที่กระบวนการเป็นระบบชนิดศูนย์(type 0 system) ที่ถูกควบคุมด้วยตัวควบคุมพีดี จะยังคงมีความผิดพลาดที่สถานะคงตัว(steady state error)อยู่ หรือถ้าระบบที่ถูกควบคุมนั้นเป็นระบบไม่เป็นเชิงเส้น ระบบที่ไม่รู้แบบจำลองทางคณิตศาสตร์ ระบบอันดับสูง(high order system) ระบบที่มีความไม่แน่นอน(uncertain system) เป็นต้น ตัวควบคุมแบบดั้งเดิมจะให้ผลตอบสนองไม่เป็นที่น่าพอใจ เนื่องจากสาเหตุดังต่อไปนี้

- การควบคุมระบบไม่เป็นเชิงเส้นด้วยตัวควบคุมแบบดั้งเดิมนั้นจะใช้ได้เมื่อสามารถหาแบบจำลองทางคณิตศาสตร์ของระบบไม่เป็นเชิงเส้นได้ ซึ่งเป็นที่ทราบกันดีว่าการหาแบบจำลองของระบบไม่เป็นเชิงเส้นนั้นมีความยุ่งยาก อันเนื่องมาจากโครงสร้างที่ซับซ้อนของระบบไม่เป็นเชิงเส้นด้วยเหตุนี้จึงเป็นข้อจำกัดของการควบคุมไม่เชิงเส้นแบบดั้งเดิม(conventional nonlinear control)

- ถ้าแบบจำลองทางคณิตศาสตร์ของระบบมีความคลาดเคลื่อนจากแบบจำลองของระบบจริงมาก ก็จะทำให้ผลตอบสนองของระบบควบคุมวงปิดที่ใช้ตัวควบคุมแบบดั้งเดิม ไม่เป็นไปตามที่ได้ออกแบบไว้ และจะทำให้ระบบควบคุมไม่มีเสถียรภาพหากความคลาดเคลื่อนของแบบจำลองมีมากเกินไป

- หากไม่สามารถรู้แบบจำลองทางคณิตศาสตร์ของระบบที่จะควบคุม ก็สามารถออกแบบตัวควบคุมแบบดั้งเดิมให้ระบบควบคุมมีผลตอบสนองที่ดีได้ โดยการปรับเกน(gain)ของตัวควบคุมดั้งเดิมแบบลองผิดลองถูก(trial-and-error) ซึ่งมีความยุ่งยากและสิ้นเปลืองเวลาไปมาก กว่าจะได้เกนของตัวควบคุมที่ให้ผลการควบคุมตามต้องการ

- สำหรับระบบที่มีความไม่แน่นอนนั้น สามารถควบคุมด้วยตัวควบคุมแบบดั้งเดิมโดยไม่พิจารณาความไม่แน่นอน เพื่อความง่ายในการวิเคราะห์ ซึ่งสามารถให้ผลตอบสนองที่ดีในระดับหนึ่ง แต่ถ้าหากนำความไม่แน่นอนมาพิจารณาด้วย จะทำให้ระบบมีความถูกต้องมากยิ่งขึ้น แต่จะทำให้การออกแบบตัวควบคุมแบบดั้งเดิมมีความยุ่งยากเพิ่มขึ้นหรือในบางครั้งไม่สามารถออกแบบตัวควบคุมแบบดั้งเดิมได้

- การควบคุมระบบอันดับสูงด้วยตัวควบคุมดั้งเดิมนั้น สามารถทำได้โดยประมาณระบบอันดับสูงให้เป็นระบบอันดับต่ำ แล้วจึงออกแบบตัวควบคุมเพื่อควบคุมระบบอันดับต่ำนั้น แต่ผลการควบคุมที่ได้อาจไม่น่าพอใจ

1.2 แนะนำตัวควบคุมฟัซซีและงานวิจัยที่ผ่านมา

ตามปกติความรู้และประสบการณ์ในเรื่องการควบคุมกระบวนการที่มีความซับซ้อนมักจะอยู่ในรูปของภาษามนุษย์ ซึ่งง่ายต่อการทำความเข้าใจและปฏิบัติตาม แต่ยากสำหรับการนำไปออกแบบและสร้างเป็นตัวควบคุมด้วยวิธีการออกแบบตัวควบคุมแบบดั้งเดิม ทั้งนี้เนื่องจากวิธีการในการควบคุมของผู้ปฏิบัติการจะเป็นกฎซึ่งอยู่ในรูปเงื่อนไข ถ้า แล้ว โดยตัวแปรที่ใช้ในการควบคุมจะถูกนิยามในเชิงคุณภาพ และค่าของตัวแปรนี้มีความคลุมเครือ(vagueness) จนกระทั่งในปี ค.ศ. 1965 Professor Lotfy Zadeh จึงนำเสนอฟัซซีเซต(fuzzy set)[1] และฟัซซีลอจิก(fuzzy logic) เพื่อใช้หาข้อสรุปตามหลักการเหตุผล(approximate reasoning) เมื่อตัวแปรของระบบถูกนิยามในเชิงคุณภาพและมีความคลุมเครือ[2]

ต่อมาในปี ค.ศ. 1974 อี เอช แมมดานิ(E.H. Mamdani) ได้นำหลักการนี้มาประยุกต์ใช้ในการออกแบบตัวควบคุมฟัซซี(fuzzy controller)[3,4] โดยแปลงความรู้ที่ได้จากประสบการณ์การควบคุมของผู้ปฏิบัติการให้อยู่ในรูปเงื่อนไข ถ้า แล้ว ให้เป็นกฎการควบคุมที่มีตัวแปรเป็นฟัซซีเซต ซึ่งตัวควบคุมฟัซซีจะเป็นตัวกลางในการเชื่อมโยงระหว่างสัญญาณที่ใช้งานจริง เช่น สัญญาณในการตรวจวัดจากอุปกรณ์เซ็นเซอร์และสัญญาณในการควบคุมอุปกรณ์ ซึ่งถูกวัดเป็นตัวแปรเชิงปริมาณกับกฎการควบคุมซึ่งถูกนิยามด้วยตัวแปรฟัซซี ดังนั้น การทำงานของตัวควบคุมฟัซซีจะประกอบด้วยโครงสร้างหลัก 3 ส่วนคือ

1. การแปลงสัญญาณจากอุปกรณ์เซ็นเซอร์ ซึ่งอยู่ในรูปของตัวแปรเชิงปริมาณให้เป็นตัวแปรฟัซซี เรียกขั้นตอนนี้ว่า การฟัซซีฟิเคชัน(fuzzification)
2. การประมวลผลเพื่อหาสัญญาณควบคุมจากกฎการควบคุม โดยใช้วิธีการหาข้อสรุปจากหลักการและเหตุผล ตามอัลกอริทึมแบบฟัซซี เรียกว่า การฟัซซีอินเฟอเรนซ์(fuzzy inference)
3. การหาขนาดของสัญญาณควบคุม โดยการแปลงตัวแปรฟัซซีที่อยู่ในรูปของฟัซซีเซตให้เป็นตัวแปรเชิงปริมาณ เรียกว่า การดีฟัซซีฟิเคชัน(defuzzification)

ตัวควบคุมฟัซซีที่ออกแบบด้วยวิธีการของแมมดานินั้น เรียกกันในภายหลังว่าตัวควบคุมฟัซซีชนิดแมมดานิ(ถ้ากล่าวถึงคำว่า “ตัวควบคุมฟัซซี” ก็จะเป็นที่ทราบกันว่าหมายถึงตัวควบคุมฟัซซีชนิดแมมดานิ) โดยงานวิจัยของระบบควบคุมฟัซซีในช่วงแรก ๆ นั้น จะไม่มีการวิเคราะห์เอกสารนี้เป็นเอกสารที่สงวนไว้สำหรับการใช้งานเพื่อการศึกษาเท่านั้น ไม่อนุญาตให้นำไปใช้ประโยชน์ด้านการค้าไม่ว่ากรณีใดๆทั้งสิ้น อีกทั้งห้ามมิให้ดัดแปลงเนื้อหา และต้องอ้างอิงถึงเจ้าของเอกสารทุกครั้งที่มีการนำไปใช้

เสถียรภาพ เนื่องจากผลลัพธ์ของกฎการควบคุมอยู่ในรูปของตัวแปรเชิงภาษาหรือฟัซซีเซต จึงทำให้ไม่สามารถหาเงื่อนไขเสถียรภาพที่อยู่ในรูปของสมการคณิตศาสตร์ได้ ต่อมาจึงได้มีงานวิจัยที่มีการวิเคราะห์เสถียรภาพของระบบควบคุมที่ออกแบบด้วยตัวควบคุมฟัซซีชนิดแมมดานิ ได้แก่ฟัซซีพีไอ [5] ฟัซซีพีดี [6] ฟัซซีพีไอ+ดี [7] ฟัซซีพีดี+ไอ [8] และฟัซซีพีไอดี [9] ซึ่งแก้ปัญหาผลลัพธ์ของกฎการควบคุมที่อยู่ในรูปของตัวแปรเชิงภาษา โดยแทนตัวแปรเชิงภาษาเหล่านั้นด้วยค่าคงที่ จึงจะสามารถวิเคราะห์เสถียรภาพได้

ในปี ค.ศ. 1985 ทากางิและซูกะโน (Takagi-Sugeno) ได้นำเสนอการออกแบบตัวควบคุมฟัซซี โดยแปลงผลลัพธ์ของกฎการควบคุมในรูป ถ้า แล้ว ที่ได้จากประสบการณ์การควบคุมของผู้ปฏิบัติการให้อยู่ในรูปของสมการเชิงเส้น (linear equation) เรียกตัวควบคุมฟัซซีชนิดนี้ว่า ตัวควบคุมฟัซซีชนิดทากางิ-ซูกะโน โดยงานวิจัยของตัวควบคุมฟัซซีชนิดทากางิ-ซูกะโน ได้แก่ ทากางิ-ซูกะโนฟัซซีพีไอ [10] และทากางิ-ซูกะโนฟัซซีพีดี [11]

1.3 ประโยชน์ของการใช้ตัวควบคุมฟัซซี

ตัวควบคุมฟัซซีได้เข้ามามีบทบาทสำคัญในการควบคุมกระบวนการทางอุตสาหกรรม เนื่องจากมีข้อดีที่เป็นจุดเด่นหลายประการ ดังนี้

- สามารถออกแบบตัวควบคุมได้ โดยไม่ต้องรู้แบบจำลองทางคณิตศาสตร์ของกระบวนการ เนื่องจากการออกแบบตัวควบคุม ใช้วิธีแปลงความรู้หรือประสบการณ์ของผู้เชี่ยวชาญให้เป็นกฎการควบคุมในรูปของเงื่อนไข
- สามารถควบคุมกระบวนการที่ไม่เป็นเชิงเส้นได้ เนื่องจากตัวควบคุมฟัซซีมีคุณสมบัติของความไม่เป็นเชิงเส้นอยู่ในตัว โดยสามารถกำหนดความสัมพันธ์ของกฎการควบคุมให้เป็นแบบไม่เชิงเส้น
- สามารถควบคุมกระบวนการที่มีความไม่แน่นอนได้ เนื่องจากตัวควบคุมฟัซซีมีความคงทน (robust) ต่อการเปลี่ยนแปลง เพราะฟังก์ชันความเป็นสมาชิกนั้นจะกำหนดเป็นช่วงบริเวณ เช่น กำหนดให้เป็นฟังก์ชันของสามเหลี่ยม ฟังก์ชันสี่เหลี่ยมคางหมู เป็นต้น

1.4 วัตถุประสงค์และขอบเขตของวิทยานิพนธ์

วัตถุประสงค์ของวิทยานิพนธ์

1. ในวิทยานิพนธ์นี้ จะนำเสนอการวิเคราะห์เสถียรภาพของระบบควบคุมทากางิ-ซูกะโน ฟัซซีพีไอ+ดี (เรียกสั้น ๆ ว่าทีเอสฟัซซีพีไอ+ดี) และระบบควบคุมทากางิ-ซูกะโนฟัซซีพีดี+ไอ (ทีเอสฟัซซีพีดี+ไอ) ในการหาเงื่อนไขเสถียรภาพแบบบีไอบีโอ (bounded-input bounded-output stability) โดยใช้ทฤษฎีบทเกนน้อย (small gain theorem) เพื่อประกันความมีเสถียรภาพในการจำลองการควบคุมและการควบคุมจริง

เอกสารนี้เป็นเอกสารที่สงวนไว้สำหรับการใช้งานเพื่อการศึกษาเท่านั้น ไม่อนุญาตให้นำไปใช้ประโยชน์ด้านการค้า ไม่ว่ากรณีใดๆทั้งสิ้น อีกทั้งห้ามมิให้ตัดแปลงเนื้อหา และต้องอ้างอิงถึงเจ้าของเอกสารทุกครั้งที่มีการนำไปใช้

2. เงื่อนไขเสถียรภาพที่ได้จะพิจารณาความไม่แน่นอนของการหาแบบจำลองของกระบวนการที่ถูกควบคุม ซึ่งในวิทยานิพนธ์นี้ ความไม่แน่นอนของการหาแบบจำลองนั้น จะพิจารณาในรูปของความคลาดเคลื่อนที่เกิดจากการหาแบบจำลอง ที่สามารถอธิบายในรูปของความไม่แน่นอนเชิงบวก(additive uncertainty)

ขอบเขตของวิทยานิพนธ์

ในวิทยานิพนธ์ฉบับนี้ ประกอบด้วยเนื้อหาทั้งหมด 6 บท ดังนี้

บทที่ 1 บทนำ กล่าวถึงปัญหาต่าง ๆ ที่พบของตัวควบคุมดั้งเดิมเมื่อควบคุมกระบวนการที่มีความซับซ้อน แนะนำการใช้ตัวควบคุมฟัซซีเพื่อแก้ปัญหของตัวควบคุมดั้งเดิม งานวิจัยที่ผ่านมาของตัวควบคุมฟัซซี วัตถุประสงค์ของวิทยานิพนธ์ และขอบเขตของวิทยานิพนธ์

บทที่ 2 ทฤษฎีทางคณิตศาสตร์สำหรับการควบคุมฟัซซี กล่าวถึงหลักการและทฤษฎีที่เป็นพื้นฐาน ซึ่งนำมาประยุกต์ใช้ในการออกแบบตัวควบคุม ประกอบด้วยส่วนต่างๆดังนี้

- ทฤษฎีทางคณิตศาสตร์ของเซตดั้งเดิม(classical sets) และข้อจำกัดของเซตดั้งเดิม
- ทฤษฎีทางคณิตศาสตร์ของฟัซซี เช่น ทฤษฎีฟัซซีเซต การปฏิบัติการฟัซซีลอจิก(fuzzy logic operations) การฟัซซีฟิเคชัน กฎฟัซซี(fuzzy rules) ฟัซซีอินเฟอเรนซ์ และการดีฟัซซีฟิเคชัน
- หลักการและ โครงสร้างของตัวควบคุมแมมดานีฟัซซี(Mamdani fuzzy controller)
- หลักการและ โครงสร้างของตัวควบคุมทีเอสฟัซซี(TS fuzzy controller)

บทที่ 3 การออกแบบตัวควบคุม กล่าวถึงโครงสร้างของตัวควบคุม 2 ชนิด คือตัวควบคุมทีเอสฟัซซีพีไอ+ดี(TS fuzzy PI+D controller)และตัวควบคุมทีเอสฟัซซีพีดี+ไอ(TS fuzzy PD+I controller) การออกแบบตัวควบคุมทั้งสอง เช่นการกำหนดจำนวนฟัซซีเซตและฟังก์ชันการเป็นสมาชิก(membership function)ของตัวแปรอินพุต การกำหนดรูปแบบของกฎฟัซซี การเลือกวิธีฟัซซีฟิเคชัน การเลือกวิธีอินเฟอเรนซ์ และการเลือกวิธีดีฟัซซีฟิเคชัน พร้อมทั้งแสดงให้เห็นความสัมพันธ์ระหว่างตัวควบคุมฟัซซีและตัวควบคุมแบบดั้งเดิม

บทที่ 4 การวิเคราะห์เสถียรภาพ กล่าวถึงการพิสูจน์หาเงื่อนไขเสถียรภาพแบบบีโอบีโอของระบบควบคุมทีเอสฟัซซีพีไอ+ดีและทีเอสฟัซซีพีดี+ไอโดยใช้ทฤษฎีบทเกนน้อย ที่มีการพิจารณาความไม่แน่นอนที่เกิดจากการหาแบบจำลองของกระบวนการที่ถูกควบคุม จะได้เงื่อนไขที่

พอเพียง(sufficient condition)เพื่อประกันการมีเสถียรภาพ ตลอดจนวิเคราะห์ความเชื่อมโยงกับผลงานวิจัยและทฤษฎีที่มีมาก่อน

บทที่ 5 การจำลองการควบคุมและการทดลอง กล่าวถึงการแสดงผลการจำลองการควบคุมและผลการควบคุมจริง เพื่อทดสอบประสิทธิภาพของตัวควบคุมที่นำเสนอ ได้แบ่งการทดลองออกเป็น 2 ส่วน คือ

1. เปรียบเทียบผลตอบสนองระหว่างระบบควบคุมที่เอสพีซีพีไอ+ดีกับระบบควบคุมที่เอสพีซีพีดี+ไอ
2. เปรียบเทียบผลตอบสนองระหว่างระบบควบคุมพีซีพีที่นำเสนอกับระบบควบคุมแบบดั้งเดิม

โดยจำลองระบบควบคุมด้วยโปรแกรมคอมพิวเตอร์(simulation) เพื่อตรวจสอบความถูกต้องในการทำงานของตัวควบคุม ก่อนนำตัวควบคุมไปควบคุมกระบวนการจริง

บทที่ 6 บทสรุปและแนวทางในการพัฒนา กล่าวถึงการสรุปผลการทดลอง ปัญหาที่พบในการวิจัย ข้อเสนอแนะ และแนวทางในการพัฒนาต่อไป

ภาคผนวก ก. กล่าวถึง รายละเอียดของอุปกรณ์และวงจร ประกอบด้วย

- อุปกรณ์ต่าง ๆ ที่ใช้ในการทดลอง ได้แก่ ตัวถังต้มน้ำและเซ็นเซอร์วัดอุณหภูมิ
- อุปกรณ์ทางอิเล็กทรอนิกส์ ได้แก่ วงจรบริดจ์(bridge) วงจรขยายผลต่าง(differential amplifier) วงจรกรองความถี่(filter) วงจรอินเวอร์ตติ้งแอมพลิไฟเออร์(inverting amplifier) และวงจรแอคทูเอเตอร์(actuator)

ภาคผนวก ข. กล่าวถึง ผลงานวิจัยที่ได้รับการตีพิมพ์

บทที่ 2

ทฤษฎีทางคณิตศาสตร์สำหรับการควบคุมฟัซซี

ในการออกแบบตัวควบคุมฟัซซี จะต้องอาศัยความรู้ทางคณิตศาสตร์เกี่ยวกับฟัซซี เพื่อใช้เป็นพื้นฐานในการทำความเข้าใจโครงสร้างและหลักการทํางานของตัวควบคุมฟัซซี และเพื่อใช้ในการกำหนดโครงสร้างและวิธีการออกแบบให้เหมาะสมกับลักษณะการใช้งาน ดังนั้น เนื้อหาในบทนี้จะกล่าวถึงทฤษฎีทางคณิตศาสตร์ของเซตดั้งเดิมและข้อจำกัดของเซตดั้งเดิม อันนำไปสู่ทฤษฎีทางคณิตศาสตร์ของฟัซซี การปฏิบัติการฟัซซีลอจิก ฟัซซีพีเคชัน กฎฟัซซี ฟัซซีอินเฟอเรนซ์ดีฟัซซีพีเคชัน และเนื้อหาส่วนสุดท้ายกล่าวถึงองค์ประกอบของตัวควบคุมฟัซซี

2.1 เซตดั้งเดิมและฟัซซีเซต

2.1.1 ทฤษฎีเซตดั้งเดิม

นิยาม 1 เอกภพสัมพัทธ์

เอกภพสัมพัทธ์(universe of discourse: U) คือ เซตที่มีสมาชิกเป็นสมาชิกทั้งหมดของขอบเขตที่ทำการพิจารณา

กำหนดให้ u เป็นสมาชิกใดๆของ U เขียนแทนด้วยสัญลักษณ์ $u \in U$

นิยาม 2 คริสป์เซต

คริสป์เซต(crisp set) คือ กลุ่มของสมาชิกที่มีคุณสมบัติตามข้อกำหนด ซึ่งอาจมีจำนวนจำกัดหรือไม่จำกัดก็ได้

นิยาม 3 ฟังก์ชันการเป็นสมาชิก

ฟังก์ชันการเป็นสมาชิก(μ) ของเซต เขียนแทนด้วยสัญลักษณ์ μ ถูกนิยามดังนี้

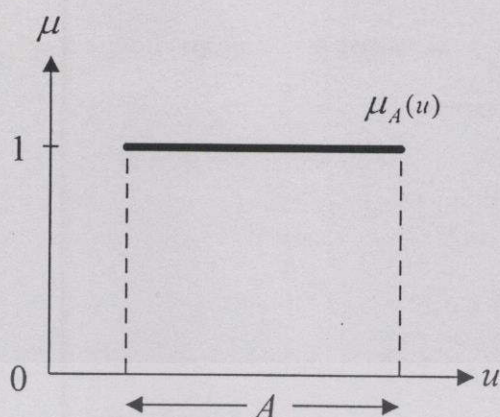
$\mu_A(u)$ มีค่าเท่ากับ 1 เมื่อ u เป็นสมาชิกของเซต A

$\mu_A(u)$ มีค่าเท่ากับ 0 เมื่อ u ไม่เป็นสมาชิกของเซต A

จะได้ว่า $\mu_A(u) : U \in \{0,1\}$

$$\mu_A(u) = \begin{cases} 1; & u \in A \\ 0; & u \notin A \end{cases} \quad (2.1)$$

เอกสารนี้เป็นเอกสารที่สงวนไว้สำหรับการใช้งานเพื่อการศึกษาเท่านั้น ไม่อนุญาตให้นำไปใช้ประโยชน์ด้านการค้าไม่ว่ากรณีใดๆทั้งสิ้น อีกทั้งห้ามมิให้ดัดแปลงเนื้อหา และต้องอ้างอิงถึงเจ้าของเอกสารทุกครั้งที่มีการนำไปใช้



รูปที่ 2.1 แสดงฟังก์ชันคุณลักษณะของกริซปีเซต

นิยาม 4 การเท่ากันของเซต

เซต A จะเท่ากับเซต B ก็ต่อเมื่อ สมาชิกทุกตัวของเซต A เป็นสมาชิกของเซต B และสมาชิกทุกตัวของเซต B เป็นสมาชิกของเซต A เขียนแทนด้วยสัญลักษณ์ $A = B$

$$(A = B) \leftrightarrow ((\forall_a \in B) \wedge (\forall_b \in A); a \in A, b \in B) \quad (2.2)$$

นิยาม 5 การเป็นสับเซต

เซต A จะเป็นสับเซต(subset) ของเซต B ก็ต่อเมื่อ สมาชิกทุกตัวของเซต A เป็นสมาชิกของเซต B เขียนแทนด้วยสัญลักษณ์ $A \subseteq B$

$$(A \subseteq B) \leftrightarrow (\forall_a \in B; a \in A) \quad (2.3)$$

เซต A จะเป็นสับเซตแท้ของเซต B ก็ต่อเมื่อ สมาชิกทุกตัวของเซต A เป็นสมาชิกของเซต B และเซต A ไม่เท่ากับเซต B เขียนแทนด้วยสัญลักษณ์ $A \subset B$

$$(A \subset B) \leftrightarrow ((\forall_a \in B) \wedge (A \neq B); a \in A) \quad (2.4)$$

นิยาม 6 การปฏิบัติการพื้นฐานของเซต

คอมพลีเมนต์(complement) คือ ตัวปฏิบัติการในการสร้างเซตใหม่จากเซตเดิม โดยที่สมาชิกของเซตใหม่คือสมาชิกของเอกภพสัมพัทธ์ U ที่ไม่เป็นสมาชิกของเซตเดิม เขียนแทนด้วยสัญลักษณ์ดังนี้

$$A' = \{x \mid (x \in U) \wedge (x \notin A)\} \quad (2.5)$$

เอกสารนี้เป็นเอกสารที่สงวนไว้สำหรับการใช้งานเพื่อการศึกษาเท่านั้น ไม่อนุญาตให้นำไปใช้ประโยชน์ด้านการค้า ไม่ว่าจะกรณีใดๆทั้งสิ้น อีกทั้งห้ามมิให้คัดแปลงเนื้อหา และต้องอ้างอิงถึงเจ้าของเอกสารทุกครั้งที่มีการนำไปใช้

ยูเนียน(union) คือ ตัวปฏิบัติการในการสร้างเซตใหม่จากเซตเดิม 2 เซต โดยที่สมาชิกของเซตใหม่ได้จากการรวมสมาชิกทั้งหมดที่เป็นสมาชิกของเซตใดเซตหนึ่ง หรือทั้ง 2 เซต เขียนแทนด้วยสัญลักษณ์ดังนี้

$$A \cup B = \{x \mid (x \in A) \vee (x \in B)\} \quad (2.6)$$

อินเตอร์เซกชัน(intersection) คือ ตัวปฏิบัติการในการสร้างเซตใหม่จากเซตเดิม 2 เซต โดยที่สมาชิกของเซตใหม่ได้จากการรวมสมาชิกทั้งหมดที่เป็นสมาชิกของเซตเดิมทั้ง 2 เซต เขียนแทนด้วยสัญลักษณ์ดังนี้

$$A \cap B = \{x \mid (x \in A) \wedge (x \in B)\} \quad (2.7)$$

2.1.2 ข้อจำกัดของเซตดั้งเดิม

ในทฤษฎีเซตดั้งเดิม ค่าความเป็นสมาชิกเซตของเซตนั้นมีค่าไม่เป็นหนึ่ง(1) ก็เป็นศูนย์(0) หมายถึงวัตถุเป็นสมาชิกของเซตอย่างสมบูรณ์หรือไม่มีความเป็นสมาชิกของเซตเลย จะไม่มีการเป็นสมาชิกเซตเพียงบางส่วน โดยเรียกเซตดั้งเดิมเหล่านี้ว่าคริสป์เซต ใช้ได้ดีกับสมาชิกที่ไม่มีความคลุมเครือ หรือมีความคลุมเครือเพียงเล็กน้อย อย่างไรก็ตาม ในความเป็นจริงแล้วความคลุมเครือจะเกี่ยวข้องในชีวิตประจำวันของเรามากมาย โดยเฉพาะในการสื่อสารของมนุษย์ เช่นคำว่า “หนุ่ม” เป็นตัวอย่างหนึ่งของความคลุมเครือของอายุ ซึ่งบางครั้งจะสร้างความสับสนว่าอายุเท่าไรจึงจะเรียกว่าหนุ่มและอายุเท่าไรจึงจะเรียกว่าไม่หนุ่ม



รูปที่ 2.2 แสดงคริสป์เซตของคำว่า “หนุ่ม”

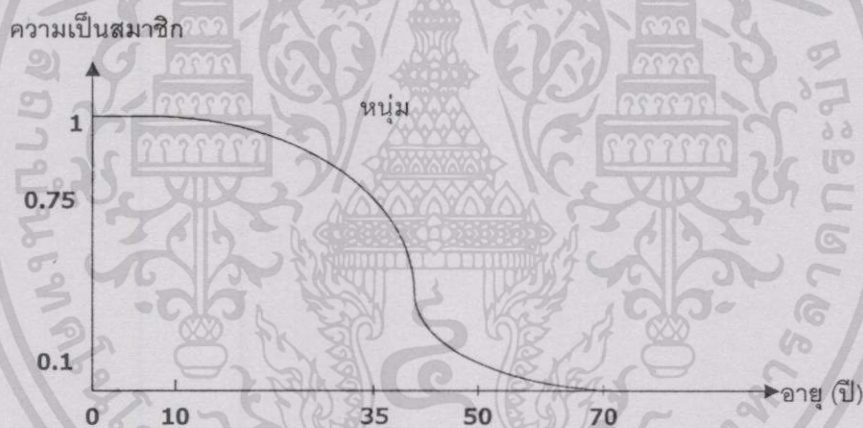
โดยแทนคำว่า “หนุ่ม” ให้เป็นสมาชิกในคริสป์เซต แสดงดังรูปที่ 2.2 พบว่าไม่สมเหตุสมผล เพราะการเปลี่ยนแปลงอย่างทันทีทันใดของค่าความเป็นสมาชิกจาก 1 ไป 0 ที่อายุ 35 ปี ทำให้เกิดคำถามขึ้นมาว่า ทำไมอายุ 34.9 ปีมีความหนุ่มอย่างสมบูรณ์ ในขณะที่อายุ 35.1 ปี ไม่มีความ

เอกสารนี้เป็นเอกสารที่สงวนไว้สำหรับการใช้งานเพื่อการศึกษาเท่านั้น ไม่อนุญาตให้นำไปใช้ประโยชน์ด้านการค้าไม่ว่ากรณีใดๆทั้งสิ้น อีกทั้งห้ามมิให้ตัดแปลงเนื้อหา และต้องอ้างอิงถึงเจ้าของเอกสารทุกครั้งที่มีการนำไปใช้

หนุ่มอยู่เลย จึงเป็นข้อจำกัดของการใช้เซตดั้งเดิมกับสมาชิกที่มีความคลุมเครือ ด้วยเหตุนี้จึงนำไปสู่ทฤษฎีฟัซซีเซต

2.1.3 ฟัซซีเซต

ทฤษฎีฟัซซีเซต ถูกนำเสนอครั้งแรกโดยศาสตราจารย์ L. A. Zadeh จากมหาวิทยาลัยแคลิฟอร์เนีย ในปี 1965 เพื่อแก้ปัญหาสมาชิกของเซตที่มีความคลุมเครือ เนื่องจากฟัซซีเซตมีค่าความเป็นสมาชิกอยู่ในช่วงตั้งแต่ 0 ถึง 1 โดย 0 หมายถึงไม่เป็นสมาชิกและ 1 หมายถึงเป็นสมาชิกอย่างสมบูรณ์ ตัวอย่างคำว่า “หนุ่ม” เป็นสมาชิกของฟัซซีเซตแสดงดังรูปที่ 2.3 พบว่าอายุ 35 ปี มีค่าความเป็นสมาชิกของความหนุ่มเท่ากับ 0.75 และอายุ 50 ปี มีค่าความเป็นสมาชิกของความหนุ่มเท่ากับ 0.1 นั่นคือ ทุกค่าอายุจะมีค่าความเป็นสมาชิกของความหนุ่มที่แตกต่างกัน โดยเส้นโค้งในรูปเรียกว่า ฟังก์ชันความเป็นสมาชิกของฟัซซีเซต “หนุ่ม” ช่วงอายุที่เป็นไปได้ตั้งแต่ 0 ถึง 130 ปี เรียกว่า เอกภพสัมพัทธ์



รูปที่ 2.3 แสดงฟัซซีเซตของคำว่า “หนุ่ม”

ในวิทยานิพนธ์ฉบับนี้จะใช้พยัญชนะตัวใหญ่ที่มีเครื่องหมายทิวเดิล (เช่น \tilde{A}) แทนฟัซซีเซต สมาชิกของเอกภพสัมพัทธ์เขียนแทนด้วย $x \in X$ เมื่อ x คือสมาชิกของเอกภพสัมพัทธ์ และ X คือเอกภพสัมพัทธ์ ฟังก์ชันความเป็นสมาชิกของ \tilde{A} เขียนแทนด้วย $\mu_{\tilde{A}}(x)$

คำจำกัดความของฟัซซีเซตมีดังนี้

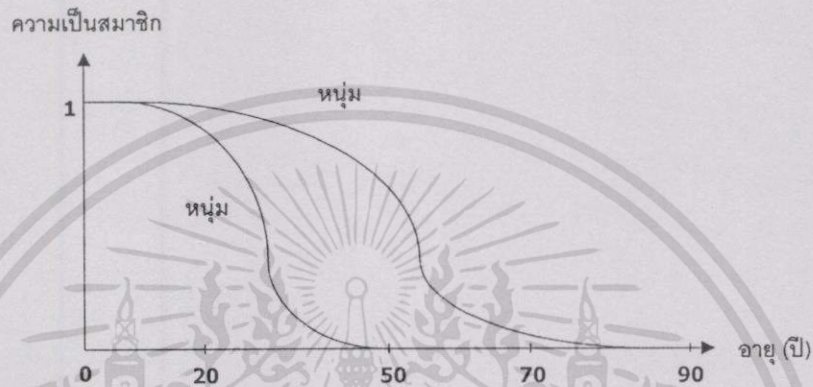
ฟัซซีเซต

ฟัซซีเซต คือ เซตคู่ลำดับของสมาชิกเอกภพสัมพัทธ์ที่สนใจและค่าความเป็นสมาชิก แสดงดังสมการ

$$\tilde{A} = \{(x, \mu_{\tilde{A}}(x)) | x \in X\} \quad (2.8)$$

เอกสารนี้เป็นเอกสารที่สงวนไว้สำหรับการใช้งานเพื่อการศึกษาเท่านั้น ไม่อนุญาตให้นำไปใช้ประโยชน์ด้านการค้าไม่ว่ากรณีใดๆทั้งสิ้น อีกทั้งห้ามมิให้ตัดแปลงเนื้อหา และต้องอ้างอิงถึงเจ้าของเอกสารทุกครั้งที่มีการนำไปใช้

มุมมองของแต่ละคนอาจมองความหมายของสมาชิกที่คลุมเครือแตกต่างกัน จึงสามารถใช้ฟังก์ชันเซตในการกำหนดความหมายที่แตกต่างกันได้ เช่นคำว่า “หนุ่ม” บางคนอาจมองว่าอายุ 50 ปี มีค่าความเป็นสมาชิกของ “หนุ่ม” ถึง 0.6 ในขณะที่บางคนอาจมองว่าอายุ 20 ปี มีค่าความเป็นสมาชิกของ “หนุ่ม” เพียง 0.7 เท่านั้น ฟังก์ชันความเป็นสมาชิกที่แตกต่างกัน ให้คำจำกัดความของฟังก์ชันเซต “หนุ่ม” ที่แตกต่างกัน แสดงดังรูปที่ 2.4



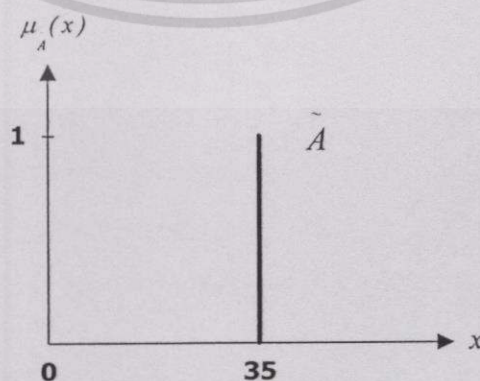
รูปที่ 2.4 แสดงฟังก์ชันเซตของคำว่า “หนุ่ม” ที่แตกต่างกันสองฟังก์ชันเซต

ฟังก์ชันเซตต่อเนื่อง

ฟังก์ชันเซตถูกเรียกว่าฟังก์ชันเซตต่อเนื่อง (continuous fuzzy sets) ก็ต่อเมื่อฟังก์ชันความเป็นสมาชิกมีความต่อเนื่อง

ซิงเกิลตันฟังก์ชันเซต

ฟังก์ชันเซตที่มีค่าความเป็นสมาชิกไม่เป็นศูนย์สำหรับสมาชิกของเอกภพสัมพัทธ์เพียงหนึ่งสมาชิก เรียกว่าซิงเกิลตันฟังก์ชันเซต (singleton fuzzy sets) จากรูปที่ 2.5 แสดงซิงเกิลตันฟังก์ชันเซต โดยมีค่าความเป็นสมาชิกเท่ากับศูนย์ทุกตำแหน่ง ยกเว้นที่ $x = 35$ มีค่าความเป็นสมาชิกเท่ากับหนึ่ง



รูปที่ 2.5 แสดงตัวอย่างฟังก์ชันความเป็นสมาชิกของซิงเกิลตันฟังก์ชันเซต

เอกสารนี้เป็นเอกสารที่สงวนไว้สำหรับกรใช้งานเพื่อการศึกษาเท่านั้น ไม่อนุญาตให้นำไปใช้ประโยชน์ด้านการค้าไม่ว่ากรณีใดๆทั้งสิ้น อีกทั้งห้ามมิให้ตัดแปลงเนื้อหา และต้องอ้างอิงถึงเจ้าของเอกสารทุกครั้งที่มีการนำไปใช้

ซัพพอร์ตของฟัซซีเซต

สำหรับฟัซซีเซตซึ่งมีเอกภพสัมพัทธ์คือ X สมาชิกทั้งหมดในเอกภพสัมพัทธ์ X ที่มีค่าความเป็นสมาชิกไม่เป็นศูนย์ คือซัพพอร์ตของฟัซซีเซต(support of a fuzzy set) ตัวอย่างซัพพอร์ตของฟัซซีเซต “นุ่ม” แสดงในรูปที่ 2.3 คือ $[0, 70]$

ความสูงของฟัซซีเซต

ค่าความเป็นสมาชิกที่มีค่ามากที่สุดของฟัซซีเซต เรียกว่า ความสูงของฟัซซีเซต(height of a fuzzy set)

นอร์มอลฟัซซีเซตและสับนอร์มอลฟัซซีเซต

ฟัซซีเซตจะถูกเรียกว่านอร์มอล(normal fuzzy set) ก็ต่อเมื่อมีความสูงเท่ากับหนึ่ง และฟัซซีเซตจะถูกเรียกว่าสับนอร์มอล(subnormal fuzzy set) ก็ต่อเมื่อมีความสูงไม่เท่ากับหนึ่ง

คอนเวกซ์ฟัซซีเซต

ฟัซซีเซต \tilde{A} เป็นเอกภพสัมพัทธ์ที่มีสมาชิกคือ $[a, b]$ นั้นจะคอนเวกซ์(convex fuzzy sets) ก็ต่อเมื่อ

$$\mu_{\tilde{A}}(\lambda x_1 + (1-\lambda)x_2) \geq \min(\mu_{\tilde{A}}(x_1), \mu_{\tilde{A}}(x_2)) \quad (2.9)$$

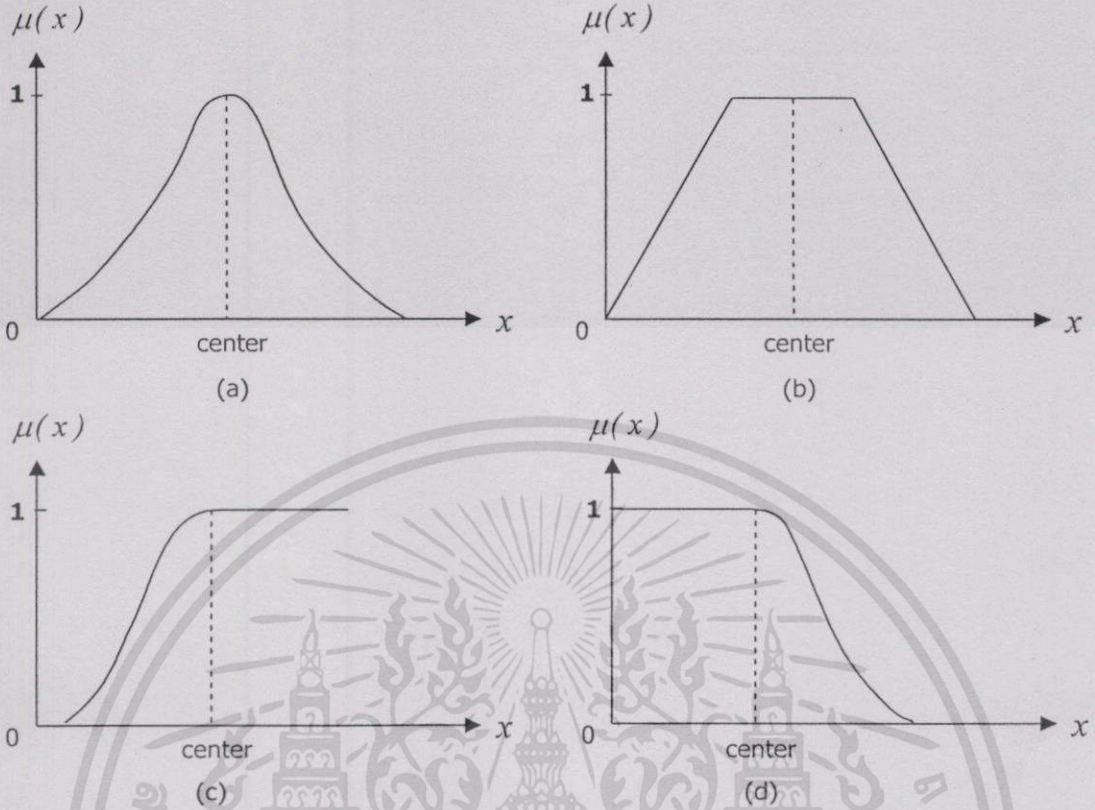
$$\forall x_1, x_2 \in [a, b] \text{ และ } \forall \lambda \in [0, 1]$$

เมื่อ $\min(\)$ คือตัวปฏิบัติการที่ให้ค่าความเป็นสมาชิกที่น้อยกว่า ระหว่าง 2 ค่าความเป็นสมาชิก

กึ่งกลางของฟัซซีเซต

ฟังก์ชันความเป็นสมาชิกที่มีลักษณะต่างกัน ก็จะมีค่าจำกัดความกึ่งกลางของฟัซซีเซต(center of a fuzzy set) แตกต่างกันด้วย ฟังก์ชันความเป็นสมาชิกที่นิยมใช้กัน มี 4 ฟังก์ชันดังแสดงในรูปที่ 2.6 นั่นคือ ถ้าฟังก์ชันความเป็นสมาชิกของฟัซซีเซตมีค่ามากที่สุดที่สมาชิกเพียงค่าเดียวของเอกภพสัมพัทธ์ สมาชิกนั้นจะเรียกว่ากึ่งกลางของฟัซซีเซต แสดงดังรูปที่ 2.6(a) ถ้าฟังก์ชันความเป็นสมาชิกของฟัซซีเซตมีค่ามากที่สุดที่สมาชิกมากกว่าหนึ่งสมาชิก ที่สามารถรู้ขอบเขตของเอกภพสัมพัทธ์ จุดกลางของสมาชิกเหล่านี้คือกึ่งกลางฟัซซีเซต แสดงดังรูปที่ 2.6(b) ถ้าฟังก์ชันความเป็นสมาชิกของฟัซซีเซตมีค่ามากที่สุดมากกว่าหนึ่งสมาชิกและค่าของเอกภพสัมพัทธ์ไม่สามารถรู้ขอบเขต กึ่งกลางฟัซซีเซตแสดงได้ดังรูปที่ 2.6(c) และ 2.6(d)

เอกสารนี้เป็นเอกสารที่สงวนไว้สำหรับการใช้งานเพื่อการศึกษาเท่านั้น ไม่อนุญาตให้นำไปใช้ประโยชน์ด้านการค้าไม่ว่ากรณีใดๆทั้งสิ้น อีกทั้งห้ามมิให้ตัดแปลงเนื้อหา และต้องอ้างอิงถึงเจ้าของเอกสารทุกครั้งที่มีการนำไปใช้



รูปที่ 2.6 แสดงกึ่งกลางของฟังก์ชันเซตของฟังก์ชันความเป็นสมาชิกจำนวน 4 ฟังก์ชัน

2.2 การปฏิบัติการฟัซซีลอจิก

ในทฤษฎีเซตดั้งเดิม มีตัวปฏิบัติการไบนารีลอจิก(binary logic operator) อันได้แก่ อินเตอร์เซกชัน(AND) ยูเนียน(OR) และคอมพลีเมนต์(NOT) เป็นต้น ตัวปฏิบัติการเหล่านี้ยังใช้ในทฤษฎีฟัซซีเซต และเรียกตัวปฏิบัติการเหล่านี้ใหม่ว่าตัวปฏิบัติการฟัซซีลอจิก(fuzzy logic operator) โดยเฉพาะอินเตอร์เซกชันและยูเนียนที่ใช้ในการออกแบบตัวควบคุมฟัซซี วิธีที่นิยมใช้กันอย่างแพร่หลายได้แก่

Zadeh fuzzy logic AND operator: $\mu_{A \cap B}(x) = \min(\mu_A(x), \mu_B(x))$

Product fuzzy logic AND operator: $\mu_{A \cap B}(x) = \mu_A(x) \times \mu_B(x)$

Zadeh fuzzy logic OR operator: $\mu_{A \cup B}(x) = \max(\mu_A(x), \mu_B(x))$

Lukasiewicz fuzzy logic OR operator: $\mu_{A \cup B}(x) = \min(\mu_A(x) + \mu_B(x), 1)$ (2.10)

เอกสารนี้เป็นเอกสารที่สงวนไว้สำหรับการใช้งานเพื่อการศึกษาเท่านั้น ไม่อนุญาตให้นำไปใช้ประโยชน์ด้านการค้าไม่ว่ากรณีใดๆทั้งสิ้น อีกทั้งห้ามมิให้ตัดแปลงเนื้อหา และต้องอ้างอิงถึงเจ้าของเอกสารทุกครั้งที่มีการนำไปใช้

2.3 ฟัชซีฟิเคชัน

การฟัชซีฟิเคชัน คือ กระบวนการหาค่าฟัชซีเซตบนเอกภพสัมพัทธ์ของอินพุต เพื่อเป็นตัวแทนของอินพุตซึ่งมีค่าเป็นตัวเลข สำหรับใช้เป็นอินพุตของระบบฟัชซี สามารถทำได้ 3 วิธีดังนี้

1. การฟัชซีฟิเคชัน โดยใช้ฟัชซีซิงเกิลตัน จะได้ว่า fuzzification(u_0) = A โดยที่ A คือฟัชซีซิงเกิลตันซึ่งมี $S(A) = \{u_0\}$

$$\text{หรือ } \mu_A(u) = \begin{cases} 1 & ; \quad u = u_0 \\ 0 & ; \quad u \neq u_0 \end{cases}$$

2. การฟัชซีฟิเคชัน โดยใช้ฟัชซีนัมเบอร์ จะได้ว่า fuzzification(u_0) = A โดยที่ A คือฟัชซีนัมเบอร์

$$\mu_A(u) = 1 \quad \text{เมื่อ} \quad u = u_0$$

และ $\mu_A(u)$ ลดลง เมื่อ u อยู่ห่างออกไปจาก u_0

ตัวอย่างของการฟัชซีฟิเคชัน โดยใช้ฟัชซีนัมเบอร์ เช่น

$$\mu_A(u) = \exp\left[-\frac{(u-u_0)^T(u-u_0)}{\sigma^2}\right]$$

โดยที่ σ เป็นพารามิเตอร์ในการกำหนดรูปร่างของ $\mu_A(u)$

3. การฟัชซีฟิเคชันโดยใช้ไฮบริดนัมเบอร์(hybrid number) จะได้ว่า fuzzification(u_0) = A โดยที่ A เป็น ไฮบริดนัมเบอร์ (ไฮบริดนัมเบอร์ คือ ฟัชซีนัมเบอร์ที่สมาชิกในเอกภพสัมพัทธ์เป็น random number)

$$\mu_A(u) = 1 \quad \text{เมื่อ} \quad u = u_0$$

และ $\mu_A(u)$ ลดลง เมื่อ u อยู่ห่างออกไปจาก u_0

2.4 กฎฟัชซี

กฎฟัชซีหรือกฎการควบคุมของตัวควบคุมฟัชซี ทำหน้าที่เชื่อมโยงระหว่างตัวแปรอินพุต (input variable) และตัวแปรเอาต์พุต(output variable) ของตัวควบคุมฟัชซี กฎฟัชซีจะอยู่ในรูปของเงื่อนไข IF ... THEN ... ซึ่งเกี่ยวข้องกับฟัชซีเซต ฟัชซีลอจิก และฟัชซีอินเฟอเรนซ์ โดยแปลงความรู้ที่ได้จากประสบการณ์และความชำนาญให้อยู่ในรูปของกฎการควบคุม

กฎฟัซซีแบ่งออกเป็น 2 ชนิด คือกฎแมมดานิฟัซซี(Mamdani fuzzy rule) และกฎทากาจิ-ซุกเก โนฟัซซี(Takagi-Sugeno fuzzy rule)

2.4.1 กฎแมมดานิฟัซซี

กฎแมมดานิฟัซซี คือกฎการควบคุมที่มีผลลัพธ์เป็นตัวแปรเชิงภาษาอยู่ในรูปของฟัซซีเซต กฎแมมดานิฟัซซีสำหรับตัวควบคุมฟัซซีที่อยู่ในรูปทั่ว ๆ ไปสามารถอธิบายได้ดังสมการ

$$\begin{aligned} \text{IF } v_1 \text{ is } \tilde{S}_1 \text{ AND } v_2 \text{ is } \tilde{S}_2 \text{ AND } \dots \text{ AND } v_M \text{ is } \tilde{S}_M \\ \text{THEN } z_1 \text{ is } \tilde{W}_1, z_2 \text{ is } \tilde{W}_2, \dots, z_p \text{ is } \tilde{W}_p, \end{aligned} \quad (2.11)$$

เมื่อ v_1, v_2, \dots, v_M คือตัวแปรอินพุต และ z_1, z_2, \dots, z_p คือตัวแปรเอาต์พุต

ในทางทฤษฎี ตัวแปรเหล่านี้เป็นได้ทั้งต่อเนื่อง(continuous) หรือดิสครีต(discrete) แต่ในทางปฏิบัติแล้วเป็นดิสครีต เพราะตัวควบคุมฟัซซีถูกสร้างด้วยดิจิทัลคอมพิวเตอร์ $\tilde{S}_1, \tilde{S}_2, \dots, \tilde{S}_M$ และ $\tilde{W}_1, \tilde{W}_2, \dots, \tilde{W}_p$ คือฟัซซีเซต และ AND คือปฏิบัติการฟัซซีลอจิก แอนด์

2.4.2 กฎทีเอสฟัซซี

กฎทากาจิ-ซุกเก โนฟัซซี เรียกสั้นๆว่ากฎทีเอสฟัซซี(TS fuzzy rules) มีผลลัพธ์ของกฎการควบคุมเป็นฟังก์ชันของตัวแปรอินพุต กฎทีเอสฟัซซีที่อยู่ในรูปทั่ว ๆ ไป อธิบายได้ดังสมการ

$$\begin{aligned} \text{IF } v_1 \text{ is } \tilde{S}_1 \text{ AND } v_2 \text{ is } \tilde{S}_2 \text{ AND } \dots \text{ AND } v_M \text{ is } \tilde{S}_M \\ \text{THEN } z_1 = f_1(v_1, v_2, \dots, v_M), z_2 = f_2(v_1, v_2, \dots, v_M), \dots, z_p = f_p(v_1, v_2, \dots, v_M) \end{aligned} \quad (2.12)$$

เมื่อ $f_1(), f_2(), \dots, f_p()$ เป็นฟังก์ชันใด ๆ ซึ่งอาจจะเป็นฟังก์ชันเชิงเส้น หรือฟังก์ชันไม่เชิงเส้นก็ได้ หากเลือกใช้ฟังก์ชันไม่เชิงเส้นแล้ว จะทำให้การวิเคราะห์ระบบควบคุมฟัซซีมีความยุ่งยาก ด้วยเหตุนี้ ในทางปฏิบัติจึงนิยมเลือกใช้ฟังก์ชันเชิงเส้น

2.5 ฟัซซีอินเฟอร์เรนซ์

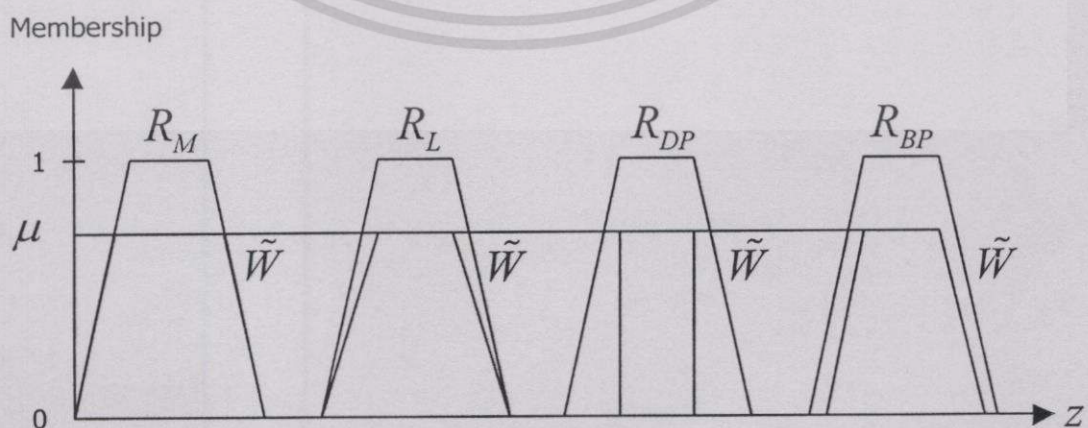
ฟัซซีอินเฟอร์เรนซ์ หรือบางครั้งเรียกว่า การหาเหตุผลฟัซซี(fuzzy reasoning) หรือหลักการเหตุผล ใช้ในกฎฟัซซีเพื่อตรวจหาผลลัพธ์ของกฎการควบคุมจากข้อมูลอินพุต กฎแมมดานิฟัซซี และกฎทีเอสฟัซซีใช้วิธีการฟัซซีอินเฟอร์เรนซ์แตกต่างกัน

สำหรับกฎแมมดานิฟัซซี่ทั่ว ๆ ไปดังแสดงในสมการที่ (2.11) นิยมใช้วิธีฟัซซี่อินเฟอร์เรนซ์ 4 วิธีแสดงดังตารางที่ 2.1 อันได้แก่ มินิมัมอินเฟอร์เรนซ์แบบแมมดานิ(Mamdani minimum inference) อินเฟอร์เรนซ์การคูณแบบลาร์เซน(Larsen product inference) อินเฟอร์เรนซ์การคูณแบบดราสติก(Drastic product inference) และอินเฟอร์เรนซ์การคูณที่มีขอบเขต(Bounded product inference) ซึ่งแทนด้วย R_M, R_L, R_{DP} และ R_{BP} ตามลำดับ

ตารางที่ 2.1 คำจำกัดความวิธีฟัซซี่อินเฟอร์เรนซ์ที่นิยมใช้ในกฎแมมดานิฟัซซี่

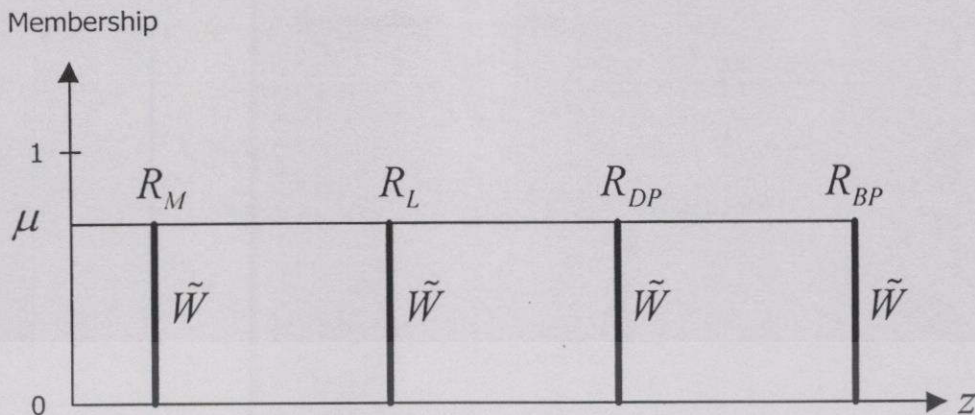
วิธีฟัซซี่อินเฟอร์เรนซ์	คำจำกัดความ
Mamdani minimum inference, R_M	$\min(\mu, \mu_{\tilde{W}}(z))$, for all z
Larsen product inference, R_L	$\mu \times \mu_{\tilde{W}}(z)$, for all z
Drastic product inference, R_{DP}	$\begin{cases} \mu, & \text{for } \mu_{\tilde{W}}(z) = 1 \\ \mu_{\tilde{W}}(z), & \text{for } \mu = 1 \\ 0, & \text{for } \mu < 1 \text{ and } \mu_{\tilde{W}}(z) < 1 \end{cases}$
Bounded product inference, R_{BP}	$\max(\mu + \mu_{\tilde{W}}(z) - 1, 0)$

จากคำจำกัดความในตารางที่ 2.1 สามารถแสดงรูปอธิบายคำจำกัดความของวิธีฟัซซี่อินเฟอร์เรนซ์ทั้ง 4 วิธี เมื่อแทนผลลัพธ์ของกฎฟัซซี่แมมดานิด้วยฟัซซี่เซตและซิงเกิลตันฟัซซี่เซตดังแสดงในรูปที่ 2.7 และรูปที่ 2.8 ตามลำดับ โดยรูปที่ 2.7 แสดงฟัซซี่เซตอยู่ในรูปของพื้นที่ที่ที่แรงงาของแต่ละวิธี สังเกตได้ว่าสามารถเขียนพื้นที่แรงงาให้อยู่ในรูปของสมการคณิตศาสตร์ เพื่อใช้ในการวิเคราะห์โครงสร้างของตัวควบคุมต่อไปได้ และรูปที่ 2.8 ซิงเกิลตันฟัซซี่เซตจะให้ผลลัพธ์ของการอินเฟอร์เรนซ์เหมือนกันทั้ง 4 วิธี



รูปที่ 2.7 แสดงผลลัพธ์ของฟัซซี่อินเฟอร์เรนซ์ทั้ง 4 วิธี เมื่อแทนผลลัพธ์ของกฎด้วยฟัซซี่เซต

เอกสารนี้เป็นเอกสารที่สงวนไว้สำหรับการใช้งานเพื่อการศึกษาเท่านั้น ไม่อนุญาตให้นำไปใช้ประโยชน์ด้านการค้า ไม่ว่ากรณีใดๆทั้งสิ้น อีกทั้งห้ามมิให้ตัดแปลงเนื้อหา และต้องอ้างอิงถึงเจ้าของเอกสารทุกครั้งที่มีการนำไปใช้



รูปที่ 2.8 แสดงผลลัพธ์ของฟัซซีอินเฟอเรนซ์ทั้ง 4 วิธี เมื่อแทนผลลัพธ์ของกฎด้วยซิงเกิลตันฟัซซีเซต

สำหรับกฎทีเอสฟัซซีในรูปแบบทั่วไปดังแสดงในสมการที่ (2.12) นั้น มีวิธีฟัซซีอินเฟอเรนซ์เพียงวิธีเดียว ซึ่งมีผลลัพธ์คือ $\mu \times f_j(v_1, v_2, \dots, v_M)$ สำหรับ z_j พบว่าผลลัพธ์ของวิธีฟัซซีอินเฟอเรนซ์สำหรับกฎทีเอสฟัซซีนั้นก็ถือการถ่วงน้ำหนัก (weighting) ของผลลัพธ์แต่ละกฎการควบคุมด้วยค่าความเป็นสมาชิก ทำให้สามารถเขียนผลลัพธ์ในรูปแบบของสมการคณิตศาสตร์ได้ง่ายกว่าวิธีฟัซซีอินเฟอเรนซ์สำหรับกฎแมมคานีฟัซซี

2.6 ดีฟัซซีฟิเคชัน

การดีฟัซซีฟิเคชัน คือกระบวนการทางคณิตศาสตร์ที่ใช้ในการเปลี่ยนเอาต์พุตฟัซซีเซตที่ได้จากขั้นตอนฟัซซีอินเฟอเรนซ์ให้เป็นจำนวนจริง เพราะสัญญาณควบคุมที่ใช้ในการควบคุมกระบวนการต่างๆ นั้นต้องเป็นเลขจำนวนจริง

2.6.1 เจนเนอราไลซ์ดีฟัซซีฟายเออร์

กำหนดตัวแปรเอาต์พุตของตัวควบคุมฟัซซีคือ z ถ้าเลือกกฎแมมคานีฟัซซีจำนวน N กฎการควบคุมที่มีผลลัพธ์อยู่ในรูปของฟัซซีซิงเกิลตันและเลือกใช้วิธีฟัซซีอินเฟอเรนซ์วิธีใดวิธีหนึ่งจะได้ค่าความเป็นสมาชิกของแต่ละกฎเป็นจำนวน N ค่า $(\mu_1, \mu_2, \dots, \mu_N)$ นั่นคือ ตัวแปรเอาต์พุตของฟัซซีเซตเหล่านี้มีค่าไม่เท่ากับศูนย์ที่ $z = \beta_1, \beta_2, \dots, \beta_N$ วิธีเจนเนอราไลซ์ดีฟัซซีฟายเออร์ (generalized defuzzifier) ให้ผลลัพธ์เป็นไปตามสมการ

$$z = \frac{\sum_{k=1}^N \mu_k^\alpha \cdot \beta_k}{\sum_{k=1}^N \mu_k^\alpha} \tag{2.13}$$

เอกสารนี้เป็นเอกสารที่สงวนไว้สำหรับการใช้งานเพื่อการศึกษาเท่านั้น ไม่อนุญาตให้นำไปใช้ประโยชน์ด้านการค้าไม่ว่ากรณีใดๆทั้งสิ้น อีกทั้งห้ามมิให้ตัดแปลงเนื้อหา และต้องอ้างอิงถึงเจ้าของเอกสารทุกครั้งที่มีการนำไปใช้

เมื่อ α คือ พารามิเตอร์ในการออกแบบ โดยใช้แนวทางเดียวกับข้างต้น แต่เปลี่ยนไปใช้กฎทีเอส ฟัซซีที่มีผลลัพธ์ของกฎการควบคุม N กฎการควบคุมคือ $g_k(v_1, v_2, \dots, v_M)$ เมื่อ $k = 1, \dots, N$ ผลลัพธ์ของวิธีเจเนเนอรอลไลซ์ ดีฟัซซีฟายเออร์ แสดงได้ดังสมการ

$$z = \frac{\sum_{k=1}^N \mu_k^\alpha \times g_k(v_1, v_2, \dots, v_M)}{\sum_{k=1}^N \mu_k^\alpha} \quad (2.14)$$

2.6.2 เซ็นทรอยด์ดีฟัซซีฟายเออร์ มีนออฟแมกซิมัลดีฟัซซีฟายเออร์และลิเนียร์ดีฟัซซีฟายเออร์

ค่า α ที่แตกต่างกันสามารถให้วิธีดีฟัซซีฟายเออร์ที่ต่างกัน สำหรับวิธีเจเนเนอรอลไลซ์ ดีฟัซซีฟายเออร์นั้น ค่า α จะอยู่ในเงื่อนไข $0 \leq \alpha < \infty$ เมื่อ $\alpha = 1$ เรียกวิธีดีฟัซซีฟายเออร์นี้ว่า เซ็นทรอยด์ดีฟัซซีฟายเออร์ (centroid defuzzifier) ซึ่งเป็นวิธีที่นิยมใช้กันมากที่สุด โดยจะเป็นการหาจุดกึ่งกลางถ่วงน้ำหนักของซิงเกิลตันฟัซซีเซตจากกฎต่าง ๆ และในบางครั้งก็อาจใช้วิธีมีนออฟแมกซิมัลดีฟัซซีฟายเออร์ (mean of maximum defuzzifier) ซึ่งมีค่า $\alpha = \infty$

วิธีลิเนียร์ดีฟัซซีฟายเออร์ (linear defuzzifier) เมื่อใช้กฎแมมดานิฟัซซีและกฎทีเอสฟัซซี แสดงดังสมการที่ 2.15 และ 2.16 ตามลำดับ

$$z = \sum_{k=1}^N \mu_k^\alpha \times \beta_k \quad (2.15)$$

$$z = \sum_{k=1}^N \mu_k^\alpha \times g_k(v_1, v_2, \dots, v_M) \quad (2.16)$$

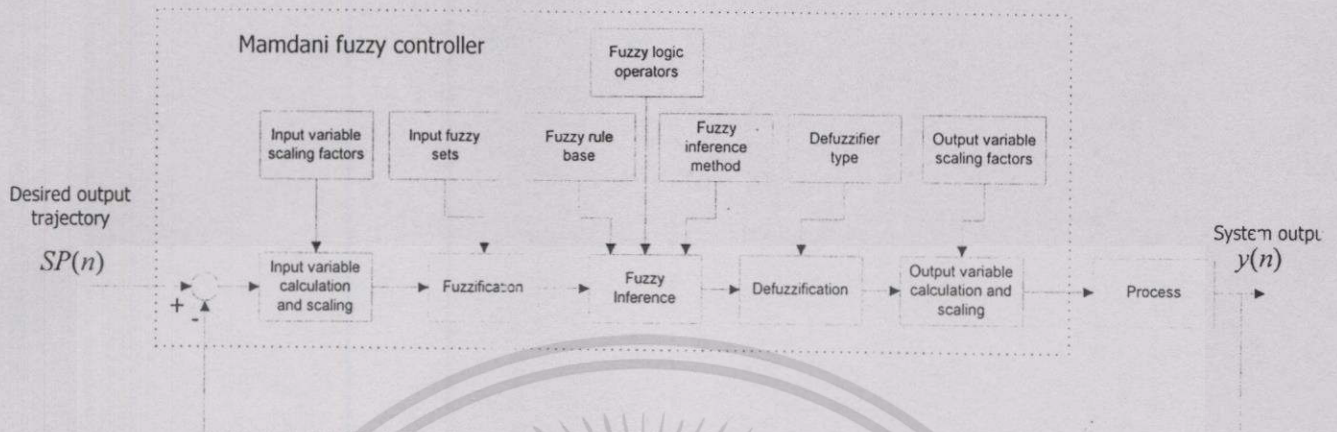
สังเกตได้ว่าวิธีลิเนียร์ดีฟัซซีฟายเออร์นั้นไม่มีตัวส่วน และสำหรับในวิทยานิพนธ์นี้จะใช้วิธี เซ็นทรอยด์ดีฟัซซีฟายเออร์เพียงวิธีเดียวเท่านั้น

2.7 ตัวควบคุมฟัซซี

ตัวควบคุมฟัซซี สามารถแบ่งออกเป็น 2 ชนิดตามกฎฟัซซี คือชนิดแมมดานิ (Mamdani type) และชนิดทีเอส (TS type) โดยเรียกตัวควบคุมฟัซซีที่ใช้กฎทีเอสฟัซซีว่า ตัวควบคุมทีเอสฟัซซี และเรียกตัวควบคุมฟัซซีที่ใช้กฎแมมดานิฟัซซีว่า ตัวควบคุมแมมดานิฟัซซี หรือในบางครั้งเมื่อกล่าวถึงตัวควบคุมฟัซซีทั่วไป ก็จะหมายถึงตัวควบคุมแมมดานิฟัซซี

เอกสารนี้เป็นเอกสารที่สงวนไว้สำหรับบริการใช้งานเพื่อการศึกษาเท่านั้น ไม่อนุญาตให้นำไปใช้ประโยชน์ด้านการค้า ไม่ว่ากรณีใดๆทั้งสิ้น อีกทั้งห้ามมิให้ตัดแปลงเนื้อหา และต้องอ้างอิงถึงเจ้าของเอกสารทุกครั้งที่มีการนำไปใช้

2.7.1 ตัวควบคุมแมมดานิฟัซซี



รูปที่ 2.9 แสดงโครงสร้างของระบบควบคุมแมมดานิฟัซซี

จากรูปที่ 2.9 แสดงโครงสร้างของระบบควบคุมฟัซซี ซึ่งประกอบด้วย ตัวควบคุมแมมดานิฟัซซีและกระบวนการที่ถูกควบคุม โดยอาจจะเป็นกระบวนการเชิงเส้น กระบวนการไม่เชิงเส้น กระบวนการที่รู้แบบจำลองทางคณิตศาสตร์หรือไม่สามารถหาแบบจำลองทางคณิตศาสตร์ได้ ในทางปฏิบัติจริงๆแล้ว ตัวควบคุมฟัซซีถูกสร้างจากดิจิทัลคอมพิวเตอร์ ดังนั้น ตัวควบคุมฟัซซีก็คือตัวควบคุมเวลาคิสิกกรีต(discrete-time controller) ส่วนประกอบหลัก ๆ ของตัวควบคุมฟัซซีประกอบด้วย ฟัซซีฟิเคชัน กฎฟัซซี ฟัซซีอินเฟอร์เรนซ์ และดีฟัซซีฟิเคชัน

การฟัซซีฟิเคชัน

หน่วยฟัซซีฟิเคชันทำหน้าที่แปลงอินพุตของระบบควบคุมที่เป็นเลขจำนวนจริง ให้เป็นอินพุตของตัวควบคุมฟัซซีที่อยู่ในรูปของค่าแปรฟัซซีในเอกภพสัมพัทธ์ที่กำหนด ในรูปที่ 2.9 เอาท์พุตของระบบควบคุมคือ $y(n)$ เมื่อ n คือเลขจำนวนเต็มบวก nT คือเวลาการสุ่ม T คือคาบการสุ่ม (sampling period) โดยในวิทยานิพนธ์นี้จะใช้สัญลักษณ์ n แทน nT และ $SP(n)$ คือค่าเป้าหมายของระบบควบคุม ซึ่งอาจจะเป็นค่าคงที่หรือเป็นค่าที่เปลี่ยนแปลงตามเวลา ณ เวลา n ค่า $y(n)$ และ $SP(n)$ ถูกใช้คำนวณค่าตัวแปรอินพุตของตัวควบคุมฟัซซี โดยปกติจะเป็นค่าความผิดพลาด (error) และการเปลี่ยนแปลงค่าความผิดพลาด(change of error) เพียง 2 ค่าเท่านั้นที่ให้เป็นตัวแปรอินพุต เพราะหากเพิ่มตัวแปรอินพุตมากขึ้น ก็จะทำให้จำนวนกฎการควบคุมเพิ่มมากขึ้นตามไปด้วย ดังนั้น ตัวแปรอินพุตของตัวควบคุมแมมดานิฟัซซีได้แก่

$$e(n) = SP(n) - y(n)$$

$$r(n) = e(n) - e(n-1) = y(n-1) - y(n)$$

เอกสารนี้เป็นเอกสารที่สงวนไว้สำหรับการใช้งานเพื่อการศึกษาเท่านั้น ไม่อนุญาตให้นำไปใช้ประโยชน์ด้านการค้า ไม่ว่ากรณีใดๆทั้งสิ้น อีกทั้งห้ามมิให้คัดลอกเนื้อหา และต้องอ้างอิงถึงเจ้าของเอกสารทุกครั้งที่มีการนำไปใช้

เมื่อ $e(n)$ คือค่าความผิดพลาด กำหนดให้อยู่ในช่วง $[a_1, b_1]$ และ $r(n)$ คือการเปลี่ยนแปลงค่าความผิดพลาด กำหนดให้อยู่ในช่วง $[a_2, b_2]$ แต่ละช่วงที่กำหนดก็คือค่าเอกภพสัมพัทธ์ของตัวแปรอินพุตแต่ละตัว ก่อนจะทำการฟัซซีฟิเคชัน ต้องสเกล(scale) ตัวแปรอินพุตที่อยู่ในเอกภพสัมพัทธ์ $[a_1, b_1]$ และ $[a_2, b_2]$ ให้อยู่ในเอกภพสัมพัทธ์ของอินพุตฟัซซีเซต(input fuzzy set) แทน เพื่อให้การออกแบบตัวควบคุมแบบคานีฟัซซีง่ายขึ้น โดยใช้อินพุตสเกลลิงแฟกเตอร์(input scaling factor) เป็นตัวสเกล กำหนดให้สเกลลิงแฟกเตอร์ของค่าความผิดพลาดและการเปลี่ยนแปลงค่าความผิดพลาด คือ K_e และ K_r ตามลำดับ จะได้

$$\begin{aligned} E(n) &= K_e e(n) \\ R(n) &= K_r r(n) \end{aligned}$$

เมื่อ $E(n)$ คือค่าความผิดพลาดที่ถูกสเกลแล้วให้อยู่ในช่วง $[A_1, B_1]$ และ $R(n)$ คือการเปลี่ยนแปลงค่าความผิดพลาดที่ถูกสเกลแล้ว และอยู่ในช่วง $[A_2, B_2]$ ตัวแปรอินพุตที่สเกลแล้วนี้ จะถูกฟัซซีฟายด์(fuzzified) ด้วยอินพุตฟัซซีเซตที่อยู่ในช่วง $[A_1, B_1]$ และ $[A_2, B_2]$ ที่ตรงกัน

การเลือกจำนวนและลักษณะรูปร่างของฟัซซีเซตคือพารามิเตอร์หนึ่งในการออกแบบตัวควบคุมฟัซซี ซึ่งขึ้นอยู่กับความต้องการของผู้ออกแบบโดยอาศัยหลักเกณฑ์ต่าง ๆ เช่น ความรู้และประสบการณ์ที่มีต่อกระบวนการที่ถูกควบคุมหรือแม้แต่ความชอบส่วนตัว เพราะไม่มีหลักการและขั้นตอนทางคณิตศาสตร์ในการเลือกอินพุตฟัซซีเซต โดยทั่วไปจำนวนฟัซซีเซตสำหรับแต่ละตัวแปรอินพุตอาจจะเท่ากันหรือไม่เท่ากันก็ได้แต่จะอยู่ในช่วง 2 ถึง 13 ฟัซซีเซต (ไม่ควรมากกว่านี้) และรูปร่างของฟัซซีเซตที่นิยมใช้กันได้แก่ สามเหลี่ยม(triangular) สี่เหลี่ยมคางหมู(trapezoidal) เกาส์เซียน(Gaussian) และระฆังคว่ำ(bell shape)

กฎฟัซซี

ฐานกฎการควบคุมฟัซซี เป็นหน่วยที่รวบรวมกฎการควบคุมแบบฟัซซีซึ่งอยู่ในรูปแบบ IF ... THEN ... ตัวอย่างกฎการควบคุมของตัวควบคุมแบบคานีฟัซซีแสดงดังสมการ

$$\begin{aligned} \text{IF } E(n) \text{ is Positive Large AND } R(n) \text{ is Negative Small} \\ \text{THEN } u(n) \text{ (or } \Delta u(n)) \text{ is Positive Medium} \end{aligned} \quad (2.17)$$

เมื่อ Positive Large และ Negative Small คืออินพุตฟัซซีเซต Positive Medium คือเอาต์พุตฟัซซีเซต ตัวแปรเอาต์พุตอาจเป็นได้ทั้งเอาต์พุตของตัวควบคุมฟัซซี ($u(n)$) หรือค่า

เอาต์พุตที่เพิ่มขึ้นของตัวควบคุมฟัซซี ($\Delta u(n)$) $U(n)$ และ $\Delta U(n)$ แทนเอาต์พุตและเอาต์พุตที่เพิ่มขึ้นของตัวควบคุมฟัซซีที่ถูกสเกลกลับมา

ความหมายทางกายภาพของสมการที่ (2.17) คือ ถ้าเอาต์พุตของระบบมีค่าน้อยกว่าค่าเป้าหมายและเอาต์พุตมีการเปลี่ยนแปลงลดลงอย่างช้า ๆ จะได้เอาต์พุตของตัวควบคุมมีค่า

Positive Medium

จำนวนกฎฟัซซีจะสัมพันธ์กับจำนวนอินพุตฟัซซีเซต นั่นคือถ้า $E(n)$ และ $R(n)$ มีจำนวนอินพุตฟัซซีเซตเท่ากับ N_1 และ N_2 แล้ว กฎฟัซซีสามารถมีได้มากที่สุด $N_1 \times N_2$ กฎ ในทางปฏิบัติอาจมีจำนวนน้อยกว่าได้ และในการออกแบบกฎฟัซซีนั้น อาศัยหลักการเกี่ยวกับการออกแบบอินพุตฟัซซีเซตคือใช้ความรู้และประสบการณ์ที่มีต่อกระบวนการที่ถูกควบคุม โดยอยู่บนพื้นฐานของการลองผิดลองถูก จนได้ผลตอบสนองเป็นที่พอใจ แสดงกฎแมมดานิฟัซซีที่อยู่ในรูปทั่วไปดังสมการ

$$\text{IF } E(n) \text{ is } \tilde{A} \text{ AND } R(n) \text{ is } \tilde{B} \text{ THEN } u(n) \text{ (or } \Delta u(n) \text{) is } \tilde{V} \quad (2.18)$$

ถ้า \tilde{V} คือ ซิงเกิลตันฟัซซีเซต มีค่าไม่เท่ากับศูนย์ที่ตำแหน่ง $u(n) = V$ (or $\Delta u(n) = V$) เพียงที่เดียว เมื่อ V คือจำนวนจริง จัดรูปสมการที่ (15) ใหม่จะได้

$$\text{IF } E(n) \text{ is } \tilde{A} \text{ AND } R(n) \text{ is } \tilde{B} \text{ THEN } u(n) \text{ (or } \Delta u(n) \text{) is } V \quad (2.19)$$

นอกจากนี้ในการเลือกตัวปฏิบัติการแอนด์นั้น เลือก 2 วิธีที่ใช้กันอย่างกว้างขวางคือ ตัวปฏิบัติการฟัซซีลอจิกแอนด์ของซาเดห์ (Zadeh fuzzy logic AND operator) และตัวปฏิบัติการฟัซซีลอจิกแอนด์แบบการคูณ (Product fuzzy logic AND operator) สำหรับการออกแบบตัวควบคุมแมมดานิฟัซซีใด ๆ นั้นจะใช้ตัวปฏิบัติการแอนด์ชนิดเดียวกันตลอดทุกกฎฟัซซี เพื่อความง่ายในการออกแบบตัวควบคุม

ฟัซซีอินเฟอเรนซ์

หน่วยอินเฟอเรนซ์ ทำหน้าที่หาค่าผลลัพธ์ของกฎการควบคุมจากค่าตัวแปรอินพุตฟัซซีเซต ค่าความเป็นสมาชิกที่ได้จากปฏิบัติการแอนด์ในส่วนมูลเหตุ (antecedent) ของขั้นตอนฟัซซีฟิเคชัน สัมพันธ์กับผลลัพธ์กฎการควบคุมด้วยฟัซซีอินเฟอเรนซ์ วิธีฟัซซีอินเฟอเรนซ์ที่นิยมใช้กันมากในตัวควบคุมแมมดานิฟัซซีคือวิธีมินิมัมอินเฟอเรนซ์แบบแมมดานิ แต่ถ้าเลือกเอาต์พุตฟัซซีเซตเป็นฟัซซีซิงเกิลตันแล้ว วิธีฟัซซีอินเฟอเรนซ์ที่แสดงในตารางที่ 1 จะให้ผลลัพธ์ของการอินเฟอเรนซ์ที่เหมือนกันทั้ง 4 วิธี

จากกฎเมมคานีฟิชชีที่แสดงดังสมการที่ (2.19) เมื่อเลือกใช้วิธีปฏิบัติการฟิชชีลอจิกแอนด์ของซาเคย์แล้ว จะได้ค่าความเป็นสมาชิกของผลลัพธ์กฎการควบคุมซึ่งได้จากการฟิชชีอินเฟอร์เรนซ์ดังสมการ

$$\mu_{u(\text{or } \Delta u)} = \min(\mu_{\bar{A}}(e(n^*)), \mu_{\bar{B}}(r(n^*))) \quad (2.20)$$

เมื่อ $e(n^*)$ และ $r(n^*)$ คือเลขจำนวนจริงของค่าความผิดพลาดและการเปลี่ยนแปลงค่าความผิดพลาดที่ได้จากการสุ่มสัญญาณ ณ คาบเวลาการสุ่มหนึ่ง ๆ $\mu_{u(\text{or } \Delta u)}$ คือค่าความเป็นสมาชิกของผลลัพธ์กฎการควบคุม และถ้าเลือกใช้วิธีตัวปฏิบัติการฟิชชีลอจิกแอนด์แบบการคูณแทนที่ตัวปฏิบัติการฟิชชีลอจิกแอนด์ของซาเคย์ในกฎการควบคุมจะได้

$$\mu_{u(\text{or } \Delta u)} = \mu_{\bar{A}}(e(n^*)) \times \mu_{\bar{B}}(r(n^*)) \quad (2.21)$$

ค่าความเป็นสมาชิกที่ได้มาคือค่าถ่วงน้ำหนักของเอาท์พุตฟิชชีเซต โดยแต่ละกฎการควบคุมอาจมีค่าเหมือนหรือต่างกันได้

ดีฟิชชีฟิเคชัน

หน่วยดีฟิชชีฟิเคชัน ทำหน้าที่แปลงผลลัพธ์กฎการควบคุมที่อยู่ในรูปตัวแปรฟิชชีให้เป็นค่าเชิงเกิลตัน และทำการสเกลกลับมามีอยู่ในเอกภพสัมพัทธ์เดิมก่อนที่จะฟิชชีฟิเคชัน โดยใช้วิธีที่ได้กล่าวไว้ในเรื่องการดีฟิชชีฟิเคชัน วิธีดีฟิชชีฟิเคชันที่นิยมใช้กันในการออกแบบตัวควบคุมฟิชชีคือเซ็นทรอยด์ดีฟิชชีฟายเออร์ แสดงดังสมการ

$$U(n) = K_u \frac{\sum_{k=1}^N \mu_{u-k} \cdot u_k}{\sum_{k=1}^N \mu_{u-k}} \quad (2.22)$$

หรือ

$$\Delta U(n) = \Delta K_u \frac{\sum_{k=1}^N \mu_{u-k} \cdot \Delta u_k}{\sum_{k=1}^N \mu_{u-k}} \quad (2.23)$$

เมื่อ K_u คือสเกลลิงแฟกเตอร์สำหรับเอาท์พุต $u(n)$ และ ΔK_u คือสเกลลิงแฟกเตอร์ของเอาท์พุต

$\Delta u(n)$ N คือจำนวนกฎการควบคุม เมื่อ N และ k คือเลขจำนวนเต็ม $U(n)$ คือสัญญาณ

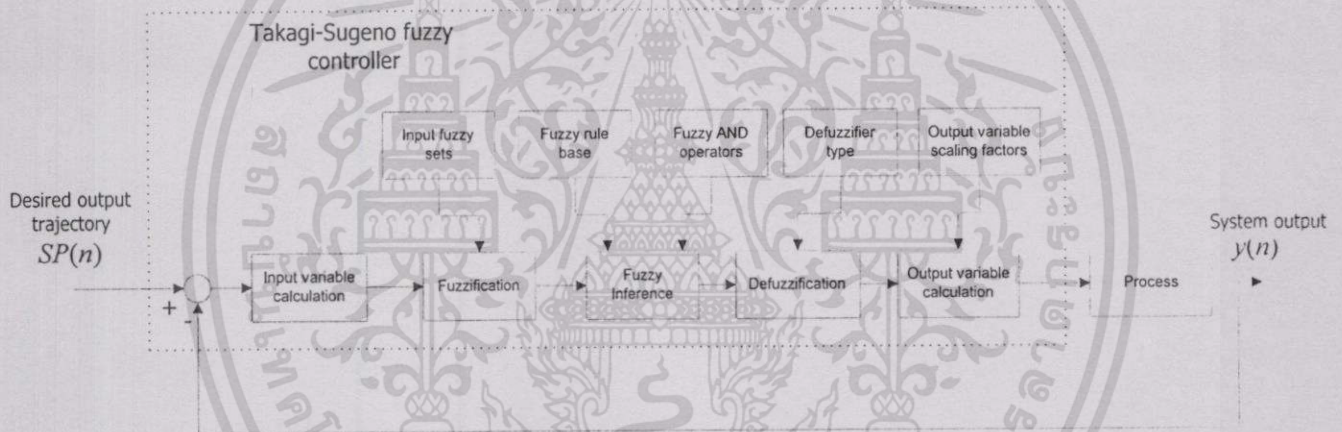
เอกสารนี้เป็นเอกสารที่สงวนไว้สำหรับการใช้งานเพื่อการศึกษาเท่านั้น ไม่อนุญาตให้นำไปใช้ประโยชน์ด้านการค้าไม่ว่ากรณีใดๆทั้งสิ้น อีกทั้งห้ามมิให้ดัดแปลงเนื้อหา และต้องอ้างอิงถึงเจ้าของเอกสารทุกครั้งที่มีการนำไปใช้

เอาต์พุตใหม่ของตัวควบคุมฟัซซีที่เวลา n ใช้ในการควบคุมกระบวนการหรือที่รู้จักกันว่าเป็น สัญญาณควบคุม(control signal) แต่ถ้าผลที่ได้จากดีฟัซซีฟิเคชันคือ $\Delta U(n)$ แทน $U(n)$ แล้ว สัญญาณเอาต์พุตใหม่ของตัวควบคุมฟัซซีจะเป็นไปตามสมการที่ (2.24)

$$U(n) = U(n-1) + \Delta U(n) \tag{2.24}$$

เมื่อ $U(n-1)$ คือเอาต์พุตของตัวควบคุมฟัซซีที่เวลา $n-1$ การปฏิบัติการฟัซซีฟิเคชัน ฟัซซี อินเฟอเรนซ์ และดีฟัซซีฟิเคชัน ทำทุก ๆ คาบการสุ่ม เพื่อให้ได้สัญญาณควบคุมใหม่ในทุก ๆ คาบ การสุ่ม

2.7.2 ตัวควบคุมที่เอสฟัซซี



รูปที่ 2.10 แสดง โครงสร้างของระบบควบคุมที่เอสฟัซซี

ระบบควบคุมที่เอสฟัซซีแสดงดังรูปที่ 2.10 โครงสร้างของตัวควบคุมที่เอสฟัซซีแสดงอยู่ภายในกรอบเส้นประ พบว่ามีโครงสร้างคล้ายคลึงกับตัวควบคุมแมมดานิฟัซซีในรูปที่ 2.9 แต่มีส่วนที่แตกต่างกัน 4 อย่างระหว่างตัวควบคุมทั้งสองคือ

1. ตัวแปรอินพุตและตัวแปรเอาต์พุตของตัวควบคุมที่เอสฟัซซีไม่ใช่สเกลถึงแพกเตอร์ เพราะสเกลถึงแพกเตอร์ได้ไปรวมอยู่ภายในกฎการควบคุม นั่นคือแต่ละตัวแปรอินพุตจะถูกคูณด้วยค่าสัมประสิทธิ์ของผลลัพธ์กฎการควบคุมทุกกฎการควบคุม
2. ตัวควบคุมที่เอสฟัซซีมีผลลัพธ์ของกฎการควบคุมอยู่ในรูปของสมการเชิงเส้น โดยเป็นฟังก์ชันของตัวแปรอินพุต ในขณะที่ผลลัพธ์กฎการควบคุมของตัวควบคุมแมมดานิฟัซซีอยู่ในรูปฟัซซีเซต

3. กฎการควบคุมของตัวควบคุมแอมคานีฟuzzyที่มีผลลัพธ์เหมือนกันในบางกฎ จะใช้ตัวปฏิบัติการฟuzzyลอจิกออร์(fuzzy logic OR operator) เพื่อรวมกฎที่มีผลลัพธ์ซ้ำกัน ให้เป็นกฎการควบคุมเดียวกัน แต่สำหรับตัวควบคุมทีเอสฟuzzyแล้ว ไม่มีความจำเป็นต้องใช้ตัวปฏิบัติการฟuzzyลอจิกออร์ในกฎการควบคุม เพราะไม่มีกฎที่มีผลลัพธ์ซ้ำกันเกิดขึ้น

4. ตัวควบคุมทีเอสฟuzzyใช้วิธีฟuzzyอินเฟอร์เรนซ์เพียงวิธีเดียวเท่านั้น เพราะมีผลลัพธ์ของกฎการควบคุมอยู่ในรูปของสมการเชิงเส้น ในขณะที่ตัวควบคุมแอมคานีฟuzzyมีผลลัพธ์ของกฎการควบคุมอยู่ในรูปฟuzzyเซตจึงสามารถเลือกรูปวิธีฟuzzyอินเฟอร์เรนซ์ได้หลายวิธี

ทุกคาบการสุ่มสัญญาณของตัวควบคุมทีเอสฟuzzyต้องทำฟuzzyฟิเคชัน ฟuzzyอินเฟอร์เรนซ์ และดีฟuzzyฟิเคชัน โดยขั้นตอนฟuzzyฟิเคชันนั้นมีวิธีการเหมือนกับฟuzzyฟิเคชันของตัวควบคุมแอมคานีฟuzzy ถ้าของตัวควบคุมทีเอสฟuzzyที่มีอินพุตจำนวน M อินพุต สามารถแสดงกฎการควบคุมที่ j ได้ดังสมการ

$$\begin{aligned} &\text{IF } v_1 \text{ is } \tilde{S}_{1,j} \text{ AND } v_2 \text{ is } \tilde{S}_{2,j} \text{ AND } \dots \text{ AND } v_{M,j} \text{ is } \tilde{S}_{M,j} \\ &\text{THEN } U(n) \text{ (or } \Delta U(n)) = a_{0,j} + a_{1,j}v_1(n) + \dots + a_{M,j}v_M(n) \end{aligned} \quad (2.25)$$

เมื่อ $a_{0,j}, a_{1,j}, \dots, a_{M,j}$ คือค่าพารามิเตอร์คงที่ สมมติว่าหลังจากขั้นตอนฟuzzyฟิเคชันและปฏิบัติการฟuzzyลอจิกแอนด์แล้วจะได้ค่าความเป็นสมาชิกของผลลัพธ์กฎการควบคุมที่ j คือ $\mu_j(v, \tilde{S})$ ในขั้นตอนดีฟuzzyฟิเคชัน แทนสมการเชิงเส้นในผลลัพธ์ของกฎและค่าความเป็นสมาชิกลงในสมการเงินเนอรอลไลซ์ดีฟuzzyฟายเออร์ จะได้เอาท์พุทของตัวควบคุมทีเอสฟuzzyเป็นไปตามสมการ

$$\begin{aligned} U(n) \text{ (or } \Delta U(n)) &= \frac{\sum_{j=1}^N \mu_j^\alpha(v, \tilde{S}) (a_{0,j} + a_{1,j}v_1(n) + \dots + a_{M,j}v_M(n))}{\sum_{j=1}^N \mu_j^\alpha(v, \tilde{S})} \\ &= \frac{\sum_{j=1}^N \mu_j^\alpha(v, \tilde{S}) \left(a_{0,j} + \sum_{i=1}^M a_{i,j}v_i(n) \right)}{\sum_{j=1}^N \mu_j^\alpha(v, \tilde{S})} \end{aligned} \quad (2.26)$$

เมื่อ N คือจำนวนกฎการควบคุมทั้งหมดของตัวควบคุมทีเอสฟuzzy

เอกสารนี้เป็นเอกสารที่สงวนไว้สำหรับกรใช้งานเพื่อการศึกษาเท่านั้น ไม่อนุญาตให้นำไปใช้ประโยชน์ด้านการค้าไม่ว่ากรณีใดๆทั้งสิ้น อีกทั้งห้ามมิให้ตัดแปลงเนื้อหา และต้องอ้างอิงถึงเจ้าของเอกสารทุกครั้งที่มีการนำไปใช้

บทที่ 3

การออกแบบตัวควบคุม

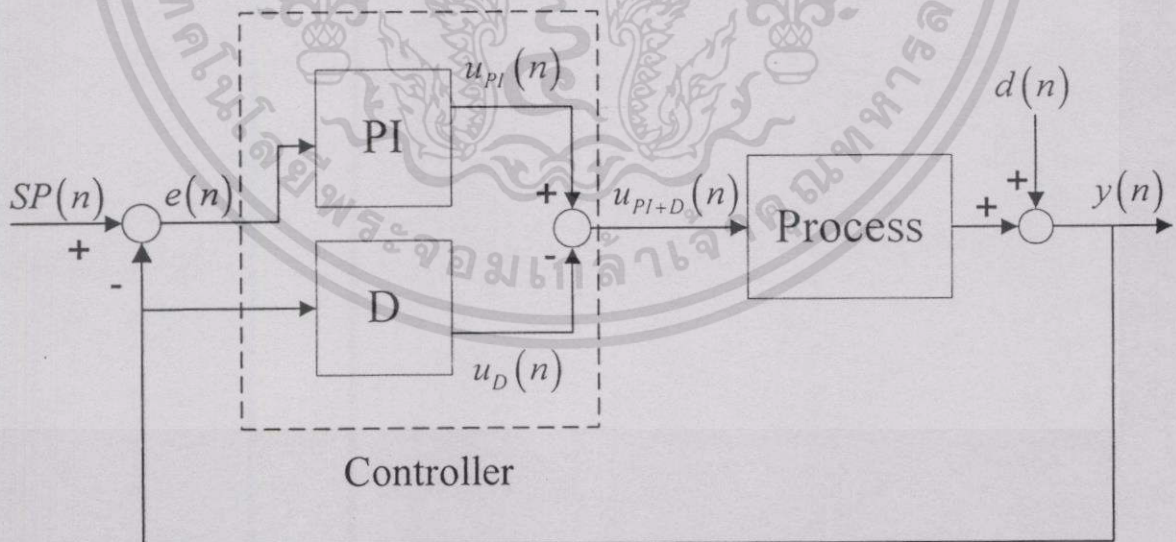
จากงานวิจัยที่ผ่านมา ได้มีการนำเสนอการออกแบบและวิเคราะห์เสถียรภาพของระบบควบคุมที่เอสพีซีพีไอ[10]และที่เอสพีซีพีดี[11] ดังนั้น ในบทนี้จะกล่าวถึงการออกแบบตัวควบคุมเพิ่มเติมจากงานวิจัยเดิม โดยเพิ่มส่วนของตัวควบคุมที่เอสพีซีดีเข้าไปใน[10] และเพิ่มส่วนของตัวควบคุมที่เอสพีซีไอเข้าไปใน[11] จะได้โครงสร้างตัวควบคุมที่เอสพีซีพีไอ+ดีและตัวควบคุมที่เอสพีซีพีดี+ไอตามลำดับ การเลือกฟังก์ชันความเป็นสมาชิกในขั้นตอนพีซีพีไอ+ดีและการเลือกกฎการควบคุมในขั้นตอนพีซีพีดีอินเฟอเรนซ์และการคิพีซีพีไอ+ดี

3.1 การออกแบบตัวควบคุมที่เอสพีซีพีไอ+ดี

ในส่วนนี้จะกล่าวถึง โครงสร้างของตัวควบคุมพีไอ+ดีดั้งเดิม และ โครงสร้างของตัวควบคุมที่เอสพีซีพีไอ+ดี พร้อมทั้งแสดงความสัมพันธ์ระหว่างตัวควบคุมทั้งสอง

3.1.1 โครงสร้างของตัวควบคุมพีไอ+ดีดั้งเดิม

พิจารณาระบบควบคุมพีไอ+ดีดั้งเดิม แสดงดังรูปที่ 3.1 โครงสร้างของตัวควบคุมพีไอ+ดีประกอบด้วยตัวควบคุมพีไอและตัวควบคุมดีดังแสดงในเส้นประ



รูปที่ 3.1 แสดงระบบควบคุมพีไอ+ดีดั้งเดิม

เมื่อ u_{PI+D} คือ สัญญาณเอาต์พุตของตัวควบคุมพีไอ+ดี

u_{PI} คือ สัญญาณเอาต์พุตของตัวควบคุมพีไอ

เอกสารนี้เป็นเอกสารที่สงวนไว้สำหรับการใช้งานเพื่อการศึกษาเท่านั้น ไม่อนุญาตให้นำไปใช้ประโยชน์ด้านการค้า ไม่ว่ากรณีใดๆทั้งสิ้น อีกทั้งห้ามมิให้ตัดแปลงเนื้อหา และต้องอ้างอิงถึงเจ้าของเอกสารทุกครั้งที่มีการนำไปใช้

- u_D คือ สัญญาณเอาต์พุตของตัวควบคุมดี
 e คือ สัญญาณค่าความผิดพลาด
 y คือ สัญญาณเอาต์พุต
 SP คือ สัญญาณอ้างอิง
 d คือ สัญญาณรบกวนที่เอาต์พุต(output disturbance)

เอาต์พุตของตัวควบคุมพีไอ+ดีดั้งเดิมสามารถแสดงได้ดังสมการที่ (3.1)

$$u_{PI+D}(nT) = u_{PI}(nT) - u_D(nT) \quad (3.1)$$

ในการวิเคราะห์นั้นจะแยกเป็น 2 ส่วนคือ ส่วนโครงสร้างของตัวควบคุมพีไอและส่วนโครงสร้างของตัวควบคุมดี

โครงสร้างของตัวควบคุมพีไอดั้งเดิม

ตัวควบคุมแอนะล็อก(analog)พีไอดั้งเดิม เป็นดังสมการ

$$U_{PI}(s) = \left(K_p^c + \frac{K_i^c}{s} \right) E(s) \quad (3.2)$$

เมื่อ K_p^c คือพารามิเตอร์เกน (proportional gain) และ K_i^c คืออินทิกรัลเกน (integral gain) แปลงไบลิเนียร์(bilinear transform) สมการที่ (3.2) ให้อยู่ในรูปดีสครีตโดยแทน $s = \frac{2}{T} \cdot \frac{1-z^{-1}}{1+z^{-1}}$ ได้

$$\begin{aligned}
 U_{PI}(z) &= \left(K_p^c + \frac{K_i^c T}{2} \cdot \frac{1+z^{-1}}{1-z^{-1}} \right) E(z) \\
 &= \left(K_p^c + \frac{K_i^c T}{2} \left(-1 + \frac{2}{1-z^{-1}} \right) \right) E(z) \\
 &= \left(K_p^c - \frac{K_i^c T}{2} + \frac{K_i^c T}{1-z^{-1}} \right) E(z)
 \end{aligned}$$

เมื่อกำหนดให้ $K_p = K_p^c - \frac{K_i^c T}{2}$ และ $K_i = K_i^c$ จะได้

$$U_{PI}(z) = \left(K_p + \frac{K_i T}{1-z^{-1}} \right) E(z) \quad (3.3)$$

แปลงแซคกลับ (inverse z-transform) ของสมการที่ (3.3) จะได้

$$u_{PI}(nT) - u_{PI}(nT - T) = K_p [e(nT) - e(nT - T)] + K_i T e(nT) \quad (3.4)$$

หารตลอดทั้งสองข้างของสมการที่ (3.4) ด้วย T จะได้

$$\Delta u_{PI}(nT) = K_p r(nT) + K_i e(nT) \quad (3.5)$$

เมื่อ $\Delta u_{PI}(nT) = \frac{u_{PI}(nT) - u_{PI}(nT - T)}{T}$ และ $r(nT) = \frac{e(nT) - e(nT - T)}{T}$

ค่า $\Delta u_{PI}(nT)$ คือ ค่าเอาต์พุตที่เปลี่ยนแปลงของตัวควบคุมที่ไอ $r(nT)$ คือ ค่าความผิดพลาดที่เปลี่ยนแปลง ดังนั้น เอาต์พุตของตัวควบคุมที่ไอคือ

$$u_{PI}(nT) = u_{PI}(nT - T) + T \Delta u_{PI}(nT) \quad (3.6)$$

โครงสร้างของตัวควบคุมที่ดั้งเดิม

ตัวควบคุมแอนะล็อกที่ดั้งเดิมเป็นดังสมการ

$$U_D(s) = (sK_d^c) Y(s) \quad (3.7)$$

เมื่อ K_d^c คือเดอริเวทิฟเกน (derivative gain) แปลงสมการที่ (3.7) ให้อยู่ในรูปดีสครีตโดยการแปลงไพลเนียร์ ได้

$$\begin{aligned} U_D(z) &= \left(\frac{2K_d^c}{T} \cdot \frac{1-z^{-1}}{1+z^{-1}} \right) Y(z) \\ &= \left(K_d \cdot \frac{1-z^{-1}}{1+z^{-1}} \right) Y(z) \end{aligned}$$

เมื่อกำหนด $K_d = \frac{2K_d^c}{T}$ และทำการแปลงแซคกลับ จะได้

$$u_D(nT) + u_D(nT - T) = K_d [y(nT) - y(nT - T)] \quad (3.8)$$

หารสมการที่ (3.8) ด้วย T ตลอดทั้งสองข้างของสมการ ได้

$$\Delta u_D(nT) = K_d \Delta y(nT) \quad (3.9)$$

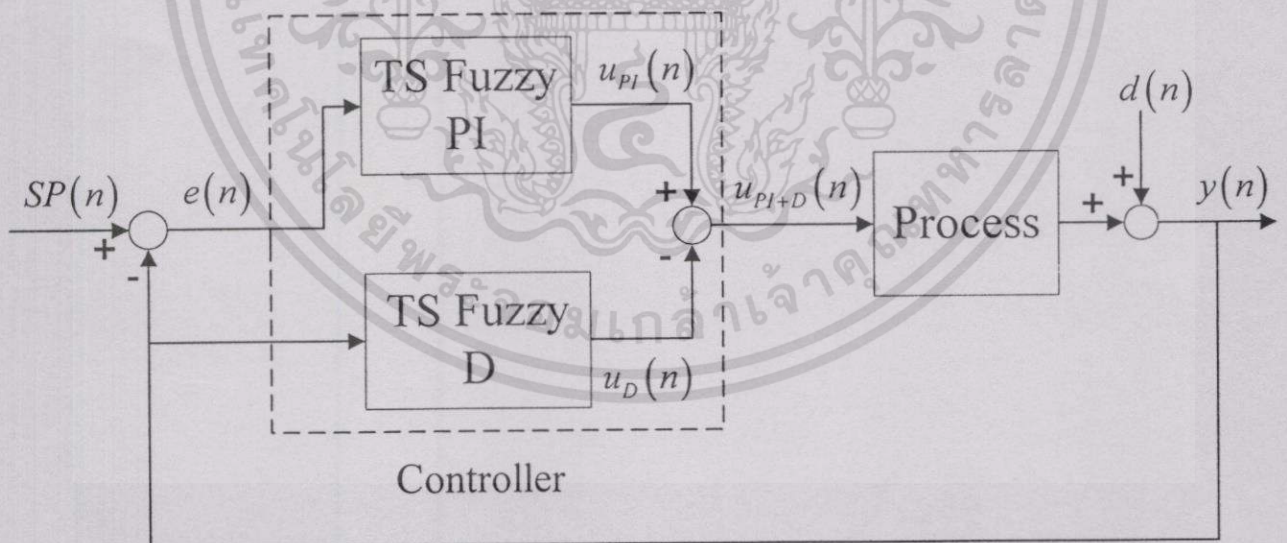
เมื่อ $\Delta u_D(nT) = \frac{u_D(nT) + u_D(nT - T)}{T}$ และ $\Delta y(nT) = \frac{y(nT) - y(nT - T)}{T}$

ค่า $\Delta u_D(nT)$ คือค่าเอาต์พุตที่เพิ่มขึ้นของตัวควบคุมคือ $\Delta y(nT)$ คือ ค่าเอาต์พุตที่เปลี่ยนแปลงของระบบควบคุม และเอาต์พุตของตัวควบคุมได้จากสมการ

$$u_D(nT) = -u_D(nT - T) + T \Delta u_D(nT) \quad (3.10)$$

3.1.2 โครงสร้างของตัวควบคุมที่เอสพีซีพีไอ+ดี

โครงสร้างของตัวควบคุมที่เอสพีซีพีไอ+ดี มีโครงสร้างที่คล้ายคลึงกับตัวควบคุมพีไอ+ดีดั้งเดิม โดยประกอบด้วยตัวควบคุมที่เอสพีซีพีไอและตัวควบคุมที่เอสพีซีดี ดังแสดงในกรอบเส้นประของรูปที่ 3.2



รูปที่ 3.2 แสดงระบบควบคุมที่เอสพีซีพีไอ+ดี

จากรูปที่ 3.2 เอาต์พุตของตัวควบคุมที่เอสพีซีพีไอ+ดีเป็นไปตามสมการที่ (3.1) เช่นเดียวกับตัวควบคุมพีไอ+ดีดั้งเดิม แต่ในการออกแบบนั้น จะแยกพิจารณาเป็น 2 ส่วนคือ การออกแบบตัวควบคุมที่เอสพีซีพีไอและการออกแบบตัวควบคุมที่เอสพีซีดี

เอกสารนี้เป็นเอกสารที่สงวนไว้สำหรับการใช้งานเพื่อการศึกษาเท่านั้น ไม่อนุญาตให้นำไปใช้ประโยชน์ด้านการค้า ไม่ว่าจะกรณีใดๆทั้งสิ้น อีกทั้งห้ามมิให้ดัดแปลงเนื้อหา และต้องอ้างอิงถึงเจ้าของเอกสารทุกครั้งที่มีการนำไปใช้

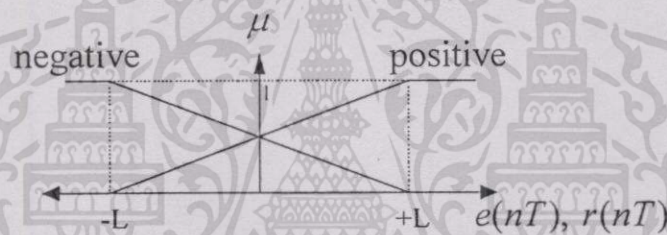
การออกแบบตัวควบคุมที่เอสพีซีพีไอ

ตัวควบคุมที่เอสพีซีพีไอประกอบด้วย 2 อินพุตและ 1 เอาท์พุต ซึ่งสัญญาณอินพุตมีค่าความผิดพลาด $e(nT)$ และการเปลี่ยนแปลงของค่าความผิดพลาด $r(nT)$ ดังสมการ

$$e(nT) = SP(nT) - y(nT)$$

$$r(nT) = \frac{e(nT) - e(nT - T)}{T}$$

และมีสัญญาณเอาท์พุต $\Delta u_{PI}(nT)$ คือค่าเอาท์พุตที่เปลี่ยนแปลงของตัวควบคุมที่เอสพีซีพีไอ เพื่อให้ง่ายต่อการวิเคราะห์เสถียรภาพและหาค่าพิกัดเชิงจำนวนที่มากเกินไป ในขั้นตอนของการพีซีพีไอเชิงชั้น จึงกำหนดให้พีซีพีไอของพีซีพีไอสัญญาณอินพุตประกอบด้วยสมาชิกเพียง 2 สมาชิก ชื่อ “positive” และ “negative” โดยมี μ เป็นฟังก์ชันความเป็นสมาชิก ดังแสดงในรูปที่ 3.3



รูปที่ 3.3 แสดงฟังก์ชันความเป็นสมาชิกอินพุตของตัวควบคุมที่เอสพีซีพีไอ

ฟังก์ชันความเป็นสมาชิกจากรูปที่ 3.3 สามารถแสดงสมการได้ดังนี้

$$\begin{aligned} \mu_p(e) &= \frac{L + e(nT)}{2L} && \text{เมื่อค่า } e(nT) \text{ เป็นบวก} \\ \mu_N(e) &= \frac{L - e(nT)}{2L} && \text{เมื่อค่า } e(nT) \text{ เป็นลบ} \\ \mu_p(r) &= \frac{L + r(nT)}{2L} && \text{เมื่อค่า } r(nT) \text{ เป็นบวก} \\ \mu_N(r) &= \frac{L - r(nT)}{2L} && \text{เมื่อค่า } r(nT) \text{ เป็นลบ} \end{aligned} \quad (3.11)$$

เมื่อ μ_p แทน ฟังก์ชันความเป็นสมาชิกของพีซีพีไอเชิงชั้น “positive” และ μ_N แทน ฟังก์ชันความเป็นสมาชิกของพีซีพีไอเชิงชั้น “negative” ในการกำหนดกฎการควบคุม ผลลัพธ์ของกฎการ

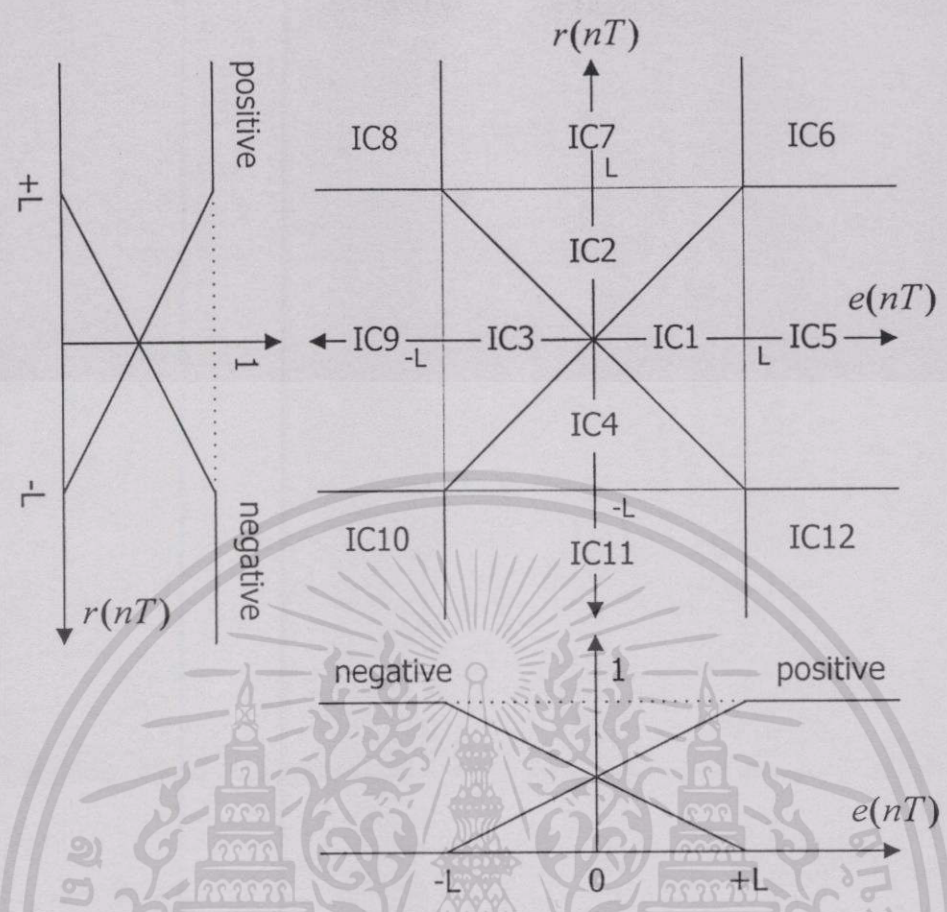
ควบคุมจะมีลักษณะเป็นสมการเชิงเส้น โดยเป็นฟังก์ชันของสัญญาณอินพุตของตัวควบคุม กฎการควบคุมของตัวควบคุมที่เอสพีซีพีไอสามารถแสดงได้ 4 กฎ ดังสมการต่อไปนี้

- (R1) IF $e(nT)$ is positive AND $r(nT)$ is positive
THEN PI-output is $\Delta u_{PI_1}(nT) = a_1 e(nT) + b_1 r(nT)$
- (R2) IF $e(nT)$ is positive AND $r(nT)$ is negative
THEN PI-output is $\Delta u_{PI_2}(nT) = a_2 e(nT) + b_2 r(nT)$
- (R3) IF $e(nT)$ is negative AND $r(nT)$ is positive
THEN PI-output is $\Delta u_{PI_3}(nT) = a_3 e(nT) + b_3 r(nT)$ (3.12)
- (R4) IF $e(nT)$ is negative AND $r(nT)$ is negative
THEN PI-output is $\Delta u_{PI_4}(nT) = a_4 e(nT) + b_4 r(nT)$

เมื่อ Δu_{PI_i} คือ ค่าเอาต์พุตที่เปลี่ยนแปลงของกฎการควบคุมที่ i เมื่อ $(i=1,2,3,4)$ a_i และ b_i คือ พารามิเตอร์ที่จะออกแบบเพื่อให้เกิดผลตอบสนองที่ดีและมีเสถียรภาพ ในแต่ละคาบเวลาการสุ่มนั้น สัญญาณอินพุต $e(nT)$ และ $r(nT)$ ของตัวควบคุมจะแอคทีฟ(active) กฎทั้ง 4 จำนวนค่าเอาต์พุตที่เปลี่ยนไปของตัวควบคุมที่เอสพีซีพีไอด้วยการหาค่าเฉลี่ยของผลลัพธ์กฎการควบคุมทั้ง 4 ด้วยวิธีเส้นทออยด์ดีฟัซซีฟายเออร์ ดังสมการ

$$\Delta u_{PI}(nT) = \frac{\sum_{i=1}^4 \Delta u_{PI_i} \cdot \mu_{PI_i}}{\sum_{i=1}^4 \mu_{PI_i}} \quad (3.13)$$

เมื่อ μ_{PI_i} คือ ค่าความเป็นสมาชิกของผลลัพธ์กฎการควบคุมที่ i แบ่งอินพุตสเปซ(input space) ออกเป็น 12 บริเวณ(input component: IC) เพื่อหาค่าเอาต์พุตที่เปลี่ยนไปของตัวควบคุมที่เอสพีซีพีไอ ในแต่ละบริเวณ ดังแสดงในรูปที่ 3.4



รูปที่ 3.4 แสดงอินพุตสเปซของตัวควบคุมที่เอสพีซีพีไอ

พิจารณาบริเวณ IC1 อันดับแรกหาค่าความเป็นสมาชิกผลลัพธ์ของกฎแต่ละกฎ สำหรับกฎที่ 1 ค่าความเป็นสมาชิกของ $e(nT)$ และ $r(nT)$ คือ $\mu_p(e) = \frac{L+e(nT)}{2L}$ และ $\mu_p(r) = \frac{L+r(nT)}{2L}$ ตามลำดับ เมื่อ $\mu_p(e) \geq \mu_p(r)$ ในบริเวณ IC1 จะได้ค่าความเป็นสมาชิกผลลัพธ์ของกฎที่ 1 ดังสมการ

$$\mu_1 = \min(\mu_p(e), \mu_p(r)) = \frac{L+r(nT)}{2L}$$

เมื่อใช้แนวทางเดียวกับกฎที่ 1 สามารถหาค่าความเป็นสมาชิกของกฎที่ 2 ถึงกฎที่ 4 ได้ตามลำดับดังนี้

$$\mu_2 = \min(\mu_p(e), \mu_N(r)) = \frac{L-r(nT)}{2L}$$

$$\mu_3 = \min(\mu_N(e), \mu_p(r)) = \frac{L-e(nT)}{2L} = \frac{L-|e(nT)|}{2L}$$

เนื่องจากค่า $e(nT)$ มีค่าเป็นบวกตลอดในบริเวณ IC1 ของกฎที่ 3

เอกสารนี้เป็นเอกสารที่สงวนไว้สำหรับการใช้งานเพื่อการศึกษาเท่านั้น ไม่อนุญาตให้นำไปใช้ประโยชน์ด้านการค้า ไม่ว่ากรณีใดๆทั้งสิ้น อีกทั้งห้ามมิให้ตัดแปลงเนื้อหา และต้องอ้างอิงถึงเจ้าของเอกสารทุกครั้งที่มีการนำไปใช้

$$\text{และ } \mu_4 = \min(\mu_N(e), \mu_N(r)) = \frac{L-e(nT)}{2L} = \frac{L-|e(nT)|}{2L}$$

เนื่องจากค่า $e(nT)$ มีค่าเป็นบวกตลอดในบริเวณ IC1 ของกฎที่ 4

สำหรับในบริเวณอื่นๆ ตั้งแต่ IC2 ถึง IC12 สามารถหาค่าความเป็นสมาชิกของผลลัพธ์ได้ โดยอาศัยแนวทางเดียวกับ IC1 ตารางที่ 3.1 แสดงค่าความเป็นสมาชิกผลลัพธ์ของกฎการควบคุมที่ 1 ถึง 4 ทั้ง 12 บริเวณ

ตารางที่ 3.1 ค่าความเป็นสมาชิกผลลัพธ์ของกฎการควบคุมที่ 1 ถึง 4 ในบริเวณ IC1 ถึง IC12

IC No.	μ_1	μ_2	μ_3	μ_4
1	$\frac{L+r(nT)}{2L}$	$\frac{L-r(nT)}{2L}$	$\frac{L- e(nT) }{2L}$	$\frac{L- e(nT) }{2L}$
2	$\frac{L+e(nT)}{2L}$	$\frac{L- r(nT) }{2L}$	$\frac{L-e(nT)}{2L}$	$\frac{L- r(nT) }{2L}$
3	$\frac{L- e(nT) }{2L}$	$\frac{L- e(nT) }{2L}$	$\frac{L+r(nT)}{2L}$	$\frac{L-r(nT)}{2L}$
4	$\frac{L- r(nT) }{2L}$	$\frac{L+e(nT)}{2L}$	$\frac{L- r(nT) }{2L}$	$\frac{L-e(nT)}{2L}$
5	$\frac{L+r(nT)}{2L}$	$\frac{L-r(nT)}{2L}$	0	0
7	$\frac{L+e(nT)}{2L}$	0	$\frac{L-e(nT)}{2L}$	0
9	0	0	$\frac{L+r(nT)}{2L}$	$\frac{L-r(nT)}{2L}$
11	0	$\frac{L+e(nT)}{2L}$	0	$\frac{L-e(nT)}{2L}$
6	1	0	0	0
8	0	0	1	0
10	0	0	0	1
12	0	1	0	0

นำกฎการควบคุมในสมการที่ (3.12) และค่าความเป็นสมาชิกผลลัพธ์ของกฎการควบคุมในตารางที่ 3.1 แทนลงในสมการดีฟัซซีฟิเคชันของสมการที่ (3.13) เพื่อหาค่าเอาต์พุตที่เปลี่ยนไปของตัวควบคุมที่เอสพีซซีพีไอในแต่ละบริเวณ พิจารณาริเวณ IC1 จะได้

เอกสารนี้เป็นเอกสารที่สงวนไว้สำหรับการใช้งานเพื่อการศึกษาเท่านั้น ไม่อนุญาตให้นำไปใช้ประโยชน์ด้านการค้าไม่ว่ากรณีใดๆทั้งสิ้น อีกทั้งห้ามมิให้ดัดแปลงเนื้อหา และต้องอ้างอิงถึงเจ้าของเอกสารทุกครั้งที่มีการนำไปใช้

$$\begin{aligned}
\Delta u_{p_i}(nT) &= \frac{(L+r(nT))(a_1e(nT)+b_1r(nT))+(L-r(nT))(a_2e(nT)+b_2r(nT))}{4L-2|e(nT)|} \\
&\quad + \frac{(L-|e(nT)|)(a_3e(nT)+b_3r(nT))+(L-|e(nT)|)(a_4e(nT)+b_4r(nT))}{4L-2|e(nT)|} \\
&= \left[\frac{(L-|e(nT)|)(a_3+a_4)+(L+r(nT))a_1+(L-r(nT))a_2}{4L-2|e(nT)|} \right] e(nT) \\
&\quad + \left[\frac{(L-|e(nT)|)(b_3+b_4)+(L+r(nT))b_1+(L-r(nT))b_2}{4L-2|e(nT)|} \right] r(nT) \\
&= K_i(e,r)e(nT) + K_p(e,r)r(nT) \tag{3.14}
\end{aligned}$$

เมื่อ $K_i(e,r) = \frac{(L-|e(nT)|)(a_3+a_4)+(L+r(nT))a_1+(L-r(nT))a_2}{4L-2|e(nT)|}$ และ

$$K_p(e,r) = \frac{(L-|e(nT)|)(b_3+b_4)+(L+r(nT))b_1+(L-r(nT))b_2}{4L-2|e(nT)|}$$

จากสมการที่ (3.14) จะเห็นได้ว่า ตัวควบคุมที่เอสพีซีพีไอจะแสดงลักษณะ โครงสร้าง คล้ายคลึงกับตัวควบคุมพีไอดั้งเดิมในสมการที่ (3.5) แต่ต่างจากตัวควบคุมพีไอดั้งเดิมตรงที่ค่าเกน $K_i(e,r)$ และ $K_p(e,r)$ ของตัวควบคุมที่เอสพีซีพีไอมีค่าไม่คงที่ โดยจะเปลี่ยนแปลงตามการเปลี่ยนแปลงของสัญญาณอินพุตของตัวควบคุม ในทำนองเดียวกัน บริเวณ IC2 - IC12 ก็สามารถหา เอาท์พุทที่เปลี่ยนไปของตัวควบคุมที่เอสพีซีพีไอได้ดังสมการที่ (3.14) เช่นกัน แต่จะมีค่าเกนที่ แตกต่างกันไปในแต่ละบริเวณ แสดงได้ดังตารางที่ 3.2 และหาค่าเอาท์พุต $u_{p_i}(nT)$ ของตัวควบคุม ที่เอสพีซีพีไอได้โดยใช้สมการที่ (3.6)

ตารางที่ 3.2 ค่าเกณฑ์ของตัวควบคุมที่เอสพีซีซีพีโอ บริเวณ IC1 ถึง IC12

IC No.	$K_i(e,r)$	$K_p(e,r)$
1	$\frac{(L- e(nT))(a_3+a_4)+(L+r(nT))a_1+(L-r(nT))a_2}{4L-2 e(nT) }$	$\frac{(L- e(nT))(b_3+b_4)+(L+r(nT))b_1+(L-r(nT))b_2}{4L-2 e(nT) }$
2	$\frac{(L- r(nT))(a_2+a_4)+(L+e(nT))a_1+(L-e(nT))a_3}{4L-2 r(nT) }$	$\frac{(L- r(nT))(b_2+b_4)+(L+e(nT))b_1+(L-e(nT))b_3}{4L-2 r(nT) }$
3	$\frac{(L- e(nT))(a_1+a_2)+(L+r(nT))a_3+(L-r(nT))a_4}{4L-2 e(nT) }$	$\frac{(L- e(nT))(b_1+b_2)+(L+r(nT))b_3+(L-r(nT))b_4}{4L-2 e(nT) }$
4	$\frac{(L- r(nT))(a_1+a_3)+(L+e(nT))a_2+(L-e(nT))a_4}{4L-2 r(nT) }$	$\frac{(L- r(nT))(b_1+b_3)+(L+e(nT))b_2+(L-e(nT))b_4}{4L-2 r(nT) }$
5	$\frac{(L+r(nT))a_1+(L-r(nT))a_2}{2L}$	$\frac{(L+r(nT))b_1+(L-r(nT))b_2}{2L}$
7	$\frac{(L+e(nT))a_1+(L-e(nT))a_3}{2L}$	$\frac{(L+e(nT))b_1+(L-e(nT))b_3}{2L}$
9	$\frac{(L+r(nT))a_3+(L-r(nT))a_4}{2L}$	$\frac{(L+r(nT))b_3+(L-r(nT))b_4}{2L}$
11	$\frac{(L+e(nT))a_2+(L-e(nT))a_4}{2L}$	$\frac{(L+e(nT))b_2+(L-e(nT))b_4}{2L}$
6	a_1	b_1
8	a_3	b_3
10	a_4	b_4
12	a_2	b_2

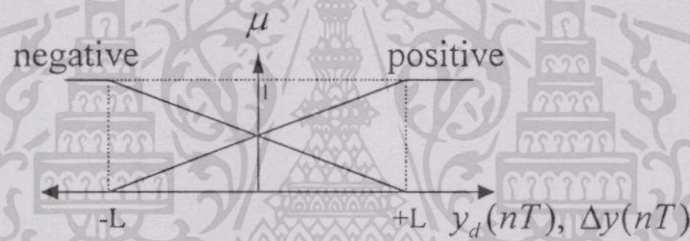
การออกแบบตัวควบคุมที่เอสพีซีดี

มีหลักเกณฑ์การออกแบบตัวควบคุมคล้ายกับการออกแบบตัวควบคุมที่เอสพีซีพีไอ คือมี 2 อินพุตและ 1 เอาท์พุต ซึ่งสัญญาณอินพุตประกอบด้วย $y_d(nT)$ และ $\Delta y(nT)$ และมีการเปลี่ยนแปลงของเอาท์พุต $\Delta u_D(nT)$ เป็นสัญญาณเอาท์พุตของตัวควบคุมที่เอสพีซีดี

เมื่อ $y_d(nT) = -e(nT)$

$$\Delta y(nT) = \frac{y(nT) - y(nT - T)}{T}$$

กำหนดฟังก์ชันเซตของการฟัซซีฟายด์สัญญาณอินพุตในการฟัซซีฟิเคชัน ประกอบด้วยสมาชิก 2 สมาชิก คือ “positive” และ “negative” เช่นเดียวกับตัวควบคุมที่เอสพีซีพีไอ แสดงดังรูปที่ 3.5



รูปที่ 3.5 แสดงฟังก์ชันความเป็นสมาชิกอินพุตของตัวควบคุมที่เอสพีซีดี

และสามารถแสดงสมการฟังก์ชันความเป็นสมาชิกจากรูปที่ 3.5 ได้ดังนี้

$$\begin{aligned} \mu_p(y_d) &= \frac{L + y_d(nT)}{2L} && \text{เมื่อค่า } y_d(nT) \text{ เป็นบวก} \\ \mu_N(y_d) &= \frac{L - y_d(nT)}{2L} && \text{เมื่อค่า } y_d(nT) \text{ เป็นลบ} \\ \mu_p(\Delta y) &= \frac{L + \Delta y(nT)}{2L} && \text{เมื่อค่า } \Delta y(nT) \text{ เป็นบวก} \\ \mu_N(\Delta y) &= \frac{L - \Delta y(nT)}{2L} && \text{เมื่อค่า } \Delta y(nT) \text{ เป็นลบ} \end{aligned} \quad (3.15)$$

เลือกกฎการควบคุมให้มีผลลัพธ์เป็นฟังก์ชันของสัญญาณการเปลี่ยนแปลงเอาท์พุต $\Delta y(nT)$ ของระบบควบคุม กฎการควบคุมของตัวควบคุมที่เอสพีซีดีจำนวน 4 กฎ แสดงได้ในสมการที่ (3.16)

เอกสารนี้เป็นเอกสารที่สงวนไว้สำหรับการใช้งานเพื่อการศึกษาเท่านั้น ไม่อนุญาตให้นำไปใช้ประโยชน์ด้านการค้า ไม่ว่ากรณีใดๆทั้งสิ้น อีกทั้งห้ามมิให้ดัดแปลงเนื้อหา และต้องอ้างอิงถึงเจ้าของเอกสารทุกครั้งที่มีการนำไปใช้

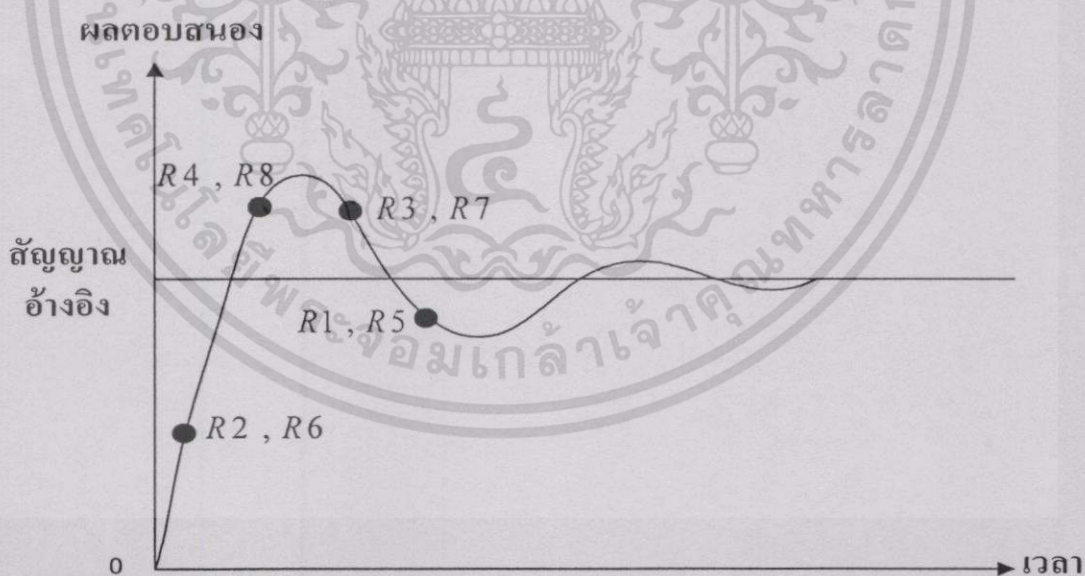
(R5) IF $y_d(nT)$ is negative AND $\Delta y(nT)$ is negative
THEN D-output is $\Delta u_{D_1}(nT) = c_1 \Delta y(nT)$

(R6) IF $y_d(nT)$ is negative AND $\Delta y(nT)$ is positive
THEN D-output is $\Delta u_{D_2}(nT) = c_2 \Delta y(nT)$

(R7) IF $y_d(nT)$ is positive AND $\Delta y(nT)$ is negative
THEN D-output is $\Delta u_{D_3}(nT) = c_3 \Delta y(nT)$ (3.16)

(R8) IF $y_d(nT)$ is positive AND $\Delta y(nT)$ is positive
THEN D-output is $\Delta u_{D_4}(nT) = c_4 \Delta y(nT)$

เมื่อ Δu_{D_i} คือ ค่าเอาต์พุตที่เปลี่ยนแปลงของกฎการควบคุมที่ i ของตัวควบคุมฟัซซีดี เมื่อ $(i=1,2,3,4)$ และ c_i คือ พารามิเตอร์ที่จะออกแบบเพื่อให้เกิดผลตอบสนองที่ดีและมีเสถียรภาพ กฎการควบคุมแต่ละกฎของตัวควบคุมฟัซซีดีโอและตัวควบคุมฟัซซีดี จะแยกที่ฟในบริเวณที่ต่างกัน ดังแสดงในรูปที่ 3.6



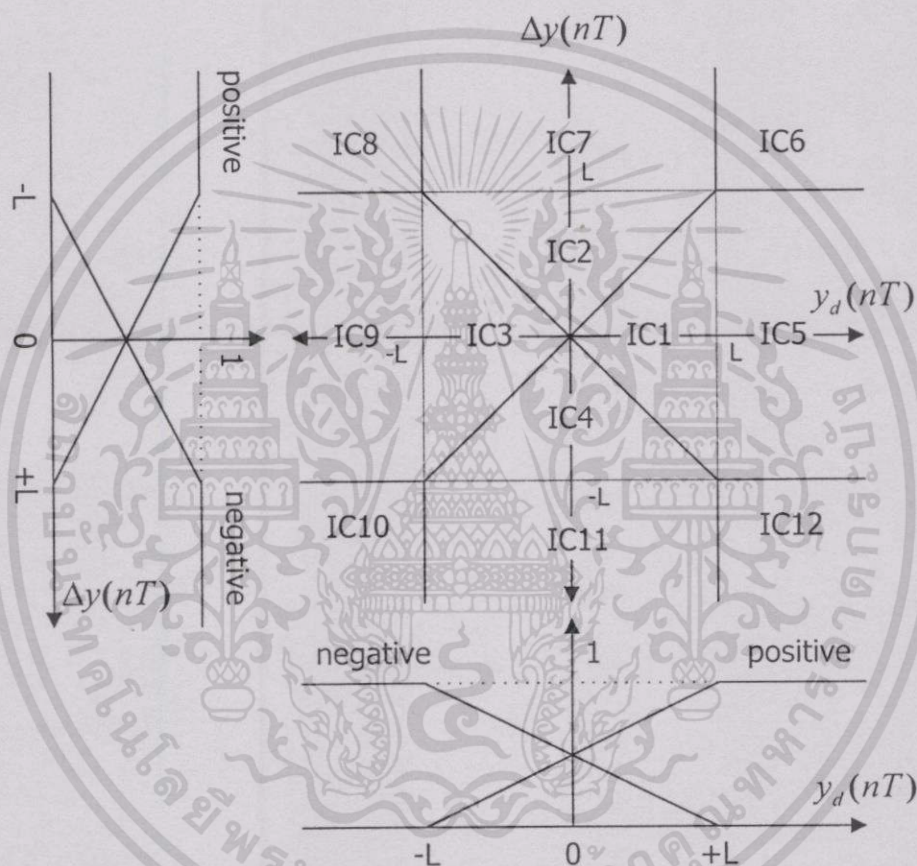
รูปที่ 3.6 แสดงบริเวณที่แยกที่ฟของกฎการควบคุมแต่ละกฎ

ใช้วิธีเส้นทอรอยด์ดีฟัซซีฟายเออร์ เพื่อคำนวณหาค่าเอาต์พุตที่เปลี่ยนไปของตัวควบคุมฟัซซีดี ได้ดัง
สมการ

เอกสารนี้เป็นเอกสารที่สงวนไว้สำหรับการใช้งานเพื่อการศึกษาเท่านั้น ไม่อนุญาตให้นำไปใช้ประโยชน์ด้านการค้า
ไม่ว่ากรณีใดๆทั้งสิ้น อีกทั้งห้ามมิให้ดัดแปลงเนื้อหา และต้องอ้างอิงถึงเจ้าของเอกสารทุกครั้งที่มีการนำไปใช้

$$\Delta u_D(nT) = \frac{\sum_{i=1}^4 \Delta u_{D_i} \cdot \mu_{D_i}}{\sum_{i=1}^4 \mu_{D_i}} \quad (3.17)$$

เมื่อ μ_{D_i} คือ ค่าความเป็นสมาชิกของผลลัพธ์กฎการควบคุมที่ i แบ่งอินพุตสเปซออกเป็น 12 บริเวณ เช่นเดียวกับตัวควบคุมที่เอสพีซซีไอ เพื่อหาค่าเอาต์พุตที่เปลี่ยนไปของตัวควบคุมที่เอสพีซซีไอในแต่ละบริเวณ และแสดงได้ดังรูปที่ 3.7



รูปที่ 3.7 แสดงอินพุตสเปซของตัวควบคุมที่เอสพีซซีไอ

อันดับแรกพิจารณابริเวณ IC1 เพื่อหาค่าความเป็นสมาชิกผลลัพธ์ของกฎแต่ละกฎ สำหรับกฎที่ 5 ค่าความเป็นสมาชิกของสัญญาณ $y_d(nT)$ และ $\Delta y(nT)$ คือ

$$\mu_N(y_d) = \frac{L - y_d(nT)}{2L} \quad \text{และ} \quad \mu_N(\Delta y) = \frac{L - \Delta y(nT)}{2L} \quad \text{ตามลำดับ} \quad \text{เมื่อ}$$

$\mu_N(\Delta y) \geq \mu_N(y_d)$ ในบริเวณ IC1 จะได้ค่าความเป็นสมาชิกผลลัพธ์ของกฎที่ 5 ดังสมการ

$$\mu_5 = \min(\mu_N(y_d), \mu_N(\Delta y)) = \frac{L - y_d(nT)}{2L} = \frac{L - |y_d(nT)|}{2L}$$

เอกสารนี้เป็นเอกสารที่สงวนไว้สำหรับกรใช้งานเพื่อการศึกษาเท่านั้น ไม่อนุญาตให้นำไปใช้ประโยชน์ด้านการค้า ไม่ว่ากรณีใดๆทั้งสิ้น อีกทั้งห้ามมิให้ดัดแปลงเนื้อหา และต้องอ้างอิงถึงเจ้าของเอกสารทุกครั้งที่มีการนำไปใช้

เนื่องจากค่า $y_d(nT)$ มีค่าเป็นบวกตลอดในบริเวณ IC1 ของกฎนี้
โดยใช้แนวทางเดียวกับกฎที่ 5 สามารถหาค่าความเป็นสมาชิกของกฎที่ 6 ถึงกฎที่ 8 ได้

$$\mu_6 = \min(\mu_N(y_d), \mu_P(\Delta y)) = \frac{L - y_d(nT)}{2L} = \frac{L - |y_d(nT)|}{2L}$$

เนื่องจากค่า $y_d(nT)$ มีค่าเป็นบวกตลอดในบริเวณ IC1 ของกฎนี้

$$\mu_7 = \min(\mu_P(y_d), \mu_N(\Delta y)) = \frac{L - \Delta y(nT)}{2L}$$

และ

$$\mu_8 = \min(\mu_P(y_d), \mu_P(\Delta y)) = \frac{L + \Delta y(nT)}{2L}$$

ตามลำดับ สำหรับในบริเวณอื่นๆ ตั้งแต่ IC2 ถึง IC12 ของตัวควบคุมที่เอสพีซีดี สามารถหาค่าความเป็นสมาชิกของผลลัพธ์ได้ โดยอาศัยแนวทางเดียวกับ IC1 แสดงได้ดังตารางที่ 3.3

ตารางที่ 3.3 ค่าความเป็นสมาชิกผลลัพธ์ของกฎการควบคุมที่ 5 ถึง 8 ในบริเวณ IC1 ถึง IC12

IC No.	μ_5	μ_6	μ_7	μ_8
1	$\frac{L - y_d(nT) }{2L}$	$\frac{L - y_d(nT) }{2L}$	$\frac{L - \Delta y(nT)}{2L}$	$\frac{L + \Delta y(nT)}{2L}$
2	$\frac{L - \Delta y(nT) }{2L}$	$\frac{L - y_d(nT)}{2L}$	$\frac{L - \Delta y(nT) }{2L}$	$\frac{L + y_d(nT)}{2L}$
3	$\frac{L - \Delta y(nT)}{2L}$	$\frac{L + \Delta y(nT)}{2L}$	$\frac{L - y_d(nT) }{2L}$	$\frac{L - y_d(nT) }{2L}$
4	$\frac{L - y_d(nT)}{2L}$	$\frac{L - \Delta y(nT) }{2L}$	$\frac{L + y_d(nT)}{2L}$	$\frac{L - \Delta y(nT) }{2L}$
5	0	0	$\frac{L - \Delta y(nT)}{2L}$	$\frac{L + \Delta y(nT)}{2L}$
7	0	$\frac{L - y_d(nT)}{2L}$	0	$\frac{L + y_d(nT)}{2L}$
9	$\frac{L - \Delta y(nT)}{2L}$	$\frac{L + \Delta y(nT)}{2L}$	0	0
11	$\frac{L - y_d(nT)}{2L}$	0	$\frac{L + y_d(nT)}{2L}$	0
6	0	0	0	1
8	0	1	0	0
10	1	0	0	0
12	0	0	1	0

เอกสารนี้เป็นเอกสารที่สงวนไว้สำหรับการใช้งานเพื่อการศึกษาเท่านั้น ไม่อนุญาตให้นำไปใช้ประโยชน์ด้านการค้า
ไม่ว่ากรณีใดๆทั้งสิ้น อีกทั้งห้ามมิให้ดัดแปลงเนื้อหา และต้องอ้างอิงถึงเจ้าของเอกสารทุกครั้งที่มีการนำไปใช้

รวมผลลัพธ์ของกฎการควบคุมที่ 5-8 จากสมการที่ (3.16) ด้วยวิธีเช่นทรอยด์ ดีพีซซีฟายเออร์ โดยใช้แนวทางเดียวกับตัวควบคุมที่เอสพีซซีพีไอ จะได้เอาต์พุตที่เปลี่ยนไปของตัวควบคุมที่เอสพีซซีดีเป็นไปตามสมการ

$$\begin{aligned} \Delta u_D(nT) &= \frac{(L - |y_d(nT)|)(c_1 + c_2)\Delta y(nT) + (L - \Delta y(nT))(c_3\Delta y(nT))}{2(2L - |y_d(nT)|)} \\ &\quad + \frac{(L + \Delta y(nT))(c_4\Delta y(nT))}{2(2L - |y_d(nT)|)} \\ &= \left[\frac{(L - |y_d(nT)|)(c_1 + c_2) + (L - \Delta y(nT))c_3 + (L + \Delta y(nT))c_4}{2(2L - |y_d(nT)|)} \right] \Delta y(nT) \\ &= K_d(y_d, \Delta y)\Delta y(nT) \end{aligned} \quad (3.18)$$

เมื่อ

$$K_d(y_d, \Delta y) = \frac{(L - |y_d(nT)|)(c_1 + c_2) + (L - \Delta y(nT))c_3 + (L + \Delta y(nT))c_4}{2(2L - |y_d(nT)|)}$$

จากสมการตัวควบคุมที่เอสพีซซีดีในสมการที่ (3.18) พบว่ามีโครงสร้างคล้ายคลึงกับตัวควบคุมดั้งเดิมในสมการที่ (3.9) แต่ต่างจากตัวควบคุมดั้งเดิมตรงที่ค่าเกน $K_d(y_d, \Delta y)$ ของตัวควบคุมที่เอสพีซซีดีมีค่าไม่คงที่ จะเปลี่ยนตามการเปลี่ยนแปลงของสัญญาณอินพุตของตัวควบคุม สามารถหาเอาต์พุตที่เปลี่ยนไปของตัวควบคุมที่เอสพีซซีดีในบริเวณ IC2 - IC12 โดยใช้แนวทางเดียวกับ IC1 ได้ดังสมการที่ (3.18) เช่นกัน แต่มีค่าเกนที่แตกต่างกันไปในแต่ละบริเวณแสดงได้ดังตารางที่ 3.4 และค่าเอาต์พุตของตัวควบคุมที่เอสพีซซีดีหาได้จากสมการที่ (3.10)

ตารางที่ 3.4 ค่าเกณฑ์ของตัวควบคุมที่เอสพีซซีดี บริเวณ IC1 ถึง IC12

IC No.	$K_d(y_d, \Delta y)$
1	$\frac{L \sum_{i=1}^4 c_i - (c_1 + c_2) y_d(nT) + (c_4 - c_3) \Delta y(nT)}{4L - 2 y_d(nT) }$
2	$\frac{L \sum_{i=1}^4 c_i - (c_1 + c_3) \Delta y(nT) + (c_4 - c_2) y_d(nT)}{4L - 2 \Delta y(nT) }$
3	$\frac{L \sum_{i=1}^4 c_i - (c_3 + c_4) y_d(nT) + (c_2 - c_1) \Delta y(nT)}{4L - 2 y_d(nT) }$
4	$\frac{L \sum_{i=1}^4 c_i - (c_2 + c_4) \Delta y(nT) + (c_3 - c_1) y_d(nT)}{4L - 2 \Delta y(nT) }$
5	$\frac{L(c_4 + c_3) + (c_4 - c_3) \Delta y(nT)}{2L}$
7	$\frac{L(c_4 + c_2) + (c_4 - c_2) y_d(nT)}{2L}$
9	$\frac{L(c_2 + c_1) + (c_2 - c_1) \Delta y(nT)}{2L}$
11	$\frac{L(c_3 + c_1) + (c_3 - c_1) y_d(nT)}{2L}$
6	c_4
8	c_2
10	c_1
12	c_3

3.2 การออกแบบตัวควบคุมที่เอสพีซซีพีดี+ไอ

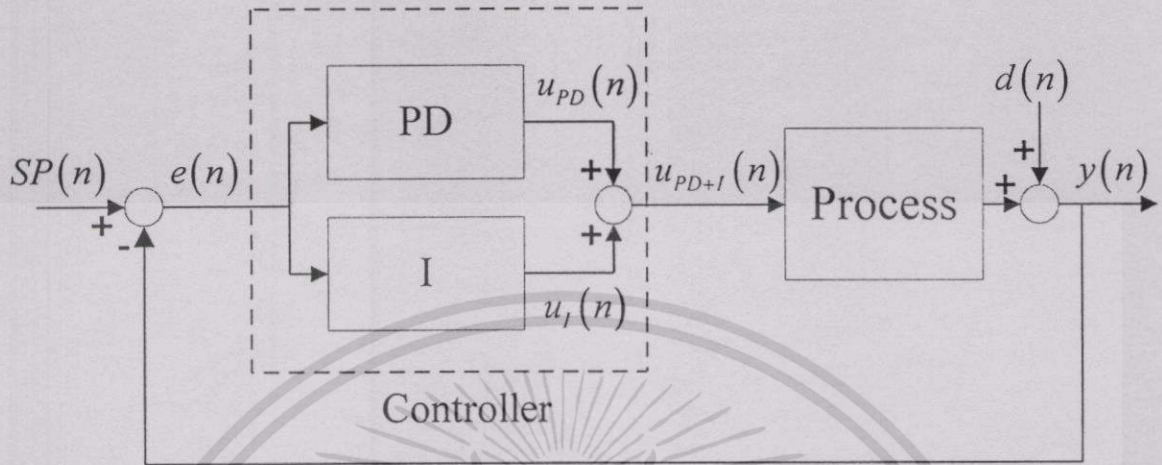
ในส่วนนี้จะกล่าวถึงโครงสร้างของตัวควบคุมพีดี+ไอดั้งเดิม และโครงสร้างของตัวควบคุมที่เอสพีซซีพีดี+ไอ พร้อมทั้งแสดงความสัมพันธ์ระหว่างตัวควบคุมทั้งสอง

3.2.1 โครงสร้างของตัวควบคุมพีดี+ไอดั้งเดิม

โครงสร้างของตัวควบคุมพีดี+ไอดั้งเดิมประกอบด้วยตัวควบคุมพีดีและตัวควบคุมไอ ดังแสดงในรูปที่ 3.8 โดยมีโครงสร้างเหมือนกับตัวควบคุมพีไอดั้งเดิม แต่เหตุที่แยกพิจารณาออก

เอกสารนี้เป็นเอกสารที่สงวนไว้สำหรับการใช้งานเพื่อการศึกษาเท่านั้น ไม่อนุญาตให้นำไปใช้ประโยชน์ด้านการค้า ไม่ว่ากรณีใดๆทั้งสิ้น อีกทั้งห้ามมิให้ดัดแปลงเนื้อหา และต้องอ้างอิงถึงเจ้าของเอกสารทุกครั้งที่มีการนำไปใช้

เป็น 2 ตัวควบคุม ก็เพื่อเปรียบเทียบกับตัวควบคุมพีไอ+ดีดั้งเดิมให้เห็นถึงความเหมือนหรือแตกต่างกันได้อย่างชัดเจน และช่วยลดจำนวนกฎการควบคุมเมื่อพัฒนาเป็นตัวควบคุมที่เอสพีซีพีดี+ไอ



รูปที่ 3.8 แสดงระบบควบคุมพีดี+ไอดั้งเดิม

จากรูปที่ 3.8 เอาท์พุทของตัวควบคุมพีดี+ไอดั้งเดิมสามารถแสดงได้ดังสมการ

$$u_{PD+I}(nT) = u_{PD}(nT) + u_I(nT) \quad (3.19)$$

โครงสร้างของตัวควบคุมพีดีดั้งเดิม

ตัวควบคุมแอนะล็อกพีดีดั้งเดิม เป็นดังสมการ

$$U_{PD}(s) = (K_p^c + sK_d^c)E(s) \quad (3.20)$$

แปลงไบลิเนียร์สมการที่ (3.20) ให้อยู่ในรูปดีสครีตจะได้

$$U_{PD}(z) = \left(K_p^c + \frac{K_d^c 2}{T} \cdot \frac{1-z^{-1}}{1+z^{-1}} \right) E(z) \quad (3.21)$$

กำหนดให้ $K_p = K_p^c$ และ $K_d = \frac{K_d^c 2}{T}$ แล้วแปลงแซคกลับของสมการที่ (3.21) จะได้

$$u_{PD}(nT) + u_{PD}(nT - T) = K_p [e(nT) + e(nT - T)] + K_d [e(nT) - e(nT - T)] \quad (3.22)$$

หารด้วย T ตลอดทั้งสองข้างของสมการที่ (3.22) จะได้

เอกสารนี้เป็นเอกสารที่สงวนไว้สำหรับการใช้งานเพื่อการศึกษาเท่านั้น ไม่อนุญาตให้นำไปใช้ประโยชน์ด้านการค้า
ไม่ว่ากรณีใดๆทั้งสิ้น อีกทั้งห้ามมิให้ดัดแปลงเนื้อหา และต้องอ้างอิงถึงเจ้าของเอกสารทุกครั้งที่มีการนำไปใช้

$$\Delta u_{PD}(nT) = K_p v(nT) + K_d r(nT) \quad (3.23)$$

เมื่อ $\Delta u_{PD}(nT) = \frac{u_{PD}(nT) + u_{PD}(nT - T)}{T}$, $v(nT) = \frac{e(nT) + e(nT - T)}{T}$

และ $r(nT) = \frac{e(nT) - e(nT - T)}{T}$ ค่า $\Delta u_{PD}(nT)$ คือค่าเอาต์พุตที่เปลี่ยนแปลงของตัวควบคุมพีดี $v(nT)$ คือค่าความผิดพลาดเฉลี่ย และเอาต์พุตของตัวควบคุมพีดีสามารถหาได้จากสมการ

$$u_{PD}(nT) = -u_{PD}(nT - T) + T\Delta u_{PD}(nT) \quad (3.24)$$

โครงสร้างของตัวควบคุมโอดั้งเดิม

ตัวควบคุมแอนะล็อกโอดั้งเดิม เป็นคั้งสมการ

$$U_i(s) = \frac{K_i^c}{s} E(s) \quad (3.25)$$

หลังจากแปลงไบลิเนียร์ของสมการที่ (3.25) ให้อยู่ในรูปดีสครีตแล้ว จะได้

$$U_i(z) = K_i^c \left(\frac{T}{2} \cdot \frac{1+z^{-1}}{1-z^{-1}} \right) E(z) \quad (3.26)$$

แปลงแซดกลับของสมการที่ (3.26) จะได้

$$u_i(nT) - u_i(nT - T) = \frac{K_i^c T}{2} [e(nT) + e(nT - T)] \quad (3.27)$$

กำหนดให้ $K_i = \frac{K_i^c T}{2}$ และหารสมการที่ (3.27) ด้วย T จะได้

$$\Delta u_i(nT) = K_i v(nT) \quad (3.28)$$

เมื่อ $\Delta u_i(nT) = \frac{u_i(nT) - u_i(nT - T)}{T}$ คือค่าเอาต์พุตที่เพิ่มขึ้นของการควบคุมของ

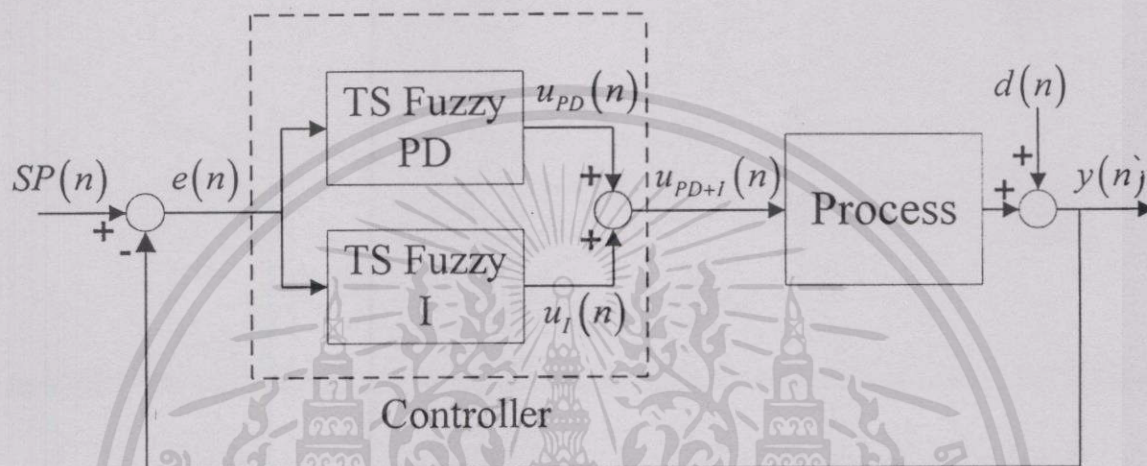
ตัวควบคุมโอด และสามารถหาค่าเอาต์พุตของตัวควบคุมโอดได้จากสมการ

เอกสารนี้เป็นเอกสารที่สงวนไว้สำหรับการใช้งานเพื่อการศึกษาเท่านั้น ไม่อนุญาตให้นำไปใช้ประโยชน์ด้านการค้า
ไม่ว่ากรณีใดๆทั้งสิ้น อีกทั้งห้ามมิให้ดัดแปลงเนื้อหา และต้องอ้างอิงถึงเจ้าของเอกสารทุกครั้งที่มีการนำไปใช้

$$u_I(nT) = u_I(nT - T) + T\Delta u_I(nT) \quad (3.29)$$

3.2.2 โครงสร้างของตัวควบคุมที่เอสพีซีพีดี+ไอ

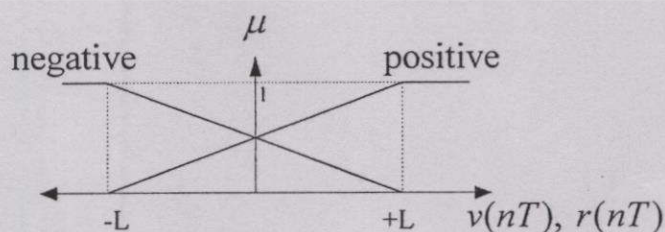
จากโครงสร้างของตัวควบคุมพีดี+ไอดั้งเดิมในรูปที่ 3.8 เมื่อได้ปรับเปลี่ยนจากตัวควบคุมดั้งเดิมให้เป็นตัวควบคุมที่เอสพีซีพีดี+ไอ จะได้โครงสร้างของตัวควบคุมที่เอสพีซีพีดี+ไอ แสดงอยู่ภายในกรอบเส้นประดังรูปที่ 3.9



รูปที่ 3.9 แสดงระบบควบคุมที่เอสพีซีพีดี+ไอ

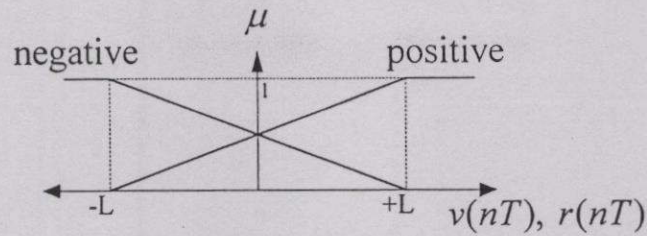
เอาต์พุตของตัวควบคุมที่เอสพีซีพีดี+ไอเป็นการรวมกันของเอาต์พุตตัวควบคุมที่เอสพีซีพีดีและเอาต์พุตตัวควบคุมที่เอสพีซีไอ และจะมีสมการเหมือนกับสมการเอาต์พุตของตัวควบคุมพีดี+ไอดั้งเดิมในสมการที่(3.19) โดยแยกพิจารณาเป็น 2 ส่วนคือ การออกแบบตัวควบคุมที่เอสพีซีพีดีและการออกแบบตัวควบคุมที่เอสพีซีไอ

สัญญาณอินพุตของตัวควบคุมที่เอสพีซีพีดีและตัวควบคุมที่เอสพีซีไอ คือค่าความผิดพลาดเฉลี่ย $v(nT)$ และการเปลี่ยนแปลงของค่าความผิดพลาด $r(nT)$ ในขั้นตอนของการพีซีพีเคชัน กำหนดให้พีซีเซตของการพีซีไฟด์สัญญาณอินพุตของตัวควบคุมที่เอสพีซีพีดีและที่เอสพีซีไอ ประกอบด้วยสมาชิกเพียง 2 สมาชิก ชื่อ “positive” และ “negative” แสดงดังรูปที่ 3.10 และ 3.11 ตามลำดับ



รูปที่ 3.10 แสดงฟังก์ชันความเป็นสมาชิกสัญญาณอินพุตของตัวควบคุมที่เอสพีซีพีดี

เอกสารนี้เป็นเอกสารที่สงวนไว้สำหรับการใช้งานเพื่อการศึกษาเท่านั้น ไม่อนุญาตให้นำไปใช้ประโยชน์ด้านการค้า ไม่ว่ากรณีใดๆทั้งสิ้น อีกทั้งห้ามมิให้ตัดแปลงเนื้อหา และต้องอ้างอิงถึงเจ้าของเอกสารทุกครั้งที่มีการนำไปใช้



รูปที่ 3.11 ฟังก์ชันความเป็นสมาชิกสัญญาณอินพุตของตัวควบคุมที่เอสพีซีซีไอ

กำหนดกฎการควบคุมของตัวควบคุมที่เอสพีซีซีพีดีและที่เอสพีซีซีไอ ให้มีผลลัพธ์ของกฎการควบคุมเป็นฟังก์ชันของสัญญาณอินพุตของตัวควบคุม โดยอยู่ในรูปของสมการเชิงเส้น แสดงกฎการควบคุมของตัวควบคุมที่เอสพีซีซีพีดี จำนวน 4 กฎ (R1 – R4) ดังสมการที่ (3.30)

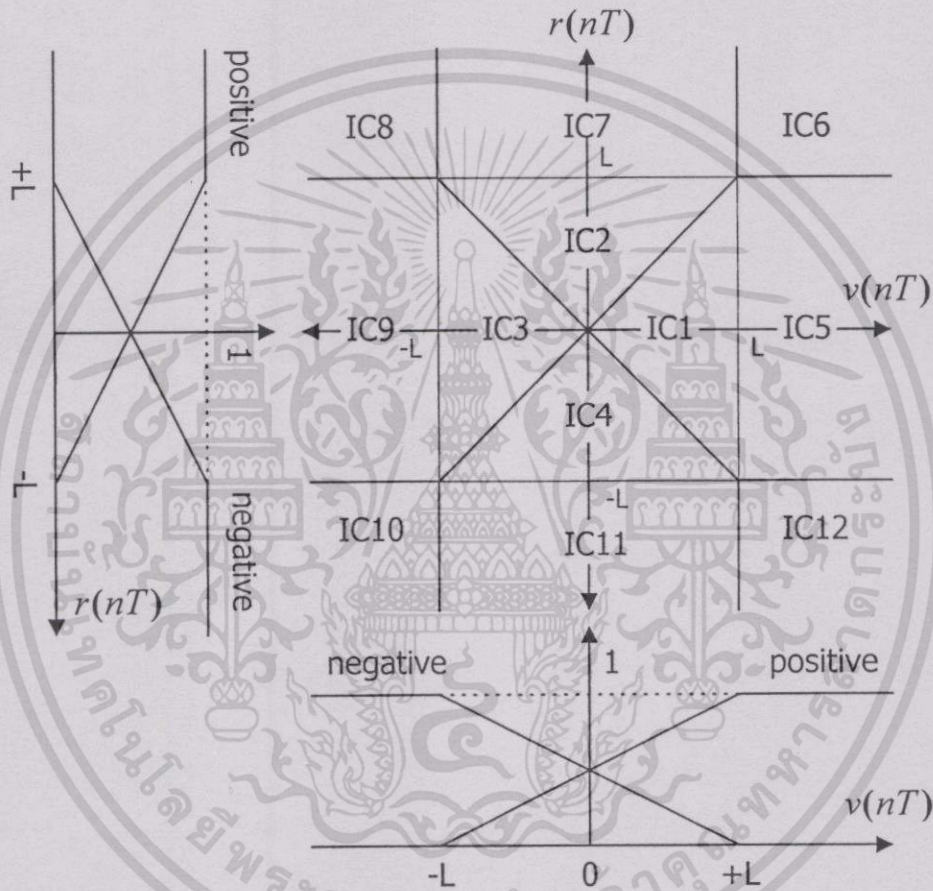
- (R1) IF $v(nT)$ is positive AND $r(nT)$ is positive
THEN PD-output is $\Delta u_{PD_1}(nT) = b_1 v(nT) + c_1 r(nT)$
- (R2) IF $v(nT)$ is positive AND $r(nT)$ is negative
THEN PD-output is $\Delta u_{PD_2}(nT) = b_2 v(nT) + c_2 r(nT)$
- (R3) IF $v(nT)$ is negative AND $r(nT)$ is positive
THEN PD-output is $\Delta u_{PD_3}(nT) = b_3 v(nT) + c_3 r(nT)$
- (R4) IF $v(nT)$ is negative AND $r(nT)$ is negative
THEN PD-output is $\Delta u_{PD_4}(nT) = b_4 v(nT) + c_4 r(nT)$

กฎการควบคุมของตัวควบคุมที่เอสพีซีซีไอ จำนวน 4 กฎ (R5 – R8) แสดงดังสมการที่ (3.31)

- (R5) IF $v(nT)$ is positive AND $r(nT)$ is positive
THEN I-output is $\Delta u_{I_1}(nT) = a_1 v(nT)$
- (R6) IF $v(nT)$ is positive AND $r(nT)$ is negative
THEN I-output is $\Delta u_{I_2}(nT) = a_2 v(nT)$
- (R7) IF $v(nT)$ is negative AND $r(nT)$ is positive
THEN I-output is $\Delta u_{I_3}(nT) = a_3 v(nT)$
- (R8) IF $v(nT)$ is negative AND $r(nT)$ is negative
THEN I-output is $\Delta u_{I_4}(nT) = a_4 v(nT)$

เอกสารนี้เป็นเอกสารที่สงวนไว้สำหรับการใช้งานเพื่อการศึกษาเท่านั้น ไม่อนุญาตให้นำไปใช้ประโยชน์ด้านการค้า
ไม่ว่ากรณีใดๆทั้งสิ้น อีกทั้งห้ามมิให้ดัดแปลงเนื้อหา และต้องอ้างอิงถึงเจ้าของเอกสารทุกครั้งที่มีการนำไปใช้

เมื่อ Δu_{PD_i} และ Δu_{I_i} คือค่าเอาต์พุตที่เปลี่ยนแปลงของกฎการควบคุมที่ i ของตัวควบคุมที่เอสพีซีพีดีและตัวควบคุมที่เอสพีซีพีไอตามลำดับ เมื่อ $(i=1,2,3,4)$ a_i , b_i และ c_i คือพารามิเตอร์ที่จะออกแบบเพื่อให้เกิดผลตอบสนองที่ดีและมีเสถียรภาพ แต่ละกฎการควบคุมจะแอกทีฟในบริเวณที่ต่างกัน เช่นเดียวกับตัวควบคุมที่เอสพีซีพีไอ+ดี ดังรูปที่ 3.4 ในการหาค่าเอาต์พุตที่เปลี่ยนไปของตัวควบคุมในแต่ละบริเวณ ได้แบ่งอินพุตสเปซของตัวควบคุมที่เอสพีซีพีดีและที่เอสพีซีพีไอออกเป็น 12 บริเวณที่เหมือนกัน ดังรูปที่ 3.12



รูปที่ 3.12 แสดงอินพุตสเปซของตัวควบคุมที่เอสพีซีพีดีและที่เอสพีซีพีไอ

อาศัยแนวทางเดียวกับการหาเอาต์พุตที่เปลี่ยนแปลงในแต่ละ IC ของตัวควบคุมที่เอสพีซีพีไอและที่เอสพีซีพีดี จะได้เอาต์พุตที่เปลี่ยนแปลงของตัวควบคุมที่เอสพีซีพีดีและที่เอสพีซีพีไอเป็นไปตามสมการที่ (3.32) และ (3.33) ตามลำดับ

$$\Delta u_{PD}(nT) = K_p(v,r)v(nT) + K_d(v,r)r(nT) \quad (3.32)$$

$$\Delta u_I(nT) = K_I(v,r)v(nT) \quad (3.33)$$

เอกสารนี้เป็นเอกสารที่สงวนไว้สำหรับการใช้งานเพื่อการศึกษาเท่านั้น ไม่อนุญาตให้นำไปใช้ประโยชน์ด้านการค้า ไม่ว่ากรณีใดๆทั้งสิ้น อีกทั้งห้ามมิให้ดัดแปลงเนื้อหา และต้องอ้างอิงถึงเจ้าของเอกสารทุกครั้งที่มีการนำไปใช้

จากสมการที่ (3.32) พบว่ามีลักษณะคล้ายกับสมการของตัวควบคุมพีดีดั้งเดิมในสมการที่ (3.23) และสมการที่ (3.33) คล้ายกับสมการของตัวควบคุมไอคั้งเดิมในสมการที่ (3.28) แต่มีความแตกต่างกันตรงค่าเกนของตัวควบคุมที่เอสพีซีซีมีค่าเกนไม่คงที่ เป็นฟังก์ชันของสัญญาณอินพุตของตัวควบคุม สำหรับค่าเกน $K_p(v,r)$ และ $K_d(v,r)$ ของตัวควบคุมที่เอสพีซีพีดีและค่าเกน $K_i(v,r)$ ของตัวควบคุมที่เอสพีซีไอในบริเวณ IC1 ถึง IC12 แสดงได้ดังตารางที่ 3.5 และตารางที่ 3.6 ตามลำดับ



เอกสารนี้เป็นเอกสารที่สงวนไว้สำหรับการใช้งานเพื่อการศึกษาเท่านั้น ไม่อนุญาตให้นำไปใช้ประโยชน์ด้านการค้า
ไม่ว่ากรณีใดๆทั้งสิ้น อีกทั้งห้ามมิให้ตัดแปลงเนื้อหา และต้องอ้างอิงถึงเจ้าของเอกสารทุกครั้งที่มีการนำไปใช้

ตารางที่ 3.5 ค่าเกณฑ์ของตัวควบคุมที่เอสพีซีพีดี บริเวณ IC1 ถึง IC12

IC No.	$K_p(v,r)$	$K_d(v,r)$
1	$\frac{(L- v(nT))(b_3+b_4)+(L+r(nT))b_1+(L-r(nT))b_2}{4L-2 v(nT) }$	$\frac{(L- v(nT))(c_3+c_4)+(L+r(nT))c_1+(L-r(nT))c_2}{4L-2 v(nT) }$
2	$\frac{(L- r(nT))(b_2+b_4)+(L+v(nT))b_1+(L-v(nT))b_3}{4L-2 r(nT) }$	$\frac{(L- r(nT))(c_2+c_4)+(L+v(nT))c_1+(L-v(nT))c_3}{4L-2 r(nT) }$
3	$\frac{(L- v(nT))(b_1+b_2)+(L+r(nT))b_3+(L-r(nT))b_4}{4L-2 v(nT) }$	$\frac{(L- v(nT))(c_1+c_2)+(L+r(nT))c_3+(L-r(nT))c_4}{4L-2 v(nT) }$
4	$\frac{(L- r(nT))(b_1+b_3)+(L+v(nT))b_2+(L-v(nT))b_4}{4L-2 r(nT) }$	$\frac{(L- r(nT))(c_1+c_3)+(L+v(nT))c_2+(L-v(nT))c_4}{4L-2 r(nT) }$
5	$\frac{(L+r(nT))b_1+(L-r(nT))b_2}{2L}$	$\frac{(L+r(nT))c_1+(L-r(nT))c_2}{2L}$
7	$\frac{(L+v(nT))b_1+(L-v(nT))b_3}{2L}$	$\frac{(L+v(nT))c_1+(L-v(nT))c_3}{2L}$
9	$\frac{(L+r(nT))b_3+(L-r(nT))b_4}{2L}$	$\frac{(L+r(nT))c_3+(L-r(nT))c_4}{2L}$
11	$\frac{(L+v(nT))b_2+(L-v(nT))b_4}{2L}$	$\frac{(L+v(nT))c_2+(L-v(nT))c_4}{2L}$
6	b_1	c_1
8	b_3	c_3
10	b_4	c_4
12	b_2	c_2

ตารางที่ 3.6 ค่าเกณฑ์ของตัวควบคุมที่เอสพีซีไอ บริเวณ IC1 ถึง IC12

IC No.	$K_i(v,r)$
1	$\frac{L \sum_{i=1}^4 a_i - (a_3 + a_4) v(nT) + (a_1 - a_2) r(nT)}{4L - 2 v(nT) }$
2	$\frac{L \sum_{i=1}^4 a_i - (a_2 + a_4) r(nT) + (a_1 - a_3) v(nT)}{4L - 2 r(nT) }$
3	$\frac{L \sum_{i=1}^4 a_i - (a_1 + a_2) v(nT) + (a_3 - a_4) r(nT)}{4L - 2 v(nT) }$
4	$\frac{L \sum_{i=1}^4 a_i - (a_1 + a_3) r(nT) + (a_2 - a_4) v(nT)}{4L - 2 r(nT) }$
5	$\frac{L(a_1 + a_2) + (a_1 - a_2) r(nT)}{2L}$
7	$\frac{L(a_1 + a_3) + (a_1 - a_3) v(nT)}{2L}$
9	$\frac{L(a_3 + a_4) + (a_3 - a_4) r(nT)}{2L}$
11	$\frac{L(a_2 + a_4) + (a_2 - a_4) v(nT)}{2L}$
6	a_1
8	a_3
10	a_4
12	a_2

เอกสารนี้เป็นเอกสารที่สงวนไว้สำหรับการใช้งานเพื่อการศึกษาเท่านั้น ไม่อนุญาตให้นำไปใช้ประโยชน์ด้านการค้า
ไม่ว่ากรณีใดๆทั้งสิ้น อีกทั้งห้ามมิให้ดัดแปลงเนื้อหา และต้องอ้างอิงถึงเจ้าของเอกสารทุกครั้งที่มีการนำไปใช้

บทที่ 4

การวิเคราะห์เสถียรภาพ

เสถียรภาพเป็นคุณสมบัติที่สำคัญมากประการหนึ่ง ไม่เพียงแต่ในการออกแบบระบบสถิต(static system)เท่านั้น แต่ยังหมายรวมถึงระบบพลวัต(dynamic system)ทั้งหมดด้วย ไม่ว่าจะเงื่อนไขการทำงานของระบบเป็นอย่างไร ต้องตรวจสอบดูเสมอว่า ระบบเสถียรหรือไม่เมื่อเกิดมีการรบกวนหรือสภาวะเริ่มต้นของระบบเปลี่ยนแปลงไป โดยพื้นฐานแล้วเสถียรภาพหมายความว่า ความแตกต่างเพียงเล็กน้อยระหว่างสภาวะจริงในการทำงานของระบบควบคุมกับสภาวะที่ระบบได้รับการออกแบบมา ไม่ทำให้พฤติกรรมของระบบเปลี่ยนแปลงไปโดยสิ้นเชิง

การวิเคราะห์เสถียรภาพของระบบนั้น จุดประสงค์หลักก็เพื่อศึกษาว่าระบบควบคุมนั้นมีเสถียรภาพหรือไม่ และสามารถออกแบบตัวควบคุมที่ควบคุมให้ระบบนั้นมีเสถียรภาพได้หรือไม่ หรือกล่าวอีกนัยหนึ่งว่า เมื่อระบบถูกรบกวนหรือสภาวะเริ่มต้นของระบบเปลี่ยนแปลงไปจากเดิมแล้ว ระบบสามารถปรับ/เข้าสู่สู่สถานะสมดุลย์(equilibrium state) หรือสามารถปรับ/เข้าสู่ใกล้สถานะสมดุลย์ได้หรือไม่

ในบทนี้จะกล่าวถึงความหมายของเสถียรภาพแบบต่าง ๆ รวมทั้งนิยามของทฤษฎีบทเกนน้อย ซึ่งใช้ในการหาเงื่อนไขเสถียรภาพในวิทยานิพนธ์นี้ การหาเงื่อนไขเสถียรภาพแบบบีโอบีโอของระบบควบคุมที่เอสพีซีพีไอ+ดีและทีเอสพีซีพีดี+ไอที่ได้นำเสนอโครงสร้างในบทที่ 3 โดยอาศัยแนวทางเดียวกันกับการวิเคราะห์เสถียรภาพของระบบควบคุมที่เอสพีซีพีไอในงานวิจัย [10,15] ซึ่งปรับปรุงเพิ่มเติมจากงานวิจัยเดิมคือ ให้เป็นเงื่อนไขเสถียรภาพที่สามารถใช้ได้กับระบบที่มีความไม่แน่นอน

4.1 เสถียรภาพแบบโกลบอล โลคอลและบีโอบีโอ

เสถียรภาพแบบโกลบอล(global stability)และเสถียรภาพแบบโลคอล(local stability) นั้นจะเกี่ยวข้องกับจุดสมดุล ระบบมีเสถียรภาพแบบโกลบอลเชิงอะซิมโทติก(globally asymptotically stable)ก็ต่อเมื่อ ระบบมีเสถียรภาพเชิงอะซิมโทติกสำหรับสถานะเริ่มต้น(initial state) ใด ๆ แม้ว่าจะไกลจากจุดสมดุลก็ตาม หรือกล่าวอีกนัยหนึ่งคือ ระบบมีเสถียรภาพในสเตตสเปซ(state space) ทั้งหมด ในทางตรงกันข้าม เสถียรภาพแบบโลคอลนั้น จะการันตีเสถียรภาพของระบบเพียงบริเวณรอบ ๆ จุดสมดุลเท่านั้น เรียกบริเวณรอบ ๆ จุดสมดุลนี้ว่าเบซิน(basin) นั่นคือหากสถานะเริ่มต้นอยู่ภายในเบซิน ระบบก็จะมีเสถียรภาพ แต่ถ้าหากไม่อยู่ภายในเบซิน ระบบก็จะมีเสถียรภาพสำหรับระบบเชิงเส้นใด ๆ หากระบบมีเสถียรภาพแบบโลคอลก็จะสามารถสรุปได้ว่า ระบบมีเสถียรภาพแบบโกลบอลด้วย และในทางกลับกันหากระบบมีเสถียรภาพแบบโกลบอลก็จะสามารถ

เอกสารนี้เป็นเอกสารที่สงวนไว้สำหรับการใช้งานเพื่อการศึกษาเท่านั้น ไม่อนุญาตให้นำไปใช้ประโยชน์ด้านการค้าไม่ว่ากรณีใดๆทั้งสิ้น อีกทั้งห้ามมิให้ดัดแปลงเนื้อหา และต้องอ้างอิงถึงเจ้าของเอกสารทุกครั้งที่มีการนำไปใช้

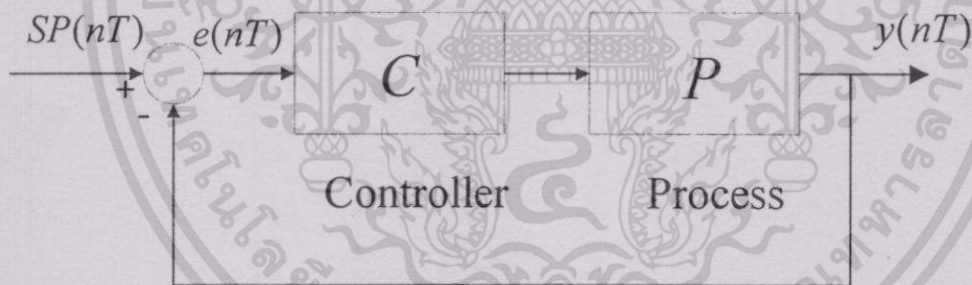
สรุปว่าระบบมีเสถียรภาพแบบโลคอลได้เช่นกัน แต่สำหรับระบบไม่เชิงเส้นแล้วนั้น การมีเสถียรภาพแบบโลคอลไม่สามารถสรุปได้ว่าระบบมีเสถียรภาพแบบโกลบอล

ในระบบใด ๆ มีสัญญาณอินพุตที่มีขอบเขตแล้ว และให้สัญญาณเอาต์พุตที่มีขอบเขตด้วย หมายความว่าสัญญาณอินพุตที่มีขอบเขตจำกัดป้อนเข้ามา เรียกระบบดังกล่าวว่า มีเสถียรภาพแบบบีไอบีโอ(BIBO stability) คำจำกัดความเสถียรภาพของบีไอบีโอนั้น เป็นคำจำกัดความของเสถียรภาพที่ค่อนข้างกว้าง ในกรณีที่สัญญาณอินพุตที่เข้ามาในระบบมีขอบเขตจำกัด และเอาต์พุตของระบบเกิดการแกว่ง(oscillate) ด้วยขนาดที่มีขอบเขตแล้ว ระบบมีเสถียรภาพแบบบีไอบีโอ แต่ระบบจะไม่เสถียรเชิงอะซิมโทด

ในวิทยานิพนธ์นี้ จะใช้ทฤษฎีบทเกณฑ์ เพื่อหาเงื่อนไขเสถียรภาพแบบบีไอบีโอ

4.2 ทฤษฎีบทเกณฑ์

ทฤษฎีบทเกณฑ์เป็นวิธีการตรวจสอบเสถียรภาพแบบบีไอบีโอของระบบควบคุมทั่วไปทั้งที่เป็นเชิงเส้นและไม่เป็นเชิงเส้นดังแสดงในรูปที่ 4.1 เมื่อ C คือตัวควบคุมพีซีซี และ P คือกระบวนการที่ถูกควบคุม



รูปที่ 4.1 แสดงระบบควบคุมทั่วไป

สำหรับตัวควบคุม C และกระบวนการที่ถูกควบคุม P ใด ๆ ที่สอดคล้องกับเงื่อนไขเสถียรภาพแบบบีไอบีโอดังสมการ

$$\|C(e(n))\| \leq \alpha_1 \|e(n)\| + \beta_1, \quad \alpha_1, \beta_1 \geq 0, \quad (4.1)$$

และ

$$\|P(u(n))\| \leq \alpha_2 \|u(n)\| + \beta_2, \quad \alpha_2, \beta_2 \geq 0, \quad (4.2)$$

แล้ว จะสามารถหาเงื่อนไขเสถียรภาพของระบบควบคุมวงปิดได้โดยใช้ทฤษฎีบทเกนน้อย ซึ่งมีเงื่อนไขคือ

$$\alpha_1 \cdot \alpha_2 < 1 \quad (4.3)$$

เมื่อ α_1 , α_2 , β_1 และ β_2 คือค่าคงที่ $\| \bullet \|$ ในวิทยานิพนธ์นี้หมายถึง $\| \bullet \|_\infty$ และสำหรับกระบวนการ P ใดๆ ที่ถูกควบคุม สามารถจัดรูปสมการที่ (4.2) ให้อยู่ในรูปของ

$$\|P(u(n))\| \leq \|P\| \cdot |u(n)| \quad \text{เมื่อ } \|P\| < \infty \quad (4.4)$$

เมื่อ $\|P\|$ คือ นอร์มปฏิบัติการ (operator norm) ของกระบวนการที่ถูกควบคุม หมายถึง ค่าอัตราขยาย(magnitude) ของกระบวนการที่มากที่สุด นั่นคือ สำหรับกระบวนการเชิงเส้นไม่เปลี่ยนแปลงตามเวลา(linear time-invariant) อัตราขยายหรือค่านอร์มของกระบวนการมีค่าคงที่ไม่เปลี่ยนแปลง แต่สำหรับกระบวนการอื่น ๆ เช่น กระบวนการไม่เป็นเชิงเส้นและกระบวนการเปลี่ยนแปลงตามเวลา เป็นต้น ขนาดของอัตราขยายจะมีการเปลี่ยนแปลงขึ้นกับจุดปฏิบัติการ(operating point)

ดังนั้น การพิจารณาค่านอร์มของตัวควบคุมที่เอสพีซีพีไอ+ดีและตัวควบคุมที่เอสพีซีพีดี+ไอก็คือการหาค่า α_1 เมื่อรู้ค่า $\alpha_2 = \|P\|$

4.3 เสถียรภาพแบบบีไอบีโอของตัวควบคุมที่เอสพีซีพีไอ+ดี

ในการหาค่านอร์มของตัวควบคุมที่เอสพีซีพีไอ+ดีนั้น จะเป็นการหาค่านอร์มของตัวควบคุมที่เอสพีซีพีไอและนอร์มของตัวควบคุมที่เอสพีซีดี จากนั้นจึงหาเงื่อนไขในการรวมค่านอร์มของตัวควบคุมทั้งสองเข้าเป็นนอร์มของตัวควบคุมที่เอสพีซีพีไอ+ดี

4.3.1 เงื่อนไขค่านอร์มของตัวควบคุมที่เอสพีซีพีไอ

จากการวิเคราะห์ในบทที่ 3 เอาท์พุทที่เปลี่ยนแปลงของตัวควบคุมที่เอสพีซีพีไอในบริเวณ IC1 ถึง IC12 คือ

$$\Delta u_{PI}(nT) = K_i(e,r)e(nT) + K_p(e,r)r(nT) \quad (4.5)$$

ในการหาเงื่อนไขค่านอร์มของตัวควบคุมที่เอสพีซีพีไอในบริเวณ IC1 จะแทนค่าเกน $K_i(e,r)$ และ $K_p(e,r)$ ของบริเวณ IC1 ลงไปในสมการที่ (4.5) แล้วจึงหานอร์มตลอดทั้งสองข้างของสมการจะได้

$$\|\Delta u_{PI}(nT)\| = \left\| \left[\frac{(L - |e(nT)|)(a_3 + a_4) + (L + r(nT))a_1 + (L - r(nT))a_2}{4L - 2|e(nT)|} \right] e(nT) \right. \\ \left. + \left[\frac{(L - |e(nT)|)(b_3 + b_4) + (L + r(nT))b_1 + (L - r(nT))b_2}{4L - 2|e(nT)|} \right] r(nT) \right\|$$

ค่านอร์มจะมีค่ามากที่สุดเมื่อกำหนดให้ $L - |e(nT)| = L$ และ $4L - 2|e(nT)| = 2L$ จะได้

$$\|\Delta u_{PI}(nT)\| \leq \frac{1}{2L} \left[L(a_3 + a_4) + (L + r(nT))a_1 + (L - r(nT))a_2 \right] e(nT) \\ + \left[L(b_3 + b_4) + (L + r(nT))b_1 + (L - r(nT))b_2 \right] r(nT)$$

แทนค่า $r(nT) = e(nT) - e(nT - T)$ แล้วจัดรูปสมการข้างบนใหม่

$$\|\Delta u_{PI}(nT)\| \leq \frac{1}{2L} \left[L \sum_{i=1}^4 (a_i + b_i) + e(nT)(a_1 - a_2 + b_1 - b_2) \right] e(nT) \\ + \left[e(nT - T)(b_1 - b_2) - L \sum_{i=1}^4 b_i + L(a_1 - a_2 + 2b_1 - 2b_2) \right] e(nT - T)$$

แทนค่า $M_e = \sup_{n \geq 1} |e(nT - T)|$ จะได้

$$\|\Delta u_{PI}(nT)\| \leq \alpha_{PI} |e(nT)| + \beta_{PI} \quad (4.6)$$

โดยที่ $\alpha_{PI} = \frac{1}{2} \left[\sum_{i=1}^4 (a_i + b_i) + |a_1 - a_2 + b_1 - b_2| \right]$ คือค่านอร์มของตัวควบคุมที่เอสพีซซี

พีไอ และ $\beta_{PI} = \frac{1}{2L} \left[M_e |b_1 - b_2| + L \sum_{i=1}^4 b_i + L |a_1 - a_2 + b_1 - b_2| \right] M_e$ คือค่าคงที่ ใน

ทำนองเดียวกัน สามารถหาค่านอร์มของตัวควบคุมพีเอสพีซซีพีไอในบริเวณ IC2 ถึง IC12 และสรุปได้ดังตารางที่ 4.1

เอกสารนี้เป็นเอกสารที่สงวนไว้สำหรับการใช้งานเพื่อการศึกษาเท่านั้น ไม่อนุญาตให้นำไปใช้ประโยชน์ด้านการค้า
ไม่ว่ากรณีใดๆทั้งสิ้น อีกทั้งห้ามมิให้ดัดแปลงเนื้อหา และต้องอ้างอิงถึงเจ้าของเอกสารทุกครั้งที่มีการนำไปใช้

ตารางที่ 4.1 ค่านอร์มของตัวควบคุมที่เอสพีซีพีไอในบริเวณ IC1 ถึง IC12

IC No.	α_{PI}
IC 1	$\frac{\sum_{i=1}^4 (a_i + b_i) + a_1 - a_2 + b_1 - b_2 }{2}$
IC 2	$\frac{\sum_{i=1}^4 (a_i + b_i) + a_1 - a_3 + b_1 - b_3 }{2}$
IC 3	$\frac{\sum_{i=1}^4 (a_i + b_i) + a_3 - a_4 + b_3 - b_4 }{2}$
IC 4	$\frac{\sum_{i=1}^4 (a_i + b_i) + a_2 - a_4 + b_2 - b_4 }{2}$
IC 5	$a_1 + a_2 + b_1 + b_2$
IC 7	$a_1 + a_3 + b_1 + b_3$
IC 9	$a_3 + a_4 + b_3 + b_4$
IC 11	$a_2 + a_4 + b_2 + b_4$
IC 6	$a_1 + b_1$
IC 8	$a_3 + b_3$
IC 10	$a_4 + b_4$
IC 12	$a_2 + b_2$

4.3.2 เงื่อนไขค่านอร์มของตัวควบคุมที่เอสพีซีพีไอ

จากการวิเคราะห์เพื่อหาเอาต์พุตที่เปลี่ยนแปลงของตัวควบคุมที่เอสพีซีพีไอบริเวณ IC1 ถึง IC12 ในบทที่ 3 ได้

$$\Delta u_D(nT) = K_d(y_d, \Delta y) \Delta y(nT) \quad (4.7)$$

เมื่อแทนค่าเกน $K_d(y_d, \Delta y)$ ของบริเวณ IC1 ลงไปในสมการที่ (4.7) เพื่อหาเงื่อนไขค่านอร์มของตัวควบคุมที่เอสพีซีพีไอในบริเวณ IC1 จะได้

$$\Delta u_D(nT) = \left[\frac{L \sum_{i=1}^4 c_i - (c_1 + c_2) |y_d(nT)| + (c_4 - c_3) \Delta y(nT)}{4L - 2 |y_d(nT)|} \right] \Delta y(nT)$$

หาค่าของทั้งสองข้างของสมการ จะได้

$$\|\Delta u_D(nT)\| = \left\| \left[\frac{L \sum_{i=1}^4 c_i - (c_1 + c_2) |y_d(nT)| + (c_4 - c_3) \Delta y(nT)}{4L - 2 |y_d(nT)|} \right] \Delta y(nT) \right\|$$

แทนค่า $\Delta y(nT) = y(nT) - y(nT - T)$ และค่าของนอร์มจะมีค่ามากที่สุดเมื่อกำหนดให้ $4L - 2 |y_d(nT)| = 2L$ นั่นคือ

$$\|\Delta u_D(nT)\| \leq \frac{1}{2L} \left| \left[L \sum_{i=1}^4 c_i - (c_1 + c_2) |y_d(nT)| + (c_4 - c_3) \Delta y(nT) \right] (y(nT) - y(nT - T)) \right|$$

กระจายนอร์มเข้าไปในสมการแล้วแทน $|y_d(nT)| = |\Delta y(nT)| = L$ และ $M_y = \sup_{n \geq 1} |y(nT - T)|$ จะได้

$$\|\Delta u_D(nT)\| \leq \alpha_D |y(nT)| + \beta_D \quad (4.8)$$

โดยที่ $\alpha_D = \frac{1}{2} \left[\sum_{i=1}^4 c_i + (c_1 + c_2) + |(c_4 - c_3)| \right]$ คือนอร์มของตัวควบคุมที่เอสพีซซีดีใน

บริเวณ IC1 และ $\beta_D = \frac{1}{2} \left[\sum_{i=1}^4 c_i + (c_1 + c_2) + |(c_4 - c_3)| \right] M_y$ คือค่าคงที่ อาศัยแนวทาง

เดียวกับ IC1 สามารถหาค่านอร์มของตัวควบคุมที่เอสพีซซีดีในบริเวณ IC2 ถึง IC12 ได้ และสรุปได้ดังตารางที่ 4.2

เอกสารนี้เป็นเอกสารที่สงวนไว้สำหรับการใช้งานเพื่อการศึกษาเท่านั้น ไม่อนุญาตให้นำไปใช้ประโยชน์ด้านการค้า
ไม่ว่ากรณีใดๆทั้งสิ้น อีกทั้งห้ามมิให้ตัดแปลงเนื้อหา และต้องอ้างอิงถึงเจ้าของเอกสารทุกครั้งที่มีการนำไปใช้

ตารางที่ 4.2 ค่านอร์มของตัวควบคุมที่เอสพีซีดีในบริเวณ IC1 ถึง IC12

IC No.	α_D
IC 1	$\frac{\sum_{i=1}^4 c_i + (c_1 + c_2) + (c_4 - c_3) }{2}$
IC 2	$\frac{\sum_{i=1}^4 c_i + (c_1 + c_3) + (c_4 - c_2) }{2}$
IC 3	$\frac{\sum_{i=1}^4 c_i + (c_3 + c_4) + (c_2 - c_1) }{2}$
IC 4	$\frac{\sum_{i=1}^4 c_i + (c_2 + c_4) + (c_3 - c_1) }{2}$
IC 5	$c_4 + c_3$
IC 7	$c_4 + c_2$
IC 9	$c_2 + c_1$
IC 11	$c_3 + c_1$
IC 6	c_4
IC 8	c_2
IC 10	c_1
IC 12	c_3

4.3.3 เงื่อนไขค่านอร์มของตัวควบคุมที่เอสพีซีดีไอ+ดี

เนื่องจาก

$$\begin{aligned}
 u_{PI+D}(nT) &= u_{PI}(nT) - u_D(nT) \\
 &= \Delta u_{PI}(nT) + u_{PI}(nT - T) - \Delta u_D(nT) + u_D(nT - T)
 \end{aligned}$$

เมื่อหาค่านอร์มของสมการข้างบนจะได้

$$\begin{aligned}
 \|u_{PI+D}(nT)\| &= \|\Delta u_{PI}(nT) + u_{PI}(nT - T) - \Delta u_D(nT) + u_D(nT - T)\| \\
 &\leq \|\Delta u_{PI}(nT)\| + \|\Delta u_D(nT)\| + M_{PI} + M_D
 \end{aligned} \tag{4.9}$$

เอกสารนี้เป็นเอกสารที่สงวนไว้สำหรับการใช้งานเพื่อการศึกษาเท่านั้น ไม่อนุญาตให้นำไปใช้ประโยชน์ด้านการค้า
ไม่ว่ากรณีใดๆทั้งสิ้น อีกทั้งห้ามมิให้ดัดแปลงเนื้อหา และต้องอ้างอิงถึงเจ้าของเอกสารทุกครั้งที่มีการนำไปใช้

เมื่อ $M_{PI} = \sup_{n \geq 1} |u_{PI}(nT - T)|$ และ $M_D = \sup_{n \geq 1} |u_D(nT - T)|$ แทนค่า $\|\Delta u_{PI}(nT)\|$ จากสมการที่ (4.6) และค่า $\|\Delta u_D(nT)\|$ จากสมการที่ (4.8) ลงในสมการที่ (4.9) จะได้

$$\|u_{PI+D}(nT)\| \leq \alpha_{PI} |e(nT)| + \beta_{PI} + \alpha_D |y(nT)| + \beta_D + M_{PI} + M_D$$

แทนค่า $y(nT) = SP(nT) - e(nT)$ ลงในสมการข้างบน จะได้

$$\|u_{PI+D}(nT)\| \leq \alpha_1 |e(nT)| + \beta_1 \quad (4.10)$$

โดยที่ $\alpha_1 = \alpha_{PI} + \alpha_D$ และ $\beta_1 = \alpha_D \|SP\| + \beta_{PI} + \beta_D + M_{PI} + M_D$ เมื่อแทนค่า $\alpha_1 = \alpha_{PI} + \alpha_D$ และ $\alpha_2 = \|P\|$ ลงในสมการที่ (4.3) แล้ว จะได้เงื่อนไขเสถียรภาพของตัวควบคุมที่เอสพีซซีพีไอ+ดี ดังนี้

$$(\alpha_{PI} + \alpha_D) \cdot \|P\| < 1 \quad (4.11)$$

นั่นคือ ถ้าออกแบบตัวควบคุมที่เอสพีซซีพีไอ+ดี ให้มีค่าพารามิเตอร์ a_i, b_i และ c_i ($i = 1, 2, 3, 4$) สอดคล้องกับเงื่อนไขในสมการที่ (4.11) แล้ว ก็จะสามารถประกันเสถียรภาพของระบบควบคุมที่เอสพีซซีพีไอ+ดีได้ หากตัดเงื่อนไขเสถียรภาพของตัวควบคุมที่เอสพีซซีดีออกไป ก็จะเหลือเพียงเงื่อนไขเสถียรภาพของระบบควบคุมที่เอสพีซซีพีไอ ซึ่งพบว่าตรงกับเงื่อนไขที่มีการวิเคราะห์มาแล้วในงานวิจัย[10]

4.4 เสถียรภาพแบบบีโอบีโอของตัวควบคุมที่เอสพีซซีพีดี+ไอ

อาศัยแนวทางเดียวกันกับการหาค่านอร์มของตัวควบคุมที่เอสพีซซีพีไอ+ดี เงื่อนไขค่านอร์มของตัวควบคุมที่เอสพีซซีพีดี คือ

$$\|\Delta u_{PD}(nT)\| \leq \alpha_{PD} |e(nT)| + \beta_{PD} \quad (4.12)$$

และตัวควบคุมที่เอสพีซซีไอ คือ

$$\|\Delta u_I(nT)\| \leq \alpha_I |e(nT)| + \beta_I \quad (4.13)$$

โดยที่ β_{PD} และ β_I คือค่าคงที่ α_{PD} และ α_I คือนอร์มของตัวควบคุมที่เอสพีซีพีดีและตัวควบคุมที่เอสพีซีไอตามลำดับ และสามารถแสดงได้ดังตารางที่ 4.3

ตารางที่ 4.3 ค่านอร์มของตัวควบคุมที่เอสพีซีพีดีและที่เอสพีซีไอ

IC No.	α_{PD}	α_I
IC 1	$\frac{\sum_{i=1}^4 (b_i + c_i) + b_1 - b_2 + c_1 - c_2 }{2}$	$\frac{\sum_{i=1}^4 (a_i) + a_1 - a_2 }{2}$
IC 2	$\frac{\sum_{i=1}^4 (b_i + c_i) + b_1 - b_3 + c_1 - c_3 }{2}$	$\frac{\sum_{i=1}^4 (a_i) + a_1 - a_3 }{2}$
IC 3	$\frac{\sum_{i=1}^4 (b_i + c_i) + b_3 - b_4 + c_3 - c_4 }{2}$	$\frac{\sum_{i=1}^4 (a_i) + a_3 - a_4 }{2}$
IC 4	$\frac{\sum_{i=1}^4 (b_i + c_i) + b_2 - b_4 + c_2 - c_4 }{2}$	$\frac{\sum_{i=1}^4 (a_i) + a_2 - a_4 }{2}$
IC 5	$b_1 + b_2 + c_1 + c_2$	$a_1 + a_2$
IC 7	$b_1 + b_3 + c_1 + c_3$	$a_1 + a_3$
IC 9	$b_3 + b_4 + c_3 + c_4$	$a_3 + a_4$
IC 11	$b_2 + b_4 + c_2 + c_4$	$a_2 + a_4$
IC 6	$b_1 + c_1$	a_1
IC 8	$b_3 + c_3$	a_3
IC 10	$b_4 + c_4$	a_4
IC 12	$b_2 + c_2$	a_2

ในการหาค่านอร์มของตัวควบคุมที่เอสพีซีพีดี+ไอนั้น หาได้โดยการรวมค่านอร์มของตัวควบคุมที่เอสพีซีพีดีและนอร์มของตัวควบคุมที่เอสพีซีไอ ตามแนวทางดังต่อไปนี้

จากการวิเคราะห์ในบทที่ 3 เอทซ์พุดของตัวควบคุมที่เอสพีซีพีดี+ไอมีสมาการ

$$\begin{aligned}
 u_{PD+I}(nT) &= u_{PD}(nT) + u_I(nT) \\
 &= \Delta u_{PD}(nT) - u_{PD}(nT - T) + \Delta u_I(nT) + u_I(nT - T)
 \end{aligned}$$

เอกสารนี้เป็นเอกสารที่สงวนไว้สำหรับการใช้งานเพื่อการศึกษาเท่านั้น ไม่อนุญาตให้นำไปใช้ประโยชน์ด้านการค้า ไม่ว่าจะกรณีใดๆทั้งสิ้น อีกทั้งห้ามมิให้ดัดแปลงเนื้อหา และต้องอ้างอิงถึงเจ้าของเอกสารทุกครั้งที่มีการนำไปใช้

เมื่อหาค่านอร์มของสมการเอาที่พูดของตัวควบคุมที่เอสพีซซีพีดี+ไอ จะได้

$$\begin{aligned} \|u_{PD+I}(nT)\| &= \|\Delta u_{PD}(nT) - u_{PD}(nT - T) + \Delta u_I(nT) + u_I(nT - T)\| \\ &\leq \|\Delta u_{PD}(nT)\| + \|\Delta u_I(nT)\| + M_{PD} + M_I \end{aligned} \quad (4.14)$$

เมื่อ $M_{PD} = \sup_{n \geq 1} |u_{PD}(nT - T)|$ และ $M_I = \sup_{n \geq 1} |u_I(nT - T)|$ แทนค่า $\|\Delta u_{PD}(nT)\|$ จากสมการที่ (4.12) และค่า $\|\Delta u_I(nT)\|$ จากสมการที่ (4.13) ลงในสมการที่ (4.14) จะได้

$$\|u_{PD+I}(nT)\| \leq \alpha_1 |e(nT)| + \beta_1 \quad (4.15)$$

โดยที่ $\alpha_1 = \alpha_{PD} + \alpha_I$ และ $\beta_1 = \beta_{PD} + \beta_I + M_{PD} + M_I$ เมื่อแทนค่า $\alpha_1 = \alpha_{PD} + \alpha_I$ และ $\alpha_2 = \|P\|$ ลงในเงื่อนไขเสถียรภาพแบบบีโอบีโอของสมการที่ (4.3) แล้วจะได้เงื่อนไขเสถียรภาพของตัวควบคุมที่เอสพีซซีพีดี+ไอ ดังต่อไปนี้

$$(\alpha_{PD} + \alpha_I) \cdot \|P\| < 1 \quad (4.16)$$

นั่นคือ ถ้าสามารถออกแบบตัวควบคุมที่เอสพีซซีพีดี+ไอ ให้มีค่าพารามิเตอร์ a_i, b_i และ c_i ($i = 1, 2, 3, 4$) สอดคล้องกับเงื่อนไขในสมการที่ (4.16) แล้ว ก็จะสามารถประกันเสถียรภาพของระบบควบคุมที่เอสพีซซีพีดี+ไอได้ และหากตัดเงื่อนไขเสถียรภาพของตัวควบคุมที่เอสพีซซีไอออกไป ก็จะเหลือเพียงเงื่อนไขเสถียรภาพของระบบควบคุมที่เอสพีซซีพีดี ซึ่งพบว่าตรงกับเงื่อนไขที่มีการวิเคราะห์มาแล้วในงานวิจัย[6]

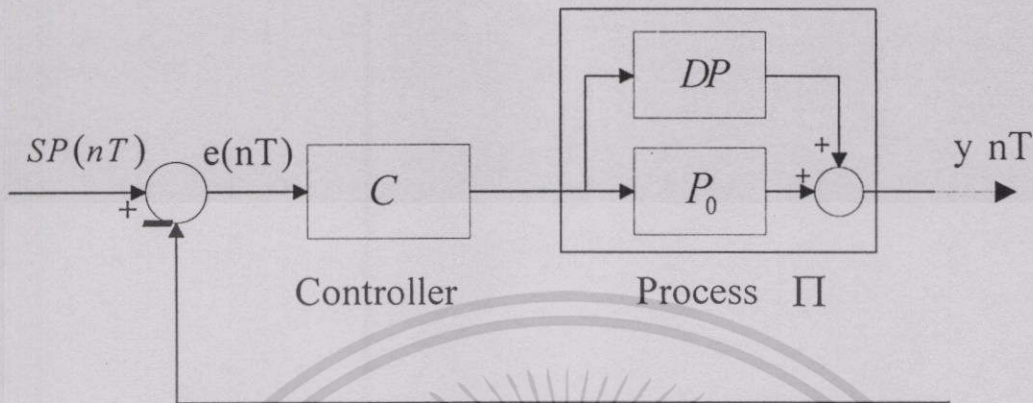
4.5 เงื่อนไขเสถียรภาพที่พิจารณาความไม่แน่นอน

ความไม่แน่นอนของระบบควบคุมสามารถเกิดได้หลายสาเหตุได้แก่ ความไม่แน่นอนที่เกิดจากการละเลยคุณสมบัติทางพลวัตในการหาแบบจำลองของกระบวนการ เกิดจากคุณสมบัติของความไม่เป็นเชิงเส้น(nonlinearity)ของระบบควบคุม เกิดจากผลการทำลিনিียร์ไลเซชัน(linearization) เป็นต้น โดยในวิทยานิพนธ์นี้จะพิจารณาความไม่แน่นอนที่เกิดจากการหาแบบจำลองของกระบวนการหรือกล่าวอีกนัยหนึ่งคือ เป็นความไม่แน่นอนที่คลาดเคลื่อนจากกระบวนการระบุ(nominal process) โดยสามารถอธิบายขอบเขตของความไม่แน่นอนให้อยู่ในเทอมของนอร์มอินฟินิตี้ ความไม่แน่นอนแบ่งออกได้เป็น 2 ประเภทคือความไม่แน่นอนเชิงบวกและความไม่แน่นอนเชิงคูณ

เอกสารนี้เป็นเอกสารที่สงวนไว้สำหรับการใช้งานเพื่อการศึกษาเท่านั้น ไม่อนุญาตให้นำไปใช้ประโยชน์ด้านการค้า ไม่ว่ากรณีใดๆทั้งสิ้น อีกทั้งห้ามมิให้ดัดแปลงเนื้อหา และต้องอ้างอิงถึงเจ้าของเอกสารทุกครั้งที่มีการนำไปใช้

4.5.1 ความไม่แน่นอนเชิงบวก

ระบบที่มีความไม่แน่นอนเชิงบวกสามารถแสดงได้ดังรูป



รูปที่ 4.2 แสดงระบบที่มีความไม่แน่นอนเชิงบวก

โดยสามารถเขียนกระบวนการ P ให้อยู่ในรูปของสมการ

$$P = P_0 + \Delta P \quad (4.17)$$

เมื่อ P_0 คือกระบวนการระบุที่ถูกรวบรวมและ ΔP คือความไม่แน่นอนที่เกิดจากการหาแบบจำลองของกระบวนการ และเมื่อแทน P จากสมการที่ (4.17) ลงในสมการที่ (4.11) ซึ่งเป็นสมการเงื่อนไขเสถียรภาพของระบบควบคุมที่เอสพีซีพีไอ+ดี จะได้

$$(\alpha_{PI} + \alpha_D) \cdot \|P_0 + \Delta P\| < 1 \quad (4.18)$$

จัดรูปสมการที่ (4.18) ใหม่โดยแทน $\|P_0 + \Delta P\| \leq \|P_0\| + \|\Delta P\|$ จะได้

$$(\alpha_{PI} + \alpha_D) \cdot (\|P_0\| + \|\Delta P\|) < 1 \quad (4.19)$$

นั่นคือ สำหรับกระบวนการที่พิจารณาความไม่แน่นอนเชิงบวก ถ้าหากค่าความไม่แน่นอนที่อยู่ในรูปนอร์มอินฟินิตี้ $\|\Delta P\|$ สอดคล้องกับเงื่อนไขเสถียรภาพในสมการที่ (4.19) แล้ว จะสามารถทำให้ระบบควบคุมที่เอสพีซีพีไอ+ดีมีเสถียรภาพถึงแม้จะมีความไม่แน่นอนเกิดขึ้น โดยขอบเขตของความไม่แน่นอนมากที่สุดที่ยังทำให้มีเสถียรภาพ มีค่าตามสมการ

$$\|\Delta P\| < \frac{1}{(\alpha_{PI} + \alpha_D)} - \|P_0\| \quad (4.20)$$

อาศัยแนวทางเดียวกับระบบควบคุมที่เอสพีซีพีไอ+ดี ระบบควบคุมที่เอสพีซีพีดี+ไอที่มีการพิจารณาความไม่แน่นอนของกระบวนการที่อยู่ในรูปของความไม่แน่นอนเชิงบวก จะมีเสถียรภาพก็ต่อเมื่อค่าของความไม่แน่นอน $\|\Delta P\|$ สอดคล้องกับเงื่อนไขในสมการ

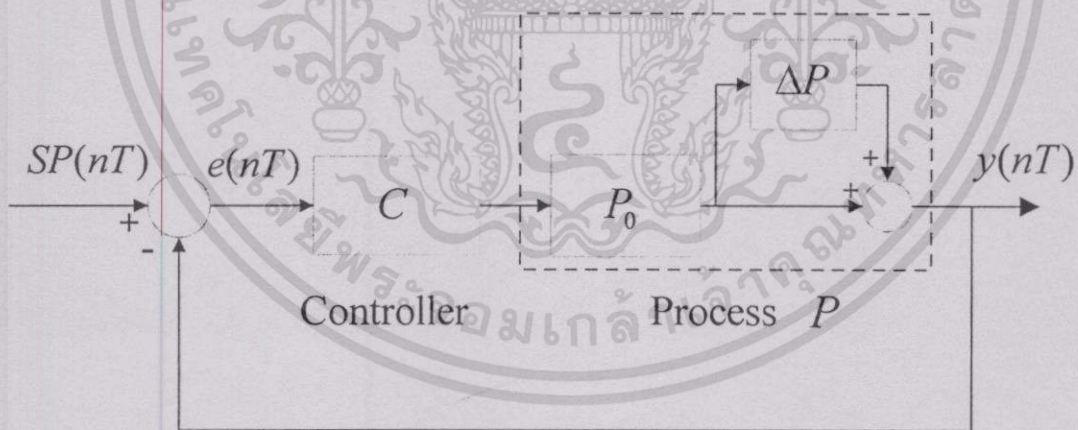
$$(\alpha_{PD} + \alpha_I) \cdot (\|P_0\| + \|\Delta P\|) < 1 \quad (4.21)$$

และขอบเขตของค่าความไม่แน่นอนมากที่สุดที่ยังทำให้ระบบควบคุมที่เอสพีซีพีดี+ไอมีเสถียรภาพ แสดงได้ดังสมการ

$$\|\Delta P\| < \frac{1}{(\alpha_{PD} + \alpha_I)} - \|P_0\| \quad (4.22)$$

4.5.2 ความไม่แน่นอนเชิงคูณ

ระบบที่มีความไม่แน่นอนเชิงคูณ (multiplicative uncertainty) สามารถแสดงได้ดังรูป



รูปที่ 4.3 แสดงระบบที่มีความไม่แน่นอนเชิงคูณ

ระบบที่พิจารณาความไม่แน่นอนเชิงคูณ สามารถเขียนกระบวนการให้อยู่ในรูปของสมการ

$$P = P_0(1 + \Delta P) \quad (4.23)$$

หาค่านอร์มของสมการที่ (4.23) จะได้

$$\begin{aligned}\|P\| &= \|P_0(1 + \Delta P)\| \\ &= \|P_0\|(1 + \|\Delta P\|) \\ &\leq \|P_0\|(1 + \|\Delta P\|)\end{aligned}\quad (4.24)$$

แทนค่า $\|P\|$ จากสมการที่ (4.24) ลงในสมการที่ (4.11) และ (4.16) จะได้สมการ

$$(\alpha_{PI} + \alpha_D) \cdot [\|P_0\|(1 + \|\Delta P\|)] < 1 \quad (4.25)$$

และ

$$(\alpha_{PD} + \alpha_I) \cdot [\|P_0\|(1 + \|\Delta P\|)] < 1 \quad (4.26)$$

ตามลำดับ นั่นคือ สำหรับกระบวนการที่พิจารณาความไม่แน่นอนที่อยู่ในรูปของความไม่แน่นอนเชิงคูณ หากค่าของความไม่แน่นอน $\|\Delta P\|$ สอดคล้องกับเงื่อนไขในสมการที่ (4.25) และ (4.26) แล้ว จะสามารถทำให้ระบบควบคุมที่เอสพีซีพีไอ+ดีและระบบควบคุมที่เอสพีซีพีดี+ไอมีเสถียรภาพตามลำดับ โดยขอบเขตของความคลาดเคลื่อนมากที่สุดที่ยังทำให้ระบบควบคุมที่เอสพีซีพีไอ+ดีและระบบควบคุมที่เอสพีซีพีดี+ไอยังคงมีเสถียรภาพต่อความไม่แน่นอนเชิงคูณ แสดงดังสมการที่ (4.27) และ (4.28) ตามลำดับ

$$\|\Delta P\| < \frac{1}{\|P_0\|(\alpha_{PI} + \alpha_D)} - 1 \quad (4.27)$$

$$\|\Delta P\| < \frac{1}{\|P_0\|(\alpha_{PD} + \alpha_I)} - 1 \quad (4.28)$$

นอกจากการวิเคราะห์หาเงื่อนไขเสถียรภาพของระบบควบคุมพีซีด้วยวิธีบีโอบีโอดังที่ได้กล่าวไปแล้วนั้น ยังสามารถใช้วิธีอื่นในการวิเคราะห์หาเงื่อนไขเสถียรภาพได้อีกด้วย ไม่ว่าจะเป็นการใช้ทฤษฎีเสถียรภาพของเลียปูนอฟ(Lyapunov stability theory)[17] อสมการเมตริกซ์เชิงเส้น(linear matrix inequalities :LMI)[18] เกณฑ์ของโปปอฟ(Popov criterion)[19] และเกณฑ์วงกลม(circle criterion)[20] เป็นต้น

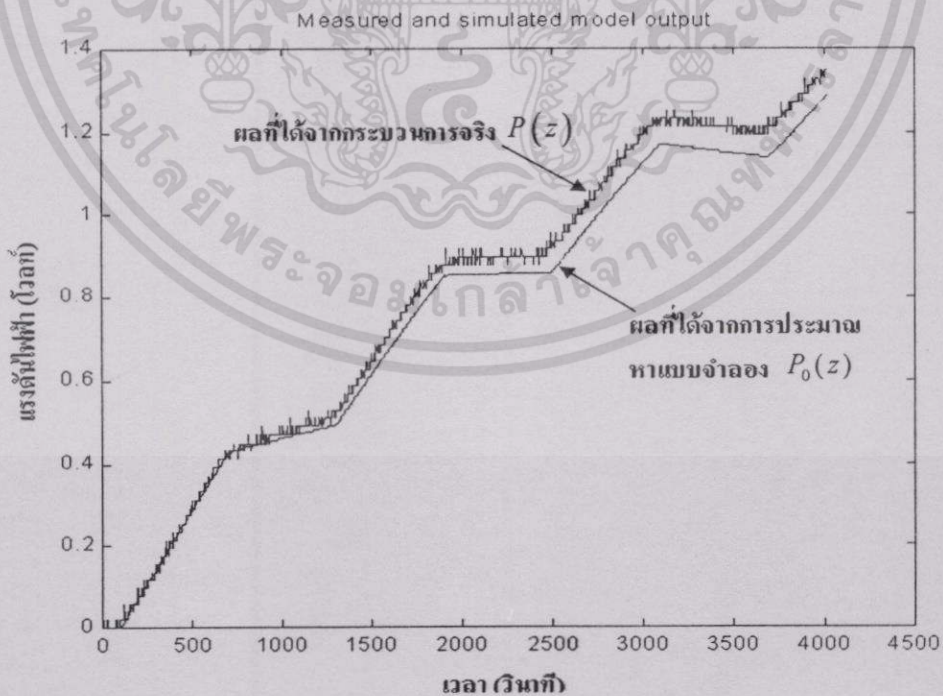
เอกสารนี้เป็นเอกสารที่สงวนไว้สำหรับการใช้งานเพื่อการศึกษาเท่านั้น ไม่อนุญาตให้นำไปใช้ประโยชน์ด้านการค้าไม่ว่ากรณีใดๆทั้งสิ้น อีกทั้งห้ามมิให้ดัดแปลงเนื้อหา และต้องอ้างอิงถึงเจ้าของเอกสารทุกครั้งที่มีการนำไปใช้

การจำลองการควบคุมและการทดลอง

เมื่อได้ออกแบบตัวควบคุมที่เอสพีซีพีไอ+ดีและตัวควบคุมที่เอสพีซีพีดี+ไอในบทที่ 3 พร้อมทั้งหาเงื่อนไขเสถียรภาพของตัวควบคุมทั้งสองในบทที่ 4 แล้ว ในบทนี้จะกล่าวถึงการหาแบบจำลองทางคณิตศาสตร์ของกระบวนการที่ถูกควบคุม การจำลองการควบคุมและการควบคุมกระบวนการจริงตามแนวทางที่ได้ออกแบบไว้โดยคำนึงถึงเงื่อนไขเสถียรภาพที่พิจารณาความไม่แน่นอน ซึ่งในวิทยานิพนธ์นี้จะพิจารณาเฉพาะความไม่แน่นอนเชิงบวกที่เกิดจากความคลาดเคลื่อนในการหาแบบจำลองของกระบวนการที่ถูกควบคุม

5.1 การหาแบบจำลองทางคณิตศาสตร์ของถังต้มน้ำ

การหาแบบจำลอง(modeling) คือการหาความสัมพันธ์ระหว่างสัญญาณอินพุตและสัญญาณเอาต์พุตของกระบวนการที่จะถูกควบคุม ในวิทยานิพนธ์นี้จะหาแบบจำลองของถังต้มน้ำ(รายละเอียดของถังและวงจรรออยู่ในภาคผนวก ก) ให้อยู่ในรูปของสมการผลต่างเชิงเส้น(linear difference equation) โดยป้อนสัญญาณอินพุตเป็นสัญญาณแรงดันที่อยู่ในรูปของสัญญาณคลื่นสี่เหลี่ยม(square wave) มีขนาดอยู่ระหว่าง 2 โวลต์และ 7 โวลต์ มีคาบเวลา 20 นาที แล้วทำการเก็บสัญญาณเอาต์พุตเป็นค่าอุณหภูมิของน้ำซึ่งอยู่ในหน่วยโวลต์ แสดงกราฟจริง ดังรูปที่ 5.1



รูปที่ 5.1 แสดงกราฟการหาแบบจำลองทางคณิตศาสตร์ของถังต้มน้ำ

เอกสารนี้เป็นเอกสารที่สงวนไว้สำหรับการใช้งานเพื่อการศึกษาเท่านั้น ไม่อนุญาตให้นำไปใช้ประโยชน์ด้านการค้า ไม่ว่าจะกรณีใดๆทั้งสิ้น อีกทั้งห้ามมิให้ดัดแปลงเนื้อหา และต้องอ้างอิงถึงเจ้าของเอกสารทุกครั้งที่มีการนำไปใช้

จากรูปที่ 5.1 ผลที่ได้จากกระบวนการจริง $P(z)$ เป็นกราฟที่ได้จากการทดลองจริง มีค่าเวลาไว้ผลตอบสนอง 100 วินาที และทำการประมาณหาแบบจำลองของกระบวนการดังกล่าวให้มีค่าใกล้เคียงกับผลที่ได้จากกระบวนการจริง โดยประมาณแบบจำลองให้มีสมการอันดับ 2 พบว่าสามารถเข้าใกล้กระบวนการจริงในระดับหนึ่ง ดังแสดงในกราฟที่ได้จากการประมาณหาแบบจำลอง ดังนั้นจะได้แบบจำลองอันดับ 2 ของกระบวนการดังกล่าวดังสมการ

$$P_0(z) = \frac{0.0002383z - 0.0001390}{z^{100}(z^2 - 0.4804z - 0.5193)} \quad (5.1)$$

โดยที่ $P_0(z)$ คือกระบวนการระบุเมื่อหาค่าอินฟินิตีโนรมของ $P_0(z)$ จะได้ว่า

$$\|P_0(z)\| = \sup_{|z|=1} |P_0(z)| = 0.274 \quad (5.2)$$

ค่า $P_0(z)$ ที่ทำได้ พบว่า ยังมีความคลาดเคลื่อนจากกระบวนการจริง $P(z)$ ซึ่งสามารถหาขนาดของความคลาดเคลื่อน $\Delta P(z)$ ที่อยู่ในรูปของอินฟินิตีโนรมได้ โดยพิจารณาจากสมการ

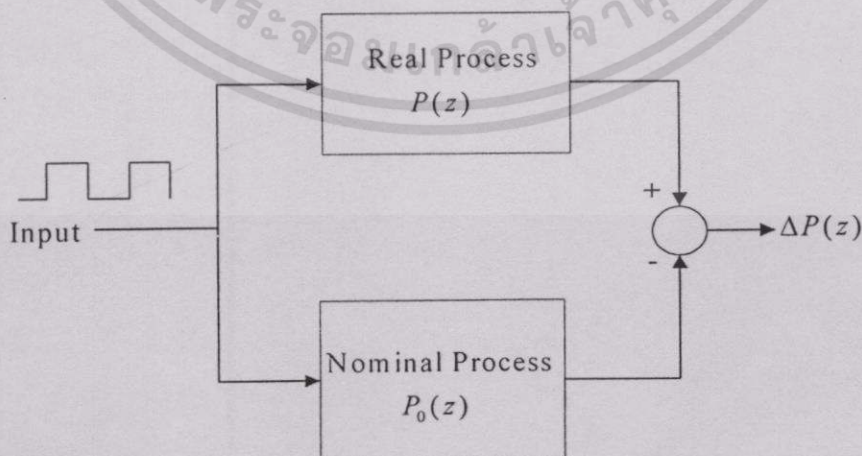
$$P(z) = P_0(z) + \Delta P(z)$$

$$\Delta P(z) = P(z) - P_0(z)$$

ใส่นอร์มทั้งสองข้าง จะได้

$$\|\Delta P(z)\| = \|P(z) - P_0(z)\| \quad (5.3)$$

นั่นคือจากสมการที่ (5.3) สามารถอธิบายได้ดังรูป



รูปที่ 5.2 แสดงบล็อกไดอะแกรมการหา $\Delta P(z)$

เอกสารนี้เป็นเอกสารที่สงวนไว้สำหรับการใช้งานเพื่อการศึกษาเท่านั้น ไม่อนุญาตให้นำไปใช้ประโยชน์ด้านการค้าไม่ว่ากรณีใดๆทั้งสิ้น อีกทั้งห้ามมิให้ดัดแปลงเนื้อหา และต้องอ้างอิงถึงเจ้าของเอกสารทุกครั้งที่มีการนำไปใช้

หาค่า $\Delta P(z)$ โดยใช้ทูลบ็อกซ์ไอดีเอ็นทีพีเคชัน(identification tool box) ในโปรแกรมเมทแลป (matlab) ประมาณให้เป็นสมการอันดับ 5 สามารถแสดงได้ดังสมการ

$$\Delta P(z) = \frac{3.178 \times 10^{-5} z^4 - 0.001031 z^3 + 0.0008998 z^2 - 0.0004923 z + 0.0006212}{z^{100} (z^5 - 0.1791 z^4 - 0.2211 z^3 - 0.2092 z^2 - 0.1976 z - 0.1906)} \quad (5.4)$$

จากสมการที่ (5.4) หาค่าความคลาดเคลื่อนของการหาแบบจำลองของถังต้มน้ำ

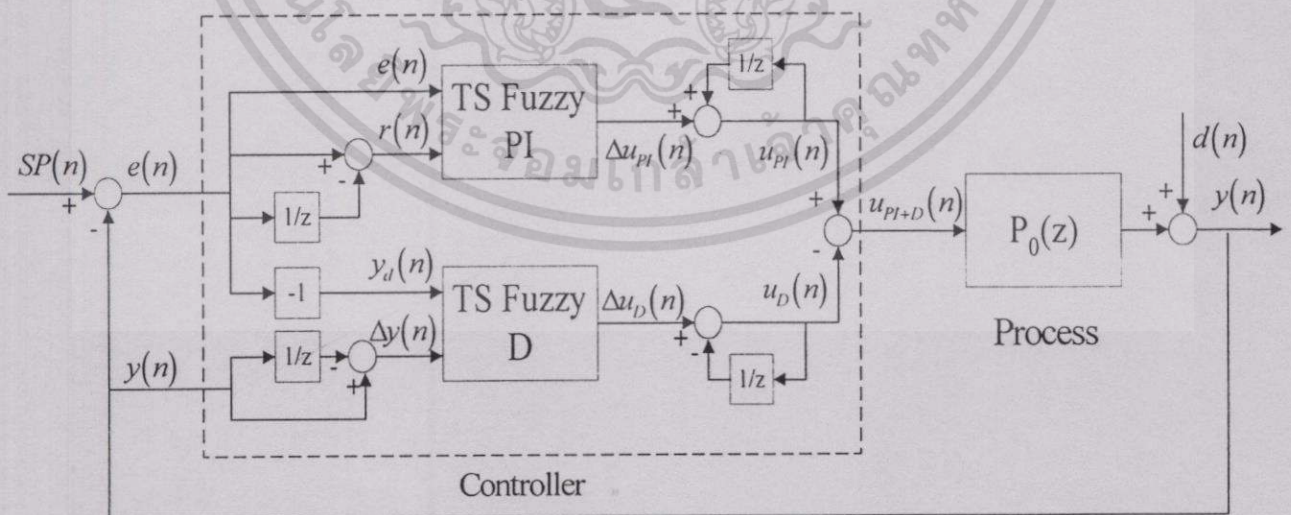
$$\|\Delta P(z)\| = \sup_{|z|=1} |\Delta P(z)| = 0.015$$

หลังจากที่ได้แบบจำลองทางคณิตศาสตร์ของถังต้มน้ำและรู้ขอบเขตของความคลาดเคลื่อนในการหาแบบจำลองแล้ว ขั้นตอนต่อไปจะทำการจำลองการควบคุมเพื่อศึกษาผลตอบสนองและลักษณะสัญญาณควบคุม(control signal) ก่อนการควบคุมจริง

5.2 ผลการควบคุมด้วยตัวควบคุมพีซี

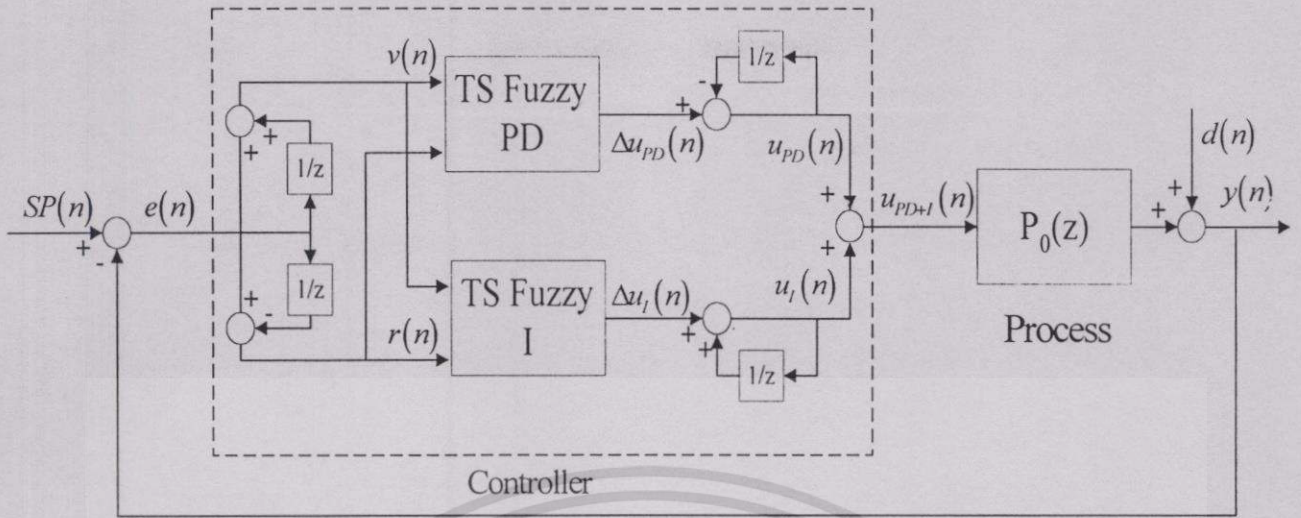
5.2.1 การจำลองการควบคุม

ระบบควบคุมด้วยตัวควบคุมพีซีพีไอดี และพีซีพีดีไอไอที่จะถูกจำลองการควบคุมนั้นแสดงได้ดังรูปที่ 5.3 และรูปที่ 5.4 ตามลำดับ ในการจำลองการควบคุมได้ใช้คาบเวลาการสุ่ม $T = 1$ วินาที



รูปที่ 5.3 แสดงการจำลองการควบคุมด้วยตัวควบคุมพีซีพีไอดี

เอกสารนี้เป็นเอกสารที่สงวนไว้สำหรับการใช้งานเพื่อการศึกษาเท่านั้น ไม่อนุญาตให้นำไปใช้ประโยชน์ด้านการค้า ไม่ว่าจะกรณีใดๆทั้งสิ้น อีกทั้งห้ามมิให้ดัดแปลงเนื้อหา และต้องอ้างอิงถึงเจ้าของเอกสารทุกครั้งที่มีการนำไปใช้



รูปที่ 5.4 แสดงการจำลองการควบคุมด้วยตัวควบคุมที่เอสพีซีพีดี+ไอ

ออกแบบตัวควบคุมที่เอสพีซีพีดี+ไอเพื่อจำลองการควบคุมที่อุณหภูมิ 60 องศา โดยเลือกค่าขอบเขตของฟังก์ชันความเป็นสมาชิก $L = 0.1$ และเลือกพารามิเตอร์ a_i, b_i และ c_i ($i = 1, 2, 3, 4$) ให้สอดคล้องกับเงื่อนไขเสถียรภาพในสมการที่ (4.10) ได้ดังตารางต่อไปนี้

ตารางที่ 5.1 ค่าพารามิเตอร์ในการออกแบบตัวควบคุม

	a_i	b_i	c_i
$i = 1$	0.002	0.1	0.1
$i = 2$	0.002	3	0.001
$i = 3$	0.00001	0.1	0.001
$i = 4$	0.00001	0.1	0.1

อันดับต่อไปจะแสดงว่าค่าพารามิเตอร์ที่เลือกมาสอดคล้องกับเงื่อนไขเสถียรภาพจริง โดยแทนค่าพารามิเตอร์ที่เลือกลงในตารางที่ 4.1 4.2 และ 4.3 ได้คำนวณในแต่ละบริเวณดังแสดงในตารางต่อไปนี้

ตารางที่ 5.2 ค่าอนอร์มของส่วนการควบคุมในแต่ละบริเวณ

IC No.	α_{PI}	α_D	α_{PD}	α_I
IC 1	3.102	0.201	3.1515	0.002
IC 2	1.653	0.201	1.8005	0.003
IC 3	1.652	0.201	1.8005	0.002

ตารางที่ 5.2 (ต่อ)

IC No.	α_{PI}	α_D	α_{PD}	α_I
IC 4	3.103	0.201	3.1515	0.003
IC 5	3.104	0.101	3.201	0.004
IC 7	0.202	0.101	0.301	0.002
IC 9	0.200	0.101	0.301	0.000
IC 11	3.102	0.101	3.201	0.002
IC 6	0.102	0.100	0.200	0.002
IC 8	0.100	0.001	0.101	0.000
IC 10	0.100	0.100	0.200	0.000
IC 12	3.002	0.001	0.301	0.002

นอร์มของตัวควบคุมที่เอสพีซีพีไอ+ดีมีค่ามากที่สุดที่บริเวณ IC 4 คือ $\alpha_{PI} + \alpha_D = 3.304$ และจากสมการเงื่อนไขเสถียรภาพของระบบควบคุมที่เอสพีซีพีไอ+ดีที่พิจารณาความไม่แน่นอนเชิงบวก ในสมการที่ 4.19 คือ

$$(\alpha_{PI} + \alpha_D) \cdot (\|P_0\| + \|\Delta P\|) < 1$$

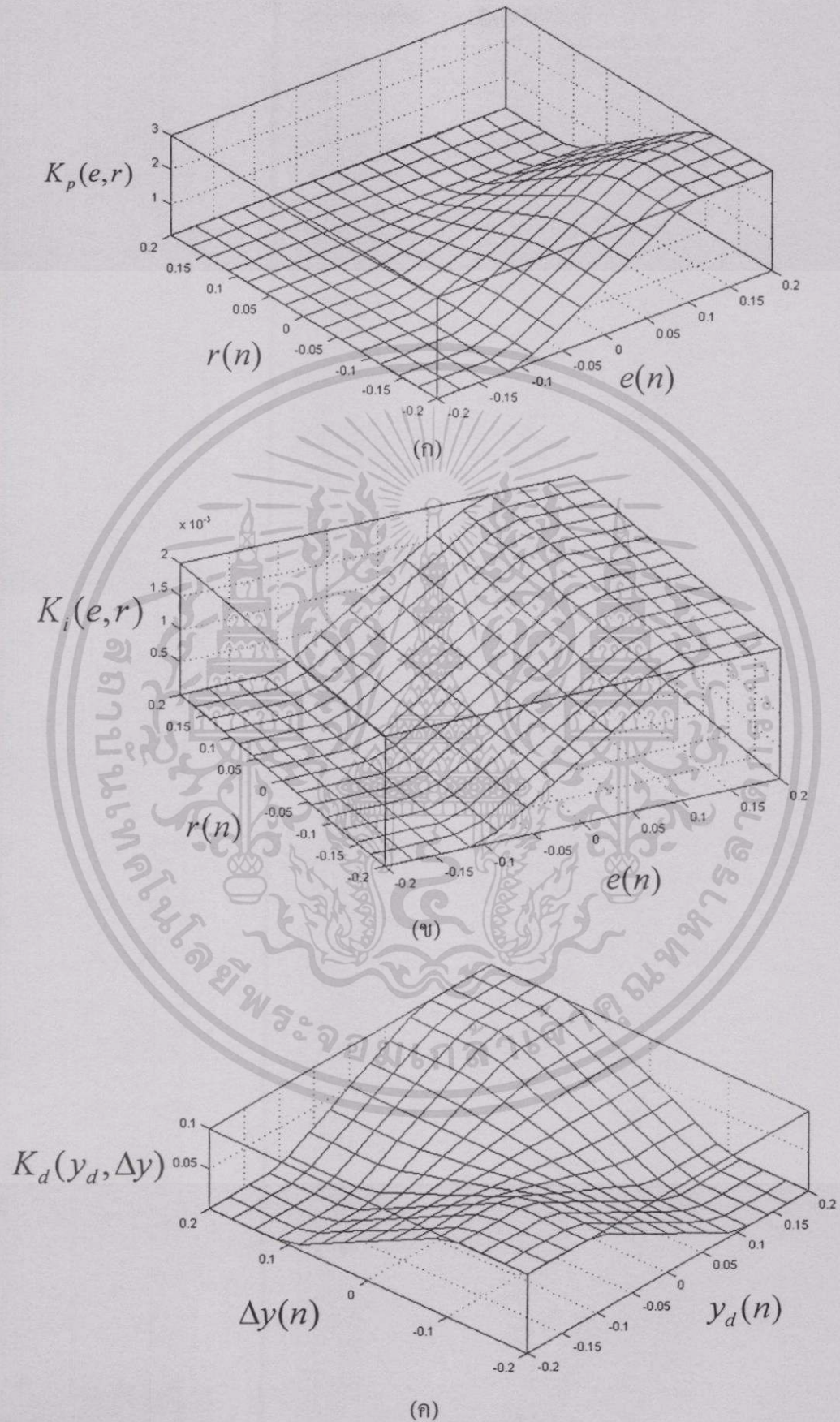
แทนค่านอร์มของตัวควบคุมที่เอสพีซีพีไอ+ดีที่บริเวณ IC 4, ค่านอร์มของกระบวนการ $\|P_0(z)\| = 0.274$ และค่านอร์มของความคลาดเคลื่อน $\|\Delta P(z)\| = 0.015$ ลงในสมการข้างบน จะได้ $3.304 \times (0.274 + 0.015) = 0.955 < 1$ ซึ่งสอดคล้องกับเงื่อนไขเสถียรภาพ นั่นคือ ค่าพารามิเตอร์ที่เลือกมาสามารถทำให้ระบบควบคุมที่เอสพีซีพีไอ+ดีมีเสถียรภาพ และในทำนองเดียวกันสำหรับตัวควบคุมที่เอสพีซีพีดี+ไอนั้นจะมีค่านอร์มมากที่สุดในบริเวณ IC 5 คือ $\alpha_{PD} + \alpha_I = 3.205$ และจากสมการเงื่อนไขเสถียรภาพของระบบควบคุมที่เอสพีซีพีไอ+ดีที่พิจารณาความไม่แน่นอนเชิงบวก ในสมการที่ 4.20 คือ

$$(\alpha_{PD} + \alpha_I) \cdot (\|P_0\| + \|\Delta P\|) < 1$$

แทนค่านอร์มของตัวควบคุมที่เอสพีซีพีดี+ไอในบริเวณ IC 5 ค่านอร์มของกระบวนการและค่านอร์มของความคลาดเคลื่อนลงในสมการข้างบน จะได้ $3.205 \times (0.274 + 0.015) = 0.926 < 1$ ซึ่งสอดคล้องกับเงื่อนไขเสถียรภาพเช่นกัน นั่นคือ ค่าพารามิเตอร์ที่เลือกมาสามารถทำให้ระบบควบคุมที่เอสพีซีพีดี+ไอมีสถียรภาพด้วย

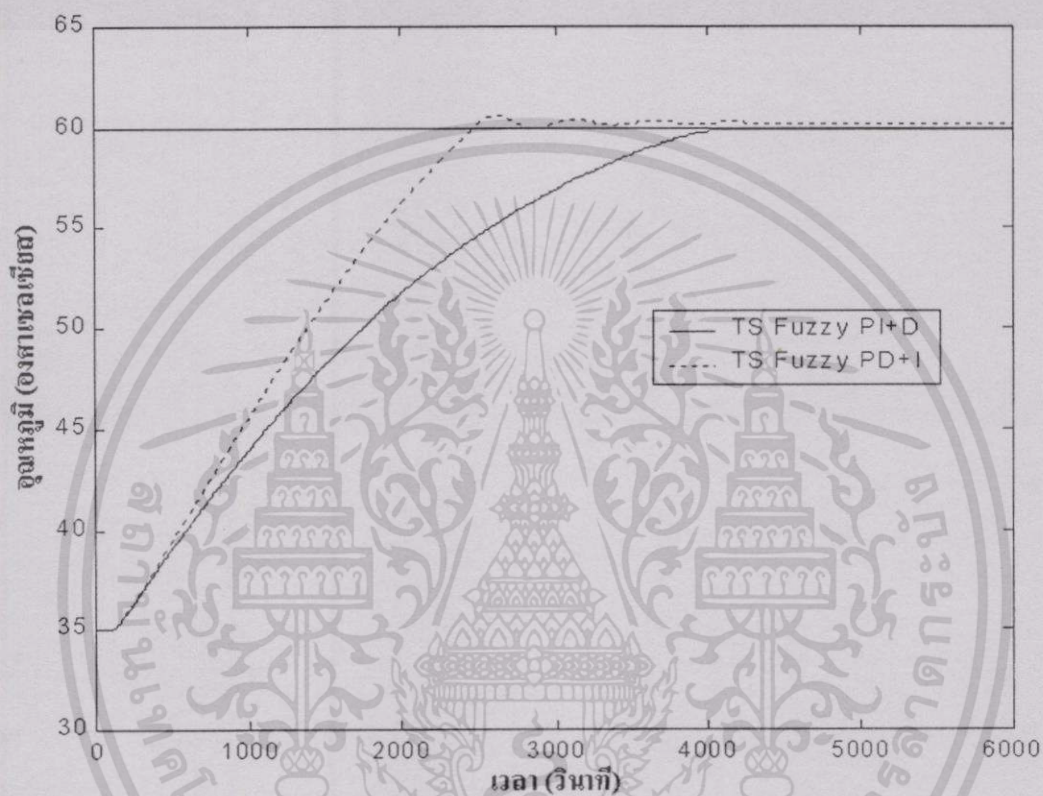
ในการจำลองการควบคุม ค่าเกน $K_p(e,r)$, $K_I(e,r)$ และ $K_d(y_d, \Delta y)$ ของตัวควบคุมที่เอสพีซีพีไอ+ดีมีการเปลี่ยนแปลงตามสัญญาณอินพุตของตัวควบคุม แสดงดังรูปที่ 5.5

เอกสารนี้เป็นเอกสารที่สงวนไว้สำหรับการใช้งานเพื่อการศึกษาเท่านั้น ไม่อนุญาตให้นำไปใช้ประโยชน์ด้านการค้า ไม่ว่ากรณีใดๆทั้งสิ้น อีกทั้งห้ามมิให้ดัดแปลงเนื้อหา และต้องอ้างอิงถึงเจ้าของเอกสารทุกครั้งที่มีการนำไปใช้



รูปที่ 5.5 การเปลี่ยนแปลงค่าเกณฑ์ของตัวควบคุม (ก) $K_p(e,r)$ (ข) $K_i(e,r)$ และ (ค) $K_d(y_d, \Delta y)$
 เอกสารนี้เป็นเอกสารที่สงวนไว้สำหรับการใช้งานเพื่อการศึกษาเท่านั้น ไม่อนุญาตให้นำไปใช้ประโยชน์ด้านการค้า
 ไม่ว่าจะกรณีใดๆทั้งสิ้น อีกทั้งห้ามมิให้ดัดแปลงเนื้อหา และต้องอ้างอิงถึงเจ้าของเอกสารทุกครั้งที่มีการนำไปใช้

สำหรับค่าพารามิเตอร์ของตัวควบคุมที่เอสพีซีพีดี+ไอนั้น ใช้ค่าเดียวกับตัวควบคุมที่เอสพีซีพีไอ+ดีเพื่อให้สามารถเปรียบเทียบความแตกต่างกันได้ โดยการเปลี่ยนแปลงค่าเกณฑ์ของตัวควบคุมที่เอสพีซีพีดี+ไอนี้มีลักษณะเดียวกับรูปที่ 5.5 และแสดงผลการจำลองการควบคุมเปรียบเทียบระหว่างตัวควบคุมที่เอสพีซีพีไอ+ดีและตัวควบคุมที่เอสพีซีพีดี+ไอ ที่อุณหภูมิ 60 องศา ได้ดังรูปที่ 5.6

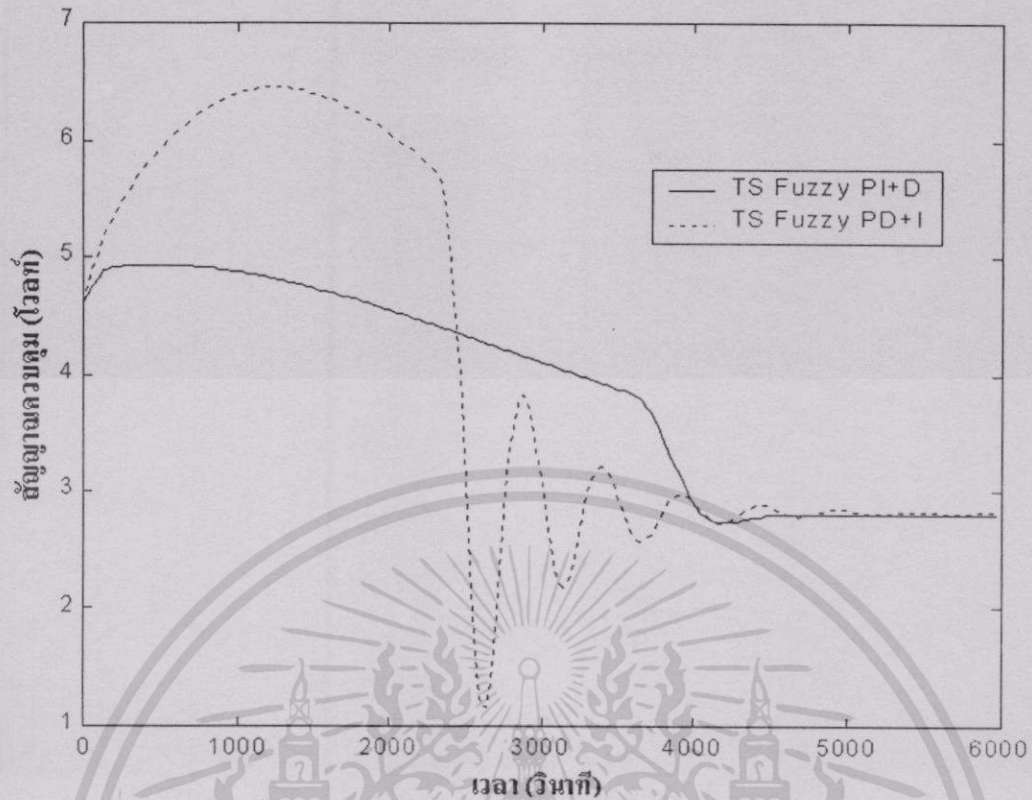


รูปที่ 5.6 แสดงผลตอบสนองของผลการจำลองการควบคุมที่อุณหภูมิ 60 องศา

ตารางที่ 5.3 ผลเปรียบเทียบการจำลองการควบคุมที่อุณหภูมิ 60 องศา

Controller	t_r (s)	%overshoot	t_s (s)	%Ess
TS Fuzzy PI+D	2814	0.00	3559.0	0.00
TS Fuzzy PD+I	1800	0.96	2304.3	0.00

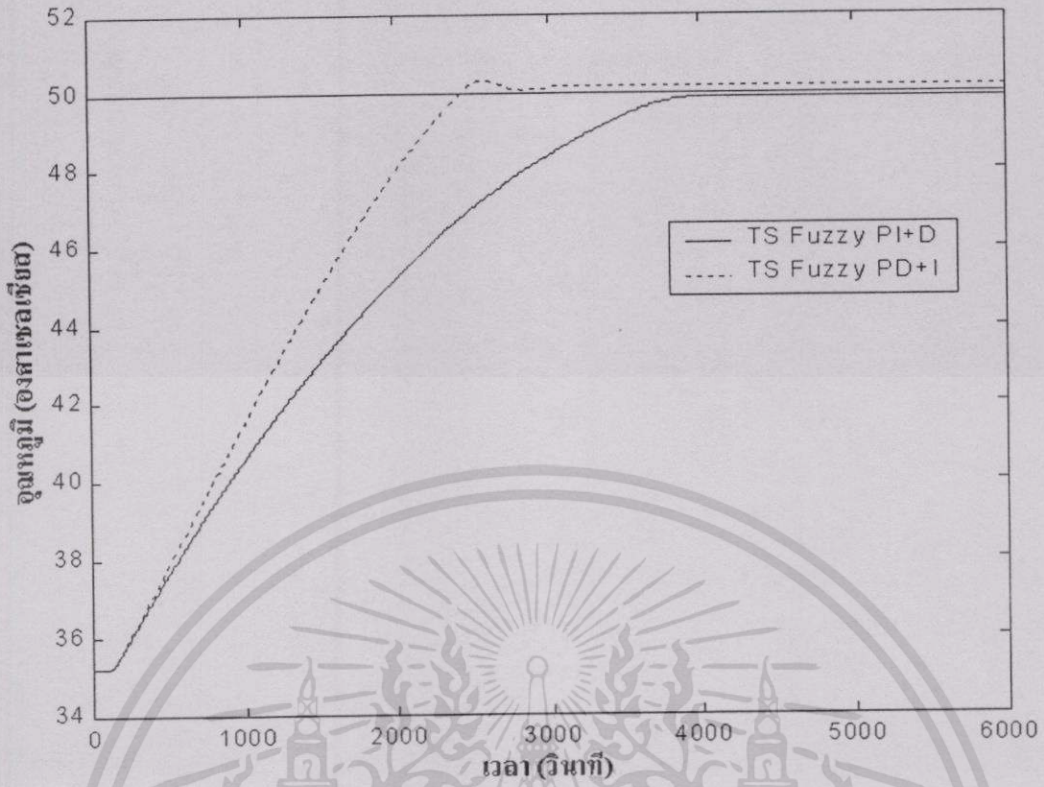
จากตารางที่ 5.3 พบว่า ตัวควบคุมที่เอสพีซีพีดี+ไอให้ผลตอบสนองลู่เข้าสู่สัญญาณอ้างอิงได้เร็วกว่าตัวควบคุมที่เอสพีซีพีไอ+ดี แต่มีค่าพุ่งเกิน(overshoot) และความผิดพลาดที่สถานะคงตัวเกิดขึ้น ในขณะที่ตัวควบคุมที่เอสพีซีพีไอ+ดีไม่มีค่าเหล่านี้เกิดขึ้นแต่จะเข้าสู่สัญญาณอ้างอิงได้ช้ากว่า



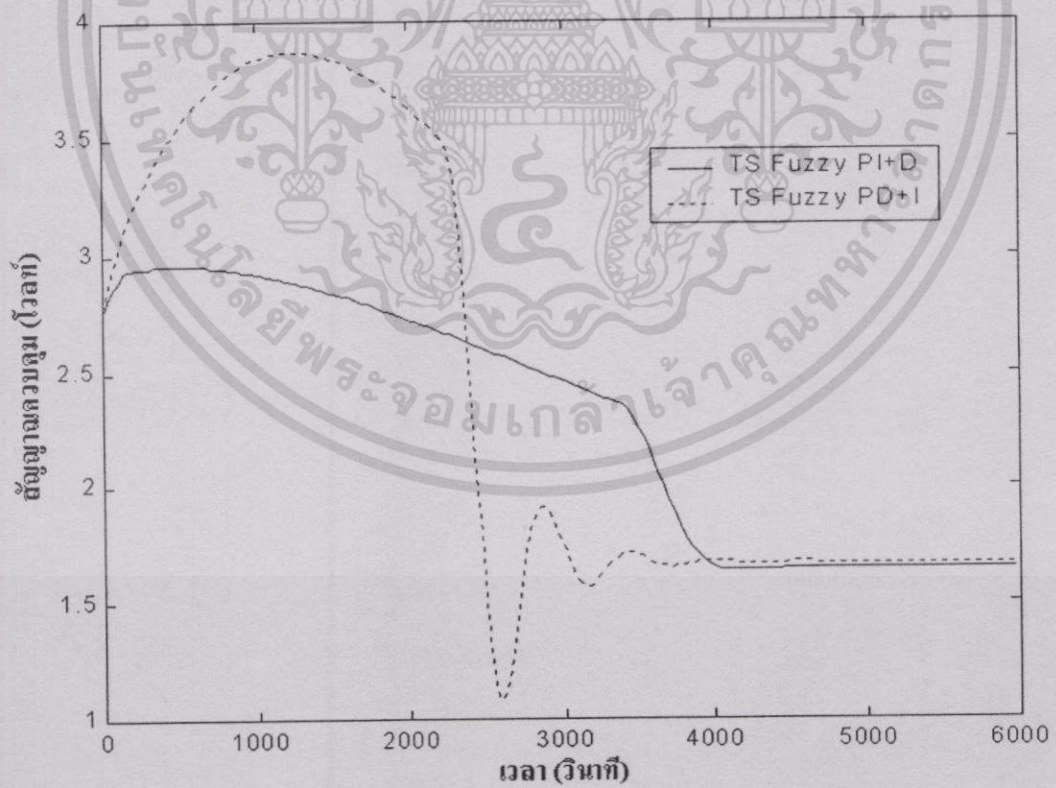
รูปที่ 5.7 แสดงสัญญาณควบคุมของผลการจำลองการควบคุมที่อุณหภูมิ 60 องศา

จากรูปที่ 5.7 พบว่าสัญญาณควบคุมของตัวควบคุมที่เอสพีซีพีดี+ไอจะมีขนาดมากกว่าสัญญาณควบคุมตัวควบคุมที่เอสพีซีพีไอ+ดีในตอนเริ่มต้น ด้วยเหตุนี้จึงทำให้ตัวควบคุมที่เอสพีซีพีดี+ไอสามารถเข้าสู่สัญญาณอ้างอิงได้เร็วกว่า แต่เมื่อเข้าสู่สัญญาณอ้างอิงแล้ว ต้องลดสัญญาณควบคุมลงอย่างรวดเร็วจึงทำให้เกิดการแกว่ง ผลตอบสนองจึงมีค่าพุ่งเกิน ในขณะที่สัญญาณควบคุมของตัวควบคุมที่เอสพีซีพีไอ+ดีไม่มีการแกว่ง

เมื่อทำการเปลี่ยนค่าสัญญาณอ้างอิงจาก 60 องศา โดยลดลงและเพิ่มขึ้น 10 องศา เป็น 50 องศาและ 70 องศาตามลำดับ เพื่อศึกษาความสามารถของตัวควบคุมว่า เมื่อไปควบคุมยังระดับสัญญาณอ้างอิงอื่นจะยังสามารถควบคุมได้อยู่หรือไม่ โดยใช้พารามิเตอร์ของตัวควบคุมค่าเดิม แสดงผลตอบสนองของการจำลองการควบคุมเปรียบเทียบกันของตัวควบคุมที่เอสพีซีพีไอ+ดีและที่เอสพีซีพีดี+ไอที่อุณหภูมิ 50 องศา ดังรูปที่ 5.8 และสัญญาณควบคุมดังรูปที่ 5.9



รูปที่ 5.8 แสดงผลตอบสนองของผลการจำลองการควบคุมที่อุณหภูมิ 50 องศา



รูปที่ 5.9 แสดงสัญญาณควบคุมของผลการจำลองการควบคุมที่อุณหภูมิ 50 องศา

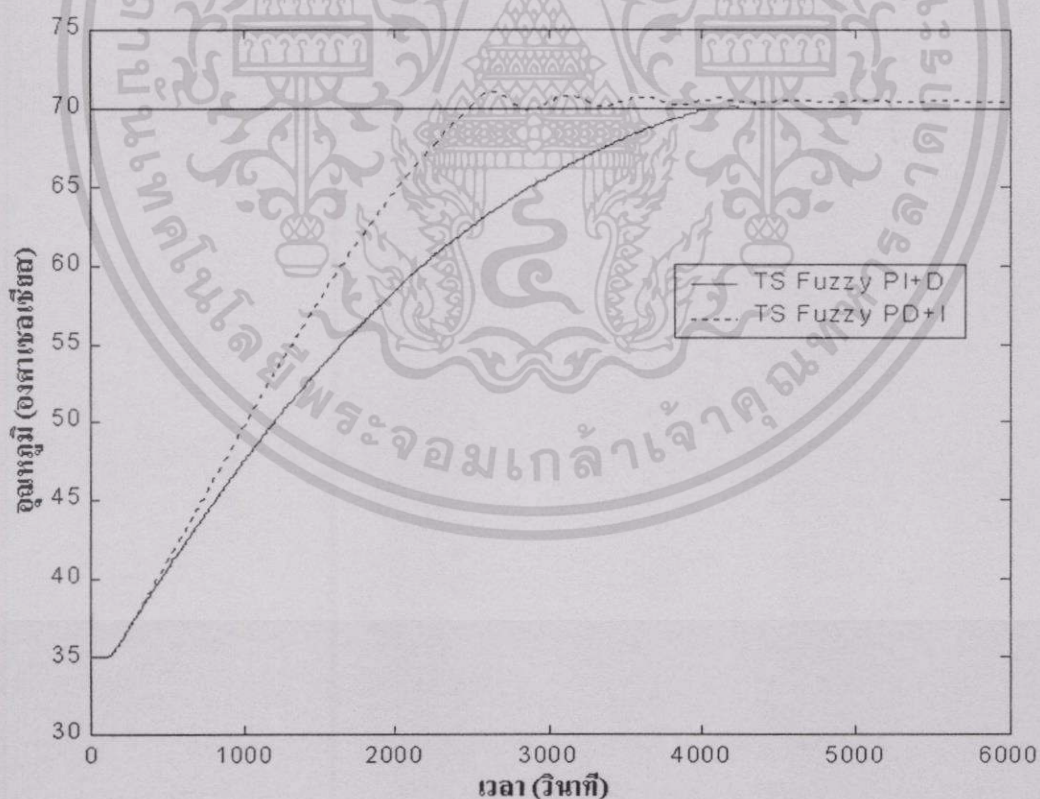
เอกสารนี้เป็นเอกสารที่สงวนไว้สำหรับการใช้งานเพื่อการศึกษาเท่านั้น ไม่อนุญาตให้นำไปใช้ประโยชน์ด้านการค้า
ไม่ว่ากรณีใดๆทั้งสิ้น อีกทั้งห้ามมิให้ดัดแปลงเนื้อหา และต้องอ้างอิงถึงเจ้าของเอกสารทุกครั้งที่มีการนำไปใช้

ตารางที่ 5.4 ผลเปรียบเทียบการจำลองการควบคุมที่อุณหภูมิ 50 องศา

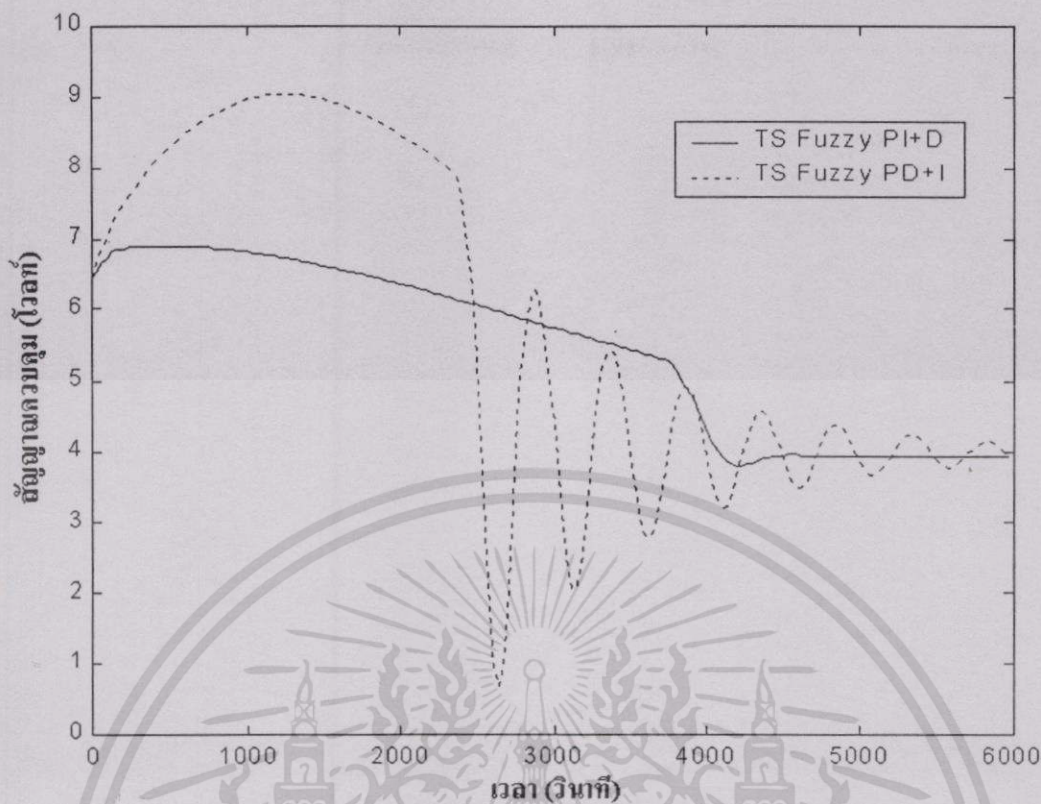
Controller	t_r (s)	%overshoot	t_s (s)	%Ess
TS Fuzzy PI+D	2756.6	0.00	3303.9	0.00
TS Fuzzy PD+I	1791.2	0.62	2200.6	0.00

จากผลการจำลองการควบคุมที่อุณหภูมิ 50 องศา พบว่าคล้ายคลึงกับที่อุณหภูมิ 60 องศา คือตัว ควบคุมที่เอสพีซีพีดี+ไอจะเข้าสู่สภาวะอ้างอิงได้เร็วกว่าตัวควบคุมที่เอสพีซีพีไอ+ดี และมีค่าพุ่งเกินเกิดขึ้น แต่มีค่าน้อยกว่าที่อุณหภูมิ 60 องศา เพราะสัญญาณควบคุมมีขนาดน้อยกว่า และมีการแกว่งน้อยกว่า ในขณะที่ตัวควบคุมที่เอสพีซีพีไอ+ดีจะไม่มีค่าพุ่งเกินและสัญญาณควบคุมไม่แกว่ง แต่การนำค่าพารามิเตอร์ของตัวควบคุมที่เอสพีซีพีไอ+ดีที่ออกแบบที่อุณหภูมิ 60 องศา มาควบคุมที่อุณหภูมิ 50 องศา จะทำให้เกิดความผิดพลาดที่สถานะคงตัวขึ้นเล็กน้อย

เมื่อเปลี่ยนระดับสัญญาณควบคุมจาก 50 องศา เป็น 70 องศา สามารถแสดงผลตอบสนองของการจำลองการควบคุมเปรียบเทียบระหว่างตัวควบคุมทั้งสองและสัญญาณการควบคุม ได้ดังรูปที่ 5.10 และ 5.11 ตามลำดับ



รูปที่ 5.10 แสดงผลตอบสนองของผลการจำลองการควบคุมที่อุณหภูมิ 70 องศา



รูปที่ 5.11 แสดงสัญญาณควบคุมของผลการจำลองการควบคุมที่อุณหภูมิ 70 องศา

ตารางที่ 5.5 ผลเปรียบเทียบการจำลองการควบคุมที่อุณหภูมิ 70 องศา

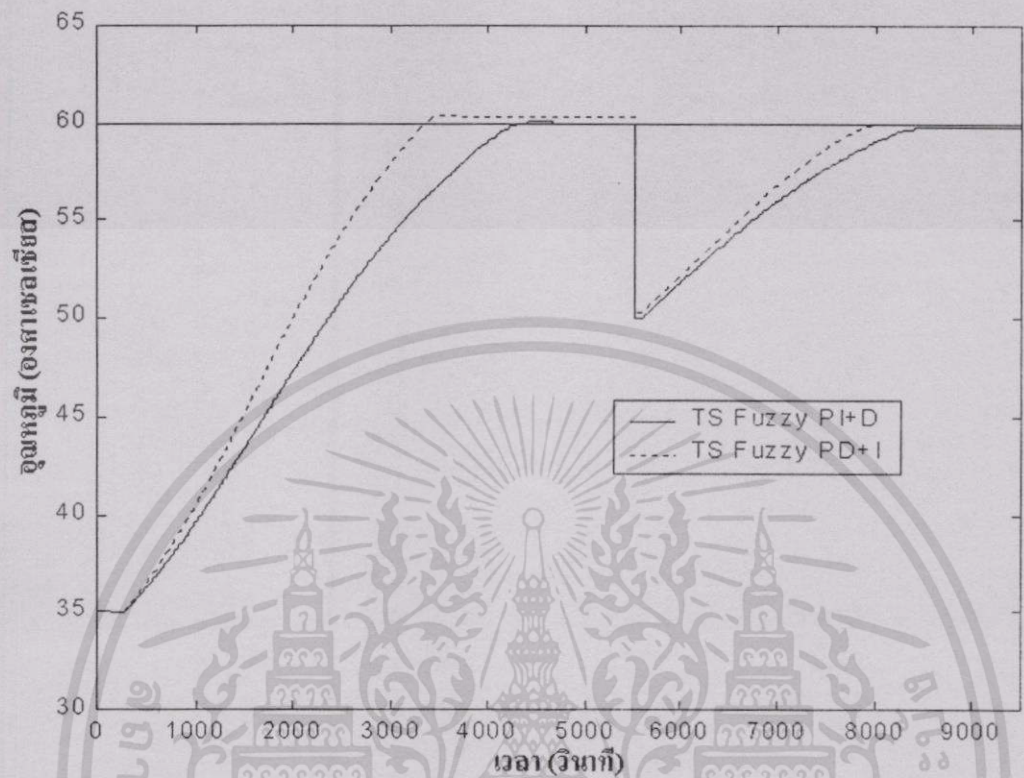
Controller	t_r (s)	%overshoot	t_s (s)	%Ess
TS Fuzzy PI+D	2815.0	0.00	3629.4	0.00
TS Fuzzy PD+I	1803.5	1.43	2331.2	0.00

ผลการจำลองการควบคุมที่อุณหภูมิ 70 องศาพบว่า ตัวควบคุมที่เอสพีซีพีดี+ไอ จะมีการแกว่งของสัญญาณควบคุมมากขึ้น ทำให้ผลตอบสนองมีการแกว่งมากกว่าอุณหภูมิ 50 และ 60 องศา รวมทั้งมีค่าพุ่งเกินและความผิดพลาดที่สถานะคงตัวมากกว่าอุณหภูมิ 50 และ 60 องศาเช่นกัน ส่วนตัวควบคุมที่เอสพีซีพีไอ+ดีจะไม่มีแกว่งของสัญญาณควบคุม ไม่มีค่าพุ่งเกิน และไม่มีผิดพลาดที่สถานะคงตัวที่อุณหภูมิ 70 องศา

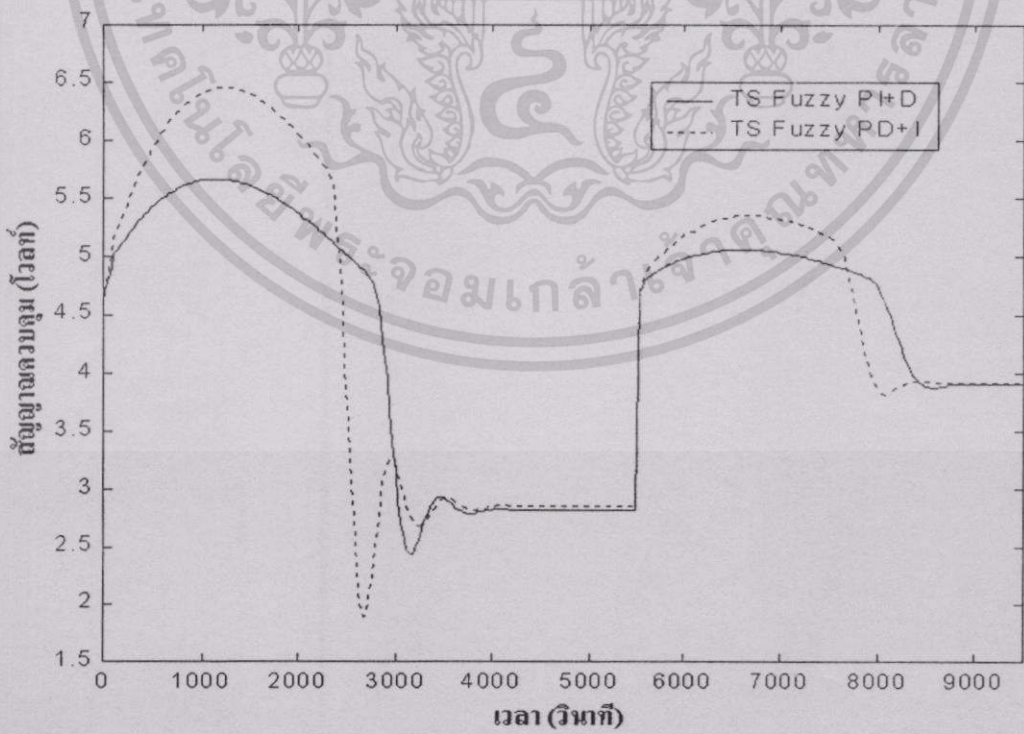
จากผลการจำลองการควบคุม พบว่าตัวควบคุมที่เอสพีซีพีไอ+ดีและตัวควบคุมที่เอสพีซีพีดี+ไอ ที่ออกแบบเพื่อทำการควบคุมอุณหภูมิที่อุณหภูมิ 60 องศา สามารถให้ผลตอบสนองที่ดีเมื่อนำไปควบคุมที่อุณหภูมิ 50 และ 70 องศา โดยตัวควบคุมที่เอสพีซีพีดี+ไอจะให้ผลตอบสนองที่เร็วกว่าตัวควบคุมที่เอสพีซีพีไอ+ดี ทั้งสามค่าสัญญาณอ้างอิง และในการจำลองการควบคุมเพื่อทดสอบความมีเสถียรภาพของระบบควบคุม เมื่อมีสัญญาณรบกวนที่เอาต์พุต ในวิทยานิพนธ์นี้ทำการลดอุณหภูมิลง 10 องศาที่เวลา 5500 วินาที จะได้ผลตอบสนองของการจำลองการควบคุมที่

เอกสารนี้เป็นเอกสารที่สงวนไว้สำหรับการใช้งานเพื่อการศึกษาเท่านั้น ไม่อนุญาตให้นำไปใช้ประโยชน์ด้านการค้าไม่ว่ากรณีใดๆทั้งสิ้น อีกทั้งห้ามมิให้คัดแปลงเนื้อหา และต้องอ้างอิงถึงเจ้าของเอกสารทุกครั้งที่มีการนำไปใช้

อุณหภูมิ 60 องศา โดยมีการรบกวนและสัญญาณควบคุมของการจำลองการควบคุมที่มีการรบกวน แสดงดังรูปที่ 5.12 และ 5.13 ตามลำดับ



รูปที่ 5.12 แสดงผลตอบสนองของผลการจำลองการควบคุมที่อุณหภูมิ 60 องศา เมื่อมีการรบกวน

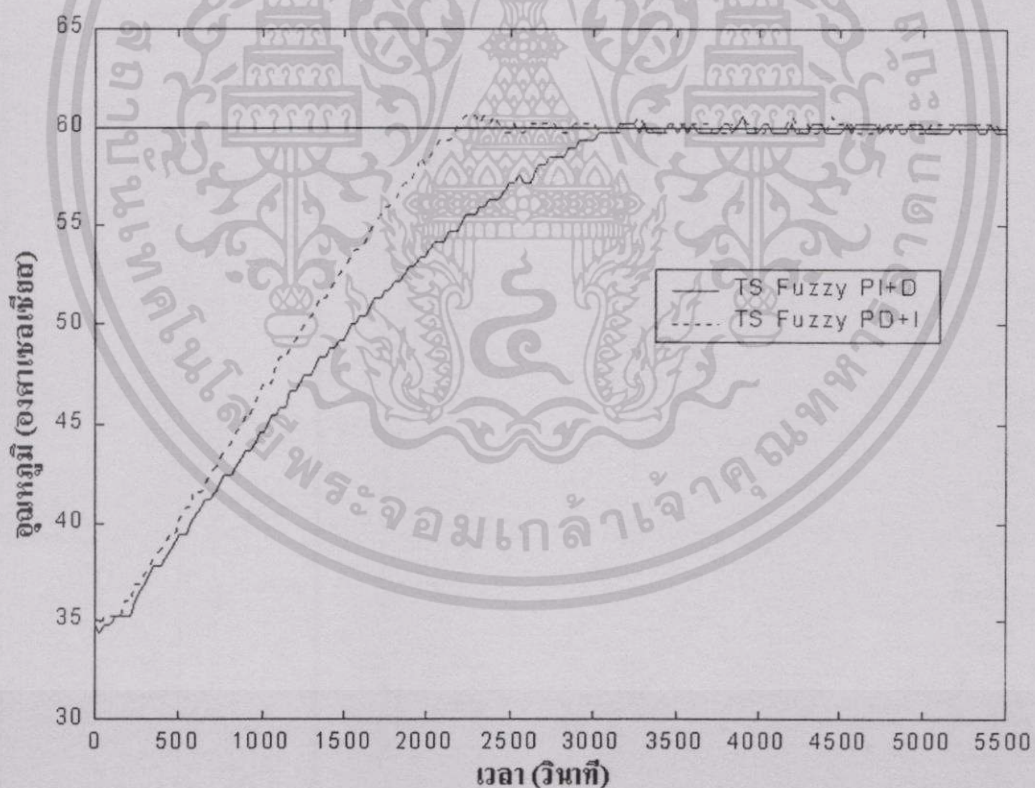


รูปที่ 5.13 แสดงสัญญาณควบคุมของผลการจำลองการควบคุมที่อุณหภูมิ 60 องศา เมื่อมีการรบกวน เอกสารนี้เป็นเอกสารที่สงวนไว้สำหรับการใช้งานเพื่อการศึกษาเท่านั้น ไม่อนุญาตให้นำไปใช้ประโยชน์ด้านการค้า ไม่ว่าจะกรณีใดๆทั้งสิ้น อีกทั้งห้ามมิให้ตัดแปลงเนื้อหา และต้องอ้างอิงถึงเจ้าของเอกสารทุกครั้งที่มีการนำไปใช้

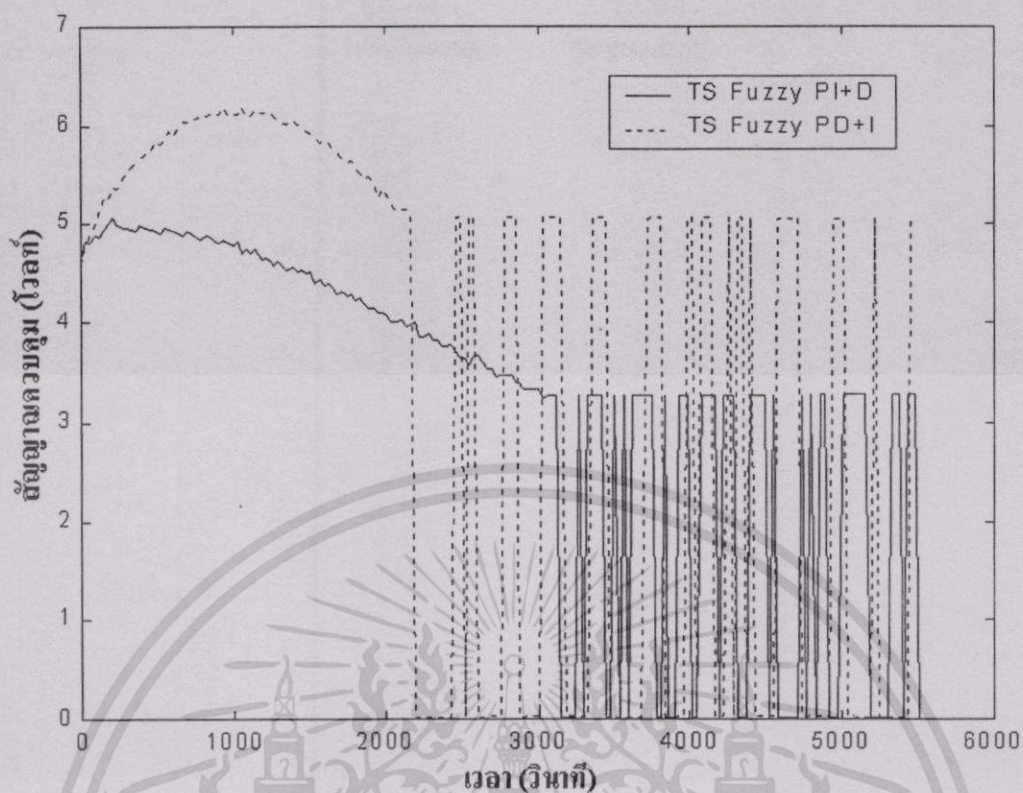
จากรูป พบว่าตัวควบคุมทั้ง 2 สามารถทำให้ผลตอบสนองลู่กลับเข้าสู่สัญญาณอ้างอิงได้ เมื่ออุณหภูมิลดลง โดยตัวควบคุมที่เอสพีซีพีดี+ไอจะทำให้ผลตอบสนองลู่เข้าสู่สัญญาณอ้างอิงได้เร็วกว่าตัวควบคุมที่เอสพีซีพีไอ+ดี เนื่องจากขนาดสัญญาณควบคุมของตัวควบคุมที่เอสพีซีพีดี+ไอมีค่ามากกว่าขนาดสัญญาณควบคุมของตัวควบคุมที่เอสพีซีพีไอ+ดีเมื่อเกิดกระบวนการวน แต่ถ้าต้องการให้ตัวควบคุมที่เอสพีซีพีไอ+ดี มีผลตอบสนองเร็วเท่าตัวควบคุมที่เอสพีซีพีดี+ไอ ก็สามารถทำได้โดยปรับค่าเกนของตัวควบคุมที่เอสพีซีพีไอ+ดีให้มีค่าเพิ่มขึ้น หรือปรับค่าเกนของตัวควบคุมที่เอสพีซีพีดี+ไอให้มีค่าลดลงเมื่อต้องการไม่ให้มีค่าพุ่งเกินเกิดขึ้น

5.2.2 การควบคุมจริง

หลังจากได้จำลองการควบคุมแล้ว อันถัดต่อไปจะทำการควบคุมจริง โดยทำการควบคุมอุณหภูมิของถังต้มน้ำที่อุณหภูมิ 60 องศา และใช้ค่าพารามิเตอร์เดียวกันกับการจำลองการควบคุม โดยใช้คาบการสุ่ม 1 วินาที สามารถแสดงผลตอบสนองของการควบคุมจริงได้ดังรูปที่ 5.14 และแสดงสัญญาณการควบคุมจริงได้ดังรูปที่ 5.15



รูปที่ 5.14 แสดงผลตอบสนองของผลการควบคุมจริงที่อุณหภูมิ 60 องศา



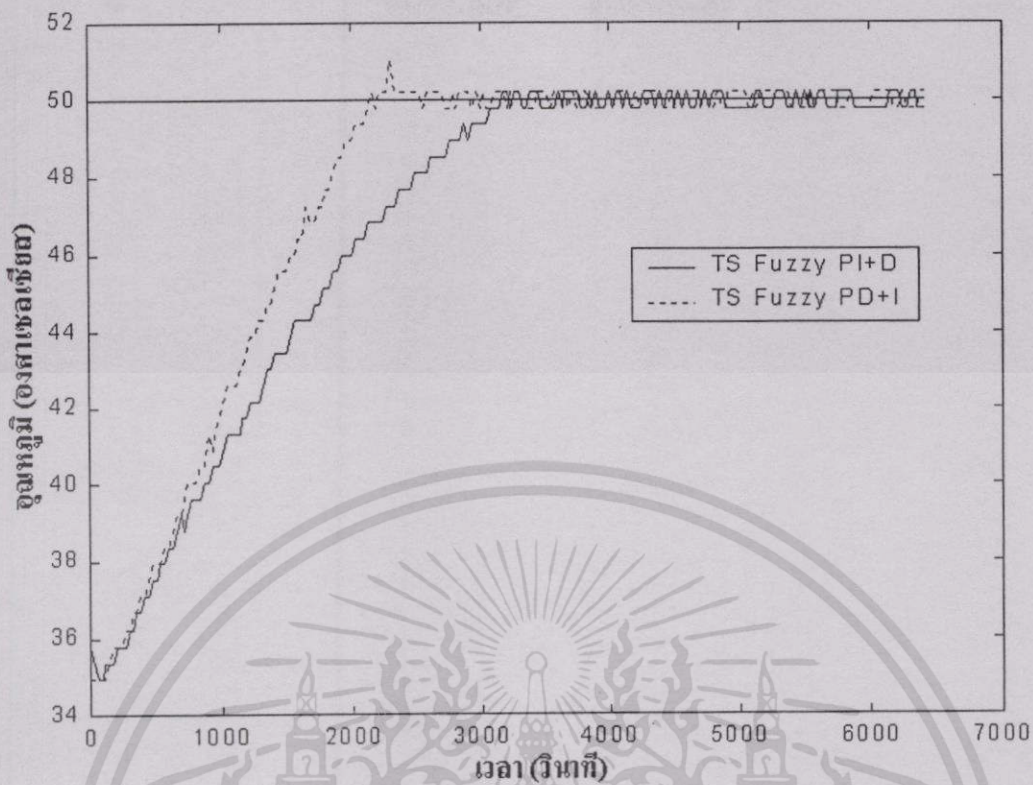
รูปที่ 5.15 แสดงสัญญาณควบคุมของผลการควบคุมจริงที่อุณหภูมิ 60 องศา

ตารางที่ 5.6 ผลเปรียบเทียบการควบคุมจริงที่อุณหภูมิ 60 องศา

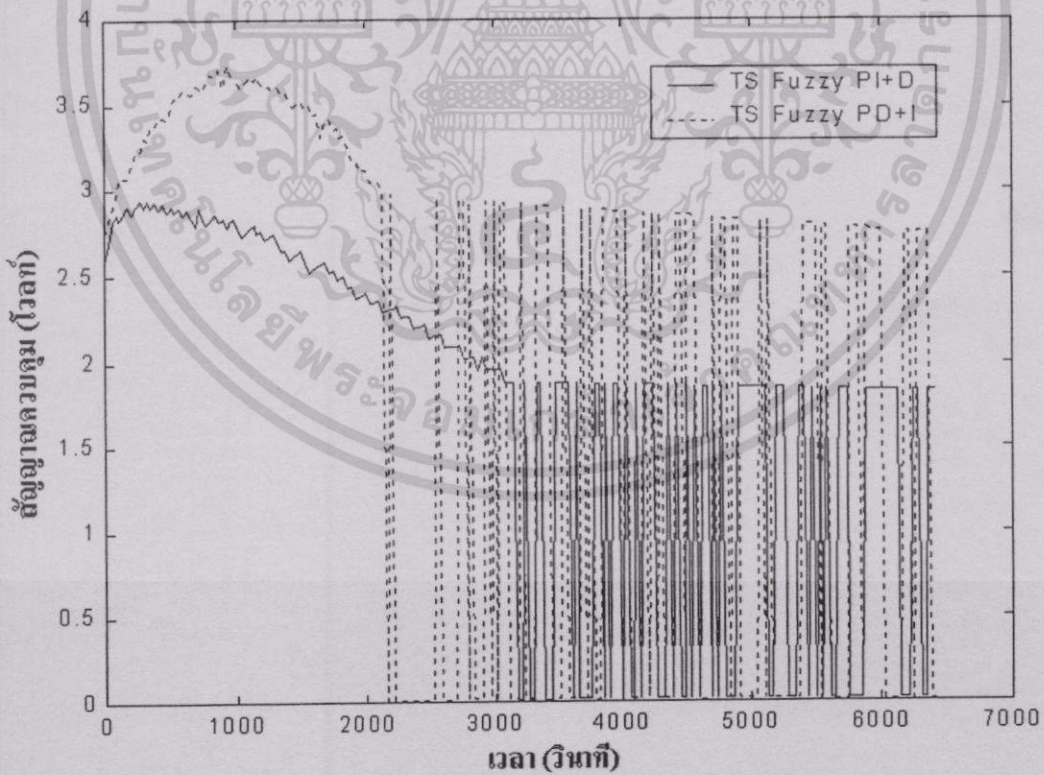
Controller	t_r (s)	%overshoot	t_s (s)	Ess ($^{\circ}\text{C}$)
TS Fuzzy PI+D	2297.3	0.00	3031.0	± 0.2
TS Fuzzy PD+I	1597.5	1.03	2430.8	± 0.2

จากการควบคุมจริงที่อุณหภูมิ 60 องศา พบว่าตัวควบคุมที่เอสพีซีพีดี+ไอควบคุมให้ผลตอบสนองเข้าสู่สัญญาณอ้างอิงได้เร็วกว่าและมีค่าพุ่งเกินมากกว่าตัวควบคุมที่เอสพีซีพีไอ+ดี ตัวควบคุมทั้ง 2 ทำให้เกิดค่าความผิดพลาดที่สถานะคงตัวเท่ากันคือจะแกว่งอยู่ในช่วง ± 0.2 องศาเซลเซียส และสัญญาณควบคุมในการควบคุมจริงจะแกว่งเพื่อพยายามรักษาระดับอุณหภูมิให้คงที่ด้วยขนาดมากกว่าสัญญาณควบคุมที่ได้จากการจำลองการควบคุม

ทดสอบความสามารถของตัวควบคุมทั้ง 2 ในการควบคุมจริง เมื่อมีการเปลี่ยนแปลงสัญญาณอ้างอิง โดยลดอุณหภูมิลง 10 องศา จากสัญญาณอ้างอิงเดิมที่ 60 องศา เมื่อใช้พารามิเตอร์ของตัวควบคุมค่าเดิม สามารถแสดงผลตอบสนองของการควบคุมจริงที่อุณหภูมิ 50 องศาและสัญญาณการควบคุมจริงที่อุณหภูมิ 50 องศาได้ดังรูปที่ 5.16 และ 5.17 ตามลำดับ



รูปที่ 5.16 แสดงผลตอบสนองของผลการควบคุมจริงที่อุณหภูมิ 50 องศา



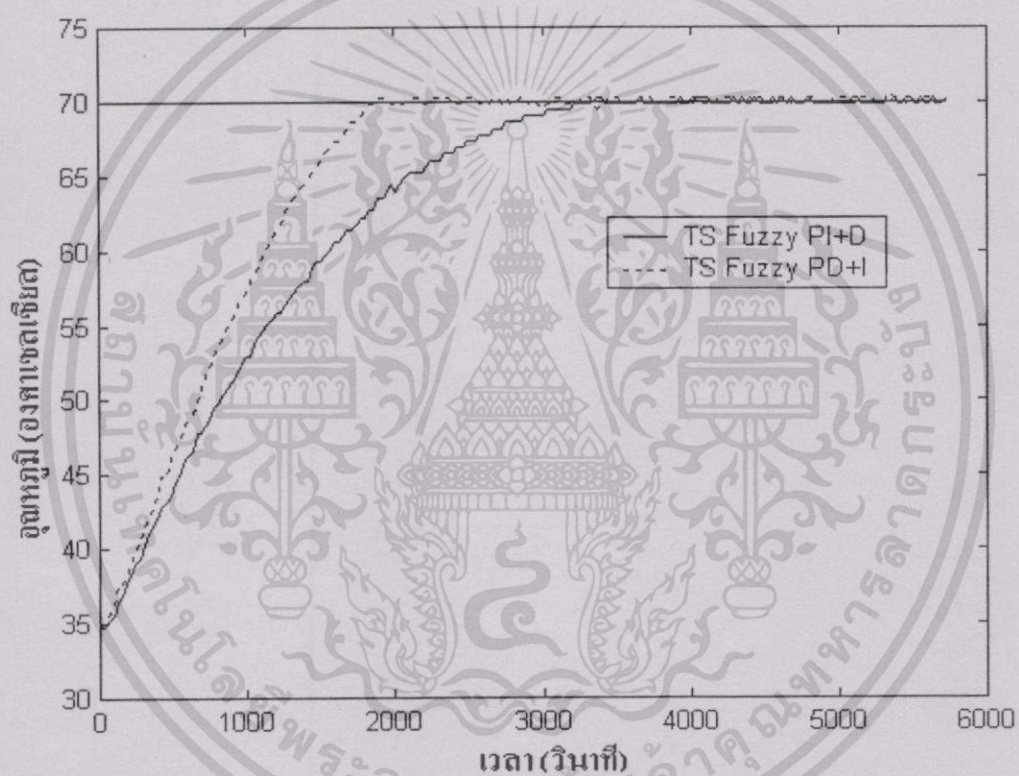
รูปที่ 5.17 แสดงสัญญาณควบคุมของผลการควบคุมจริงที่อุณหภูมิ 50 องศา

เอกสารนี้เป็นเอกสารที่สงวนไว้สำหรับการใช้งานเพื่อการศึกษาเท่านั้น ไม่อนุญาตให้นำไปใช้ประโยชน์ด้านการค้า
ไม่ว่ากรณีใดๆทั้งสิ้น อีกทั้งห้ามมิให้ดัดแปลงเนื้อหา และต้องอ้างอิงถึงเจ้าของเอกสารทุกครั้งที่มีการนำไปใช้

ตารางที่ 5.7 ผลเปรียบเทียบการควบคุมจริงที่อุณหภูมิ 50 องศา

Controller	t_r (s)	%overshoot	t_s (s)	Ess ($^{\circ}\text{C}$)
TS Fuzzy PI+D	2260.5	0.00	3091	± 0.2
TS Fuzzy PD+I	1540.4	2.10	2341	± 0.2

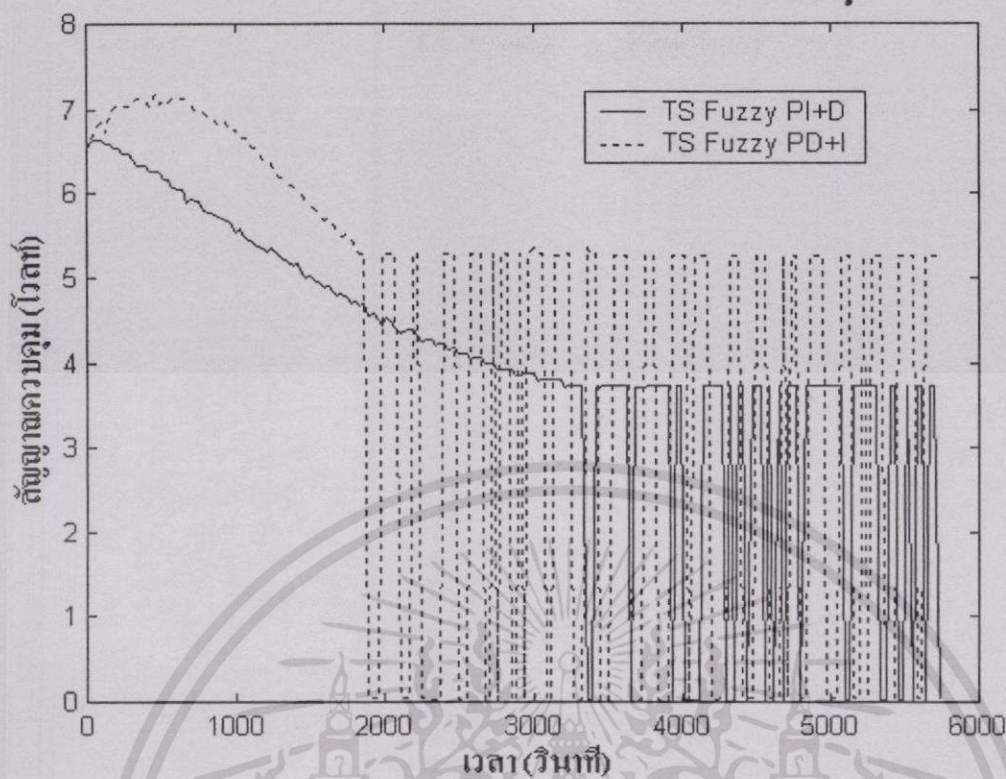
เมื่อเปลี่ยนแปลงสัญญาณอ้างอิง โดยเพิ่มอุณหภูมิขึ้น 10 องศาจากสัญญาณอ้างอิงเดิมที่ 60 องศา จะได้ผลตอบสนองของการควบคุมจริงที่อุณหภูมิ 70 องศาและสัญญาณการควบคุมจริงที่อุณหภูมิ 70 องศาแสดงดังรูปที่ 5.18 และ 5.19 ตามลำดับ



รูปที่ 5.18 แสดงผลตอบสนองของผลการควบคุมจริงที่อุณหภูมิ 70 องศา

ตารางที่ 5.8 ผลเปรียบเทียบการควบคุมจริงที่อุณหภูมิ 70 องศา

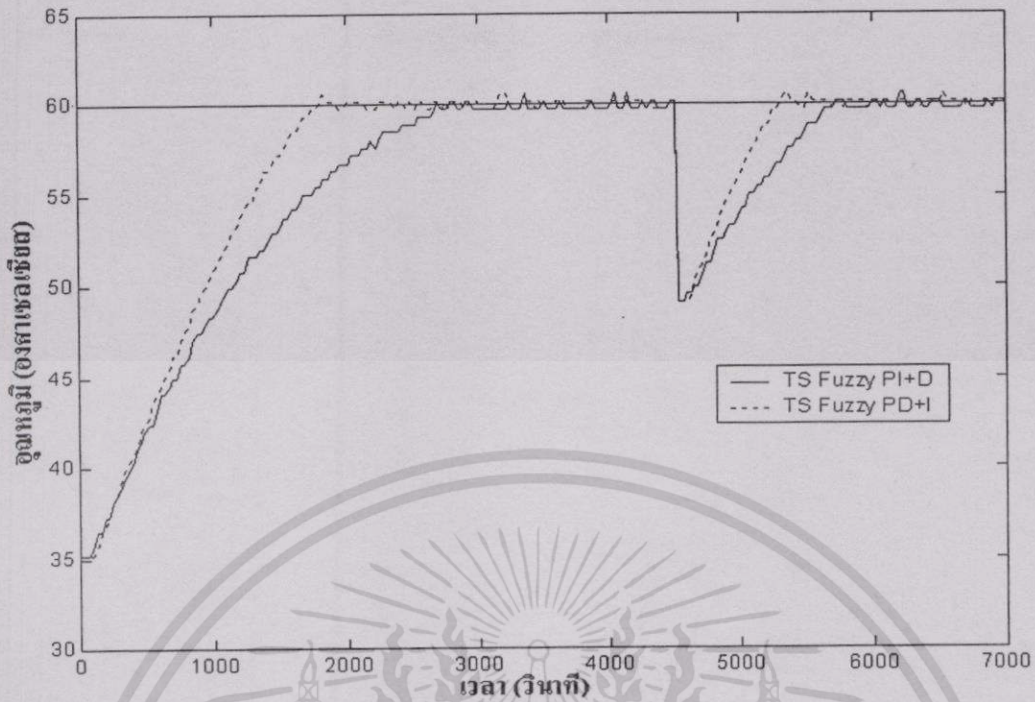
Controller	t_r (s)	%overshoot	t_s (s)	Ess ($^{\circ}\text{C}$)
TS Fuzzy PI+D	1976.5	0.00	2881	± 0.2
TS Fuzzy PD+I	1337.4	0.86	1831	± 0.2



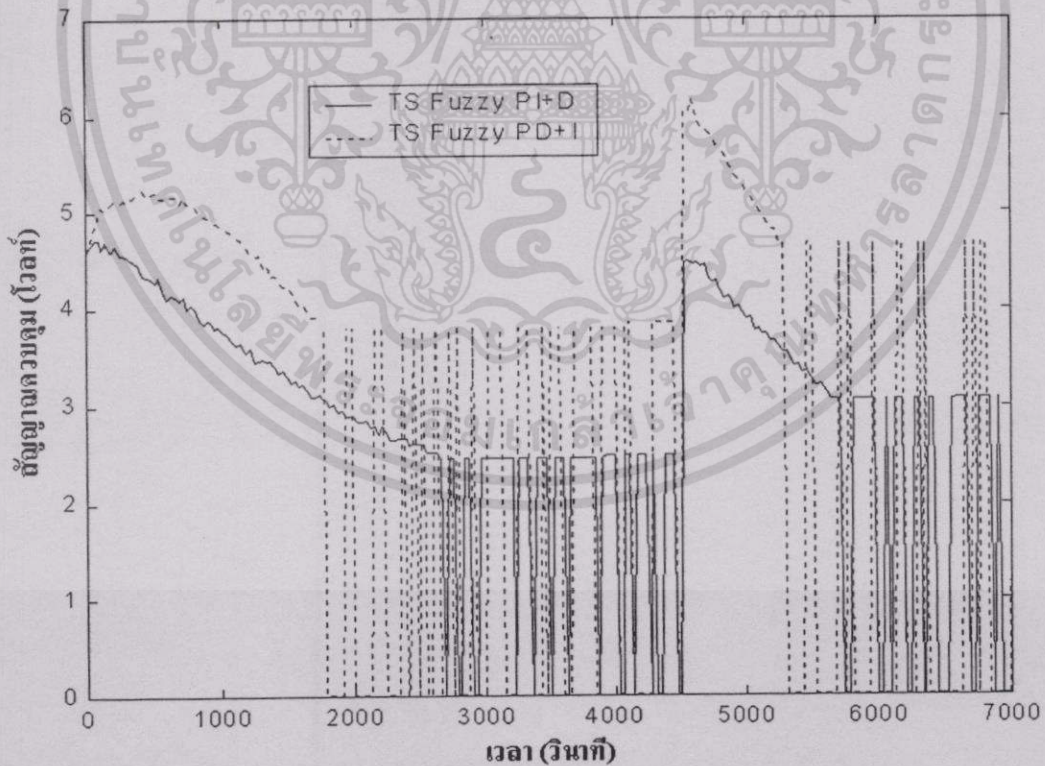
รูปที่ 5.19 แสดงสัญญาณควบคุมของผลการควบคุมจริงที่อุณหภูมิ 70 องศา

จากการควบคุมจริงเมื่อมีการเปลี่ยนแปลงสัญญาณอ้างอิงเป็น 50 และ 70 องศา พบว่าตัวควบคุมทั้ง 2 สามารถควบคุมอุณหภูมิของน้ำให้สามารถเข้าสู่สัญญาณอ้างอิงได้ พิจารณาที่สถานะคงตัวพบว่าจะมีค่าความผิดพลาดเกิดขึ้น ± 0.2 องศา ทุกค่าสัญญาณอ้างอิง เนื่องจากข้อจำกัดของการ์ดแปลงสัญญาณอนาลอกเป็นดิจิทัลที่ใช้ในการทดลอง ที่จะทำการเปลี่ยนแปลงค่าทุก ๆ 0.4 องศา จึงทำให้เกิดผลตอบสนองมีการแกว่งอยู่ในช่วง 0.4 องศา รอบ ๆ สัญญาณอ้างอิง ซึ่งการแกว่งนี้ทำให้กฎการควบคุมมีการเปลี่ยนแปลงอยู่ตลอดเวลาเช่นกัน จึงทำให้สัญญาณควบคุมมีการแกว่งเพื่อรักษาระดับสัญญาณอ้างอิง โดยที่อุณหภูมิ 70 องศาจะมีการแกว่งของสัญญาณรบกวนมากกว่าที่อุณหภูมิ 60 และ 50 องศา

ในการทดสอบความมีเสถียรภาพของการควบคุมจริงนั้น จะให้มีการรบกวนที่เอาท์พุท โดยลดอุณหภูมิลง 10 องศาที่เวลา 4500 วินาที สามารถแสดงผลตอบสนองของการควบคุมจริงที่มีการรบกวนที่อุณหภูมิ 60 องศา ดังรูปที่ 5.20 และแสดงสัญญาณควบคุมดังรูปที่ 5.21



รูปที่ 5.20 แสดงผลตอบสนองของผลการควบคุมจริงที่อุณหภูมิ 60 องศา เมื่อมีการรบกวน



รูปที่ 5.21 แสดงสัญญาณควบคุมของผลการควบคุมจริงที่อุณหภูมิ 60 องศา เมื่อมีการรบกวน

เอกสารนี้เป็นเอกสารที่สงวนไว้สำหรับการใช้งานเพื่อการศึกษาเท่านั้น ไม่อนุญาตให้นำไปใช้ประโยชน์ด้านการค้า
ไม่ว่ากรณีใดๆทั้งสิ้น อีกทั้งห้ามมิให้ดัดแปลงเนื้อหา และต้องอ้างอิงถึงเจ้าของเอกสารทุกครั้งที่มีการนำไปใช้

จากการควบคุมจริงพบว่า เมื่อลดอุณหภูมิลง ตัวควบคุมทั้ง 2 สามารถควบคุมให้ผลตอบสนองกลับเข้าสู่สัญญาณอ้างอิงได้ โดยตัวควบคุมที่เอสพีซีพีดี+ไอจะให้ผลตอบสนองกลับเร็วกว่าตัวควบคุมที่เอสพีซีพีไอ+ดี

ในการออกแบบตัวควบคุมนั้น จากเดิมนั้นต้องรู้ค่าของความคลาดเคลื่อนของกระบวนการก่อน แล้วจึงออกแบบค่าพารามิเตอร์ของตัวควบคุมเพื่อให้มีค่านอร์มสอดคล้องกับเงื่อนไขเสถียรภาพ แต่ในทางกลับกันหากเริ่มต้นจากการเลือกพารามิเตอร์ของตัวควบคุมก่อนแล้วหาค่าของความคลาดเคลื่อนที่มากที่สุด ดังนั้น จากสมการ

$$\|\Delta P\| < \frac{1}{(\alpha_{PI} + \alpha_D)} - \|P_0\|$$

จะได้

$$\|\Delta P\| < 0.0287$$

นั่นคือ สำหรับตัวควบคุมที่เอสพีซีพีไอ+ดี ค่าพารามิเตอร์ที่เลือกมานี้สามารถควบคุมกระบวนการที่มีความคลาดเคลื่อนได้ไม่เกิน 0.0287 จึงจะสามารถรับประกันการมีเสถียรภาพได้ และในทำนองเดียวกัน ค่าความคลาดเคลื่อนมากที่สุด สำหรับตัวควบคุมที่เอสพีซีพีดี+ไอนั้น หาได้จากสมการ

$$\|\Delta P\| < \frac{1}{(\alpha_{PD} + \alpha_I)} - \|P_0\|$$

จะได้

$$\|\Delta P\| < 0.0380$$

ค่าพารามิเตอร์ของตัวควบคุมที่เอสพีซีพีดี+ไอ ที่เลือกมานี้สามารถควบคุมกระบวนการที่มีความคลาดเคลื่อนได้ไม่เกิน 0.0380 จึงจะสามารถรับประกันการมีเสถียรภาพได้

5.3 ผลการควบคุมของระบบควบคุมพีซีพีเปรียบเทียบกับระบบควบคุมแบบดั้งเดิม

เปรียบเทียบผลตอบสนองระหว่างระบบควบคุมที่เอสพีซีพีไอ+ดีกับระบบควบคุมพีไอ+ดีและระบบควบคุมที่เอสพีซีพีดี+ไอกับระบบควบคุมพีดี+ไอ โดยเป็นการเปรียบเทียบที่ต้องสอดคล้องเงื่อนไขเงื่อนไขเสถียรภาพของทฤษฎีบทเกณฑ์น้อยเหมือนกัน

จากสมการเงื่อนไขเสถียรภาพที่พิจารณาความไม่แน่นอนเชิงบวกในสมการที่ (4.19)

$$(\alpha_{PI} + \alpha_D) \cdot (\|P_0\| + \|\Delta P\|) < 1$$

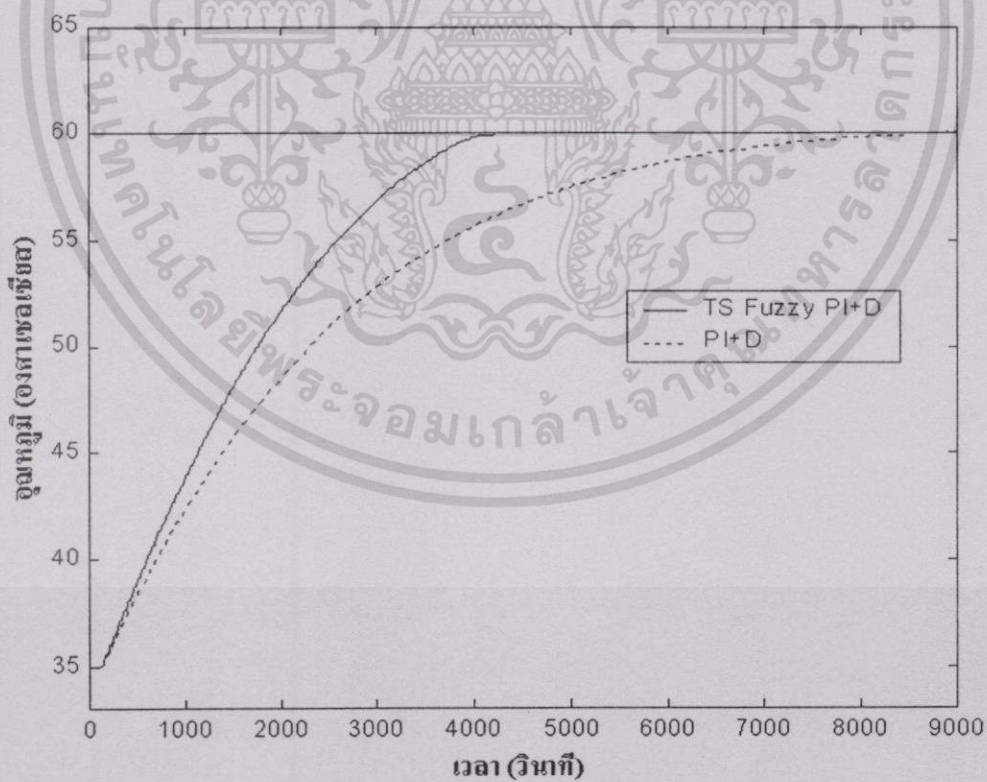
สำหรับตัวควบคุมพีไอ+ดีที่มีโครงสร้างดังรูปที่ 3.1 มีค่า $\alpha_{PI} = K_p + K_i$ และ $\alpha_D = K_d$ (บทพิสูจน์แสดงดังในภาคผนวก ค.) แทนลงในสมการข้างบน จะได้

$$(K_p + K_i + K_d) \cdot (\|P_0\| + \|\Delta P\|) < 1 \quad (5.5)$$

แทนค่า $\|P_0(z)\| = 0.274$ และ $\|\Delta P(z)\| = 0.015$ ลงในสมการที่ (5.5) จะได้

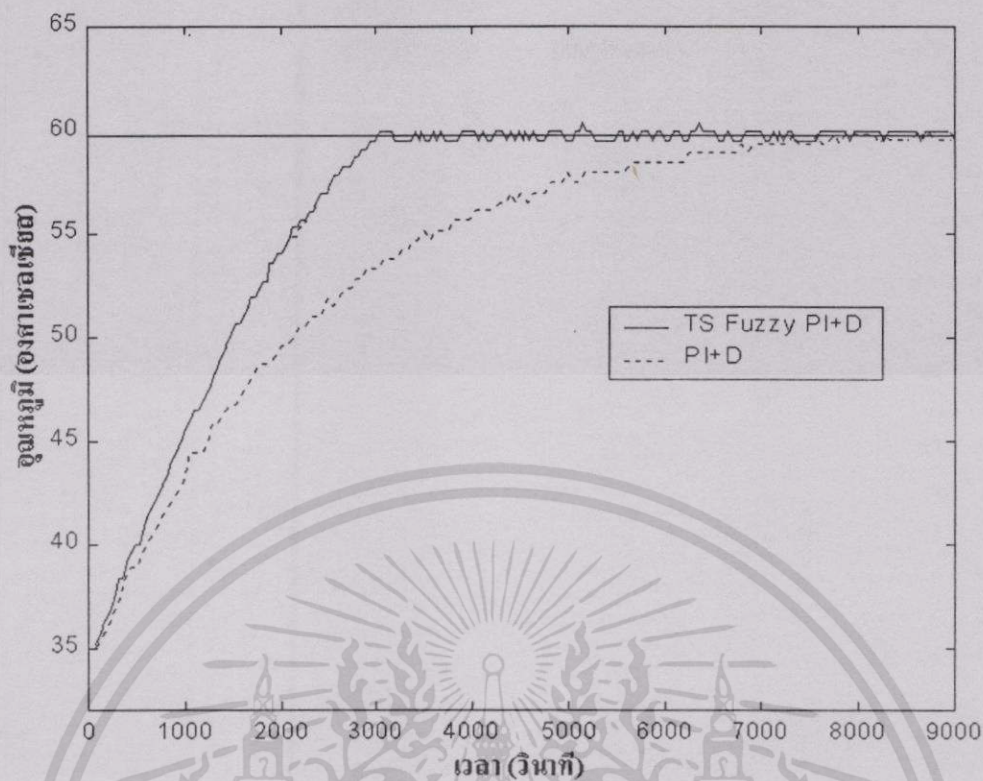
$$K_p + K_i + K_d < 3.4602 \quad (5.6)$$

เลือกค่าเกณฑ์ของตัวควบคุมพีไอ+ดี ให้สอดคล้องกับสมการที่ (5.6) โดยเลือก $K_p = 3.0$ $K_i = 0.001$ และ $K_d = 0.004$ แล้วจำลองผลการควบคุมเปรียบเทียบกับตัวควบคุมทีเอสฟัซซีพีไอ+ดีที่ใช้ค่าพารามิเตอร์เดิม แสดงผลการจำลองการควบคุมและการควบคุมจริงที่อุณหภูมิ 60 องศา ดังรูปที่ 5.22 และ 5.23 ตามลำดับ



รูปที่ 5.22 แสดงผลจำลองการควบคุมเปรียบเทียบระหว่างตัวควบคุมทีเอสฟัซซีพีไอ+ดีและตัวควบคุมพีไอ+ดีที่มีค่าเกณฑ์ $K_p = 3.0$ $K_i = 0.001$ และ $K_d = 0.004$

เอกสารนี้เป็นเอกสารที่สงวนไว้สำหรับการใช้งานเพื่อการศึกษาเท่านั้น ไม่อนุญาตให้นำไปใช้ประโยชน์ด้านการค้าไม่ว่ากรณีใดๆทั้งสิ้น อีกทั้งห้ามมิให้ตัดแปลงเนื้อหา และต้องอ้างอิงถึงเจ้าของเอกสารทุกครั้งที่มีการนำไปใช้

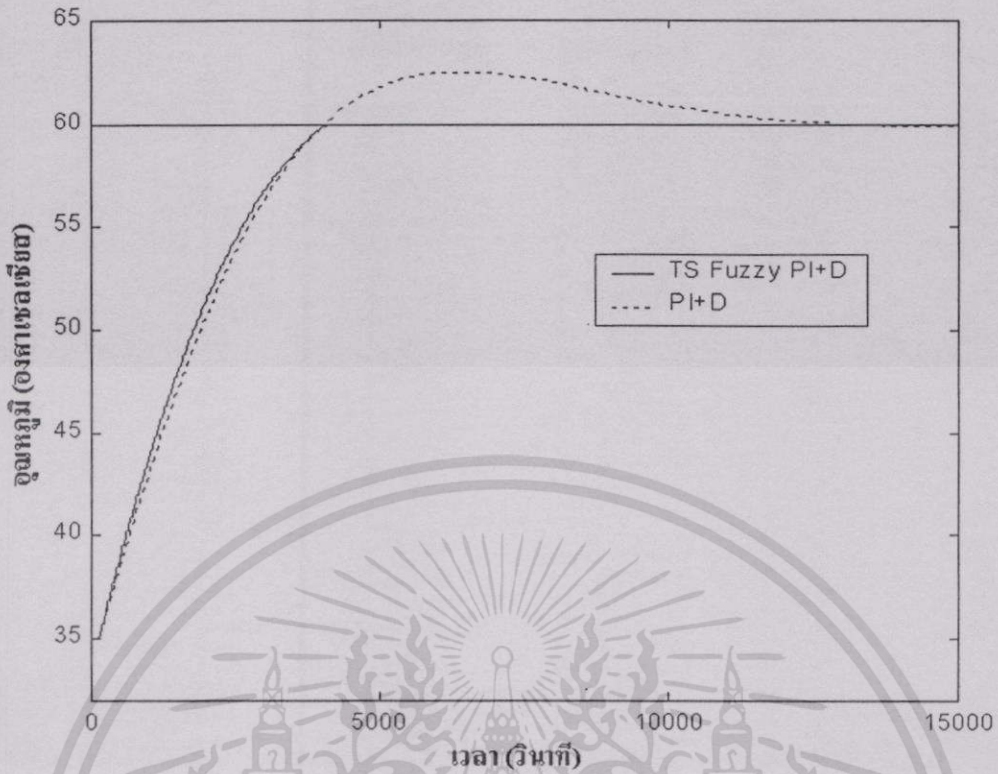


รูปที่ 5.23 แสดงผลการควบคุมจริงเปรียบเทียบระหว่างตัวควบคุมที่เอสพีซีซีพีไอ+ดีและตัวควบคุมพีไอ+ดีที่มีค่าเกน $K_p = 3.0$ $K_i = 0.001$ และ $K_d = 0.004$

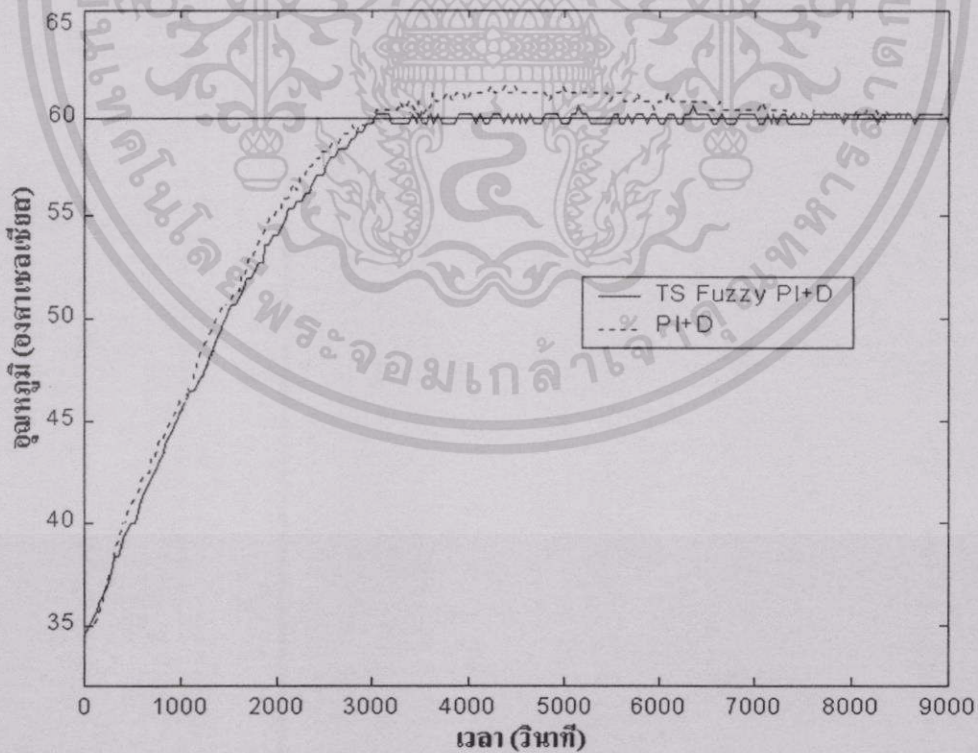
ตารางที่ 5.9 ผลเปรียบเทียบการควบคุมจริงของระบบควบคุมที่เอสพีซีซีพีไอ+ดีกับระบบควบคุมพีไอ+ดี ที่มีค่าเกน $K_p = 3.0$ $K_i = 0.001$ และ $K_d = 0.004$

Controller	t_r (s)	%overshoot	t_s (s)	Ess ($^{\circ}C$)
TS Fuzzy PI+D	2297.3	0.00	3031	± 0.2
PI+D	5818	0.00	6628	± 0.2

จากรูปที่ 5.22 และ 5.23 พบว่าตัวควบคุมที่เอสพีซีซีพีไอ+ดีให้ผลตอบสนองที่เร็วกว่าตัวควบคุมพีไอ+ดี โดยไม่มีค่าพุ่งเกินเหมือนกัน เมื่อเพิ่มค่าเกน K_i ของตัวควบคุมพีไอ+ดีให้มีค่าเพิ่มขึ้นเป็น $K_i = 0.002$ เพื่อให้ผลตอบสนองของระบบควบคุมพีไอ+ดีเร็วขึ้น สามารถแสดงผลการจำลองการควบคุมและการควบคุมจริง ดังรูปที่ 5.24 และ 5.25 ตามลำดับ



รูปที่ 5.24 แสดงผลจำลองการควบคุมเปรียบเทียบระหว่างตัวควบคุมที่เอสฟัซซี่พีไอ+ดีและตัวควบคุมพีไอ+ดีที่มีค่าเกน $K_p = 3.0$ $K_i = 0.002$ และ $K_d = 0.004$



รูปที่ 5.25 แสดงผลการควบคุมจริงเปรียบเทียบระหว่างตัวควบคุมที่เอสฟัซซี่พีไอ+ดีและตัวควบคุมพีไอ+ดีที่มีค่าเกน $K_p = 3.0$ $K_i = 0.002$ และ $K_d = 0.004$

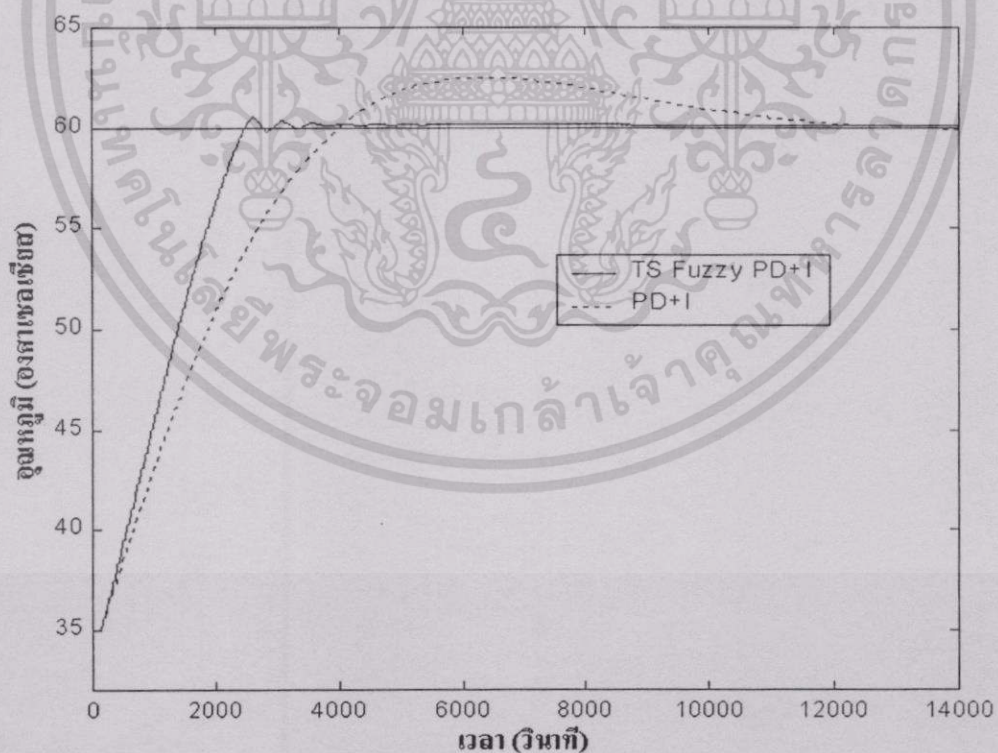
เอกสารนี้เป็นเอกสารที่สงวนไว้สำหรับการใช้งานเพื่อการศึกษาเท่านั้น ไม่อนุญาตให้นำไปใช้ประโยชน์ด้านการค้า
ไม่ว่ากรณีใดๆทั้งสิ้น อีกทั้งห้ามมิให้ดัดแปลงเนื้อหา และต้องอ้างอิงถึงเจ้าของเอกสารทุกครั้งที่มีการนำไปใช้

ตารางที่ 5.10 ผลเปรียบเทียบการควบคุมจริงของระบบควบคุมที่เอสพีซีซีพีไอ+ดีกับระบบควบคุมพีไอ+ดี ที่มีค่าเกน $K_p = 3.0$ $K_i = 0.002$ และ $K_d = 0.004$

Controller	t_r (s)	%overshoot	t_s (s)	Ess ($^{\circ}\text{C}$)
TS Fuzzy PI+D	2297.3	0.00	3031	± 0.2
PI+D	2311.8	2.83	7141	± 0.2

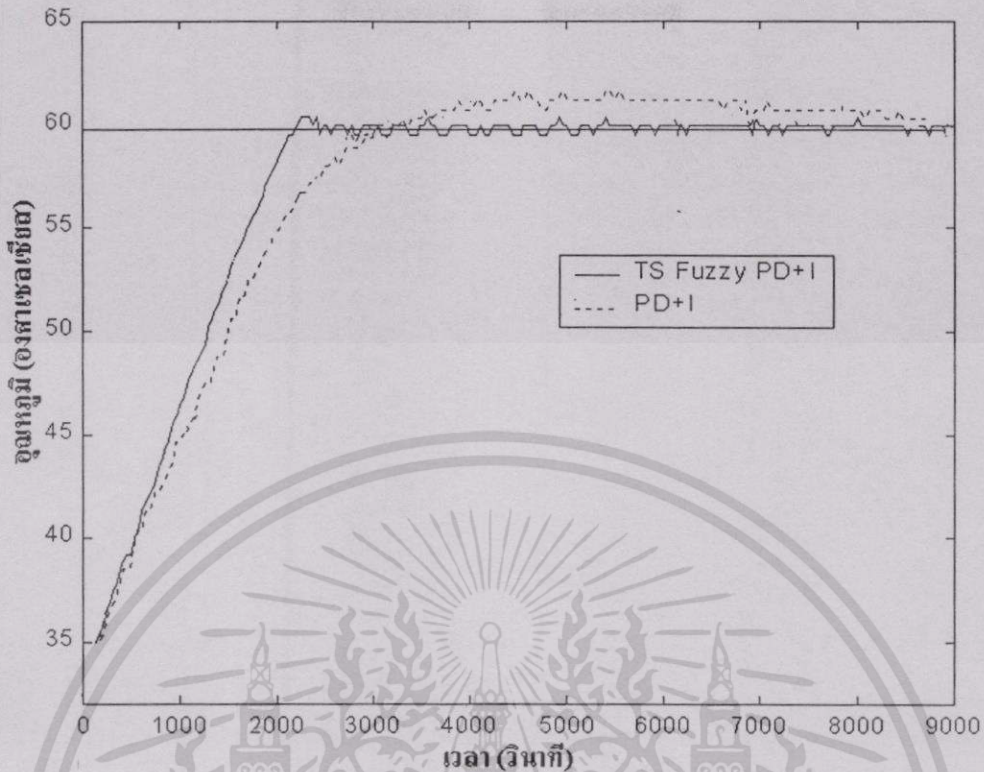
เมื่อผลตอบสนองเร็วเท่ากันแล้ว ระบบควบคุมพีไอ+ดีจะมีค่าพุ่งเกินเกิดขึ้นและเข้าสู่สภาวะออสซิลเลชัน ในขณะที่ระบบควบคุมที่เอสพีซีซีพีไอ+ดีไม่มีค่าพุ่งเกินและสามารถเข้าสู่สภาวะออสซิลเลชันได้เร็วกว่า เพราะเกนของตัวควบคุมที่เอสพีซีซีพีไอ+ดี สามารถลดลงเมื่อผลตอบสนองเข้าใกล้สภาวะออสซิลเลชัน ในขณะที่เกนของตัวควบคุมพีไอ+ดีมีค่าคงที่ตลอดการควบคุม

สำหรับผลตอบสนองเปรียบเทียบระหว่างระบบควบคุมที่เอสพีซีซีพีดี+ไอที่ใช้ค่าพารามิเตอร์เดียวกับระบบควบคุมพีดี+ไอ ที่เลือกค่าเกนของตัวควบคุม $K_p = 3.0$ $K_i = 0.001$ และ $K_d = 0.004$ ให้สอดคล้องเงื่อนไขเดียวกับระบบควบคุมพีไอ+ดีในสมการที่ (5.6) พบว่าระบบควบคุมที่เอสพีซีซีพีดี+ไอสามารถให้ผลตอบสนองที่เร็วกว่าและมีค่าพุ่งเกินน้อยกว่าระบบควบคุมพีดี+ไอ ดังแสดงการจำลองการควบคุมในรูปที่ 5.26 และผลการควบคุมจริงดังรูปที่ 5.27



รูปที่ 5.26 แสดงผลจำลองการควบคุมเปรียบเทียบระหว่างตัวควบคุมที่เอสพีซีซีพีดี+ไอและตัวควบคุมพีดี+ไอที่มีค่าเกน $K_p = 3.0$ $K_i = 0.001$ และ $K_d = 0.004$

เอกสารนี้เป็นเอกสารที่สงวนไว้สำหรับการใช้งานเพื่อการศึกษาเท่านั้น ไม่อนุญาตให้นำไปใช้ประโยชน์ด้านการค้าไม่ว่ากรณีใดๆทั้งสิ้น อีกทั้งห้ามมิให้ดัดแปลงเนื้อหา และต้องอ้างอิงถึงเจ้าของเอกสารทุกครั้งที่มีการนำไปใช้

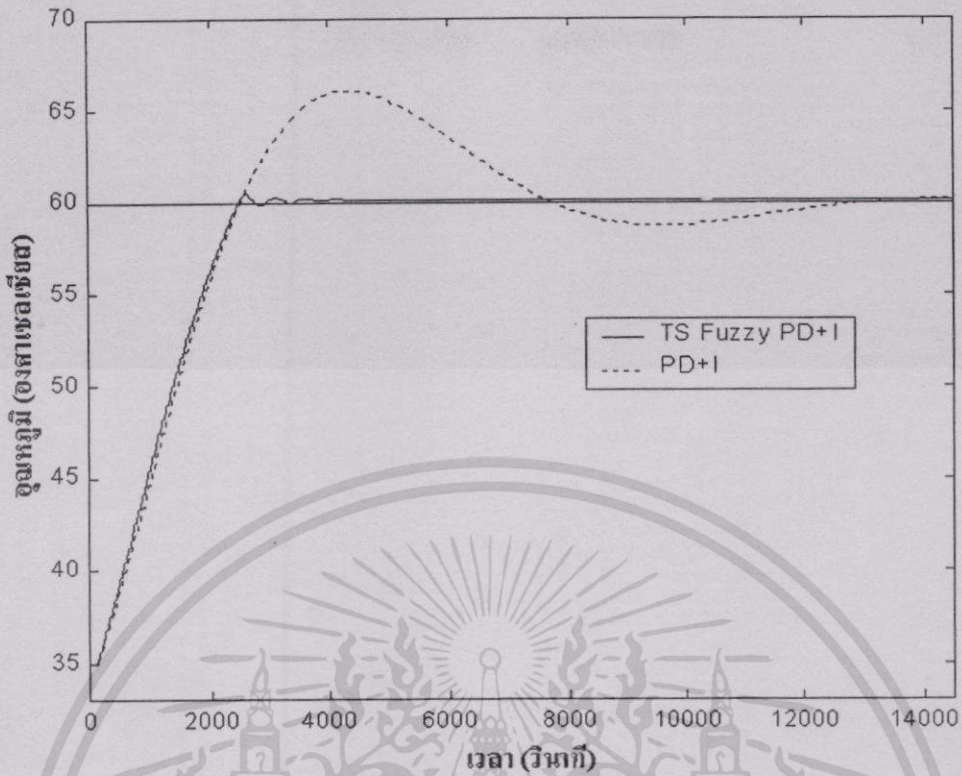


รูปที่ 5.27 แสดงการควบคุมจริงเปรียบเทียบระหว่างตัวควบคุมที่เอสพีซีซีพีดี+ไอและตัวควบคุมพีดี+ไอที่มีค่าเกน $K_p = 3.0$ $K_i = 0.001$ และ $K_d = 0.004$

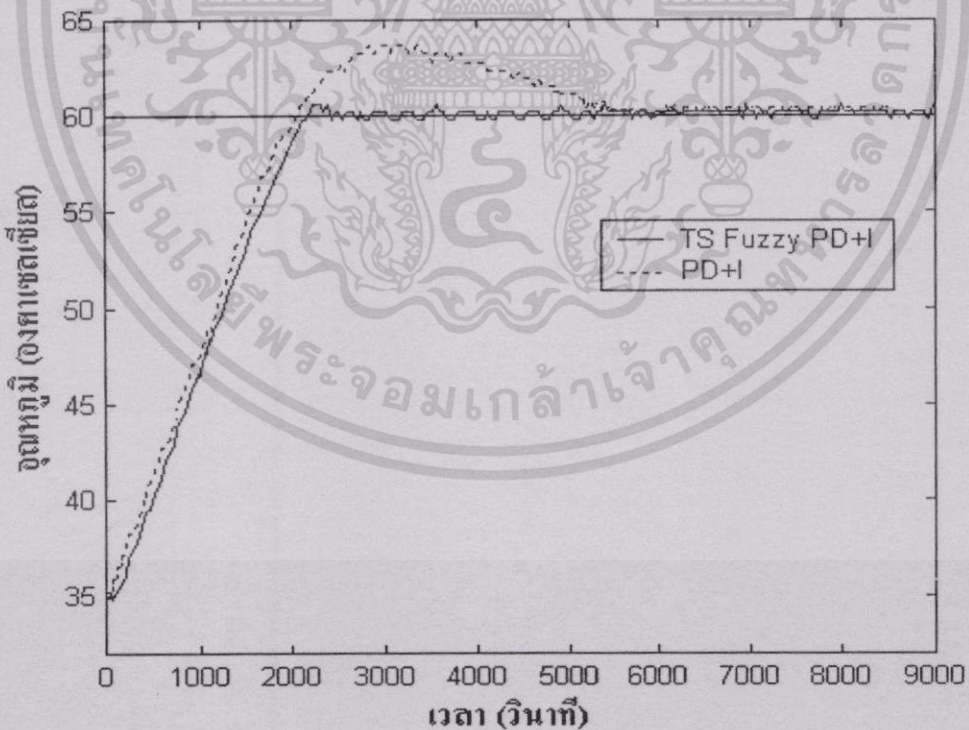
ตารางที่ 5.11 ผลเปรียบเทียบการควบคุมจริงของระบบควบคุมที่เอสพีซีซีพีดี+ไอกับระบบควบคุมพีดี+ไอ ที่มีค่าเกน $K_p = 3.0$ $K_i = 0.001$ และ $K_d = 0.004$

Controller	t_r (s)	%overshoot	t_s (s)	Ess ($^{\circ}\text{C}$)
TS Fuzzy PD+I	2297	1.03	2430	± 0.2
PD+I	3059	2.85	8140	± 0.2

เมื่อปรับค่าเกน K_i ของตัวควบคุมพีดี+ไอให้มีค่าเพิ่มเป็น $K_i = 0.002$ เพื่อให้ผลตอบสนองของระบบควบคุมพีดี+ไอเร็วเท่ากับระบบควบคุมที่เอสพีซีซีพีดี+ไอ สามารถแสดงการจำลองการควบคุมและผลการควบคุมจริงดังรูปที่ 5.28 และ 5.29 ตามลำดับ



รูปที่ 5.28 แสดงผลจำลองการควบคุมเปรียบเทียบระหว่างตัวควบคุมที่เอสพีซซีพีดี+ไอและตัวควบคุมพีดี+ไอที่มีค่าเกน $K_p = 3.0$ $K_i = 0.002$ และ $K_d = 0.004$



รูปที่ 5.29 แสดงผลการควบคุมจริงเปรียบเทียบระหว่างตัวควบคุมที่เอสพีซซีพีดี+ไอและตัวควบคุมพีดี+ไอที่มีค่าเกน $K_p = 3.0$ $K_i = 0.002$ และ $K_d = 0.004$

เอกสารนี้เป็นเอกสารที่สงวนไว้สำหรับการใช้งานเพื่อการศึกษาเท่านั้น ไม่อนุญาตให้นำไปใช้ประโยชน์ด้านการค้าไม่ว่ากรณีใดๆทั้งสิ้น อีกทั้งห้ามมิให้ดัดแปลงเนื้อหา และต้องอ้างอิงถึงเจ้าของเอกสารทุกครั้งที่มีการนำไปใช้

ตารางที่ 5.12 ผลเปรียบเทียบการควบคุมจริงของระบบควบคุมที่เอสพีซีพีดี+ไอกับระบบ
ควบคุมพีดี+ไอ ที่มีค่าเกน $K_p = 3.0$ $K_i = 0.002$ และ $K_d = 0.004$

Controller	t_r (s)	%overshoot	t_s (s)	Ess ($^{\circ}\text{C}$)
TS Fuzzy PD+I	2297	1.03	2430	± 0.2
PD+I	2259	7.08	5140	± 0.2

จากรูปที่ 5.28 และ 5.29 พบว่า เมื่อผลตอบสนองเร็วเท่ากันแล้ว ระบบควบคุมพีดี+ไอจะมีค่าพุ่งเกินและเข้าสู่สัญญาณอ้างอิงช้า ในขณะที่ระบบควบคุมที่เอสพีซีพีดี+ไอไม่มีค่าพุ่งเกินและเข้าสู่สัญญาณอ้างอิงเร็วกว่า ด้วยเหตุผลเดียวกับตัวควบคุมที่เอสพีซีพีไอ+ดี คือค่าเกนของตัวควบคุมที่เอสพีซีพีดี+ไอสามารถเปลี่ยนแปลงได้ตามการเปลี่ยนของสัญญาณอินพุต นั่นคือเมื่อผลตอบสนองเข้าใกล้สัญญาณอ้างอิงแล้ว ตัวควบคุมที่เอสพีซีพีดี+ไอสามารถลดค่าเกนของตัวควบคุมลงเพื่อไม่ให้เกิดค่าพุ่งเกิน ในขณะที่ตัวควบคุมพีดี+ไอไม่สามารถลดค่าเกนลงได้



สรุปผลการวิจัยและข้อเสนอแนะ

งานวิจัยของระบบควบคุมฟัซซีได้มีการพัฒนาอย่างต่อเนื่อง เพื่อลดข้อเสียของการใช้ตัวควบคุมดั้งเดิม โดยงานวิจัยช่วงแรก ๆ นั้นไม่ได้มีการวิเคราะห์เสถียรภาพ เพราะใช้กับระบบที่มีเสถียรภาพอยู่แล้ว แต่ปัจจุบัน ระบบควบคุมฟัซซีได้ขยายไปใช้ในทางการแพทย์ จึงจำเป็นต้องมีเสถียรภาพมากขึ้นในการนำไปใช้จริง ซึ่งในวิทยานิพนธ์นี้ ได้นำเสนอการวิเคราะห์เสถียรภาพและออกแบบระบบควบคุมที่เอสฟัซซีพีไอ+ดีและระบบควบคุมที่เอสฟัซซีพีดี+ไอ สำหรับควบคุมกระบวนการเชิงเส้นที่มีเวลาไร้ผลตอบสนอง ซึ่งในวิทยานิพนธ์นี้ได้ทำการควบคุมอุณหภูมิน้ำ

6.1 สรุปผลการทดลอง

จากการวิเคราะห์โครงสร้างของตัวควบคุมที่เอสฟัซซีพีไอ+ดีและตัวควบคุมที่เอสฟัซซีพีดี+ไอพบว่าโครงสร้างเป็นลักษณะเชิงเส้นคล้ายตัวควบคุมพีไอ+ดีและพีดี+ไอดั้งเดิมตามลำดับ แต่แตกต่างกันตรงค่าเกน K_p , K_i และ K_d ของตัวควบคุมที่เอสฟัซซีพีไอ+ดีและตัวควบคุมที่เอสฟัซซีพีดี+ไอมีค่าไม่คงที่ จะเปลี่ยนแปลงตามการเปลี่ยนแปลงของสัญญาณอินพุตของตัวควบคุม แสดงได้ดังรูปที่ 5.4 ในขณะที่ค่าเกนของตัวควบคุมดั้งเดิมจะมีค่าคงที่

จากผลการจำลองผลการควบคุมในรูปที่ 5.5 ถึง 5.10 และผลการควบคุมจริงในรูปที่ 5.13 ถึง 5.18 พบว่าระบบควบคุมที่เอสฟัซซีพีไอ+ดีและระบบควบคุมที่เอสฟัซซีพีดี+ไอ สามารถควบคุมอุณหภูมิให้เข้าสู่ค่าอ้างอิงได้ และถึงแม้จะมีการเปลี่ยนระดับสัญญาณอ้างอิง โดยใช้ค่าพารามิเตอร์เดิมก็ยังสามารถควบคุมอุณหภูมิให้เข้าสู่ค่าอ้างอิงใหม่ได้เช่นกัน โดยระบบควบคุมที่เอสฟัซซีพีดี+ไอจะเข้าสู่สัญญาณอ้างอิงได้เร็วกว่าระบบควบคุมที่เอสฟัซซีพีไอ+ดี แต่จะมีค่าสัญญาณพุ่งเกินมากกว่า และสัญญาณควบคุมจะมีการแกว่งด้วยขนาดที่มากกว่าระบบควบคุมที่เอสฟัซซีพีไอ+ดี ซึ่งหากต้องการให้ระบบควบคุมที่เอสฟัซซีพีไอ+ดีมีผลตอบสนองที่เร็วกว่านี้ก็สามารถทำได้โดยปรับเพิ่มค่าเกนของตัวควบคุมให้มีค่าเพิ่มขึ้น นอกจากนี้ ตัวควบคุมทั้ง 2 ยังมีลักษณะที่แตกต่างกันในการนำไปใช้คือ ตัวควบคุมที่เอสฟัซซีพีไอ+ดีมีโครงสร้างที่แยกส่วนการควบคุมคือออกมาทำให้สามารถลดผลของสัญญาณรบกวนได้ และโครงสร้างของตัวควบคุมที่เอสฟัซซีพีดี+ไอที่มีการแยกส่วนไอออกมานั้นจะสามารถช่วยลดผลของอินทิกรัลวายด์อัป(integral windup)

เมื่อเกิดการรบกวนขณะควบคุมโดยการลดอุณหภูมิ จากผลการจำลองการควบคุมและการควบคุมจริงในรูปที่ 5.11 5.12 และ 5.19 5.20 ตามลำดับ พบว่าระบบควบคุมที่เอสฟัซซีพีไอ+ดีและที่เอสฟัซซีพีดี+ไอ สามารถกำจัดผลการรบกวนนั้นและทำให้ผลตอบสนองกลับเข้าสู่ค่าสัญญาณ

อ้างอิงได้ ทั้งนี้เพราะพารามิเตอร์ของตัวควบคุมนั้น ถูกเลือกให้สอดคล้องกับเงื่อนไขเสถียรภาพ ที่พิจารณาความคลาดเคลื่อนของการหาแบบจำลองทางคณิตศาสตร์

สำหรับการเปรียบเทียบระหว่างระบบควบคุมพีซีกับระบบควบคุมดั้งเดิม โดยออกแบบตัวควบคุมให้สอดคล้องกับเงื่อนไขเสถียรภาพของทฤษฎีบทเกณฑ์น้อยเหมือนกัน จากรูปที่ 5.22 ถึง 5.29 พบว่า เมื่อออกแบบระบบควบคุมให้ไม่มีค่าพ่วงเกินเหมือนกัน ระบบควบคุมที่เอสพีซีพีไอ+ดีและระบบควบคุมที่เอสพีซีพีดี+ไอให้ผลตอบสนองเข้าสู่สัญญาณอ้างอิงได้เร็วกว่าระบบควบคุมพีไอ+ดีและพีดี+ไอ เมื่อออกแบบระบบควบคุมให้เข้าสู่สัญญาณอ้างอิงพร้อมกัน พบว่าระบบควบคุมดั้งเดิมมีค่าพ่วงเกินมากกว่าและเข้าสู่ค่าสัญญาณอ้างอิงช้ากว่าระบบควบคุมพีซี

จากผลการทดลองดังกล่าวสามารถสรุปได้ว่า หากออกแบบค่าพารามิเตอร์ของตัวควบคุมพีซีให้สอดคล้องกับเงื่อนไขเสถียรภาพแล้ว จะสามารถรับประกันความมีเสถียรภาพของระบบควบคุมที่มีความไม่แน่นอนเกิดขึ้นได้ โดยค่าพารามิเตอร์ที่เลือกมา นอกจากจะทำให้มีเสถียรภาพแล้วยังให้ผลตอบสนองที่ดีกว่าตัวควบคุมดั้งเดิมอีกด้วย

6.2 ข้อเสนอแนะในการวิจัย

1. การใช้ทฤษฎีบทเกณฑ์น้อยในการหาเงื่อนไขเสถียรภาพนั้นจะได้เงื่อนไขเสถียรภาพที่เผื่อมากเกินไป (conservative) จึงเป็นเงื่อนไขที่พอเพียงเท่านั้น นั่นคือ ถ้าสอดคล้องกับเงื่อนไขนี้แล้วก็สามารถรับประกันการมีเสถียรภาพได้ แต่ถ้าไม่สอดคล้องก็ไม่สามารถสรุปได้ว่าระบบควบคุมไม่มีเสถียรภาพ

2. ทฤษฎีบทเกณฑ์น้อยเป็นทฤษฎีที่เน้นทางด้านเสถียรภาพเท่านั้น โดยไม่เกี่ยวข้องกับสมรรถนะ (performance) ซึ่งหมายความว่าสามารถรับประกันการมีเสถียรภาพได้ แต่อาจจะให้สมรรถนะที่ไม่ดีนัก แต่ถ้าจำเป็นต้องการให้ได้สมรรถนะที่ดีก็ทำได้โดย

- ทำการปรับแต่งพารามิเตอร์ของตัวควบคุมอย่างอิสระ โดยไม่สนใจเสถียรภาพ

- ในกรณีที่ต้องการเสถียรภาพด้วย ต้องปรับแต่งกระบวนการที่จะควบคุมแทน เพื่อให้มีค่าอินฟินิตีออร์มน้อย ๆ เพื่อจะสามารถปรับค่าพารามิเตอร์ของตัวควบคุมให้มีค่ามาก ๆ ได้

3. สัญญาณควบคุมในการควบคุมจริง จะมีการแกว่งมากกว่าสัญญาณควบคุมที่ได้จากการจำลองการควบคุม ในวิทยานิพนธ์นี้ใช้สัญญาณควบคุมในการจ่ายแรงดันให้กับฮีตเตอร์จึงไม่มีปัญหาในการแกว่งของสัญญาณควบคุม แต่หากต้องนำไปใช้กับอุปกรณ์ที่มีการเปิดปิดเช่นวาล์ว (valve) จะมีผลทำให้อายุการทำงานของวาล์วสั้นลง ดังนั้น สามารถลดผลของการแกว่งของสัญญาณควบคุมในทางปฏิบัติได้โดยการเพิ่มค่าขอบเขต L ให้มีค่ามากขึ้น แต่จะมีผลให้ผลตอบสนองเข้าสู่สัญญาณอ้างอิงได้ช้าลง

6.3 ปัญหาที่พบในการวิจัยและแนวทางในการแก้ไขปัญหา

1. น้ำที่ใช้ทำการทดลองในแต่ละครั้งมีอุณหภูมิเริ่มต้นไม่เท่ากัน จึงต้องปรับอุณหภูมิเริ่มต้นของน้ำให้เท่ากันก่อนจึงจะทำการทดลองเปรียบเทียบกันได้

2. จากการทดลองจริงพบว่าที่สถานะคงตัว จะมีความผิดพลาดเกิดขึ้น ± 0.2 องศาจากค่าสัญญาณอ้างอิง ซึ่งเป็นข้อจำกัดของเอ็ดจิคอนเวอร์เตอร์ (A/D Converter) 8 บิต โดยสามารถลดผลของความผิดพลาดนี้ได้โดยการเปลี่ยนไปใช้เอ็ดจิคอนเวอร์เตอร์ 12 บิตแทน จะทำให้ค่าความผิดพลาดลดลงเหลือ ± 0.05 องศาจากค่าสัญญาณอ้างอิง

3. ในการหาค่าพารามิเตอร์ของตัวควบคุมนั้น จะใช้วิธีหาแบบลองผิดลองถูก จึงทำให้ต้องใช้เวลาไปพอสมควรกว่าจะได้ค่าพารามิเตอร์ที่ให้ผลตอบสนองที่น่าพอใจและสอดคล้องกับเงื่อนไขเสถียรภาพ

6.4 แนวทางในการพัฒนาต่อไป

พัฒนาเป็นตัวควบคุมที่เอสพีซีไอซีที่มีสัญญาณอินพุต 3 ค่าคือ ค่าความผิดพลาด การเปลี่ยนแปลงของค่าความผิดพลาด และค่าความผิดพลาดสะสม โดยไม่ต้องแยกตัวควบคุมออกเป็น 2 ส่วนเหมือนในวิทยานิพนธ์นี้ แต่เนื่องจากโครงสร้างแบบ 3 อินพุตนี้ จะทำให้มีจำนวนกฎการควบคุมมากขึ้นและมีจำนวนพารามิเตอร์ที่ต้องปรับเพิ่มมากขึ้น มากกว่าโครงสร้างแบบ 2 อินพุต ดังนั้นจะสามารถลดจำนวนการปรับพารามิเตอร์ได้โดยใช้แนวทางที่ได้ถูกนำเสนอในงานวิจัย[12]

เอกสารอ้างอิง

- [1] L.A. Zadeh, "Fuzzy Sets," *Information & Control*, Vol. 8, 1965, pp. 338-353.
- [2] L.A. Zadeh, "Outline of a New Approach to the Analysis of Complex Systems and Decision Processes," *IEEE Trans. Syst., Man & Cybern.*, Vol. SMC-3, 1973, pp. 28-44.
- [3] E.H. Mamdani, "Application of Fuzzy Algorithms for Control of Simple Dynamic Plant," *Proc. IEEE*, Vol. 121, No 12, 1974, pp. 1585-1588.
- [4] P.J. King and E.H. Mamdani, "The Application of Fuzzy Control Systems to Industrial Processes," *Automatica*, Vol. 13, 1977, pp. 235-242.
- [5] G. -R. Chen and H. Ying, "BIBO Stability of Nonlinear Fuzzy PI Control System," *J. Intelligent & Fuzzy System*, Vol.5, 1997, pp. 245-256.
- [6] H.A. Malki and G. -R Chen, "New Design and Stability Analysis of Fuzzy Proportional-Derivative Control Systems," *IEEE Trans. Fuzzy Systems*, 1994, pp.245-254.
- [7] D. Misir, H. A. Malki and G Chen, "Design and Analysis of a Fuzzy Proportional-Integral-Derivative Controller," *Fuzzy Sets and Systems*, Vol.79, 1996, pp.297-314.
- [8] H.A. Malki, D. Misir, D. Feigenspan and G. -R Chen, "Fuzzy PID Control of a Flexible-Joint Robot Arm with Uncertainties from Time-Varying Loads," *IEEE Trans. Control Systems Technology*, Vol.5, 1997, pp.371-378.
- [9] J. Carvajal, G. -R Chen and H. Ogmen, "Fuzzy PID Controller: Design, Performance Evaluation, and Stability Analysis," *Information Sciences*, Vol. 123, 2000, pp. 249-270.
- [10] Y. Ding, H. Ying and S. Shao, "Theoretical Analysis of a Takagi-Sugeno Fuzzy PI Controller with Application to Tissue Hyperthermia Therapy," *IEEE Trans. on Fuzzy System*, Vol.1, 1998, pp.252-257.
- [11] H. Ying, "An Analytical Study on Structure, Stability and Design of General Nonlinear Takagi-Sugeno Fuzzy Control Systems," *Automatica*, Vol. 34, No. 12, 1998, pp. 1617-1623.
- [12] H. Ying, "Theory and Application of a Novel Fuzzy PID Controller using a Simplified Takagi-Sugeno Rule Scheme," *Information Sciences*, Vol. 123, 2000, pp. 281-293.
- [13] Leonid Reznik **Fuzzy Controllers**. Newnes, 1997.
- [14] Rainer Palm, Dimitar Driankov and Hans Hellendoorn **Model Based Fuzzy Control: Fuzzy Gain Schedulers and Sliding Mode Fuzzy Controllers**. Springer, 1997.

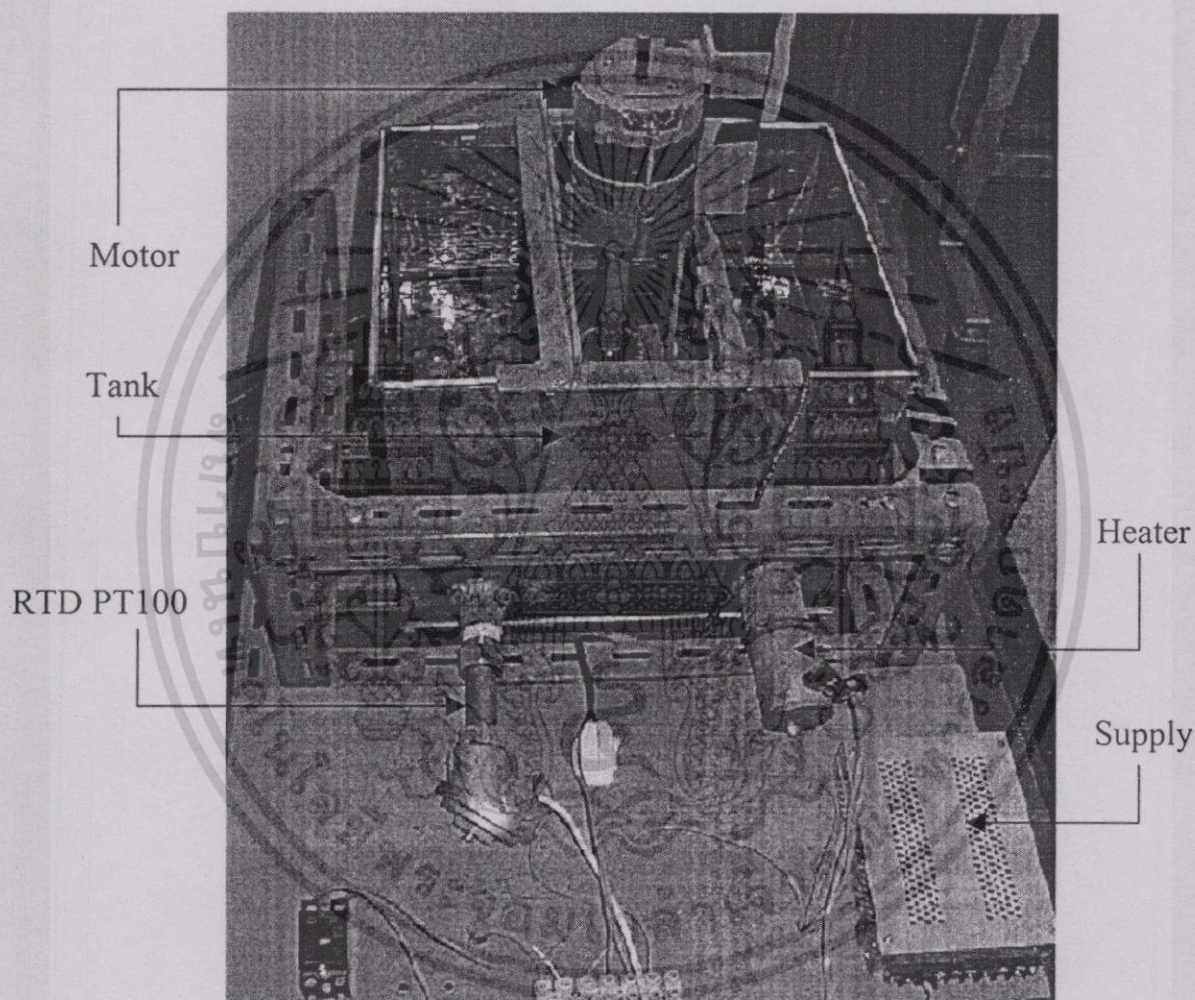
เอกสารนี้เป็นเอกสารที่สงวนไว้สำหรับการใช้งานเพื่อการศึกษาเท่านั้น ไม่อนุญาตให้นำไปใช้ประโยชน์ด้านการค้า
ไม่ว่ากรณีใดๆทั้งสิ้น อีกทั้งห้ามมิให้ดัดแปลงเนื้อหา และต้องอ้างอิงถึงเจ้าของเอกสารทุกครั้งที่มีการนำไปใช้

- [15] Hao Ying **Fuzzy Control and Modeling: Analytical Foundations and Applications**. IEEE Press, 2000.
- [16] S. P. Bhattacharyya, H. Chapellat and L. H. Keel **Robust Control: The Parametric Approach**. Prentice Hall, 1995.
- [17] สุรกิจ เลิศอุดมสุข และจกมล งามวิวิทย์, “การออกแบบตัวควบคุมฟัซซีแบบอ้อมโดยวิธีวางโพล.” หน้า 587-592. ใน การประชุมวิชาการทางวิศวกรรมไฟฟ้า ครั้งที่ 24. กรุงเทพฯ : 22-23 พฤศจิกายน 2544
- [18] Euntai Kim and Dongyon Kim, “Stability Analysis and Synthesis for an Affine Fuzzy System via LMI and ILMI: Discrete Case,” IEEE Trans. on Systems, Man and Cybernetics Part B: Cybernetics, Vol. 31, No. 1, 2001, pp. 132-140.
- [19] Byung-Jae Choi, Seong-Woo Kwak, and Byung Kook Kim, “Design and Stability Analysis of Aingle-Input Fuzzy Logic Controller,” IEEE Trans. on Systems, Man and Cybernetics Part B: Cybernetics, Vol. 30, No. 2, 2000, pp. 303-309.
- [20] Federico Cuesta, Francisco Gordillo, Javier Aracil and Anibal Ollero, “Stability Analysis of Nonlinear Multivariable Takagi–Sugeno Fuzzy Control Systems,” IEEE Trans. on Fuzzy Systems, Vol. 7, No. 5, 1999, pp. 508-520.
- [21] ธิดาพร พิทักษ์พรพันธุ์. “ตัวควบคุมฟัซซีแบบปรับแต่งพารามิเตอร์ด้วยตนเอง” วิทยานิพนธ์ วิศวกรรมศาสตรมหาบัณฑิต สาขาวิชาวิศวกรรมไฟฟ้า บัณฑิตวิทยาลัย สถาบันเทคโนโลยีพระจอมเกล้าเจ้าคุณทหารลาดกระบัง. 2539.
- [22] อรอุมา ทองคงอ่วม และเอกลักษณ์ ตรีวิมล. “การควบคุมอุณหภูมิน้ำโดยใช้ตัวควบคุมฟัซซี” วิทยานิพนธ์ วิศวกรรมศาสตรบัณฑิต สาขาวิศวกรรมระบบควบคุม คณะวิศวกรรมศาสตร์ สถาบันเทคโนโลยีพระจอมเกล้าเจ้าคุณทหารลาดกระบัง. 2543.

ภาคผนวก ก

รายละเอียดของอุปกรณ์ที่ใช้ทำการทดลอง

ในภาคผนวก ก. จะกล่าวถึงรายละเอียดของอุปกรณ์ที่ใช้ทำการทดลอง แสดงดังรูปที่ ก.1 ซึ่งมีรายละเอียดดังต่อไปนี้



รูปที่ ก.1 แสดงส่วนประกอบของถังต้มน้ำ

ก.1 ถังน้ำ มีขนาด $30\text{cm.} \times 35\text{cm.} \times 30\text{cm.}$ ทำจากสเตนเลส โดยตัวถังน้ำส่วนบนจะติดมอเตอร์เหนี่ยวนำขนาดแรงดัน 100 Volt ทำหน้าที่หมุนใบพัดกวนน้ำให้เกิดการไหลวน เพื่อให้ความร้อนสามารถถ่ายเทได้อย่างทั่วถึง

เอกสารนี้เป็นเอกสารที่สงวนไว้สำหรับการใช้งานเพื่อการศึกษาเท่านั้น ไม่อนุญาตให้นำไปใช้ประโยชน์ด้านการค้า ไม่ว่าจะกรณีใดๆทั้งสิ้น อีกทั้งห้ามมิให้ดัดแปลงเนื้อหา และต้องอ้างอิงถึงเจ้าของเอกสารทุกครั้งที่มีการนำไปใช้

ก.2 ตัวรับรู้ RTD คืออุปกรณ์เซ็นเซอร์วัดอุณหภูมิ มีลักษณะเป็นแท่งโลหะ มีส่วนประกอบของทองแดง นิกเกิลและแพลตินัม โดยแท่งโลหะนี้มีความต้านทานที่เปลี่ยนค่าตามการเปลี่ยนแปลงของอุณหภูมิเป็นไปตามสมการ

$$R_t = R_0(1 + \alpha T)$$

เมื่อ

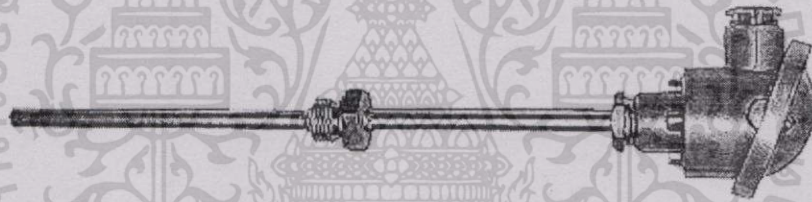
R_t คือความต้านทานที่อุณหภูมิ t °C

R_0 คือความต้านทานที่อุณหภูมิอ้างอิง (Reference Temperature: t_0) โดยปกติจะเป็นค่าอุณหภูมิห้อง

α คือค่าเฉลี่ยของสัมประสิทธิ์การเปลี่ยนแปลงค่าความต้านทานไฟฟ้าต่ออุณหภูมิของโลหะแต่ละชนิด

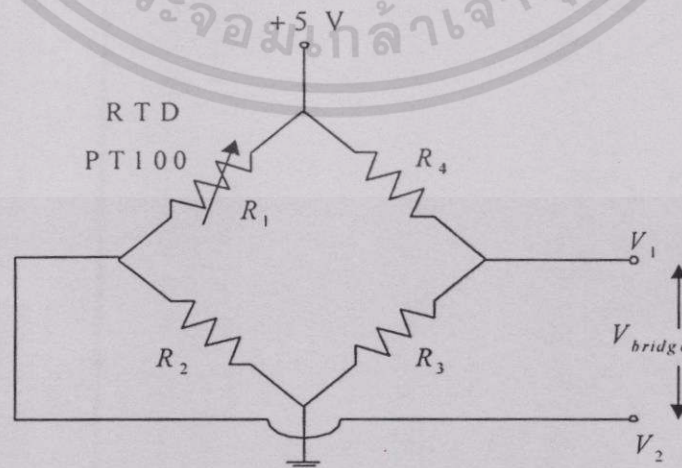
T คืออุณหภูมิที่เปลี่ยนแปลงจากอุณหภูมิอ้างอิง มีค่าเท่ากับ $t - t_0$

ในการทดลองนี้ใช้ RTD PT100 แสดงดังรูปที่ ก.2 มีความต้านทาน 100Ω ที่ 0°C และมีค่า $\alpha = 0.004$



รูปที่ ก.2 แสดงตัวรับรู้ RTD PT100 ที่ใช้ในการทดลอง

ก.3 วงจรบริดจ์ คือวงจรที่แปลงค่าความต้านทานของ RTD ที่สัมพันธ์กับอุณหภูมิที่วัดได้ ให้เป็นสัญญาณศักย์ไฟฟ้า แสดงวงจรบริดจ์ดังรูปที่ ก.3



รูปที่ ก.3 แสดงวงจรบริดจ์

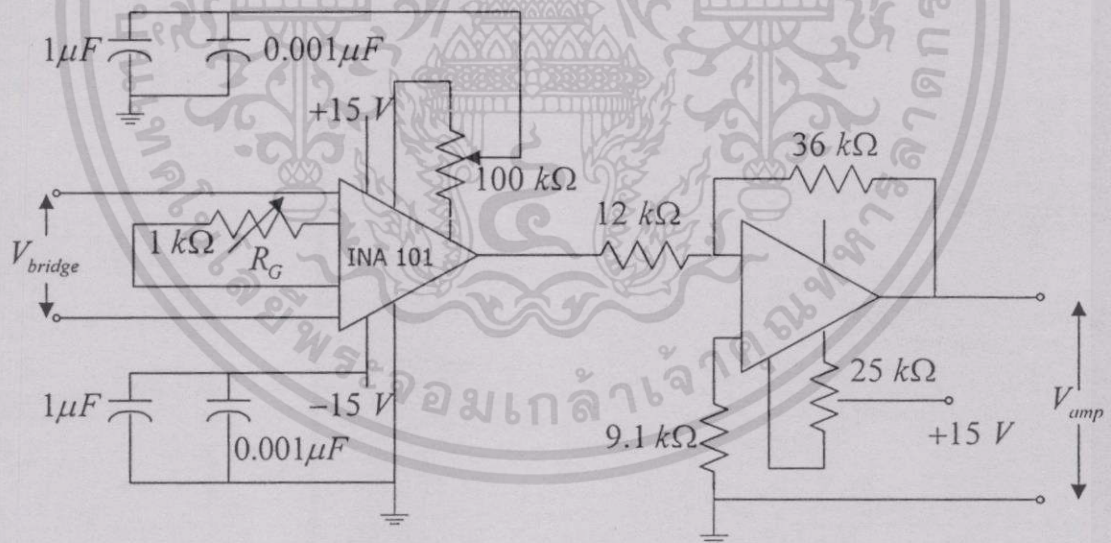
เอกสารนี้เป็นเอกสารที่สงวนไว้สำหรับการใช้งานเพื่อการศึกษาเท่านั้น ไม่อนุญาตให้นำไปใช้ประโยชน์ด้านการค้า ไม่ว่าจะกรณีใดๆทั้งสิ้น อีกทั้งห้ามมิให้ดัดแปลงเนื้อหา และต้องอ้างอิงถึงเจ้าของเอกสารทุกครั้งที่มีการนำไปใช้

จากรูป V_{bridge} คือศักย์ไฟฟ้าที่ออกจากวงจรบริดจ์ R_1 คือความต้านทานที่ได้จาก RTD PT100 สัมพันธ์กับอุณหภูมิของน้ำ ในการทดลองนั้นเลือกค่า $R_2 = R_3 = 10 \text{ k}\Omega$ เพื่อให้มีกระแสไหลในวงจรบริดจ์มีค่าน้อย ทำให้พลังงานที่สูญเสียใน RTD มีค่าน้อยด้วย ค่าที่วัดได้ จึงไม่เกิดการผิดพลาด และความต้านทานของ RTD ที่อุณหภูมิ 25°C มีค่า

$$\begin{aligned} R_1 &= R_0(1 + \alpha T) \\ &= 100[1 + 0.04(25 - 0)] \\ &= 110 \Omega \end{aligned}$$

ต้องการให้วงจรบริดจ์สมดุล เมื่อน้ำมีอุณหภูมิ 25°C เลือกใช้ $R_4 = R_1 = 110 \Omega$ เพื่อให้วงจรบริดจ์จ่ายศักย์ไฟฟ้าที่มีค่าเท่ากับศูนย์ที่อุณหภูมินี้ และสัญญาณศักย์ไฟฟ้าที่ได้จากวงจรบริดจ์ จะเข้าสู่วงจรขยายและปรับปรุงสัญญาณต่อไป

ก.4 วงจรขยายผลต่าง ทำหน้าที่ขยายผลต่างของสัญญาณศักย์ไฟฟ้าที่ได้จากวงจรบริดจ์ ดังแสดงในรูปที่ ก.4



รูปที่ ก.4 แสดงวงจรขยายผลต่าง

โดยมีอัตราขยายเป็นไปตามสมการ

$$V_{amp} = KV_{bridge}$$

เมื่อ V_{amp} คือ ศักย์ไฟฟ้าที่ผ่านการขยาย

เอกสารนี้เป็นเอกสารที่สงวนไว้สำหรับการใช้งานเพื่อการศึกษาเท่านั้น ไม่อนุญาตให้นำไปใช้ประโยชน์ด้านการค้า ไม่ว่ากรณีใดๆทั้งสิ้น อีกทั้งห้ามมิให้ดัดแปลงเนื้อหา และต้องอ้างอิงถึงเจ้าของเอกสารทุกครั้งที่มีการนำไปใช้

K คือ อัตราขยาย

นั่นคือที่อุณหภูมิของน้ำ $25\text{ }^{\circ}\text{C}$ ค่า V_{amp} มีค่าเท่ากับศูนย์เพราะ V_{bridge} มีค่าเป็นศูนย์ที่อุณหภูมินี้ วงจรขยายผลต่างสัญญาณจะใช้ไอซีเบอร์ของ BURR-BROWN เป็นไอซีขยายผลต่างที่สัญญาณค่าน้อย ๆ เนื่องจากมีคุณสมบัติที่ดีหลายประการดังนี้

- มีการเปลี่ยนแปลงสัญญาณตามอุณหภูมิต่ำมาก คือ $0.25\mu\text{V}/^{\circ}\text{C}$
- มีค่าออฟเซตของสัญญาณต่ำ (low offset voltage) คือ $0.25\mu\text{V}$
- มีคุณสมบัติเชิงเส้นหรือช่วงทำงานสูง (high - linearity)
- มีค่าซีเอ็มอาร์ (high CMR) คือ 106 dB ที่ 60 Hz
- มีค่าความต้านทานที่ด้านรับสัญญาณสูง (high input impedance) คือ $10^{10}\ \Omega$

สำหรับอัตราขยายของไอซีเบอร์นี้มีค่าเท่ากับ $\left[1 + \frac{40 \times 10^3}{R_G}\right]$ และได้ต่อชุดยกระดับสัญญาณ

จากวงจรขยายผลต่างสัญญาณด้วย เพื่อใช้งานในกรณีที่มีสัญญาณเริ่มต้นน้อยกว่าศูนย์โวลต์ โดยชุดยกระดับสัญญาณนี้ใช้ไอซีอปแอมป์เบอร์ 356 ซึ่งมีอัตราขยายเท่ากับ 3 เนื่องจากต้องการให้สัญญาณที่ออกจากวงจรขยายและยกระดับสัญญาณมีค่าอยู่ในช่วง $0-5\text{ V}$ จึงต้องทำการปรับปรุงสัญญาณดังนี้

หาค่าสัญญาณที่อุณหภูมิ $100\text{ }^{\circ}\text{C}$ จะได้

$$V_1 = \frac{5(10k)}{10k + 110} = 4.9456\text{ V} \quad \text{และ} \quad V_2 = \frac{5(10k)}{10k + 140} = 4.9310\text{ V}$$

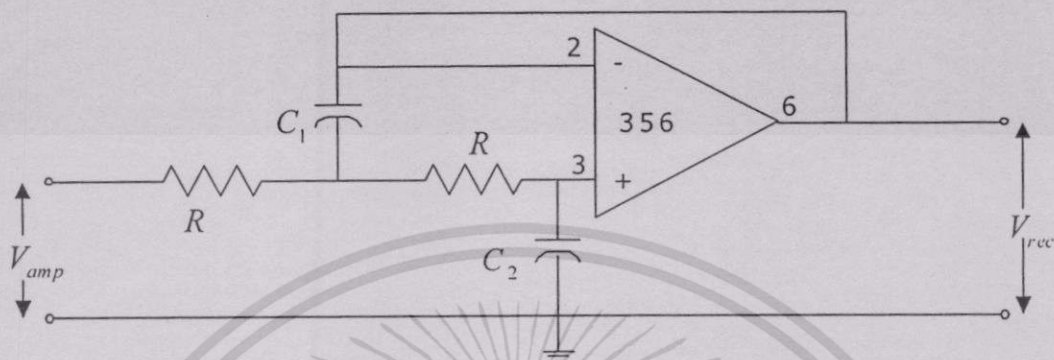
ผลต่างของสัญญาณศักย์ไฟฟ้าที่ $100\text{ }^{\circ}\text{C}$ คือ $V_1 - V_2 = 1.46 \times 10^{-2}\text{ V}$ แต่ที่อุณหภูมินี้ต้องการให้มีศักย์ไฟฟ้า 5 V จึงต้องมีอัตราขยาย $K = 5 / 1.46 \times 10^{-2} = 342$ แต่ชุดยกระดับสัญญาณมีอัตราขยายเป็น 3 เท่าอยู่แล้ว ดังนั้นเราจะได้ค่าอัตราขยายของ INA 101 เป็น $342/3 = 114$ แทนค่าลงในสมการอัตราขยายของ INA 101 จะได้

$$R_G = \frac{40k}{(114-1)} = 354\ \Omega$$

นั่นคือ เมื่อปรับค่าต่าง ๆ ตามที่ได้คำนวณแล้ว จะได้ค่าสัญญาณศักย์ไฟฟ้าที่อุณหภูมิ $25-100\text{ }^{\circ}\text{C}$ อยู่ในช่วง $0-5\text{ V}$ ตามต้องการ

ก.5 วงจรกรองความถี่

สัญญาณศักย์ไฟฟ้าที่อยู่ในช่วง $0-5\text{ V}$ จะผ่านวงจรกรองความถี่เพื่อกำจัดสัญญาณรบกวน แสดงวงจรกรองความถี่ดังในรูปที่ ก 5



รูปที่ ก.5 แสดงวงจรกรองความถี่

จากรูป หาฟังก์ชันถ่ายโอนจะได้

$$\frac{V_{rec}}{V_{amp}} = \frac{\left(\frac{1}{C_1 C_2 R^2}\right)}{s^2 + \left(\frac{2s}{C_1 R}\right) + \left(\frac{1}{C_1 C_2 R^2}\right)} = \frac{w_n^2}{s^2 + 2\xi w_n s + w_n^2}$$

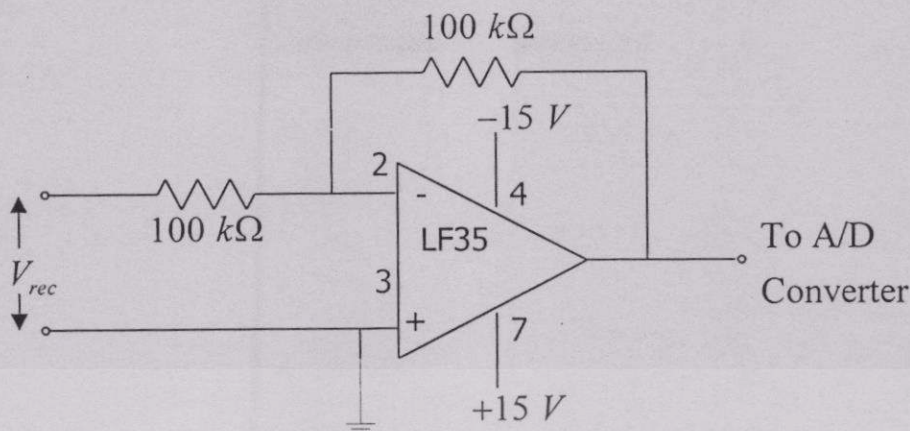
นั่นคือ จะได้ $w_n = \frac{1}{\sqrt{C_1 C_2 R^2}}$ และ $\xi = \sqrt{\frac{C_2}{C_1}}$

ในการทดลองนั้นต้องการค่า $w_n = 6.3$ และ $\xi = 0.707$ จึงเลือกค่า $R = 510\text{ K}\Omega$, $C_1 = 0.44\ \mu\text{F}$ และ $C_2 = 0.22\ \mu\text{F}$ และเมื่อนำฟังก์ชันถ่ายโอนมาพล็อตผลตอบสนองเชิงความถี่ จะพบว่า เป็นวงจรกรองความถี่สูง คือกำจัดสัญญาณรบกวนทิ้งไปเพื่อให้วงจรทำงานได้อย่างถูกต้อง

ก.6 วงจรอินเวอร์ตติงแอมพลิไฟเออร์

สัญญาณศักย์ไฟฟ้าที่ออกจากวงจรกรองความถี่มีค่าเป็นลบ จึงต้องกลับเฟสของสัญญาณก่อนเข้าการ์ดแปลงสัญญาณอนาลอกเป็นดิจิทัล (Analog to Digital Converter: ADC) แสดงวงจรดังรูปที่ ก 6

เอกสารนี้เป็นเอกสารที่สงวนไว้สำหรับการใช้งานเพื่อการศึกษาเท่านั้น ไม่อนุญาตให้นำไปใช้ประโยชน์ด้านการค้า ไม่ว่าจะกรณีใดๆทั้งสิ้น อีกทั้งห้ามมิให้ดัดแปลงเนื้อหา และต้องอ้างอิงถึงเจ้าของเอกสารทุกครั้งที่มีการนำไปใช้



รูปที่ ก.6 แสดงวงจรอินเวอร์ตติ้งแอมพลิฟายเออร์

ก.7 การแปลงอนาลอกเป็นดิจิทัลและแปลงดิจิทัลเป็นอนาลอก

ในวิทยานิพนธ์นี้ใช้ PC DIO CARD เป็นลักษณะของ PC CARD ที่ใช้เชื่อมต่อกับเครื่องคอมพิวเตอร์เพื่อทำหน้าที่เชื่อมต่อระหว่างสัญญาณดิจิทัลที่ใช้ในเครื่องคอมพิวเตอร์กับสัญญาณอนาลอกที่ใช้ในวงจรอิเล็กทรอนิกส์ ซึ่งประกอบด้วย 2 ส่วน

ก.7.1 ส่วนแปลงสัญญาณอนาลอกเป็นดิจิทัล

ในส่วนนี้ใช้ไอซีเบอร์ ADC0804 ขนาด 8 บิต ทำหน้าที่รับสัญญาณอินพุตที่อยู่ในรูปของสัญญาณ อนาลอกแล้วเปลี่ยนให้เป็นสัญญาณดิจิทัล เพื่อทำการประมวลผล ซึ่งใช้ในการเชื่อมต่อ (Interface) กับอุปกรณ์ภายนอกที่ให้สัญญาณเป็นอนาลอก โดยรับสัญญาณอนาลอกที่มีขนาดของสัญญาณอยู่ในช่วง 0-5V

ก.7.2 ส่วนแปลงสัญญาณดิจิทัลเป็นอนาลอก

ส่วนนี้ใช้ไอซีเบอร์ DAC0832 ขนาด 8 บิต ทำหน้าที่เปลี่ยนสัญญาณดิจิทัลให้เป็นสัญญาณอนาลอก ซึ่งการควบคุมขนาดของสัญญาณเอาต์พุตที่เป็นอนาลอกนั้น ทำได้โดยการส่งค่าออกไปยังพอร์ตควบคุมของไอซี ซึ่งขนาดของสัญญาณเอาต์พุตที่ได้ นั้น จะเปลี่ยนแปลงอย่างเป็นเชิงเส้น นั่นคือ

ถ้าส่งค่า FFH จะได้ค่าสัญญาณเอาต์พุตขนาดสูงสุด

ถ้าส่งค่า 7FH จะได้ค่าสัญญาณเอาต์พุตขนาดครึ่งหนึ่งของค่าสูงสุด

ถ้าส่งค่า 00H จะได้ค่าสัญญาณเอาต์พุตขนาดต่ำสุด

เนื่องจากไอซีเบอร์ DAC0832 มีขนาด 8 บิต จึงมีความละเอียด 256 ค่าจากย่านความกว้างของสัญญาณทั้งหมด ในที่นี้ต้องการส่งค่าสัญญาณอนาลอกออกไปควบคุมให้อยู่ในช่วง 0-10V ดังนั้นจะได้ความละเอียดของสัญญาณแต่ละค่ามีขนาดเท่ากับ $10/256 = 0.039V$

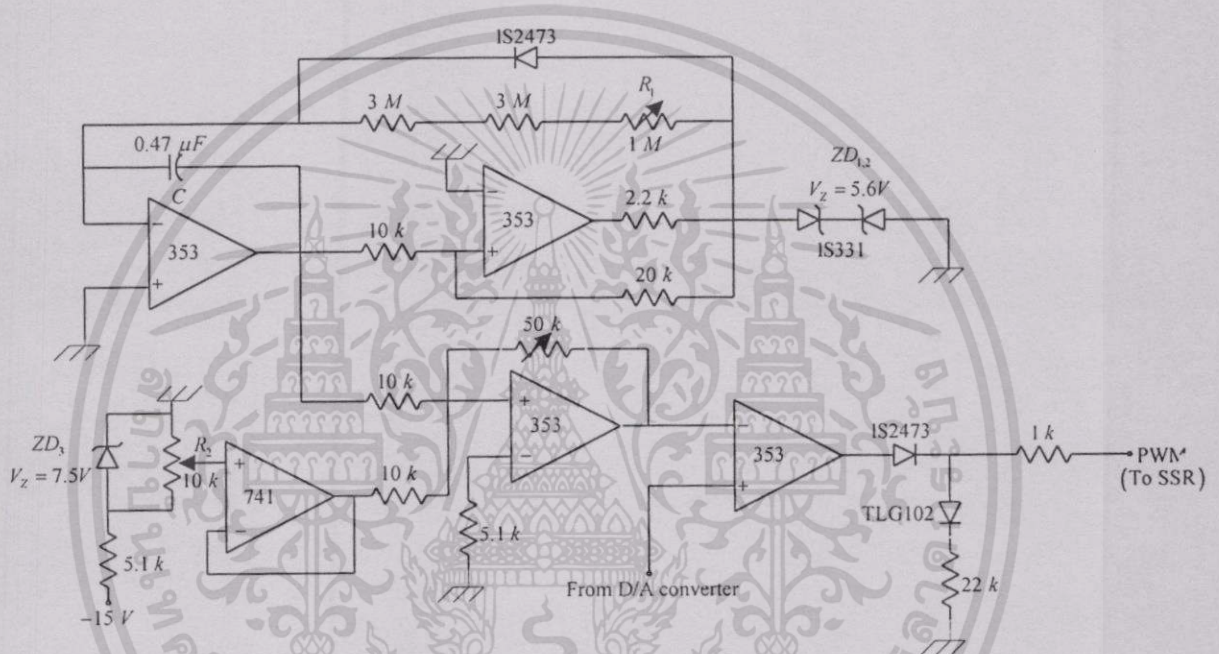
เอกสารนี้เป็นเอกสารที่สงวนไว้สำหรับการใช้งานเพื่อการศึกษาเท่านั้น ไม่อนุญาตให้นำไปใช้ประโยชน์ด้านการค้าไม่ว่ากรณีใดๆทั้งสิ้น อีกทั้งห้ามมิให้ดัดแปลงเนื้อหา และต้องอ้างอิงถึงเจ้าของเอกสารทุกครั้งที่มีการนำไปใช้

ก.8 วงจรแอกทูเอเตอร์

เป็นวงจรที่ควบคุมการทำงานของขดลวดความร้อน ให้สามารถจ่ายพลังงานเป็นเปอร์เซ็นต์มากหรือน้อยตามสัญญาณควบคุมที่ได้คำนวณมาแล้วด้วยตัวควบคุม โดยประกอบด้วย 2 ส่วนคือ

ก.8.1 วงจรพัลส์วิดท์มอดูเลชัน

วงจรพัลส์วิดท์มอดูเลชัน(pulse width modulation) เป็นวงจรที่จ่ายสัญญาณพัลส์โดยมีขนาดของพัลส์สัมพันธ์กับขนาดของสัญญาณควบคุม แสดงลักษณะวงจรวงจรดังรูปที่ ก 7



รูปที่ ก.7 แสดงวงจรพัลส์วิดท์มอดูเลชัน

สามารถแบ่งการทำงานได้เป็น 4 ส่วนย่อยดังนี้

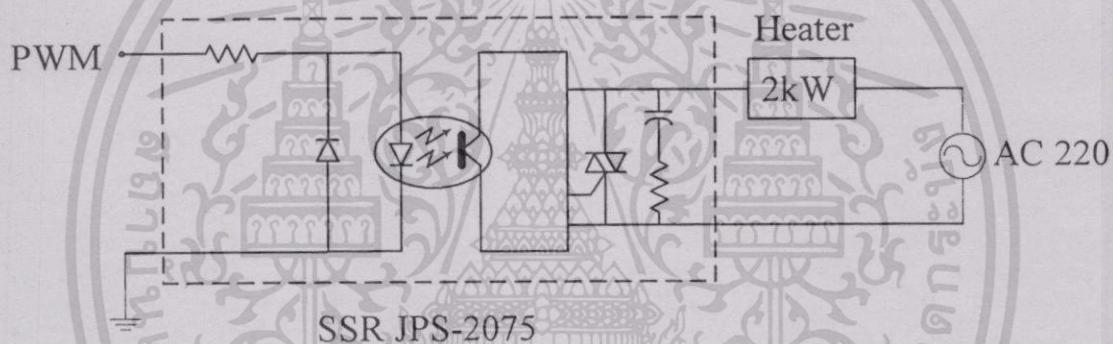
- ส่วนกำเนิดสัญญาณฟันปลา(saw-tooth generator) จากรูป ก 7 ซีเนอร์ไดโอด ZD_1 และ ZD_2 จะทำหน้าที่เป็นออสซิลเลเตอร์(oscillator) ให้สัญญาณผ่านวงจรความต้านทานและตัวเก็บประจุ ซึ่งจะให้ค่าคงที่เวลาเท่ากับ R_1C โดยผลที่ได้จากวงจรส่วนนี้จะเป็นสัญญาณฟันปลาที่มีขนาดเท่ากับค่าเบรคดาวน์(break down) ของ ZD_1 และ ZD_2 คือ $5.6V$ และมีขนาดของคาบเวลาเท่ากับค่าคงที่ R_1C (R_1 อยู่ในช่วง $6 - 7M$ และ C มีค่า $0.47\mu F$) หรือมีค่าประมาณ 3 วินาที
- ส่วนยกระดับสัญญาณฟันปลา ประกอบด้วยบัฟเฟอร์แอมพลิไฟเออร์ที่ใช้ไอซีเบอร์ 741 ประกอบขึ้นมา ซึ่งจะให้ศักย์ไฟฟ้าตามค่าเบรคดาวน์ของ ZD_3 คือ $7.5V$ และสามารถเปลี่ยนค่าศักย์ไฟฟ้าด้วยการปรับค่า R_2 โดยวงจรส่วนนี้จะรวมกับสัญญาณฟันปลาทำให้เกิดสัญญาณที่เป็นค่าลบ เพื่อเตรียมเข้าสู่วงจรขยายแบบอินเวอร์ตดังต่อไป

เอกสารนี้เป็นเอกสารที่สงวนไว้สำหรับการใช้งานเพื่อการศึกษาเท่านั้น ไม่อนุญาตให้นำไปใช้ประโยชน์ด้านการค้า ไม่ว่าจะกรณีใดๆทั้งสิ้น อีกทั้งห้ามมิให้ดัดแปลงเนื้อหา และต้องอ้างอิงถึงเจ้าของเอกสารทุกครั้งที่มีการนำไปใช้

- วงจรขยายแบบอินเวอร์ตึง ทำหน้าที่ขยายสัญญาณฟีนปลาให้มีขนาดอยู่ในช่วง $0 - 10V$ เพื่อเข้าสู่วงจรถอปรารเตอร์(comparator) ต่อไป
- วงจรถอปรารเตอร์ จะทำการเปรียบเทียบสัญญาณควบคุมกับสัญญาณฟีนปลา ทำให้ได้ผลลัพธ์เป็นสัญญาณพัลส์ที่มีขนาดของคาบกว้างหรือแอมพลิจูดตามขนาดของสัญญาณควบคุม โดยมีแอมพลิจูดคงที่

ก.8.2 โซลิตสเตรียลย์

ในวิทยานิพนธ์นี้ใช้โซลิตสเตรียลย์(solid state relay) หมายเลข JPS - 2075 ซึ่งมีวงจรเสมือนแสดงดังรูปที่ ก.8 มีหลักการทำงานคือ สัญญาณพัลส์วิดท์มอดูเลชัน(PWM)จะมากระตุ้นให้ออปโตทรานซิสเตอร์(optotransister) ไปกระตุ้นวงจรสวิตช์ให้จ่ายพลังงานตามคาบของสัญญาณพัลส์วิดท์มอดูเลชันนั้น



รูปที่ ก.8 แสดงวงจรเสมือนของโซลิตสเตรียลย์หมายเลข JPS - 2075

ภาคผนวก ข

ผลงานวิจัยที่ได้รับการตีพิมพ์

บทความที่ 1 ได้รับการตีพิมพ์ในวารสาร วิศวกรรมลาดกระบัง คณะวิศวกรรมศาสตร์ สถาบันเทคโนโลยีพระจอมเกล้าเจ้าคุณทหารลาดกระบัง ปีที่ 18 ฉบับที่ 1 มีนาคม 2544 ในชื่อเรื่อง

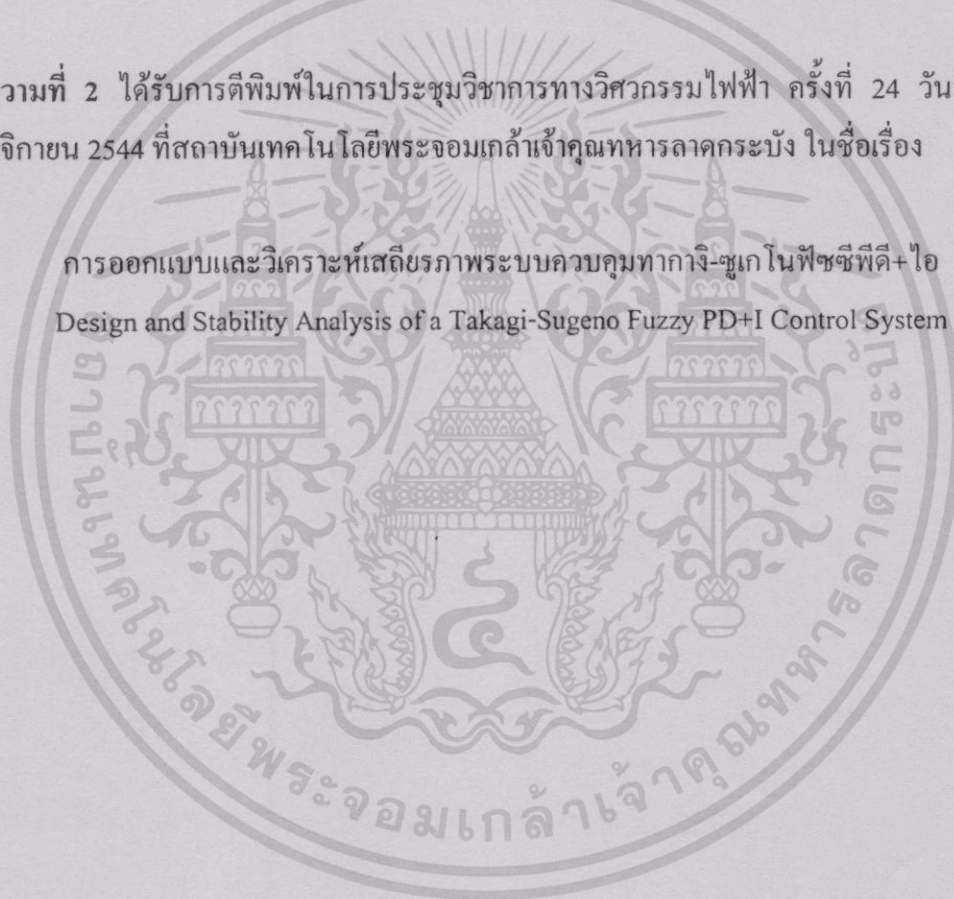
การออกแบบตัวควบคุมทากาจิ-ซุเกโนฟัซซีพีไอ+ดี สำหรับกระบวนการเชิงเส้นที่อยู่ในช่วง

Design of a Takagi-Sugeno Fuzzy PI+D Controller for Linear Interval Process

บทความที่ 2 ได้รับการตีพิมพ์ในการประชุมวิชาการทางวิศวกรรมไฟฟ้า ครั้งที่ 24 วันที่ 22-23 พฤศจิกายน 2544 ที่สถาบันเทคโนโลยีพระจอมเกล้าเจ้าคุณทหารลาดกระบัง ในชื่อเรื่อง

การออกแบบและวิเคราะห์เสถียรภาพระบบควบคุมทากาจิ-ซุเกโนฟัซซีพีดี+ไอ

Design and Stability Analysis of a Takagi-Sugeno Fuzzy PD+I Control System



การออกแบบตัวควบคุมทากิ-ซุเกโนฟัซซีพีไอ+ดี สำหรับ กระบวนการเชิงเส้นที่อยู่ในช่วง

Design of a Takagi-Sugeno Fuzzy PI+D Controller for Linear Interval Process

อรุณพล กัณหาเวท งามวิวิทย์

คณะวิศวกรรมศาสตร์และสำนักวิจัยการสื่อสารและเทคโนโลยีสารสนเทศ สถาบันเทคโนโลยีพระจอมเกล้าเจ้าคุณทหารลาดกระบัง

ศุภี ผู้เจริญชนะชัย

หน่วยปฏิบัติการวิจัยเทคโนโลยีคอมพิวเตอร์และระบบอัตโนมัติ ศูนย์เทคโนโลยีอิเล็กทรอนิกส์และคอมพิวเตอร์แห่งชาติ

สำนักงานพัฒนาวิทยาศาสตร์และเทคโนโลยีแห่งชาติ

บทคัดย่อ

ในบทความนี้จะนำเสนอการควบคุมกระบวนการเชิงเส้นที่เกนมีค่าเปลี่ยนแปลงอยู่ในช่วง โดยใช้ตัวควบคุมทากิ-ซุเกโนฟัซซีพีไอ+ดี ซึ่งจะแสดงการวิเคราะห์โครงสร้างและแสดงเงื่อนไขเสถียรภาพของตัวควบคุมชนิดนี้โดยใช้ทฤษฎีบทเกนน้อย ผลการจำลองการควบคุมกระบวนการที่เกนมีการเปลี่ยนแปลงอยู่ในช่วงที่ทราบขอบเขตโดยใช้ตัวควบคุมนี้พบว่า ผลตอบสนองเร็วและมีเสถียรภาพ นอกจากนี้ผลตอบสนองจะเข้าสู่สภาวะนิ่งได้อย่างรวดเร็วเมื่อมีตัวรบกวนคงที่เข้ามาที่เวท่ทุก

Abstract

This paper proposes a method of controlling linear, interval gain process by using Takagi-Sugeno fuzzy PI+D controller. Analytical structure and stability condition guaranteed by Small Gain Theorem of the Takagi-Sugeno fuzzy PI+D controller are shown. The simulation results demonstrate that the response of the proposed control system is fast and stable for known boundary of the interval gain, and the effect of constant output disturbance is fast rejected.

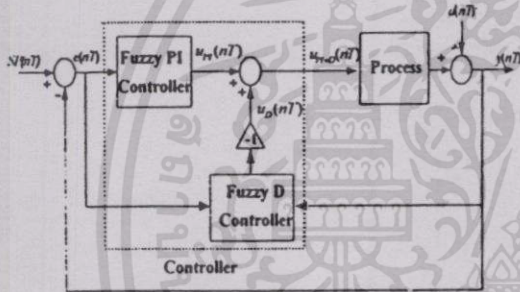
1. บทนำ

ตัวควบคุมฟัซซีเป็นตัวควบคุมหนึ่งที่น่าสนใจอย่างแพร่หลายปัจจุบัน เนื่องจากสามารถชดเชยข้อเสียของตัวควบคุมดั้งเดิมที่ไม่สามารถควบคุมระบบให้มีผลตอบสนองที่ดีกับระบบที่ไม่สามารถรู้ค่าแบบจำลองทางคณิตศาสตร์ที่แน่นอนรวมทั้งระบบที่มีความซับซ้อนได้ ซึ่งตัวควบคุมฟัซซีแบ่งออกได้เป็น 2 ชนิด คือชนิดแมมดานิ

(Mamdani type) ซึ่งอธิบายผลลัพธ์ของกฎการควบคุมในรูปตัวแปรเชิงภาษา (linguistic value) และชนิดทากิ-ซุเกโน (Takagi-Sugeno type) [1] ซึ่งอธิบายผลลัพธ์ของกฎการควบคุมในรูปของสมการเชิงเส้น (linear equation) เนื่องจากตัวควบคุมฟัซซีชนิดหลัง สามารถเขียนกฎในรูปของสมการเชิงเส้นได้ จึงสะดวกต่อการหาเงื่อนไขเสถียรภาพ

บทความแรกของตัวควบคุมฟัซซีจะใช้กฎการควบคุมชนิดแมมดามิ เช่นฟัซซีพีโอ[2]หรือฟัซซีพีดี[3] และได้ปรับปรุงมาเป็นฟัซซีพีโอ+ดี[4] ต่อมาได้มีบทความเกี่ยวกับตัวควบคุมฟัซซีที่ใช้กฎการควบคุมชนิดทากาจิ-ซุกะโน โดยได้ออกแบบตัวควบคุมทากาจิ-ซุกะโนฟัซซีพีโอ (Takagi-Sugeno fuzzy PI controller)[5] เพื่อใช้ควบคุมอุณหภูมิในการฆ่าเชื้อทางการแพทย์

บทความนี้จะประยุกต์ใช้ตัวควบคุมทากาจิ-ซุกะโนฟัซซีพีโอ+ดี ในการควบคุมกระบวนการเชิงเส้นคั้งแสดงในรูปที่ 1 โดยค่าเกนของกระบวนการมีการเปลี่ยนแปลงเป็นช่วง และหาเงื่อนไขการมีเสถียรภาพของระบบควบคุมโดยใช้ทฤษฎีบทเกนน้อย (small gain theorem) พร้อมทั้งแสดงผลการจำลองระบบควบคุม



รูปที่ 1 โครงสร้างของระบบควบคุมที่ใช้ตัวควบคุมทากาจิ-ซุกะโนฟัซซีพีโอ+ดี

2. โครงสร้างตัวควบคุมทากาจิ-ซุกะโนฟัซซีพีโอ+ดี

จากรูปที่ 1 เป็นโครงสร้างของระบบควบคุมที่ใช้ตัวควบคุมทากาจิ-ซุกะโนฟัซซีพีโอ+ดี ซึ่งโครงสร้างของตัวควบคุมทากาจิ-ซุกะโนฟัซซีพีโอ+ดีแสดงอยู่ภายในกรอบเส้นประ ซึ่งประกอบด้วย 2 ส่วนคือส่วนของตัวควบคุมฟัซซีพีโอและส่วนของตัวควบคุมฟัซซีดี โดยได้ปรับปรุงเพิ่มเติมมาจากตัวควบคุมฟัซซีพีโอ+ดีชนิดแมมดามิ (Mamdani type)[4] ดังนั้น กฎการควบคุมตัวควบคุมทากาจิ-ซุกะโนฟัซซีพีโอ+ดี แสดงได้ดังสมการที่(1)

$$u_{p+d}(nT) = u_p(nT) + u_d(nT) \tag{1}$$

เมื่อ $u_{p+d}(nT)$ คือสัญญาณเอาต์พุตของส่วนการควบคุมทากาจิ-ซุกะโนฟัซซีพีโอ+ดี $u_p(nT)$ คือสัญญาณเอาต์พุตของส่วนการควบคุมทากาจิ-ซุกะโนฟัซซีพีโอ และ $u_d(nT)$

คือสัญญาณเอาต์พุตของส่วนการควบคุมทากาจิ-ซุกะโนฟัซซีดี

สำหรับตัวควบคุมทากาจิ-ซุกะโนฟัซซีพีโอจะมีสัญญาณอินพุตคือค่าความผิดพลาด($e(nT)$) และการเปลี่ยนแปลงค่าความผิดพลาด($\Delta e(nT)$) ซึ่งแสดงได้ดังนี้

$$e(nT) = SP(nT) - y(nT)$$

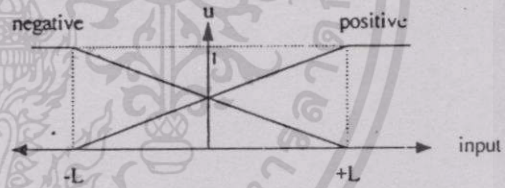
$$\Delta e(nT) = \frac{e(nT) - e(nT - T)}{T}$$

และตัวควบคุมทากาจิ-ซุกะโนฟัซซีดีจะมีสัญญาณอินพุตคือค่าความผิดพลาด($e(nT)$) และค่าเฉลี่ยของสัญญาณเอาต์พุต($\Delta y_d(nT)$) นั่นคือ

$$e(nT) = SP(nT) - y(nT)$$

$$\Delta y_d(nT) = \frac{y(nT) - y(nT - T)}{T}$$

เมื่อ n คือเลขจำนวนจริงบวก T คือคาบการสุ่ม SP คือสัญญาณอ้างอิง $d(nT)$ คือสัญญาณรบกวนที่เอาต์พุต (output disturbance) ซึ่ง $d(nT)$ ในบทความนี้จะพิจารณาเป็นสัญญาณค่าคงที่ และอินพุตแต่ละค่าจะถูกฟัซซีไฟด์ (fuzzified) ด้วยฟัซซีเซตที่ประกอบด้วยสมาชิกที่ชื่อ "positive" และ "negative" แสดงดังรูปที่ 2



รูปที่ 2 ฟังก์ชันการเป็นสมาชิกของสัญญาณอินพุต นอกขอบเขต [-L +L] ค่าความเป็นสมาชิกมีค่าไม่เป็นศูนย์ก็เป็นหนึ่งและกฎการควบคุมของตัวควบคุมฟัซซีพีโอสามารถแสดงได้ดังตารางที่ 1

ตารางที่ 1 กฎการควบคุมของตัวควบคุมฟัซซีพีโอ

		$\Delta e(nT)$	
		Positive	Negative
$e(nT)$	Positive	$\Delta u_{p_1}(nT)$	$\Delta u_{p_2}(nT)$
	Negative	$\Delta u_{p_3}(nT)$	$\Delta u_{p_4}(nT)$

เมื่อ $\Delta u_{p_1}(nT) = a_1 e(nT) + b_1 \Delta e(nT)$

$$\Delta u_{p_2}(nT) = a_2 e(nT) + b_2 \Delta e(nT) \tag{2}$$

$$\Delta u_{p_3}(nT) = a_3 e(nT) + b_3 \Delta e(nT)$$

$$\Delta u_{p_4}(nT) = a_4 e(nT) + b_4 \Delta e(nT)$$

เอกสารนี้เป็นเอกสารที่สงวนไว้สำหรับการใช้งานเพื่อการศึกษาเท่านั้น ไม่อนุญาตให้นำไปใช้ประโยชน์ด้านการค้า ไม่ว่าจะกรณีใดๆทั้งสิ้น อีกทั้งห้ามมิให้ดัดแปลงเนื้อหา และต้องอ้างอิงถึงเจ้าของเอกสารทุกครั้งที่มีการนำไปใช้

โดยที่ค่า a_i และ b_i คือ พารามิเตอร์ที่จะออกแบบ เมื่อ $i = 1,2,3,4$ μ_{p_i} คือ ค่าความเป็นสมาชิกผลลัพธ์ของกฎที่ i โดยใช้วิธีเส้นทออยด์คิฟิซซีไฟด์(centroid defuzzified) คำนวณค่าเอาท์พุทที่เปลี่ยนไปของตัวควบคุมฟิซซีฟิโอดีดังนี้

$$\Delta u_{p_i}(nT) = \frac{\sum_{i=1}^4 \Delta u_{p_i} \mu_{p_i}}{\sum_{i=1}^4 \mu_{p_i}} \quad (3)$$

แทนค่า Δu_{p_i} จากสมการที่ (2) ลงในสมการที่ (3) จะได้

$$\Delta u_p(nT) = K_1(e, \Delta e) \cdot e(nT) + K_p(e, \Delta e) \cdot \Delta e(nT)$$

เมื่อ $K_1(e, \Delta e) = \frac{\sum_{i=1}^4 b_i \mu_{p_i}}{\sum_{i=1}^4 \mu_{p_i}}$, $K_p(e, \Delta e) = \frac{\sum_{i=1}^4 a_i \mu_{p_i}}{\sum_{i=1}^4 \mu_{p_i}}$

แปลงไบลิเนียร์(bilinear transform) ของสมการตัวควบคุมฟิโอดี[4] จะได้เอาท์พุทใหม่ของตัวควบคุมฟิซซีฟิโอดีที่เวลา $nT + T$ คือ

$$u_p(nT) = u_p(nT - T) + T \cdot \Delta u_p(nT) \quad (4)$$

ในส่วนของฟิซซีฟิโอดีจะมีการควบคุมแสดงได้ดังตารางที่ 2 ตารางที่ 2 กฎการควบคุมของตัวควบคุมฟิซซีฟิโอดี

		$\Delta y_o(nT)$	
		Positive	Negative
$e(nT)$	Positive	$\Delta u_{o_1}(nT)$	$\Delta u_{o_2}(nT)$
	Negative	$\Delta u_{o_3}(nT)$	$\Delta u_{o_4}(nT)$

โดยที่ $\Delta u_{o_1}(nT) = c_1 \Delta y_o(nT)$
 $\Delta u_{o_2}(nT) = c_2 \Delta y_o(nT)$
 $\Delta u_{o_3}(nT) = c_3 \Delta y_o(nT)$
 $\Delta u_{o_4}(nT) = c_4 \Delta y_o(nT)$ (5)

และค่า c_i คือ พารามิเตอร์ที่จะออกแบบ เมื่อ $i = 1,2,3,4$ μ_{o_i} คือ ค่าความเป็นสมาชิกของผลลัพธ์ของกฎที่ i โดยใช้วิธีเส้นทออยด์คิฟิซซีไฟด์คำนวณค่าเอาท์พุทที่เปลี่ยนไปของตัวควบคุมฟิซซีฟิโอดี

$$\Delta u_o(nT) = \frac{\sum_{i=1}^4 \Delta u_{o_i} \mu_{o_i}}{\sum_{i=1}^4 \mu_{o_i}} \quad (6)$$

แทนค่า Δu_{o_i} จากสมการที่ (5) ลงในสมการที่ (6) จะได้

$$\Delta u_o(nT) = K_o(e, \Delta y_o) \cdot \Delta y_o(nT)$$

เมื่อ $K_o(e, \Delta y_o) = \frac{\sum_{i=1}^4 c_i \mu_{o_i}}{\sum_{i=1}^4 \mu_{o_i}}$

แปลงไบลิเนียร์ของสมการตัวควบคุมคิ[4] จะได้เอาท์พุทใหม่ของตัวควบคุมฟิซซีฟิโอดีที่เวลา $nT + T$ คือ

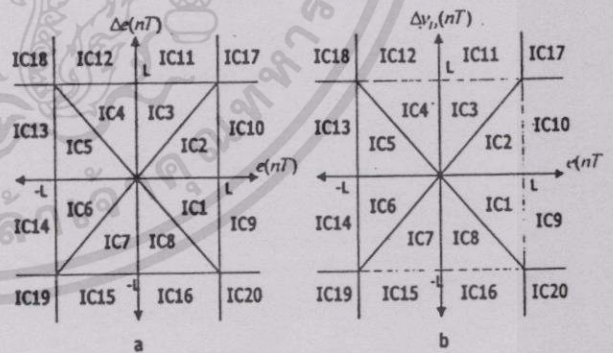
$$u(nT) = -u_o(nT - T) + T \cdot \Delta u_o(nT)$$

หรือ $u_o(nT) = u_o(nT - T) - T \cdot \Delta u_o(nT)$ 7)

เมื่อให้ $u_o(nT) = -u(nT)$

3. การวิเคราะห์เสถียรภาพ

การวิเคราะห์เสถียรภาพนั้นจะใช้ทฤษฎีบทเกณฑ์น้อย [6] โดยแบ่งอินพุตสเปซ(input space) ของส่วนฟิซซีฟิโอดีและฟิซซีฟิโอดีเป็น 20 ส่วน(Input Component:IC) ดังรูปที่ 3 และในที่นี้จะแสดงเงื่อนไขค่า $K_1^{max}(e, \Delta e)$ $K_p^{max}(e, \Delta e)$ และ $K_o^{max}(e, \Delta y_o)$ ที่จะทำให้ระบบมีเสถียรภาพเพียง 8 ส่วน(IC1-IC8) โดยที่ค่า $K_1^{max}(e, \Delta e)$ $K_p^{max}(e, \Delta e)$ และ $K_o^{max}(e, \Delta y_o)$ คือค่าเกณฑ์ในตัวควบคุมที่มีค่ามากที่สุด ทั้งนี้ถ้าหากสามารถออกแบบระบบการควบคุมให้สอดคล้องเงื่อนไขที่กำหนดเพียง 8 ส่วนแล้วก็จะสามารถมีเสถียรภาพทั้งหมด 20 ส่วน[2,3,4]



รูปที่ 3 (a) อินพุตสเปซของทากาจิ-ซุกะโนฟิซซีฟิโอดี

(b) อินพุตสเปซของทากาจิ-ซุกะโนฟิซซีฟิโอดี

3.1 เงื่อนไขเสถียรภาพตัวควบคุมทากาจิ-ซุกะโนฟิซซีฟิโอดี

จากการวิเคราะห์เสถียรภาพของตัวควบคุมทากาจิ-ซุกะโนฟิซซีฟิโอดี[5] สามารถแสดงเงื่อนไขในการวิเคราะห์เสถียรภาพได้ดังสมการ

ตารางที่ 3 เงื่อนไขค่า $K_i^{max}(e.\Delta e)$ $K_p^{max}(e.\Delta e)$ และ $K_D^{max}(e.\Delta y_D)$ ที่ทำให้ระบบเสถียร

IC#	$K_i^{max}(e.\Delta e)$	$K_p^{max}(e.\Delta e)$	$K_D^{max}(e.\Delta y_D)$
IC1 & IC8	$\frac{a_1 + 2a_2 + a_3 + a_4}{2}$	$\frac{b_1 + 2b_2 + b_3 + b_4}{2}$	$\frac{c_1 + 2c_2 + c_3 + c_4}{2}$
IC2 & IC3	$\frac{2a_1 + a_2 + a_3 + a_4}{2}$	$\frac{2b_1 + b_2 + b_3 + b_4}{2}$	$\frac{2c_1 + c_2 + c_3 + c_4}{2}$
IC4 & IC5	$\frac{a_1 + a_2 + 2a_3 + a_4}{2}$	$\frac{b_1 + b_2 + 2b_3 + b_4}{2}$	$\frac{c_1 + c_2 + 2c_3 + c_4}{2}$
IC6 & IC7	$\frac{a_1 + a_2 + a_3 + 2a_4}{2}$	$\frac{b_1 + b_2 + b_3 + 2b_4}{2}$	$\frac{c_1 + c_2 + c_3 + 2c_4}{2}$

$$(TK_i^{max}(e.\Delta e) + K_p^{max}(e.\Delta e)) \|P\| \leq 1 \quad (8)$$

โดยที่ P คือกระบวนการที่จะถูกควบคุม มีค่า $\|P\| < \infty$ และเงื่อนไขค่า $K_i^{max}(e.\Delta e)$ และ $K_p^{max}(e.\Delta e)$ ที่ทำให้ระบบเสถียรแสดงได้ดังตารางที่ 3

3.2 เงื่อนไขเสถียรภาพของตัวควบคุมทากาจิ-ซุงเกโนฟิซซิติ
หาเงื่อนไขเสถียรภาพของตัวควบคุมทากาจิ-ซุงเกโนฟิซซิติ โดยใช้แนวทางเดียวกับการหาเงื่อนไขเสถียรภาพของตัวควบคุมทากาจิ-ซุงเกโนฟิซซิติโอ แล้วกำหนดค่าเกณฑ์ $K_p^{max}(e.\Delta e)$ ให้เป็นศูนย์ จะได้เงื่อนไขเสถียรภาพของตัวควบคุมทากาจิ-ซุงเกโนฟิซซิติดังสมการ

$$K_D^{max}(e.\Delta e) \|P\| \leq 1 \quad (9)$$

โดยค่า $\|P\| < \infty$ และเงื่อนไขค่า $K_D^{max}(e.\Delta y_D)$ แสดงในตารางที่ 3

3.3 เงื่อนไขเสถียรภาพของตัวควบคุมทากาจิ-ซุงเกโนฟิซซิติโอ+ดี

เงื่อนไขเสถียรภาพของตัวควบคุมทากาจิ-ซุงเกโนฟิซซิติโอ+ดีนั้น จะรวมเงื่อนไขเสถียรภาพของตัวควบคุมทากาจิ-ซุงเกโนฟิซซิติโอและเงื่อนไขเสถียรภาพของตัวควบคุมทากาจิ-ซุงเกโนฟิซซิติเข้าด้วยกัน ดังสมการ

$$\left\{ (TK_i^{max}(e.\Delta e) + K_p^{max}(e.\Delta e)) + K_D^{max}(e.\Delta y_D) \right\} \|P\| \leq 1 \quad (10)$$

หากออกแบบค่า $K_i^{max}(e.\Delta e)$ $K_p^{max}(e.\Delta e)$ และ $K_D^{max}(e.\Delta y_D)$ ให้สอดคล้องกับสมการที่ (10) แล้วจะ

สามารถประกันเสถียรภาพของตัวควบคุมทากาจิ-ซุงเกโนฟิซซิติโอ+ดีได้

เงื่อนไขที่ใช้ในการทดสอบเสถียรภาพของระบบในกรณีที่กระบวนการ P มีค่าอยู่ในช่วงนั้น จะใช้เงื่อนไขทฤษฎีบทเกณฑ์สำหรับระบบที่เป็นช่วง[6] ซึ่งกล่าวว่า สำหรับระบบที่กระบวนการมีค่าอยู่ในช่วงนั้น ถ้าหากเกณฑ์ที่สุดของกระบวนการสามารถรันติเสถียรภาพตามทฤษฎีบทเกณฑ์แล้ว ระบบที่กระบวนการมีค่าอยู่ในช่วงทั้งหมดก็จะสามารถรันติเสถียรภาพตามทฤษฎีบทเกณฑ์ด้วย นั่นคือจะได้เงื่อนไขเสถียรภาพตามทฤษฎีบทเกณฑ์ดังนี้

$$|C| \|P\|_{max} \leq 1$$

โดยที่ |C| และ $\|P\|_{max}$ คือนอร์มของตัวควบคุมและของกระบวนการเชิงเส้นที่เกณฑ์มีค่าอยู่ในช่วงตามลำดับ ดังนั้นจากเงื่อนไขในสมการ(10) จะได้

$$\left\{ (TK_i^{max}(e.\Delta e) + K_p^{max}(e.\Delta e)) + K_D^{max}(e.\Delta y_D) \right\} \|P(z)\|_{max} \leq 1 \quad (11)$$

ซึ่งค่าเกณฑ์ควบคุมที่สอดคล้องกับสมการที่ (11) จะทำให้ระบบควบคุมมีเสถียรภาพ

4. การจำลองการควบคุม

ในการจำลองระบบควบคุมนั้นจะใช้กระบวนการเชิงเส้นที่เกิดเวลาหน่วง(time delay)[5] ดังสมการ

$$P(s) = \frac{K}{250s + 1} e^{-15s} \quad (12)$$

กระบวนการนี้มีค่าคงที่เวลา(time constant) เท่ากับ 250 วินาที และเวลาหน่วง 45 วินาที เกน K นั้นอ้างอิงจาก[5] จะมีค่าคงที่เท่ากับ 1.1 แต่ในความเป็นจริงค่าเกน K เกิดการเปลี่ยนแปลงได้ ดังนั้นในที่นี้จึงพิจารณาให้ K เท่านั้น มีขอบเขตการเปลี่ยนแปลงไป $\pm 25\%$ นั่นคือเมื่อค่า K เท่ากับ 1.1 แล้ว K อยู่ในช่วง [0.825 1.375]

เมื่อประมาณเทอมที่เกิดการหน่วง e^{-45s} ของสมการที่(12)เป็นอันดับ4 ด้วยวิธีพาด(Pade approximation)ตาม [5] และทำการแปลงแซค(Z-transform) โดยใช้คาบการสุ่ม 1 วินาทีและใช้ค่า $K=1.1$ จะได้

$$P(z) = \frac{0.0027z^4 - 0.012z^3 + 0.020z^2 - 0.015z + 0.0043}{z^4 - 4.5619z^3 + 8.332z^2 - 7.617z + 3.485z - 0.6386} \quad (13)$$

เพื่อให้ออกแบบตัวควบคุมทากาจิ-ซุเกโนฟิซซีทีโอ+ดี ให้สอดคล้องกับเงื่อนไขเสถียรภาพสมการ(11) ซึ่งจะคิดเงื่อนไขในกรณีที่แย่ที่สุด(worst case condition) นั่นคือค่าเกน K มากที่สุดเพื่อให้กระบวนการมีค่านอร์มมากที่สุด ถ้าในกรณีที่แย่ที่สุดนี้ระบบยังมีเสถียรภาพอยู่ได้แล้ว แม้ว่าค่าเกน K ของกระบวนการจะเปลี่ยนไป ระบบก็จะต้องรักษาเสถียรภาพไว้ได้ เมื่อค่า $K=1.375$ จะได้ $\|P(z)\|_{max} = 0.0691$ และแทนค่า $\|P(z)\|_{max}$ ลงในสมการที่(11) ได้

$$\left\{ (TK_0^{min}(e,\Delta e) + K_0^{min}(e,\Delta e)) + K_0^{min}(e,\Delta y_0) \right\} (0.0691) \leq 1 \quad (14)$$

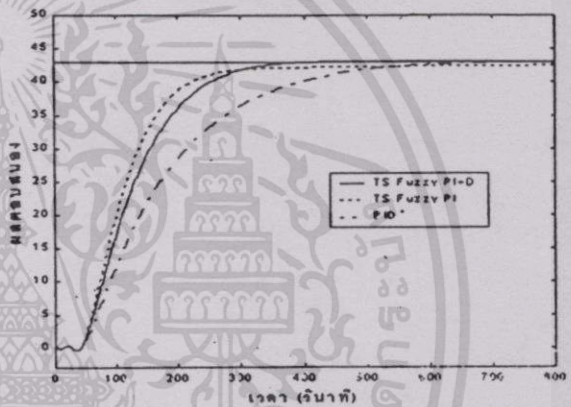
เลือกค่า $K_0^{min}(e,\Delta e)$, $K_0^{min}(e,\Delta y_0)$ และ $K_0^{min}(e,\Delta y_0)$ ให้สอดคล้องกับสมการที่(14) ซึ่งจะได้ a, b, และ c, (i=1,2,3,4) เป็นพารามิเตอร์เพื่อใช้ในการออกแบบกฎการควบคุมในสมการที่(2)และ(5) ตารางที่ 4 แสดงถึงพารามิเตอร์ที่ใช้ในการออกแบบตัวควบคุม ตารางที่ 4 ค่าพารามิเตอร์ในการออกแบบ

	a,	b,	c,
i = 1	0.0047	2	0.01
i = 2	0.0060	1.5	0.02
i = 3	0.0010	2	0.04
i = 4	0.0010	2	0.04

ในหัวข้อต่อไปจะแสดงผลการจำลองการควบคุมระบบที่ใช้ตัวควบคุมที่ได้ออกแบบตามที่กล่าวไว้ข้างต้น ดังนี้

4.1 ผลตอบสนองเมื่อป้อนสัญญาณอ้างอิงคงที่

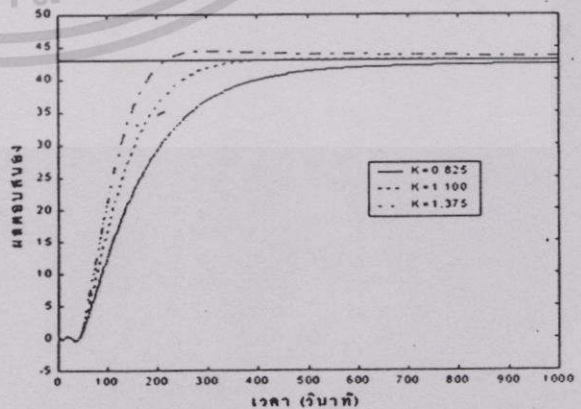
เมื่อป้อนสัญญาณอ้างอิงคงที่ขนาด 43 จะได้ผลตอบสนองของระบบที่ใช้ตัวควบคุมทากาจิ-ซุเกโนฟิซซีทีโอ+ดี ตัวควบคุมทากาจิ-ซุเกโนฟิซซีทีโอและระบบที่ใช้ตัวควบคุมฟuzzy ซึ่งออกแบบค่าพารามิเตอร์ของตัวควบคุมฟuzzy เริ่มต้นโดยวิธีที่ 2 ของซีเกลอร์-นิโคล(Ziegler-Nichols) และทำการปรับแต่งต่อไปจนได้ผลตอบสนองที่ไม่มีค่าพุ่งเกิน(overshoot) จะได้ $K_p=1.2$ $K_i=0.005$ และ $K_d=0.06$ จากรูปที่ 4 พบว่าตัวควบคุมทากาจิ-ซุเกโนฟิซซีทีโอ+ดีจะให้ผลตอบสนองเข้าสู่สถานะคงตัวได้เร็วกว่าตัวควบคุมทากาจิ-ซุเกโนฟิซซีทีโอและตัวควบคุมฟuzzy



รูปที่ 4 ผลตอบสนองเมื่อป้อนสัญญาณอ้างอิงคงที่

4.2 ผลตอบสนองเมื่อเปลี่ยนค่าเกนของกระบวนการ

เมื่อนำตัวควบคุมทากาจิ-ซุเกโนฟิซซีทีโอ+ดีที่ออกแบบโดยใช้ค่าเกน $K=1.1$ ไปใช้ควบคุมกระบวนการที่ค่าเกน $K=0.825$ และ $K=1.375$ พบว่าตัวควบคุมยังสามารถควบคุมให้ระบบเข้าสู่สัญญาณอ้างอิงได้ ดังรูปที่ 5



รูปที่ 5 ผลตอบสนองเมื่อมีการเปลี่ยนแปลงค่าเกน

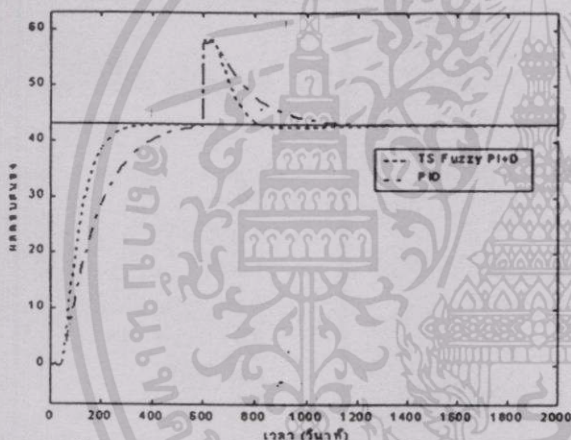
เอกสารนี้เป็นเอกสารที่สงวนไว้สำหรับการใช้งานเพื่อการศึกษาเท่านั้น ไม่อนุญาตให้นำไปใช้ประโยชน์ด้านการค้า ไม่ว่าจะกรณีใดๆทั้งสิ้น อีกทั้งห้ามมิให้ตัดแปลงเนื้อหา และต้องอ้างอิงถึงเจ้าของเอกสารทุกครั้งที่มีการนำไปใช้

เปรียบเทียบกับระบบที่ใช้ตัวควบคุมพีไอดีที่ออกแบบด้วย $K=1.1$ ไปควบคุมกระบวนการที่ค่าเกณฑ์ $K_c=0.825$ และ $K=1.375$ ดังตารางที่ 5

ตารางที่ 5 เปรียบเทียบผลตอบสนองของระบบควบคุม

K	Controller	t_r (s)	% P_O	t_s (s)	% Ess
0.825	TS Fuzzy PI+D	266.49	0.00	683.77	0.00
	PID	421.48	0.00	762.94	0.00
1.100	TS Fuzzy PI+D	146.11	0.00	312.46	0.00
	PID	288.45	0.00	528.98	0.00
1.375	TS Fuzzy PI+D	95.05	2.69	274.71	0.00
	PID	207.17	0.36	386.71	0.00

4.3 ผลตอบสนองเมื่อมีสัญญาณรบกวน



รูปที่ 6 ผลตอบสนองเมื่อมีสัญญาณรบกวนที่เอาต์พุต เมื่อมีสัญญาณรบกวนคงที่ (output disturbance) $d(nT)$ ขนาด 15 เข้ามาที่เอาต์พุตของระบบ โดยใช้ตัวควบคุมที่ถูกออกแบบภายใต้ค่า $K=1.1$ จะได้ผลตอบสนองดังรูปที่ 6 ซึ่งพบว่าผลตอบสนองของระบบที่ใช้ตัวควบคุมทากาจิ-ซุกเกโนฟัซซีพีไอ+ดีจะเข้าสู่สัญญาณอ้างอิงเร็วกว่าตัวควบคุมพีไอดี

5. สรุปและแนวทางการพัฒนา

ในการควบคุมระบบเชิงเส้นที่อยู่ในช่วงด้วยการออกแบบพารามิเตอร์ของตัวควบคุมทากาจิ-ซุกเกโนฟัซซีพีไอ+ดีให้สอดคล้องกับเงื่อนไขเสถียรภาพของกระบวนการที่อยู่ในช่วง (โดยพิจารณาค่าอินพินิตีนิธรม์ที่มากที่สุดของกระบวนการ) ก็จะสามารถประกันเสถียรภาพของระบบควบคุมทุกค่าการเปลี่ยนแปลงของเกณฑ์กระบวนการที่อยู่ใน

ช่วงได้ ซึ่งจากผลการจำลองการควบคุมพบว่า ระบบควบคุมที่ใช้ตัวควบคุมทากาจิ-ซุกเกโนฟัซซีพีไอ+ดีจะมีผลตอบสนองเร็วกว่าตัวควบคุมพีไอดี และระบบยังคงเสถียรต่อการเปลี่ยนแปลงของเกณฑ์กระบวนการที่อยู่ในช่วง นอกจากนี้ ระบบควบคุมยังสามารถกำจัดอิทธิพลของตัวรบกวนที่เข้ามาที่เอาต์พุตได้เร็ว

สามารถพัฒนาให้เป็นตัวควบคุมทากาจิ-ซุกเกโนฟัซซีพีไอดีต่อไปในอนาคต

6. กิตติกรรมประกาศ

ขอขอบคุณสถาบันบัณฑิตวิทยาศาสตร์และเทคโนโลยีไทย สำนักงานพัฒนาวิทยาศาสตร์และเทคโนโลยีแห่งชาติ(สวทช.) ที่ได้สนับสนุนเงินทุนในการทำวิจัย

7. เอกสารอ้างอิง

- [1] R. Palm, D. Driankov, H. Hellendoorn, Model based fuzzy control: fuzzy gain schedulers and sliding mode fuzzy controllers, Berlin: Springer, 1997.
- [2] G. -R. Chen and H. Ying, "BIBO stability of nonlinear fuzzy PI control system," J. Intelligent & Fuzzy System, Vol.5, pp. 245-256, 1997.
- [3] H.A. Malki, G. -R Chen, "New design and stability analysis of fuzzy proportional-derivative control systems," IEEE Trans. Fuzzy Systems, pp.245-254, 1994.
- [4] D. Misir, H. A. Malki, G.Chen, "Design and analysis of a fuzzy proportional-integral-derivative controller." Fuzzy Sets and Systems, Vol.79, pp.297-314, 1996.
- [5] Y. Ding, H. Ying and S. Shao, "Theoretical Analysis of a Takagi-Sugeno Fuzzy PI Controller with Application to Tissue Hyperthermia Therapy," IEEE Trans. on Fuzzy System, Vol.1, pp.252 -257, 1998.
- [6] S. P. Bhattacharyya, H. Chapellat, Robust Control: The Parametric Approach, Prentice Hall, pp.387-394, 1995.

การออกแบบและวิเคราะห์เสถียรภาพระบบควบคุมทากาจิ-ซุกเกโนฟัซซีพีดี+ไอ

Design and Stability Analysis of a Takagi-Sugeno Fuzzy PD+I Control System

อรรถพล กัณหาเวก จงกล งามวิวิทย์

คณะวิศวกรรมศาสตร์และสำนักวิจัยการสื่อสารและเทคโนโลยีสารสนเทศ สถาบันเทคโนโลยีพระจอมเกล้าเจ้าคุณทหารลาดกระบัง

โทร : (02)326-9989 E-mail : knjongko@kmit.ac.th

สุธี ผู้เจริญชนะชัย

หน่วยปฏิบัติการวิจัยเทคโนโลยีคอมพิวเตอร์และระบบอัตโนมัติ ศูนย์เทคโนโลยีอิเล็กทรอนิกส์และคอมพิวเตอร์แห่งชาติ

สำนักงานพัฒนาวิทยาศาสตร์และเทคโนโลยีแห่งชาติ โทร : (02)942-6028 ต่อ 531 E-mail : suthee@notes.nectec.or.th

บทคัดย่อ

บทความนี้จะนำเสนอการออกแบบตัวควบคุมทากาจิ-ซุกเกโนฟัซซีพีดี+ไอที่มีค่าเกนของตัวควบคุมถูกปรับแต่งตามการเปลี่ยนแปลงของสัญญาณอินพุตของตัวควบคุม และมีโครงสร้างเชิงเส้นเช่นเดียวกับตัวควบคุมที่โอดีคั้งเดิม ในการออกแบบตัวควบคุมนี้ จะกล่าวถึงการฟัซซีฟิเคชัน กฎการควบคุมและการดีฟัซซีฟิเคชัน รวมทั้งการใช้ทฤษฎีบทเกนน้อยเพื่อหาเงื่อนไขที่เพียงพอในการวิเคราะห์เสถียรภาพ สุดท้ายจะประยุกต์ใช้ตัวควบคุมทากาจิ-ซุกเกโนฟัซซีพีดี+ไอ ที่ได้ออกแบบไปจำลองการควบคุมกระบวนการที่มีเวลาไร้ผลตอบสนองสั้นและเวลาไร้ผลตอบสนองยาว ผลการจำลองพบว่า ระบบควบคุมทากาจิ-ซุกเกโนฟัซซีพีดี+ไอให้ผลตอบสนองเป็นที่น่าพอใจและมีเสถียรภาพ ถึงแม้จะมีสัญญาณรบกวนที่เอาท์พุท

Abstract

This paper proposes the design of a Takagi-Sugeno(TS) fuzzy PD+I controller with gains varied according to its input signals, having linear structure as conventional PID controller. The fuzzification, control-rule base and defuzzification in designing TS fuzzy PD+I controller are discussed in detail. The Small Gain Theorem is utilized to derive the sufficient conditions for stability. Finally the TS fuzzy PD+I controller is applied to control a process with small and long dead time. The simulation results have shown that the TS fuzzy PD+I control system achieves satisfactory performance and is stable even in the presence of output disturbance.

Keywords: Fuzzy control system, Takagi-Sugeno fuzzy control, Dead time, Small gain theorem, PID control

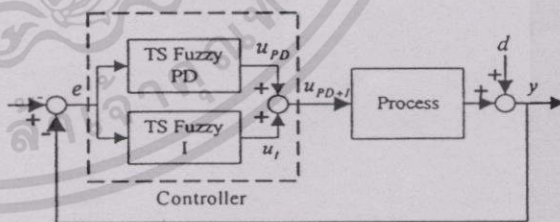
1. บทนำ

ตัวควบคุมฟัซซีเป็นตัวควบคุมหนึ่งที่มีนิยมใช้กันอย่างแพร่หลายในปัจจุบัน เนื่องจากสามารถชดเชยข้อเสียของตัวควบคุมที่โอดีคั้งเดิมที่ไม่สามารถควบคุมระบบให้มีผลตอบสนองที่ดีสำหรับกระบวนการที่ไม่เป็น

เชิงเส้น มีความซับซ้อน หรือมีเวลาไร้ผลตอบสนอง เป็นคั่น ซึ่งตัวควบคุมฟัซซีแบ่งออกได้เป็น 2 ชนิด คือชนิดแมมดามานี(Mamdani type) ซึ่งอธิบายผลลัพธ์ของกฎการควบคุมในรูปตัวแปรเชิงภาษา(linguistic value) และชนิดทากาจิ-ซุกเกโน(Takagi-Sugeno type)[1] ซึ่งอธิบายผลลัพธ์ของกฎการควบคุมในรูปของสมการเชิงเส้น(linear equation) เนื่องจากตัวควบคุมฟัซซีชนิดหลังสามารถเขียนกฎในรูปของสมการเชิงเส้นได้ จึงสะดวกต่อการหาเงื่อนไขเสถียรภาพของระบบควบคุม

บทความแรกๆของตัวควบคุมฟัซซีที่ใช้กฎการควบคุมชนิดแมมดามานี ได้แก่ ฟัซซีพีโอ[2] ฟัซซีพีดี[3] ฟัซซีพีไอ+ดี[4] และฟัซซีพีดี+ไอ[5] ต่อมาได้มีบทความเกี่ยวกับตัวควบคุมฟัซซีที่ใช้กฎการควบคุมชนิดทากาจิ-ซุกเกโนได้แก่ ทากาจิ-ซุกเกโนฟัซซีพีโอ[6] และทากาจิ-ซุกเกโนฟัซซีพีไอ+ดี[7]

บทความนี้จะนำเสนอการประยุกต์โครงสร้างของตัวควบคุมที่โอดีคั้งเดิม ให้เป็นตัวควบคุมทากาจิ-ซุกเกโนฟัซซีพีดี+ไอ หวังแสดงในรูปที่ 1 โดยใช้แนวทางเกี่ยวกับการออกแบบตัวควบคุมแมมดามานีฟัซซีพีดี+ไอ[5] และหาเงื่อนไขการมีเสถียรภาพโดยใช้ทฤษฎีบทเกนน้อย(small gain theorem) พร้อมทั้งแสดงผลการจำลองการควบคุมกระบวนการที่มีเวลาหน่วงสั้น(small dead time) และเวลาหน่วงยาว(long dead time)



รูปที่ 1 โครงสร้างของระบบควบคุมที่ใช้ตัวควบคุมทากาจิ-ซุกเกโนฟัซซีพีดี+ไอ

2. การออกแบบตัวควบคุมทากาจิ-ซุกเกโนฟัซซีพีดี+ไอ

ในส่วนนี้จะกล่าวถึงหลักการทางคณิตศาสตร์ในการออกแบบตัวควบคุมทากาจิ-ซุกเกโนฟัซซีพีดี+ไอ รวมทั้งการฟัซซีฟิเคชัน กฎการควบคุมและการดีฟัซซีฟิเคชัน จากรูปที่ 1 เป็นโครงสร้างของระบบ

เอกสารนี้เป็นเอกสารที่สงวนไว้สำหรับกรใช้งานเพื่อการศึกษาเท่านั้น ไม่อนุญาตให้นำไปใช้ประโยชน์ด้านการค้า ไม่ว่าจะกรณีใดๆทั้งสิ้น อีกทั้งห้ามมิให้ตัดแปลงเนื้อหา และต้องอ้างอิงถึงเจ้าของเอกสารทุกครั้งที่มีการนำไปใช้

ควบคุมที่ใช้ตัวควบคุมทากาจิ-ซุกเนฟซซีพีดี+ไอ ซึ่งโครงสร้างของตัวควบคุมทากาจิ-ซุกเนฟซซีพีดี+ไอแสดงอยู่ภายในกรอบเส้นประประกอบด้วย 2 ส่วนคือ ส่วนของตัวควบคุมพีซซีพีดีและส่วนของตัวควบคุมพีซซีไอ

2.1 โครงสร้างตัวควบคุมทากาจิ-ซุกเนฟซซีพีดี

ตัวควบคุมอนาลอก PD ดังเดิม เป็นดังสมการ

$$U_{PD}(s) = (K_p^c + sK_d^c)E(s) \tag{1}$$

เมื่อ K_p^c คือ พรอพอร์ชันนัลเกน(proportional gain) K_d^c คือ เดริเวอทีฟเกน(derivative gain) $E(s) = SP - Y(s)$ คือค่าความผิดพลาดในการติดตามสัญญาณ SP คือสัญญาณอ้างอิง และ $Y(s)$ คือเอาต์พุต แปลงสมการที่ (1) โดยใช้การแปลงโบลีเนียร์(bilinear transform)

$s = \frac{2}{T} \cdot \frac{1-z^{-1}}{1+z^{-1}}$ ให้อยู่ในรูปดิครีต จะได้

$$U_{PD}(z) = \left(K_p^c + \frac{K_d^c 2}{T} \cdot \frac{1-z^{-1}}{1+z^{-1}} \right) E(z)$$

เมื่อให้ $K_p = K_p^c$ และ $K_d = \frac{K_d^c 2}{T}$ และทำการแปลงแซคกลับ(inverse z-transform) จะได้

$$u_{PD}(nT) + u_{PD}(nT-T) = K_p [e(nT) + e(nT-T)] + K_d [e(nT) - e(nT-T)] \tag{2}$$

หลังจากหารสมการที่(2) ตลอดทั้งสองข้างด้วย T แล้วจะได้

$$\Delta u_{PD}(nT) = K_p \gamma(nT) + K_d \nu(nT) \tag{3}$$

เมื่อ $\Delta u_{PD}(nT) = \frac{u_{PD}(nT) + u_{PD}(nT-T)}{T}$,

$$\gamma(nT) = \frac{e(nT) + e(nT-T)}{T} \text{ และ } \nu(nT) = \frac{e(nT) - e(nT-T)}{T}$$

ค่า $\Delta u_{PD}(nT)$ คือค่าเอาต์พุตที่เพิ่มขึ้นของการควบคุมของตัวควบคุมทากาจิ-ซุกเนฟซซีพีดี $\gamma(nT)$ คือค่าความผิดพลาดเฉลี่ย $\nu(nT)$ คือการเปลี่ยนแปลงค่าความผิดพลาด n คือเลขจำนวนเต็ม T คือค่าการสุ่ม และ $d(nT)$ เป็นสัญญาณรบกวนที่เอาต์พุต(output disturbance) ซึ่งค่าเอาต์พุตของตัวควบคุมทากาจิ-ซุกเนฟซซีพีดีจะหาได้จากสมการ

$$u_{PD}(nT) = -u_{PD}(nT-T) + T\Delta u_{PD}(nT) \tag{4}$$

2.2 โครงสร้างตัวควบคุมทากาจิ-ซุกเนฟซซีไอ

ตัวควบคุมอนาลอก I ดังเดิม เป็นดังสมการ

$$U_I(s) = \frac{K_I^c}{s} E(s) \tag{5}$$

เมื่อ K_I^c คือ อินทิกรัลเกน(integral gain) และทำการแปลงโบลีเนียร์ของสมการที่ (5) ให้อยู่ในรูปดิครีตจะได

$$U_I(z) = K_I^c \left(\frac{T}{2} \cdot \frac{1+z^{-1}}{1-z^{-1}} \right) E(z)$$

ทำการแปลงแซคกลับได้

$$u_I(nT) - u_I(nT-T) = \frac{K_I^c T}{2} [e(nT) + e(nT-T)] \tag{6}$$

ให้ $K_I = \frac{K_I^c T}{2}$ และหารสมการที่ (6) ด้วย T จะได้

$$\Delta u_I(nT) = K_I \gamma(nT) \tag{7}$$

เมื่อ $\Delta u_I(nT) = \frac{u_I(nT) - u_I(nT-T)}{T}$ ค่า $\Delta u_I(nT)$ คือค่าเอาต์พุตที่เพิ่มขึ้นของตัวควบคุมทากาจิ-ซุกเนฟซซีไอ ซึ่งค่าเอาต์พุตของตัวควบคุมทากาจิ-ซุกเนฟซซีไอจะหาได้จากสมการ

$$u_I(nT) = u_I(nT-T) + T\Delta u_I(nT) \tag{8}$$

2.3 โครงสร้างตัวควบคุมทากาจิ-ซุกเนฟซซีพีดี+ไอ

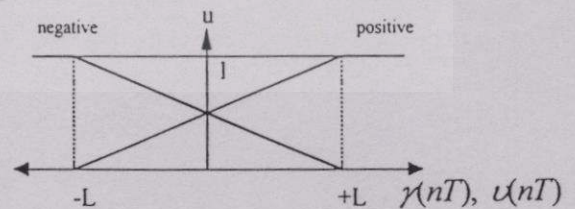
กฎการควบคุมทากาจิ-ซุกเนฟซซีพีดี+ไอ ได้จากการรวมกันของกฎการควบคุมทากาจิ-ซุกเนฟซซีพีดี(4) และกฎการควบคุมทากาจิ-ซุกเนฟซซีไอ(8) ดังสมการ

$$u_{PD+I}(nT) = u_{PD}(nT) + u_I(nT) = -u_{PD}(nT-T) + T\Delta u_{PD}(nT) + u_I(nT-T) + T\Delta u_I(nT) \tag{9}$$

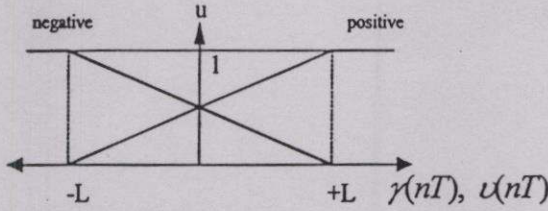
2.4 พีซซีพีเคชัน กฎการควบคุม และดีพีซซีพีเคชัน

2.4.1 พีซซีพีเคชัน

ตัวควบคุมทากาจิ-ซุกเนฟซซีพีดีและตัวควบคุมทากาจิ-ซุกเนฟซซีไอมีสัญญาณอินพุตคือ $\gamma(nT)$ และ $\nu(nT)$ โดยทำพีซซีไฟด์(fuzzified)ตัวควบคุมทั้งสองแยกกัน ซึ่งอินพุตแต่ละค่าจะถูกพีซซีไฟด์ด้วยพีซซีเซตที่ประกอบด้วยสมาชิกที่ชื่อ "positive" และ "negative" แสดงดังรูปที่ 2 และ 3 โดยนอกขอบเขต [-L +L] ค่าความเป็นสมาชิกมีค่าไม่เป็นศูนย์ก็เป็นหนึ่ง



รูปที่ 2 ฟังก์ชันการเป็นสมาชิกของตัวควบคุมทากาจิ-ซุกเนฟซซีพีดี



รูปที่ 3 ฟังก์ชันการเป็นสมาชิกของตัวควบคุมทากาจิ-ซุกเกโนฟัซซีโอ

2.4.2 กฎการควบคุม

ในตารางที่ 1 แสดงกฎการควบคุมของตัวควบคุมทากาจิ-ซุกเกโนฟัซซีโอที่ติดอยู่ในรูปของสมการเชิงเส้น

ตารางที่ 1 กฎการควบคุมของตัวควบคุมฟัซซีฟิดี

		$v(nT)$	
		Positive	Negative
$\gamma(nT)$	Positive	$\Delta u_{PD_1}(nT)$	$\Delta u_{PD_2}(nT)$
	Negative	$\Delta u_{PD_3}(nT)$	$\Delta u_{PD_4}(nT)$

เมื่อ $\Delta u_{PD_1}(nT) = a_1\gamma(nT) + b_1v(nT)$
 $\Delta u_{PD_2}(nT) = a_2\gamma(nT) + b_2v(nT)$ (10)
 $\Delta u_{PD_3}(nT) = a_3\gamma(nT) + b_3v(nT)$
 $\Delta u_{PD_4}(nT) = a_4\gamma(nT) + b_4v(nT)$

โดย a_i และ b_i คือพารามิเตอร์ที่จะออกแบบ เมื่อ $i = 1, 2, 3, 4$ และ ตารางที่ 2 แสดงถึงกฎการควบคุมที่อยู่ในรูปสมการเชิงเส้นของตัวควบคุมทากาจิ-ซุกเกโนฟัซซีโอ

ตารางที่ 2 กฎการควบคุมของตัวควบคุมฟัซซีโอ

		$v(nT)$	
		Positive	Negative
$\gamma(nT)$	Positive	$\Delta u_{I_1}(nT)$	$\Delta u_{I_2}(nT)$
	Negative	$\Delta u_{I_3}(nT)$	$\Delta u_{I_4}(nT)$

โดยที่ $\Delta u_{I_1}(nT) = c_1\gamma(nT)$
 $\Delta u_{I_2}(nT) = c_2\gamma(nT)$ (11)
 $\Delta u_{I_3}(nT) = c_3\gamma(nT)$
 $\Delta u_{I_4}(nT) = c_4\gamma(nT)$

และ c_i คือ พารามิเตอร์ที่จะออกแบบ เมื่อ $i = 1, 2, 3, 4$

2.4.3 การดีฟัซซีฟิเคชัน

วิธีเซ้นทรอยด์คัฟัซซีไฟด์ (centroid defuzzified) เป็นวิธีที่นำมาใช้คำนวณหาค่าเอาต์พุตที่เปลี่ยนไปซึ่งจะใช้

$$\Delta u(nT) = \frac{\sum_{i=1}^4 \Delta u_i \mu_i}{\sum_{i=1}^4 \mu_i} \quad (12)$$

เมื่อ Δu_i คือผลลัพธ์ของกฎการควบคุมที่ i และ μ_i คือค่าความเป็นสมาชิกของผลลัพธ์กฎการควบคุมที่ i แทนกฎการควบคุมของตัวควบคุมทากาจิ-ซุกเกโนฟัซซีฟิดีสมการที่(10) ลงในสมการที่(12) จะได้

$$\Delta u_{PD}(nT) = K_p(\gamma, v)\gamma(nT) + K_d(\gamma, v)b_1v(nT) \quad (13)$$

เมื่อ $K_p(\gamma, v) = \frac{\sum_{i=1}^4 \mu_i a_i}{\sum_{i=1}^4 \mu_i}$ และ $K_d(\gamma, v) = \frac{\sum_{i=1}^4 \mu_i b_i}{\sum_{i=1}^4 \mu_i}$ คือค่าเกณฑ์ถูก

ปรับแต่งตามการเปลี่ยนแปลงของสัญญาณ $\gamma(nT)$ และ $v(nT)$ ในทำนองเดียวกัน เมื่อแทนกฎการควบคุมของตัวควบคุมทากาจิ-ซุกเกโนฟัซซีโอสมการที่ (11) ลงในสมการที่ (12) จะได้

$$\Delta u_I(nT) = K_I(\gamma, v)\gamma(nT) \quad (14)$$

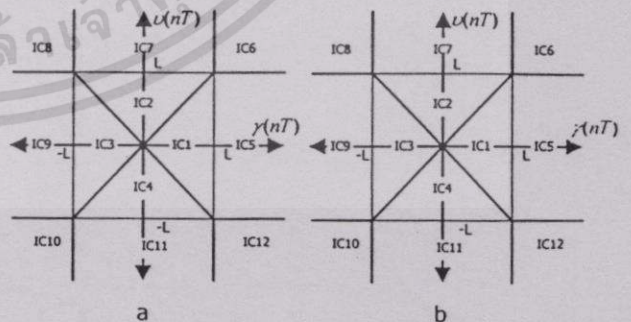
โดยที่ $K_I(\gamma, v) = \frac{\sum_{i=1}^4 \mu_i c_i}{\sum_{i=1}^4 \mu_i}$ คือค่าเกณฑ์ถูกปรับแต่งตามการเปลี่ยนแปลงของสัญญาณ $\gamma(nT)$ และ $v(nT)$

3. การวิเคราะห์เสถียรภาพ

การวิเคราะห์เสถียรภาพของระบบควบคุมจะใช้ทฤษฎีบทเกนน้อย [1] ซึ่งมีเงื่อนไขคือ

$$\|C\| \cdot \|P\| \leq 1$$

เมื่อ $\|C\|$ คือนอร์มของตัวควบคุม และ $\|P\|$ คือนอร์มของกระบวนการ โดยในบทความนี้ $\| \cdot \|$ จะหมายถึง $\| \cdot \|_2$ แบ่งอินพุตสเปซ (input space) ของส่วนทากาจิ-ซุกเกโนฟัซซีฟิดีและส่วนทากาจิ-ซุกเกโนฟัซซีโอ ออกเป็น 12 ส่วน (Input Component: IC) ดังรูปที่ 4



รูปที่ 4 (a) อินพุตสเปซของทากาจิ-ซุกเกโนฟัซซีฟิดี (b) อินพุตสเปซของทากาจิ-ซุกเกโนฟัซซีโอ

3.1 เงื่อนไขเสถียรภาพตัวควบคุมทากาจิ-ซุกโนฟิซซึทึคิ

ในการวิเคราะห์เสถียรภาพของระบบที่ใช้ตัวควบคุมทากาจิ-ซุกโนฟิซซึทึคิ จะใช้แนวทางเดียวกับการวิเคราะห์เสถียรภาพของระบบที่ใช้ตัวควบคุมทากาจิ-ซุกโนฟิซซึทึคิ [1] ดังนั้น เงื่อนไขเสถียรภาพของระบบควบคุมแสดงได้ดังสมการ

$$\|C_{PD}\| \cdot \|P\| < 1 \tag{15}$$

เมื่อ $\|C_{PD}\|$ คือนอร์มของตัวควบคุมทากาจิ-ซุกโนฟิซซึทึคิและมีค่าแสดงดังตารางที่ 3

3.2 เงื่อนไขเสถียรภาพตัวควบคุมทากาจิ-ซุกโนฟิซซึทึคิ

เมื่อใช้แนวทางเดียวกับการวิเคราะห์เสถียรภาพของระบบที่ใช้ตัวควบคุมทากาจิ-ซุกโนฟิซซึทึคิ ดังแสดงในหัวข้อ 3.1 เงื่อนไขเสถียรภาพของระบบที่ใช้ตัวควบคุมทากาจิ-ซุกโนฟิซซึทึคิคือ

$$\|C_I\| \cdot \|P\| < 1 \tag{16}$$

เมื่อ $\|C_I\|$ คือนอร์มของตัวควบคุมทากาจิ-ซุกโนฟิซซึทึคิและมีค่าแสดงดังตารางที่ 3

ตารางที่ 3 ค่านอร์มของตัวควบคุม

IC #	$\ C_{PD}\ $	$\ C_I\ $
IC 1	$\frac{\sum_{i=1}^4 (a_i + b_i) + a_1 - a_2 + b_1 - b_2 }{2}$	$\frac{\sum_{i=1}^4 (c_i) + c_1 - c_2 }{2}$
IC 2	$\frac{\sum_{i=1}^4 (a_i + b_i) + a_1 - a_3 + b_1 - b_3 }{2}$	$\frac{\sum_{i=1}^4 (c_i) + c_1 - c_3 }{2}$
IC 3	$\frac{\sum_{i=1}^4 (a_i + b_i) + a_2 - a_4 + b_2 - b_4 }{2}$	$\frac{\sum_{i=1}^4 (c_i) + c_2 - c_4 }{2}$
IC 4	$\frac{\sum_{i=1}^4 (a_i + b_i) + a_2 - a_4 + b_2 - b_4 }{2}$	$\frac{\sum_{i=1}^4 (c_i) + c_2 - c_4 }{2}$
IC 5	$a_1 + a_2 + b_1 + b_2$	$c_1 + c_2$
IC 7	$a_1 + a_3 + b_1 + b_3$	$c_1 + c_3$
IC 9	$a_3 + a_4 + b_3 + b_4$	$c_3 + c_4$
IC 11	$a_2 + a_4 + b_2 + b_4$	$c_2 + c_4$
IC 6	$a_1 + b_1$	c_1
IC 8	$a_3 + b_3$	c_3
IC 10	$a_4 + b_4$	c_4
IC 12	$a_1 + b_1$	c_1

3.3 เงื่อนไขเสถียรภาพตัวควบคุมทากาจิ-ซุกโนฟิซซึทึคิ+ไอ

เมื่อรวมเงื่อนไขเสถียรภาพของสมการที่(15) และสมการที่(16) เข้าด้วยกัน จะได้ $\|C_{PD} + C_I\| \cdot \|P\| < 1$ และเมื่อจัดรูปใหม่แล้วจะได้เงื่อนไขเสถียรภาพที่พอเพียง(sufficient condition) ของระบบควบคุมที่ใช้ตัวควบคุมทากาจิ-ซุกโนฟิซซึทึคิ+ไอ ดังสมการ

$$(\|C_{PD}\| + \|C_I\|) \cdot \|P\| < 1 \tag{17}$$

นั่นคือ ถ้าออกแบบระบบควบคุมทากาจิ-ซุกโนฟิซซึทึคิ+ไอให้สอดคล้องกับเงื่อนไขสมการที่(17)นี้แล้ว ก็จะสามารถประกันเสถียรภาพของระบบควบคุมได้

4. การจำลองการควบคุม

ในหัวข้อนี้ จะแสดงผลการจำลองการควบคุมกระบวนการเชิงเส้นที่มีเวลาไร้ผลตอบสนองสั้นและยาว โดยใช้ตัวควบคุมทากาจิ-ซุกโนฟิซซึทึคิ+ไอ

4.1 การควบคุมกระบวนการที่มีเวลาไร้ผลตอบสนองสั้น

กระบวนการที่มีเวลาไร้ผลตอบสนองสั้น [2] ที่นำมาจำลองการควบคุมคือ

$$P(s) = \frac{1}{250s + 1} e^{-45s} \tag{18}$$

กระบวนการนี้มีค่าคงที่เวลา(time constant) เท่ากับ 250 วินาที เวลาหน่วง 45 วินาที เลือกคาบการสุ่ม 1 วินาที ทำการประมาณ e^{-45s} ในสมการที่ (18)ด้วยการประมาณพหุคูณอันดับ 5 แล้วแปลงให้อยู่ในรูปดีกรีได้

$$F(z) = \frac{-0.0019z^5 + 0.0107z^4 - 0.0245z^3 + 0.0282z^2 - 0.0162z + 0.0038}{z^6 - 5.345z^5 + 11.92z^4 - 14.2z^3 + 9.534z^2 - 3.418z + 0.5114}$$

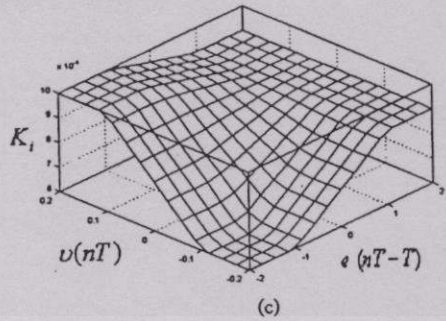
นอร์มของกระบวนการคือ $\|P\| = \sup_{|H|=1} |P(z)| = 0.001$

เลือก a_i, b_i และ $c_i (i = 1, 2, 3, 4)$ ดังแสดงในตารางที่ 4 แทนลงในสมการที่(17) จะได้ $(\|C_{PD}\| + \|C_I\|) \cdot \|P\| = 0.052 < 1$ เมื่อค่า $\|C_{PD}\| = 5.10$ และ $\|C_I\| = 0.02$ คือค่านอร์มที่มากที่สุด ดังนั้น ถ้าค่านอร์มที่มากที่สุดสอดคล้องเงื่อนไขสมการที่ (17) แล้ว ค่านอร์มอื่นๆ ที่น้อยกว่าก็ย่อมสอดคล้องเงื่อนไขสมการที่ (17) ด้วย เพราะฉะนั้น ค่าพารามิเตอร์ของตัวควบคุมทากาจิ-ซุกโนฟิซซึทึคิ+ไอที่เลือกมา จะทำให้ระบบควบคุมมีเสถียรภาพ

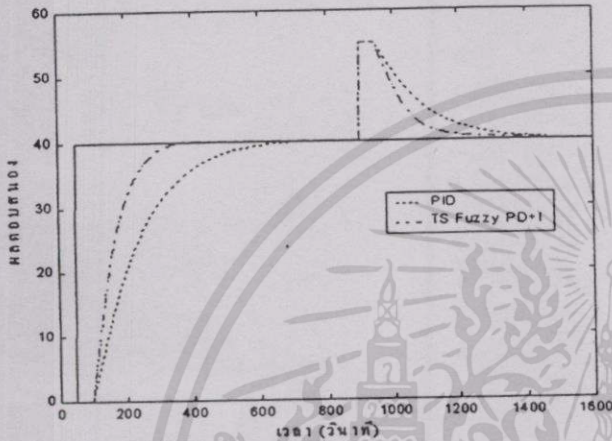
ตารางที่ 4 ค่าพารามิเตอร์ในการออกแบบ

	a_i	b_i	c_i
$i = 1$	3	0.06	0.009
$i = 2$	2	0.01	0.009
$i = 3$	2	0.01	0.01
$i = 4$	2	0.06	0.006

ในการจำลองการควบคุมนั้น จะให้สัญญาณคงที่ขนาด 40 เป็นสัญญาณอ้างอิง ให้สัญญาณรบกวนที่เอาท์พุทขนาด 15 ณ เวลา 900 วินาที และเลือกค่าการสุม T เท่ากับ 1 วินาที จะได้ผลตอบสนองของระบบที่ใช้ตัวควบคุมทากาจิ-ซุกเกโนฟิซซึฟิดี+ไอ เปรียบเทียบกับระบบที่ใช้ตัวควบคุมพีไอดีดั้งเดิมซึ่งมีค่าพารามิเตอร์ของตัวควบคุมพีไอดีเริ่มต้นโดยวิธีที่ 2 ของซีกเลอร์-นิโคลด์(Ziegler-Nichols) และปรับแต่งจนได้ $K_p = 1.2$ $K_d = 0.06$ และ $K_i = 0.005$ เพื่อให้ผลตอบสนองของระบบควบคุมไม่มีค่าพุ่งเกิน(overshoot) ดังรูปที่ 5



รูปที่ 6 ค่าเกณฑ์ของตัวควบคุมที่เปลี่ยนตามสัญญาณอินพุทที่มีการเปลี่ยนแปลง (a) K_p (b) K_d และ (c) K_i



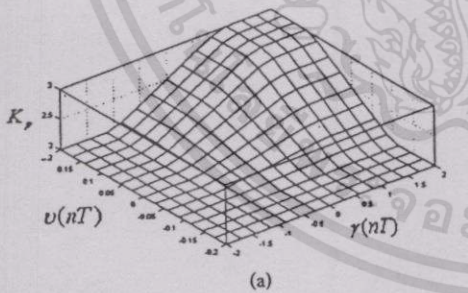
รูปที่ 5 ผลตอบสนองเมื่อมีการรบกวนของระบบ

จากรูปผลการจำลองการควบคุมพบว่า ผลตอบสนองของระบบควบคุมทากาจิ-ซุกเกโนฟิซซึฟิดี+ไอเข้าสู่สัญญาณอ้างอิงได้เร็วกว่าระบบควบคุมพีไอดี และเมื่อมีการรบกวนที่เอาท์พุทสามารถกำจัดอิทธิพลของการรบกวนได้เร็ว เนื่องจากค่าเกณฑ์ K_p , K_d และ K_i มีค่าไม่คงที่ สามารถเปลี่ยนตามการเปลี่ยนแปลงของสัญญาณอินพุท แสดงดังรูปที่ 6

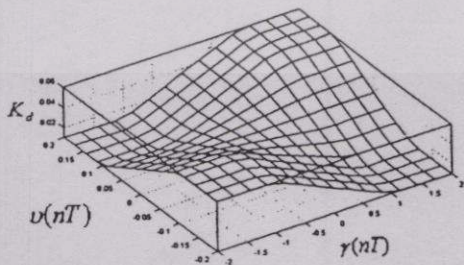
4.2 การควบคุมกระบวนการที่มีเวลาไร้ผลตอบสนองยาว เมื่อกระบวนการมีเวลาไร้ผลตอบสนองยาว[8] ดังสมการ

$$P(s) = \frac{1}{(1+s)(1+0.5s)(1+0.25s)(1+0.125s)} e^{-10s} \quad (19)$$

กระบวนการนี้มีค่าคงที่เวลาเท่ากับ 1 วินาที เวลาหน่วง 10 วินาที และหาค่านอร์มของกระบวนการโดยอาศัยแนวทางเดียวกับกระบวนการที่มีเวลาไร้ผลตอบสนองสั้น ได้ $\|P\| = 0.1$ เลือก a_i , b_i และ c_i ($i = 1, 2, 3, 4$) ดังแสดงในตารางที่ 5 จะได้ $\|C_{PD}\| = 0.58$ และ $\|C_I\| = 0.11$ เป็นค่า นอร์มที่มากที่สุด และเมื่อแทนค่า นอร์มลงใน สมการที่(17) จะได้ $(\|C_{PD}\| + \|C_I\|) \cdot \|P\| = 0.069 < 1$ นั่นคือ ถ้าค่า พารามิเตอร์ของตัวควบคุมทากาจิ-ซุกเกโนฟิซซึฟิดี+ไอที่เลือกมาควบคุมกระบวนการที่มีเวลาไร้ผลตอบสนองยาวนั้น ทำให้ค่า นอร์มที่มากที่สุดสอดคล้องกับเงื่อนไขสมการที่(17) แล้ว ระบบควบคุมจะมีเสถียรภาพ



(a)

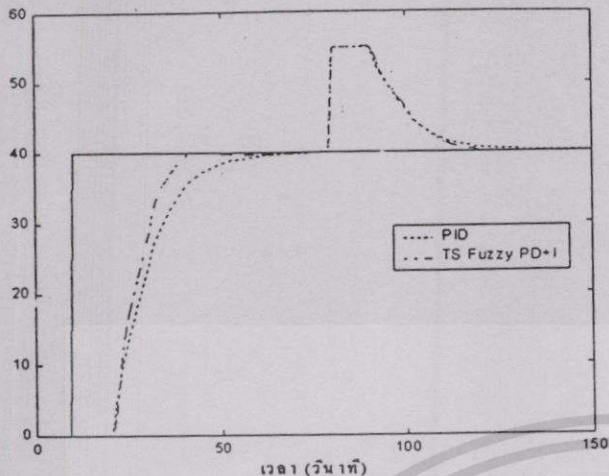


(b)

ตารางที่ 5 ค่าพารามิเตอร์ในการออกแบบ

	a_i	b_i	c_i
$i = 1$	0.3	0.01	0.05
$i = 2$	0.3	0.02	0.06
$i = 3$	0.2	0.01	0.05
$i = 4$	0.1	0.01	0.05

รูปที่ 7 แสดงถึงผลการจำลองการควบคุมระบบที่ใช้ตัวควบคุมทากาจิ-ซุกเกโนฟิซซึฟิดี+ไอเมื่อป้อนสัญญาณอ้างอิงคงที่ขนาด 40 ให้มีสัญญาณรบกวนที่เอาท์พุทขนาด 15 ณ เวลา 80 วินาที และเลือกค่าการสุม T เท่ากับ 1 วินาที โดยเปรียบเทียบกับระบบที่ใช้ตัวควบคุมพีไอดีดั้งเดิมที่มี $K_p = 0.25$ $K_d = 0.01$ และ $K_i = 0.06$



รูปที่ 7 ผลตอบสนองเมื่อมีการรบกวนของระบบ

จากรูปพบว่า ผลตอบสนองของระบบควบคุมหากจ-ซูกเนโทซซึพีดี+ไอเข้าสู่สภาวะอ้างอิงได้เร็วกว่าระบบควบคุมพีไอดี แต่เข้าสู่สภาวะอ้างอิงพร้อมกันเมื่อมีการรบกวนที่เอาท์พุท และค่าเกน K_p , K_d และ K_i ของตัวควบคุมเปลี่ยนตามการเปลี่ยนแปลงของสภาวะอินพุทในทำนองเดียวกับรูปที่ 6 แต่ค่าเกนแต่ละตัวจะมีลักษณะการเปลี่ยนแปลงที่แตกต่างจากค่าเกนในรูปที่ 6 เนื่องมาจากการควบคุมกระบวนการที่ต่างกัน

การเลือกค่าเกนการควบคุมของตัวควบคุมหากจ-ซูกเนโทซซึพีดี+ไอนั้น เริ่มจากการนำเกนของตัวควบคุมพีไอดีมาปรับเปลี่ยนโดยวิธีลองผิดลองถูก ซึ่งค่าเกนที่ได้อาจจะยังไม่ใช่ค่าเกนที่ให้ผลตอบสนองที่ดีที่สุด แต่เป็นค่าเกนที่ให้ผลตอบสนองที่ดีกว่าตัวควบคุมพีไอดีดั้งเดิม

5. สรุปและแนวทางการพัฒนา

ในระบบควบคุมด้วยตัวควบคุมหากจ-ซูกเนโทซซึพีดี+ไอนั้น ถ้าออกแบบพารามิเตอร์ของตัวควบคุมให้สอดคล้องกับเงื่อนไขเสถียรภาพแล้วจะสามารถประกันเสถียรภาพของระบบควบคุมได้ ซึ่งจากผลการจำลองการควบคุมกระบวนการที่มีเวลาไร้ผลตอบสนองสั้นและยาวพบว่าค่าพารามิเตอร์ของตัวควบคุมที่เลือกมานั้น นอกจากจะให้ผลตอบสนองเร็วกว่าตัวควบคุมพีไอดีดั้งเดิมแล้ว ยังเสถียรต่อสภาวะรบกวนที่เข้ามาที่เอาท์พุท

แนวทางในการพัฒนา คือพัฒนาให้เป็นตัวควบคุมหากจ-ซูกเนโทซซึพีดี+ไอดี

6. กิตติกรรมประกาศ

ขอขอบคุณสถาบันบัณฑิตวิทยาศาสตร์และเทคโนโลยีไทย สวทช. ที่ได้สนับสนุนเงินทุนวิจัย และ JICA ที่สนับสนุนอุปกรณ์ในการทำวิจัย

7. เอกสารอ้างอิง

- [1] H. Ying "Fuzzy Control and Modeling: Analytical Foundations and Applications" IEEE Press, 2000.
- [2] G. -R. Chen and H. Ying "BIBO stability of nonlinear fuzzy PI control system" J. Intelligent & Fuzzy System, Vol.5, 1997, pp. 245-256.
- [3] H.A. Malki, G. -R Chen "New design and stability analysis of fuzzy proportional-derivative control systems" IEEE Trans. Fuzzy Systems, 1994, pp.245-254.
- [4] D. Misir, H. A. Malki, G Chen "Design and analysis of a fuzzy proportional-integral-derivative controller" Fuzzy Sets and Systems, Vol.79, 1996, pp.297-314.
- [5] H.A. Malki, D. Misir, D. Feigenspan, G. -R Chen "Fuzzy PID control of a flexible-joint robot arm with uncertainties from time-varying loads" IEEE Trans. Control Systems Technology, Vol.5, 1997, pp.371-378.
- [6] Y. Ding, H. Ying and S. Shao "Theoretical Analysis of a Takagi-Sugeno Fuzzy PI Controller with Application to Tissue Hyperthermia Therapy," IEEE Trans. on Fuzzy System, Vol.1, 1998, pp.252-257.
- [7] อรรถพล กัณหเวก จงกล งามวิวิทย์ สุธี ผู้เจริญชนะเลิศ "การออกแบบตัวควบคุมหากจ-ซูกเนโทซซึพีดีสำหรับกระบวนการเชิงเส้นที่อยู่ในช่วง" วิศวกรรมศาสตร์ฉบับปีที่ 18 ฉบับที่ 1 เดือน มีนาคม 2544 หน้า 7-12
- [8] T. Haggund "A Predictive PI Controller for Processes with Long Dead Times" IEEE Control Systems Magazine, Vol. 12, 1992, pp.57-60.



อรรถพล กัณหเวก ปรญญาครี ระบบควบคุม คณะวิศวกรรมศาสตร์ สจล. ปัจจุบันศึกษาปริญญาโท วิศวกรรมไฟฟ้า คณะวิศวกรรมศาสตร์ สจล.



จงกล งามวิวิทย์ ปรญญาเอก อิเล็กทรอนิกส์ จากมหาวิทยาลัยโตเกียว ประเทศญี่ปุ่น รองศาสตราจารย์ภาควิชาวิศวกรรมระบบควบคุม คณะวิศวกรรมศาสตร์ สจล. งานวิจัย การควบคุมแบบออฟไลน์ โรบัสต์ และพีซซี



สุธี ผู้เจริญชนะเลิศ ปรญญาเอก วิศวกรรมควบคุมจาก Tokyo Institute of Technology ประเทศญี่ปุ่น ปัจจุบันเป็นนักวิจัย NECTEC งานวิจัยทางด้าน CNC simulation และ medical image converter

เอกสารนี้เป็นเอกสารที่สงวนไว้สำหรับการใช้งานเพื่อการศึกษาเท่านั้น ไม่อนุญาตให้นำไปใช้ประโยชน์ด้านการค้า ไม่ว่าจะกรณีใดๆทั้งสิ้น อีกทั้งห้ามมิให้ดัดแปลงเนื้อหา และต้องอ้างอิงถึงเจ้าของเอกสารทุกครั้งที่มีการนำไปใช้

ภาคผนวก ก

เงื่อนไขเสถียรภาพของตัวควบคุมดั้งเดิม

ในตอนนี้จะทำการหาเงื่อนไขเสถียรภาพของระบบควบคุมพีไอ+ดีและพีดี+ไอ เมื่อใช้ทฤษฎีบทเกนน้อย

ก.1 เงื่อนไขเสถียรภาพของตัวควบคุมพีไอ+ดี

จากสมการเอาต์พุตที่เปลี่ยนแปลงของตัวควบคุมพีไอ สมการที่ (3.5)

$$\Delta u_{PI}(nT) = K_i e(nT) + K_p r(nT)$$

แทนค่า $r(nT) = e(nT) - e(nT - T)$ ลงในสมการข้างบน แล้วหาค่านอร์มทั้งสองข้างของสมการจะได้

$$\begin{aligned} \|\Delta u_{PI}(nT)\| &= |K_i e(nT) + K_p [e(nT) - e(nT - T)]| \\ &= |(K_i + K_p)e(nT) + K_p e(nT - T)| \end{aligned}$$

เมื่อ $M_e = \sup_{n \geq 1} |e(nT - T)|$ จะได้

$$\|\Delta u_{PI}(nT)\| \leq \alpha_{PI} |e(nT)| + \beta_{PI} \tag{ก.1}$$

โดยที่ $\alpha_{PI} = K_i + K_p$ คือค่านอร์มของตัวควบคุมพีไอและ $\beta_{PI} = K_p M_e$ คือค่าคงที่ ในทำนองเดียวกัน จากสมการเอาต์พุตที่เปลี่ยนแปลงของตัวควบคุมดี สมการที่ (3.9)

$$\Delta u_D(nT) = K_d \Delta y(nT)$$

แทนค่า $\Delta y(nT) = y(nT) - y(nT - T)$ ลงในสมการข้างบน แล้วหาค่านอร์ม จะได้

$$\|\Delta u_D(nT)\| = |K_d(y(nT) - y(nT - T))|$$

เมื่อ $M_y = \sup_{n \geq 1} |y(nT - T)|$ จะได้

$$\|\Delta u_D(nT)\| \leq K_d |y(nT)| + K_d M_y$$

แทนค่า $y(nT) = SP(nT) - e(nT)$ ลงในสมการข้างบน จะได้

$$\|\Delta u_D(nT)\| \leq \alpha_d |e(nT)| + \beta_d \quad (ค.2)$$

เมื่อ $\alpha_d = K_d$ คือค่านอร์มของตัวควบคุมดีและ $\beta_D = K_d M_y + \alpha_d SP(nT)$ คือค่าคงที่

แทนค่า $\alpha_{pf} = K_i + K_p$ และ $\alpha_d = K_d$ ลงในสมการเงื่อนไขเสถียรภาพ สมการที่ (4.11) จะได้

$$(K_i + K_p + K_d) \|P\| < 1 \quad (ค.3)$$

นั่นคือหากเลือกค่าเกน K_i , K_p และ K_d ของตัวควบคุมพีไอ+ดี ให้สอดคล้องกับเงื่อนไขในสมการที่ (ค.3) ก็จะสามารถประกันเสถียรภาพของระบบควบคุมพีไอ+ดีได้

ค.2 เงื่อนไขเสถียรภาพของตัวควบคุมพีดี+ไอ

จากสมการเอาต์พุตที่เปลี่ยนแปลงของตัวควบคุมพีไอ สมการที่ (3.23)

$$\Delta u_{pD}(nT) = K_p v(nT) + K_d r(nT)$$

แทนค่า $v(nT) = e(nT) + e(nT - T)$ และ $r(nT) = e(nT) - e(nT - T)$ ลงในสมการข้างบนแล้วหาค่านอร์มทั้งสองข้างของสมการ จะได้

$$\|\Delta u_{pD}(nT)\| = |K_p [e(nT) + e(nT - T)] + K_d [e(nT) - e(nT - T)]|$$

เมื่อ $M_e = \sup_{n \geq 1} |e(nT - T)|$ จะได้

$$\|\Delta u_{pD}(nT)\| \leq \alpha_{pD} |e(nT)| + \beta_{pD} \quad (\text{ก.4})$$

โดยที่ $\alpha_{pD} = K_p + K_d$ คือค่านอร์มของตัวควบคุมพีดีและ $\beta_{pD} = |(K_p - K_d)| M_e$ คือค่าคงที่

จากสมการเอาท์พุทที่เปลี่ยนแปลงของตัวควบคุมไอ สมการที่ (3.28)

$$\begin{aligned} \Delta u_I(nT) &= K_i v(nT) \\ &= K_i [e(nT) + e(nT - T)] \end{aligned}$$

หาค่านอร์มตลอดทั้งสองข้างของสมการ จะได้

$$\begin{aligned} \|\Delta u_I(nT)\| &= |K_i [e(nT) + e(nT - T)]| \\ \|\Delta u_I(nT)\| &\leq \alpha_I |e(nT)| + \beta_I \end{aligned} \quad (\text{ก.5})$$

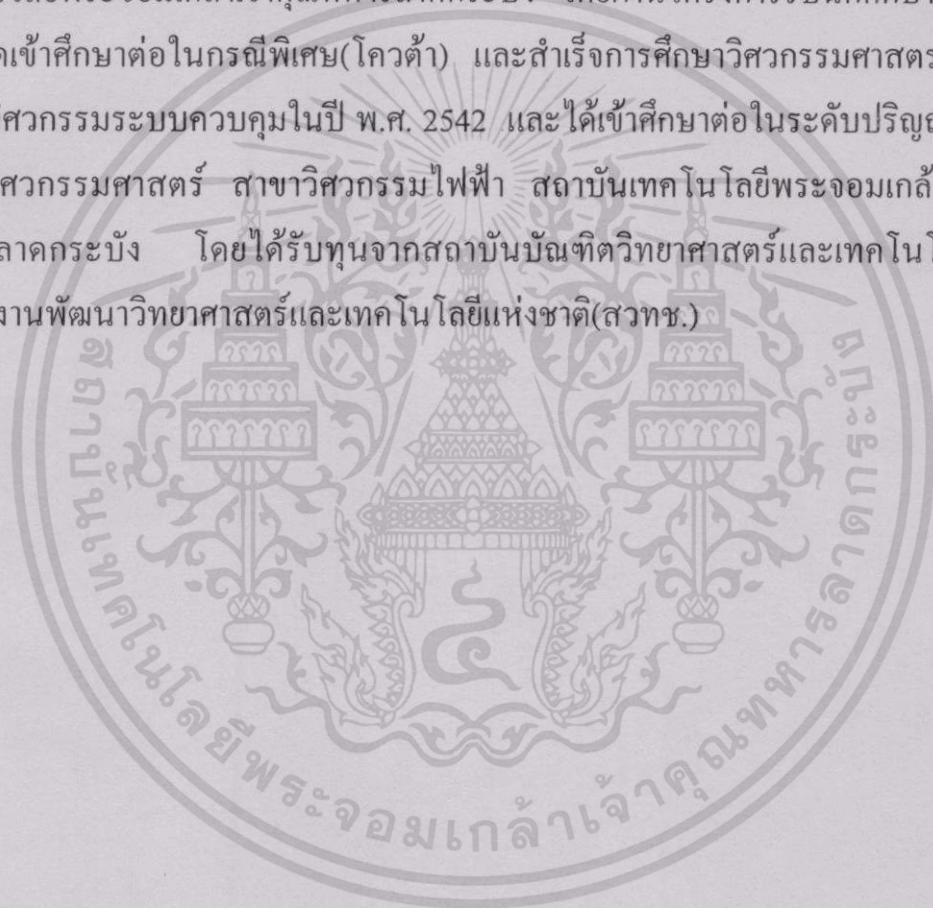
เมื่อ $\alpha_I = K_i$ คือค่านอร์มของตัวควบคุมไอและ $\beta_I = K_i M_e$ คือค่าคงที่ เมื่อแทนค่า α_{pD} และ α_I ลงในสมการที่ (4.16) จะได้เงื่อนไขเสถียรภาพของระบบควบคุมพีดี+ไอ แสดงดังสมการ

$$(K_i + K_p + K_d) \|P\| < 1 \quad (\text{ก.6})$$

นั่นคือหากเลือกค่าเกน K_i , K_p และ K_d ของตัวควบคุมพีดี+ไอ ให้สอดคล้องกับเงื่อนไขในสมการที่ (ก.6) ก็จะสามารถประกันเสถียรภาพของระบบควบคุมพีดี+ไอได้

ประวัติผู้เขียน

นายอรรถพล กัณหาภักดิ์ เกิดเมื่อวันที่ 29 ธันวาคม พ.ศ. 2519 ที่ตำบลสะเตง อำเภอมะนัง จังหวัดยะลา สำเร็จการศึกษามัธยมศึกษาตอนต้นและมัธยมศึกษาตอนปลายจากโรงเรียนคณะราษฎรบำรุง จังหวัดยะลา ในปี พ.ศ. 2535 และปี พ.ศ. 2538 ตามลำดับ หลังจากนั้น เข้าศึกษาในระดับปริญญาตรีที่คณะวิศวกรรมศาสตร์ สถาบันเทคโนโลยีพระจอมเกล้าเจ้าคุณทหารลาดกระบัง โดยผ่านโครงการรับนักศึกษาจากต่างจังหวัดเข้าศึกษาต่อในกรณีพิเศษ(โควต้า) และสำเร็จการศึกษาระดับปริญญาโท สาขาวิศวกรรมระบบควบคุมในปี พ.ศ. 2542 และได้เข้าศึกษาต่อในระดับปริญญาโท ที่คณะวิศวกรรมศาสตร์ สาขาวิศวกรรมไฟฟ้า สถาบันเทคโนโลยีพระจอมเกล้าเจ้าคุณทหารลาดกระบัง โดยได้รับทุนจากสถาบันบัณฑิตวิทยาศาสตร์และเทคโนโลยีไทย สำนักงานพัฒนาวิทยาศาสตร์และเทคโนโลยีแห่งชาติ(สวทช.)



เอกสารนี้เป็นเอกสารที่สงวนไว้สำหรับการใช้งานเพื่อการศึกษาเท่านั้น ไม่อนุญาตให้นำไปใช้ประโยชน์ด้านการค้า ไม่ว่าจะกรณีใดๆทั้งสิ้น อีกทั้งห้ามมิให้ดัดแปลงเนื้อหา และต้องอ้างอิงถึงเจ้าของเอกสารทุกครั้งที่มีการนำไปใช้